



กระบวนการผลิตก๊าซชีวภาพจากมูลสุกรและกลีเซอรอลดิบ  
**Biogas Production from Pig Manure and Crude Glycerol**

พรพิมล วาสนามงคล

**Pornpimon Wassanamongkon**

วิทยานิพนธ์นี้เป็นส่วนหนึ่งของการศึกษาตามหลักสูตรปริญญา  
วิศวกรรมศาสตรมหาบัณฑิต สาขาวิชาวิศวกรรมเคมี  
มหาวิทยาลัยสงขลานครินทร์

**A Thesis Submitted in Partial Fulfillment of the Requirements for the Degree of  
Master of Engineering in Chemical Engineering  
Prince of Songkla University**

2554

ลิขสิทธิ์ของมหาวิทยาลัยสงขลานครินทร์

ชื่อวิทยานิพนธ์      กระบวนการผลิตก๊าซชีวภาพจากมูลสุกรและกลีเซอรอลดิบ  
ผู้เขียน              นางสาวพรพิมล วาสนามงคล  
สาขาวิชา              วิศวกรรมเคมี

---

**อาจารย์ที่ปรึกษาวิทยานิพนธ์หลัก**

**คณะกรรมการสอบ**

.....ประธานกรรมการ  
(ผู้ช่วยศาสตราจารย์ ดร.ผกามาศเจษฎ์พัฒนานนท์) (รองศาสตราจารย์ ดร.กัลยา ศรีสุวรรณ)

**อาจารย์ที่ปรึกษาวิทยานิพนธ์ร่วม**

.....กรรมการ

.....กรรมการ  
(ผู้ช่วยศาสตราจารย์ ดร.สุเมธ ไชยประพัทธ์) (ผู้ช่วยศาสตราจารย์ ดร.สุเมธ ไชยประพัทธ์)

.....กรรมการ  
(ผู้ช่วยศาสตราจารย์ ดร.ชัยศรี สุขสาโรจน์) (ดร.สินินาฏ จงคง)

บัณฑิตวิทยาลัย มหาวิทยาลัยสงขลานครินทร์ อนุมัติให้บัณฑิตวิทยาลัยรับนี้เป็น  
ส่วนหนึ่งของการศึกษา ตามหลักสูตรปริญญาวิทยาศาสตรมหาบัณฑิต สาขาวิชาวิศวกรรมเคมี

.....  
(ศาสตราจารย์ ดร.อมรรัตน์ พงศ์ดารา)

คณบดีบัณฑิตวิทยาลัย

ชื่อวิทยานิพนธ์ กระบวนการผลิตก๊าซชีวภาพจากมูลสุกรและกลีเซอรอลดิบ  
ผู้เขียน นางสาวพรพิมล วาสนามงคล  
สาขาวิชา วิศวกรรมเคมี  
ปีการศึกษา 2554

### บทคัดย่อ

งานวิจัยนี้มีวัตถุประสงค์เพื่อศึกษาการแปรรูปกลีเซอรอลดิบที่ได้จากกระบวนการผลิตไบโอดีเซลให้กลายเป็นผลผลิตที่มีคุณค่าโดยใช้กระบวนการทางชีวภาพซึ่งเป็นกระบวนการที่เป็นมิตรต่อสิ่งแวดล้อม กลีเซอรอลดิบประกอบด้วย กลีเซอรอลและสารอินทรีย์ ปนเปื้อนเป็นส่วนใหญ่ ชั้นสารอินทรีย์ถูกแยก และส่งคืนสู่กระบวนการผลิตไบโอดีเซล ส่วนกลีเซอรอล ถูกนำมาใช้ในกระบวนการหมัก โดยได้ศึกษาวิธีการแยก 3 วิธี คือ 1) การใช้สารละลายกรดซัลฟิวริก 6% 2) การใช้สารละลายกรดซัลฟิวริก 30% และ 3) การใช้ Cation Polyamine 6% ผสมกับ Poly-AlCl<sub>3</sub> 94% พบว่าการใช้สารละลายกรดซัลฟิวริก 6% เป็นวิธีการที่เหมาะสมที่สุด เนื่องจากมีร้อยละการได้คืนของกลีเซอรอลเท่ากับ 26 และค่าใช้จ่ายต่ำสุด

ในกระบวนการหมักตะกอนจุลินทรีย์เมื่อดำเนินการระบบบำบัดน้ำเสียแบบยูเอเอสบีเป็นหัวเชื้อ กลีเซอรอลที่แยกคืนได้เป็นแหล่งของคาร์บอน และมูลสุกรเป็นสารอาหารเพิ่มเติม จากการหมักแบบแบทช์ในระบบขนาดปริมาตรใช้งาน 1 ลิตร พบว่าการใช้กลีเซอรอลผสมกับ มูลสุกรและตะกอนจุลินทรีย์ ผลิต ก๊าซชีวภาพและมีเทน ได้สูงที่สุด โดยสูงกว่าการใช้ มูลสุกรร่วมกับ หัวเชื้อจุลินทรีย์ มูลสุกรเพียงอย่างเดียว และหัวเชื้อจุลินทรีย์เพียงอย่างเดียวมาก จากผลการทดลองนี้จึงมั่นใจได้ว่ากลีเซอรอลเป็นสารส่งเสริมให้กระบวนการหมักเกิดได้ดีขึ้น การศึกษาผลของอัตราส่วน COD:TKN (50:1-70:1) พบว่าอัตราส่วน COD:TKN 50:1 เป็นอัตราส่วนที่เหมาะสมที่สุด โดยมีอัตราการผลิตก๊าซชีวภาพสูงสุด 446 มิลลิลิตร/วัน และอัตราการผลิตก๊าซชีวภาพสะสมตลอดการทดลอง 1,062 มิลลิลิตร จึงใช้อัตราส่วน 50:1 ในกระบวนการหมักแบบ Semi-CSTR โดยระบบหมักมีปริมาตรใช้งาน 2.5 ลิตร อุณหภูมิ 33 ± 3 องศาเซลเซียส ความเข้มข้นของตะกอนจุลินทรีย์เมื่อดำเนินการในรูปเอ็มแอลวีเอสเอส 37,500 มิลลิกรัม/ลิตร ทำการทดลองทั้งหมด 3 ถึงปฏิบัติการ ด้วยระยะเวลาพักเก็บน้ำ 10, 5 และ 2.5 วัน ตามลำดับ และภาระบรรทุกสารอินทรีย์ 0.26-4.27 kg SCOD/m<sup>3</sup>.d พบว่าระบบสามารถผลิตก๊าซชีวภาพได้ สูงขึ้นเมื่อภาระบรรทุกสารอินทรีย์ เพิ่มขึ้น ที่ภาระบรรทุกสารอินทรีย์ 0.26-2.14 kg SCOD/m<sup>3</sup>.d ระบบมีประสิทธิภาพในการบำบัดสารอินทรีย์

เฉลี่ยร้อยละ 82.14-92.45 แต่ที่ OLR 4.27 kg SCOD/m<sup>3</sup>.d ระบบมีประสิทธิภาพในการบำบัดสารอินทรีย์เฉลี่ย ลดลงเป็นร้อยละ 75.76 เนื่องจากค่าภาระบรรทุกสารอินทรีย์สูงเกินกว่าระบบจะรับได้ อัตราการผลิตก๊าซชีวภาพต่อปริมาตรถังเฉลี่ย 0.102-1.200 ลิตร/ลิตร/วัน โดยภาระบรรทุกสารอินทรีย์ ที่ให้อัตราการผลิตก๊าซชีวภาพต่อปริมาตรถังเฉลี่ยสูงสุด คือ 2.14 kg SCOD/m<sup>3</sup>.d นอกจากนี้เมื่อศึกษาผลของอัตราส่วน COD:TKN ในระบบหมักแบบ Semi-CSTR พบว่าอัตราส่วน 40:1 ให้ผลผลิตก๊าซชีวภาพและมีเทนที่สูงกว่าอัตราส่วน 50:1 โดยผลผลิตก๊าซชีวภาพสูงสุดเท่ากับ 0.75 L<sub>biogas</sub>/g<sub>SCODremoved</sub> และก๊าซมีเทน 0.53 L<sub>CH<sub>4</sub></sub>/g<sub>SCODremoved</sub> ที่ OLR เท่ากับ 0.38 kg SCOD/m<sup>3</sup>.d อัตราส่วน 40:1 จึงเป็นอัตราส่วนที่เหมาะสม

|                      |  |
|----------------------|--|
| <b>Thesis Title</b>  | Biogas Production from Pig Manure and Crude Glycerol |
| <b>Author</b>        | Miss Pornpimon Wassanamongkon                        |
| <b>Major Program</b> | Chemical Engineering                                 |
| <b>Academic Year</b> | 2011   |

### ABSTRACT

This work aims to study conversion of crude glycerol derived from production of biodiesel to more value products using biological process as the process is environmentally friendly. Crude glycerol mainly consisted of glycerol and organic impurities. Organic phase was separated and return to biodiesel production process while glycerol phase was a raw material in a fermentation process. Three glycerol recovery methods: 1) using 6% H<sub>2</sub>SO<sub>4</sub>, 2) using 30% H<sub>2</sub>SO<sub>4</sub> and 3) using cation polyamine 6% blending with poly-AlCl<sub>3</sub> 94% were studied. It was found that using 6% H<sub>2</sub>SO<sub>4</sub> was the most suitable method as it gave 26% glycerol recovery with lowest cost.

In fermentation process granular sludge from UASB wastewater system was used as seed, recovered glycerol was a carbon source and pig manure was used as a nutrient supplement. From batch fermentation with 1 liter working volume glycerol mixed with pig manure and granular sludge gave highest biogas and methane production, which was a lot higher than fermentation with pig manure mixed with granular sludge, fermentation with only pig manure and fermentation with only seed. From this result it was confirmed that glycerol could enhance the fermentation process. Study of the effect of COD:TKN ratios (50:1–70:1) showed that 50:1 was the optimum ratio, which biogas production of 446 ml/d and cumulative biogas production of 1,062 ml were obtained. This COD:TKN ratio was then applied in Semi-CSTR fermentation with 2.5 liter working volume at temperature  $33 \pm 3$  °C using 37,500 mgVSS/L of granular sludge. The experiments were operated in three reactors with hydraulic retention time (HRT) of 10, 5 and 2.5 days, respectively and the organic loading rate (OLR) of 0.26-4.27 kg SCOD/m<sup>3</sup>.d. It was found that the system produced higher amount of biogas with increasing of OLR. At OLR 0.26-2.14 kg SCOD/m<sup>3</sup>.d the average SCOD removals were 82.14-92.45%, but at OLR 4.27 kg SCOD/m<sup>3</sup>.d the average SCOD removal was lower to 75.75% since this OLR was

too high for the system. The average rates of biogas production were 0.100-1.200 L/L/d. The highest average biogas production was gain at OLR 2.14 kg SCOD/m<sup>3</sup>.d. Furthermore, study of effect of COD:TKN ratio in the semi-CSTR fermentation showed that the ratio 40:1 gave 0.75  $L_{\text{biogas}}/\text{g}_{\text{SCODremoved}}$  biogas and 0.53  $L_{\text{CH}_4}/\text{g}_{\text{SCODremoved}}$  methane yield greater than the ratio 50:1. Therefore, the ratio 40:1 was the optimum ratio.

## กิตติกรรมประกาศ

ขอขอบพระคุณ ผู้ช่วยศาสตราจารย์ ดร. ผกามาศ เจษฎ์พัฒนานนท์ ประธานกรรมการที่ปรึกษาที่กรุณาให้คำปรึกษา คำแนะนำ รวมทั้งให้กำลังใจช่วยหาวิธีการแก้ปัญหาในการทำวิทยานิพนธ์ ตลอดจนช่วยตรวจทานแก้ไขวิทยานิพนธ์ให้ดำเนินไปอย่างถูกต้องสมบูรณ์

ขอขอบพระคุณ รองศาสตราจารย์ ดร. กัลยา ศรีสุวรรณ ประธานกรรมการสอบ ผู้ช่วยศาสตราจารย์ ดร. สุเมธ ไชยประพัทธ์ และ ผู้ช่วยศาสตราจารย์ ดร. ชัยศรี สุขสาโรจน์ กรรมการที่ปรึกษาร่วม ตลอดจน ดร. สินีนาฏ จงคง กรรมการผู้แทนคณะวิศวกรรมศาสตร์ ที่กรุณาให้คำแนะนำและตรวจทานแก้ไขวิทยานิพนธ์ให้ถูกต้องและสมบูรณ์ยิ่งขึ้น

ขอขอบพระคุณ สถานวิจัยและพัฒนาพลังงานทดแทนจากน้ำมันปาล์มและพืช น้ำมัน คณะวิศวกรรมศาสตร์ มหาวิทยาลัยสงขลานครินทร์ ที่อนุเคราะห์ให้ใช้ห้องปฏิบัติการสำหรับเป็นวัสดุคืบในงานวิจัยครั้งนี้

ขอขอบพระคุณ ฟาร์มเลี้ยงสุกษะทรัพย์การธรรมชาติ มหาวิทยาลัยสงขลานครินทร์ ที่ได้อนุเคราะห์ให้วัสดุสุกษะเพื่อเป็นวัสดุคืบในงานวิจัยครั้งนี้

ขอขอบพระคุณ บริษัทห้องเย็น โชติวัฒน์ หาดใหญ่ จังหวัดสงขลา ที่ได้อนุเคราะห์ตะกอนจุลินทรีย์แบบเม็ดจากระบบบำบัดน้ำเสียเพื่อใช้ในการวิจัยครั้งนี้

ขอขอบพระคุณ สำนักงานคณะกรรมการวิจัยแห่งชาติ ที่จัดสรรเงินทุน วิจัยงบประมาณแผ่นดิน มหาวิทยาลัยสงขลานครินทร์ ที่จัดสรรเงินทุนในการอุดหนุนการวิจัย รวมทั้งศูนย์เครื่องมือวิทยาศาสตร์ ที่ให้ความอนุเคราะห์ในการวิเคราะห์ตัวอย่าง ภาควิชาวิศวกรรมเคมี ภาควิชาวิศวกรรมโยธา และ คณะวิศวกรรมศาสตร์ ที่ให้ความอนุเคราะห์สถานที่และความสะดวกในการทำงานต่างๆ

ขอกราบขอบพระคุณ บิดา มารดา และพี่น้องทุกท่าน ที่ให้กำลังใจในการทำวิทยานิพนธ์ ขอขอบคุณเจ้าหน้าที่ภาควิชาวิศวกรรมเคมี คณะวิศวกรรมศาสตร์ ตลอดจนทุกท่านที่ไม่ได้กล่าวไว้ ณ ที่นี้ ที่มีส่วนให้ ความช่วยเหลือและให้คำแนะนำในการทำวิทยานิพนธ์ จนทำให้วิทยานิพนธ์ฉบับนี้เสร็จสมบูรณ์

พรพิมล วาสนามงคล

## สารบัญ

|   | หน้า |
|---|------|
| บทคัดย่อ  | (3)  |
| ABSTRACT  | (5)  |
| กิตติกรรมประกาศ   | (7)  |
| สารบัญ  | (8)  |
| รายการตาราง   | (11) |
| รายการภาพประกอบ   | (12) |
| สัญลักษณ์คำย่อและตัวย่อ   | (15) |
| บทที่   |      |
| 1 บทนำ  | 1    |
| 1.1 บทนำตั้งเรื่อง  | 1    |
| 1.2 วัตถุประสงค์  | 2    |
| 1.3 ประโยชน์ที่ได้รับจากการวิจัย  | 3    |
| 1.4 ขอบเขตของงานวิจัย   | 3    |
| บทที่ 2 การตรวจเอกสาร   | 4    |
| 2.1 ความรู้ทั่วไปเกี่ยวกับกลีเซอรอล   | 4    |
| 2.2 กลีเซอรอลจากปฏิกิริยาทรานส์เอสเทอริฟิเคชัน                                | 4    |
| 2.3 ลักษณะของกลีเซอรอลดิบที่ได้จากกระบวนการผลิตปาล์มไบโอดีเซล                 | 7    |
| 2.4 การใช้ประโยชน์จากกลีเซอรอล  | 8    |
| 2.4.1 การสังเคราะห์ผลิตภัณฑ์ด้วยวิธีทางเคมี                                   | 8    |
| 2.4.2 การสังเคราะห์ผลิตภัณฑ์ด้วยวิธีทางชีวภาพ                                 | 8    |
| 2.5 ข้อดีและข้อด้อยของการใช้ประโยชน์จากกลีเซอรอลด้วยกระบวนการทางเคมีและชีวภาพ | 8    |
| 2.6 กระบวนการผลิตก๊าซชีวภาพ   | 9    |
| 2.6.1 กระบวนการไฮโดรไลซิส (Hydrolysis)  | 10   |
| 2.6.2 กระบวนการอะซิโดเจเนซิส (Acidogenesis)                                   | 10   |
| 2.6.3 อะซิโดเจเนซิส (Acetogenesis)  | 10   |
| 2.6.4 กระบวนการสร้างมีเทน (Methane Formation)                                 | 11   |



| <b>สารบัญ (ต่อ)</b>  | <b>หน้า</b> |
|--|-------------|
| 2.7 ปัจจัยที่เกี่ยวข้องในกระบวนการหมักแบบไร้อากาศ                        | 12          |
| 2.7.1 อุณหภูมิ (Temperature)   | 13          |
| 2.7.2 พีเอช (pH)   | 14          |
| 2.7.3 กรดระเหยง่าย   | 15          |
| 2.7.4 สภาพด่าง (Alkalinity)  | 15          |
| 2.7.5 อัตราการป้อนสารอินทรีย์  | 16          |
| 2.7.6 แสง  | 16          |
| 2.7.7 ความต้องการสารอาหาร (Nutritional Requirements)                     | 16          |
| 2.7.8 วิธีการเติมตะกอนเซลล์ในถังหมัก                                     | 17          |
| 2.7.9 การกวน (Mixing)  | 17          |
| 2.7.10 สารยับยั้งในกระบวนการ (Process Inhibitor)                         | 18          |
| 2.8 งานวิจัยที่เกี่ยวข้อง  | 18          |
| <b>บทที่ 3 วัสดุ อุปกรณ์ และวิธีการวิจัย</b>                             | <b>21</b>   |
| 3.1 วัตถุประสงค์   | 21          |
| 3.2 สารเคมี  | 22          |
| 3.3 เครื่องมือ   | 22          |
| 3.4 ขั้นตอนดำเนินการศึกษา  | 23          |
| 3.4.1 การแยกสารอินทรีย์ออกจากกลีเซอรอลดิบ                                | 23          |
| 3.4.2 การวิเคราะห์องค์ประกอบของกลีเซอรอลที่แยกชั้นสารอินทรีย์<br>ออกแล้ว | 24          |
| 3.4.3 การศึกษาผลของกลีเซอรอลต่อการหมักแบบแบทช์                           | 24          |
| 3.4.4 การหาอัตราส่วน COD:TKN ที่เหมาะสมด้วยการหมักแบบแบทช์               | 25          |
| 3.4.5 การหมักแบบ Semi-CSTR   | 27          |
| <b>บทที่ 4 ผลการทดลองและวิจารณ์</b>                                      | <b>34</b>   |
| 4.1 การแยกชั้นสารอินทรีย์ออกจากกลีเซอรอล                                 | 34          |
| 4.2 การศึกษาผลของกลีเซอรอลต่อการหมักแบบแบทช์                             | 35          |
| 4.3 การหาอัตราส่วน COD: TKN ที่เหมาะสมด้วยการหมักแบบแบทช์                | 38          |

## สารบัญ (ต่อ)

|   | หน้า |
|---|------|
| 4.4 การหมักแบบ Semi-CSTR ด้วยอัตราส่วน COD: TKN เท่ากับ 50:1            | 41   |
| 4.4.1 อุณหภูมิ  | 41   |
| 4.4.2 ความเป็นกรด-ด่าง  | 41   |
| 4.3.3 สภาพต่าง  | 42   |
| 4.4.4 ภาระหน่วง   | 43   |
| 4.4.5 อัตราส่วนของภาระหน่วงต่อสภาพต่าง                                  | 44   |
| 4.4.6 การบำบัดซีโอดี  | 46   |
| 4.4.7 อัตราการผลิตก๊าซชีวภาพ (Biogas production)                        | 48   |
| 4.4.8 ร้อยละการผลิตก๊าซมีเทน (Methane production)                       | 49   |
| 4.4.9 ผลผลิตก๊าซชีวภาพและผลผลิตก๊าซมีเทน                                | 50   |
| 4.4.10 ตะกอนจุลินทรีย์ภายในถังปฏิกรณ์                                   | 52   |
| 4.4.11 ผลของอัตราส่วน COD: TKN  | 52   |
| 4.4.12 ผลการคำนวณด้านเศรษฐศาสตร์  | 61   |
| บทที่ 5 บทสรุปและข้อเสนอแนะ   | 63   |
| 5.1 การแยกชั้นสารอินทรีย์ออกจากกลีเซอรอลดิบ                             | 63   |
| 5.2 การหมักแบบแบทช์   | 63   |
| 5.3 การหมักแบบ Semi-CSTR  | 63   |
| 5.4 บทสรุป  | 64   |
| 5.5 ข้อเสนอแนะ  | 65   |
| บรรณานุกรม  | 66   |
| ภาคผนวก   | 70   |
| ภาคผนวก ก ผลการวิเคราะห์ของน้ำเสียที่ป้อนและน้ำทิ้งจากระบบแบบ Semi-CSTR | 71   |
| ภาคผนวก ข วิธีและสถานะที่ใช้วิเคราะห์                                   | 85   |
| ภาคผนวก ค การคำนวณทางเศรษฐศาสตร์  | 101  |
| ภาคผนวก ง การตีพิมพ์เผยแพร่ผลงาน  | 109  |
| ประวัติผู้แต่ง  | 114  |

## รายการตาราง

| ตารางที่   | หน้า |
|--|------|
| 2.1 คุณสมบัติต่างๆ ของกลีเซอรอลบริสุทธิ์   | 5    |
| 2.2 ปริมาณองค์ประกอบต่างๆ ในกลีเซอรอลดิบ   | 7    |
| 2.3 การเปรียบเทียบข้อดีและข้อด้อยของกระบวนการทั้งสอง   | 9    |
| 2.4 การย่อยสลายในกระบวนการอะซิโตเจเนซิส  | 11   |
| 3.1 การศึกษาผลของกลีเซอรอลต่อการหมักแบบแบทช์   | 24   |
| 3.2 การทดลองเพื่อหาอัตราส่วน COD:TKN ที่เหมาะสม  | 26   |
| 3.3 การหมักแบบ Semi-CSTR ที่อัตราส่วน COD:TKN เท่ากับ 50:1   | 28   |
| 3.4 การหมักแบบ Semi-CSTR ที่อัตราส่วน COD:TKN เท่ากับ 40:1   | 28   |
| 3.5 พารามิเตอร์ วิธีการวิเคราะห์และค่าที่ได้ในการวิเคราะห์คุณภาพน้ำทิ้งที่ออกระบบ<br>และก๊าซชีวภาพที่ได้จากระบบหมักแบบไร้อากาศ | 33   |
| 4.1 เปรียบเทียบร้อยละการได้ก๊าสกลีเซอรอล และค่าใช้จ่ายในการแยกแต่ละวิธี  | 34   |
| 4.2 ผลผลิตก๊าซชีวภาพและผลผลิตก๊าซมีเทนที่สภาวะคงตัวที่ OLR ต่าง ๆ กัน  | 50   |
| 4.3 เปรียบเทียบ MLVSS ก่อนและหลังการทดลอง  | 52   |
| 4.4 พารามิเตอร์ต่าง ๆ ที่สภาวะคงตัวของน้ำทิ้งที่ออกจากระบบหมักที่ COD:TKN เท่ากับ<br>50:1 และ 40:1                             | 59   |
| 4.5 ต้นทุนการผลิตก๊าซชีวภาพต่อปีในระบบหมัก 8 ลูกบาศก์เมตร  | 61   |
| ก-1 การวิเคราะห์คุณภาพน้ำทิ้งที่ออกจากระบบและก๊าซชีวภาพที่ได้จากระบบหมักแบบ<br>Semi-CSTR                                       | 71   |
| ค-1 เปรียบเทียบพารามิเตอร์ต่าง ๆ ของวิธีการแยกชั้นสารอินทรีย์ออกจากกลีเซอรอล   | 101  |
| ค-2 ราคาของสารเคมีที่ใช้ในกระบวนการแยกชั้นสารอินทรีย์ออกจากกลีเซอรอลดิบ  | 102  |
| ค-3 เปรียบเทียบร้อยละการได้ก๊าสและค่าใช้จ่ายในการแยกทั้ง 3 วิธี  | 104  |
| ค-4 อัตราค่าน้ำประปาสำหรับรัฐวิสาหกิจอุตสาหกรรมและธุรกิจขนาดใหญ่   | 106  |
| ค-5 อัตราค่าพลังงานไฟฟ้าที่หน่วยต่าง ๆ   | 107  |
| ค-6 ต้นทุนการผลิตก๊าซชีวภาพต่อปีในระบบหมัก 8 ลูกบาศก์เมตร  | 107  |

## รายการภาพประกอบ

| ภาพประกอบที่   | หน้า |
|--|------|
| 2.1 แสดงโครงสร้างโมเลกุลของกลีเซอรอล   | 4    |
| 2.2 กระบวนการเกิดกลีเซอรอล   | 5    |
| 2.3 ปฏิกริยาทรานส์เอสเตอริฟิเคชันของไตรกลีเซอไรด์และเมทานอล  | 6    |
| 2.4 ปฏิกริยาสปอนนิฟิเคชันของไตรกลีเซอไรด์และโซเดียมไฮดรอกไซด์                                      | 6    |
| 2.5 ปฏิกริยาไฮโดรไลซิสของไตรกลีเซอไรด์   | 7    |
| 2.6 ขั้นตอนการทำงานของกระบวนการย่อยสลายในสภาพไร้ออกซิเจน   | 12   |
| 2.7 ผลของอุณหภูมิที่มีต่ออัตราการทำงานของกระบวนการหมักแบบไร้อากาศ                                  | 14   |
| 2.8 แนวโน้มราคาและปริมาณการผลิตกลีเซอรอลบริสุทธิ์และกลีเซอรอลดิบในสหรัฐอเมริกา ระหว่างปี 1997-2007 | 19   |
| 3.1 ลักษณะกลีเซอรอลดิบที่ใช้ในการทดลอง   | 21   |
| 3.2 ลักษณะมูลสุกรที่ใช้ในการทดลอง  | 21   |
| 3.3 ลักษณะตะกอนจุลินทรีย์ที่ใช้ในการทดลอง  | 22   |
| 3.4 สุกรขุนจากฟาร์มเลี้ยงสุกร  | 25   |
| 3.5 ชุดการหมักแบบแบทช์   | 26   |
| 3.6 แบบจำลองระบบหมักแบบ Semi-CSTR ในห้องปฏิบัติการ   | 30   |
| 3.7 ลักษณะชุดอุปกรณ์ประกอบระบบ Semi- CSTR ที่ใช้ในห้องปฏิบัติการ                                   | 31   |
| 3.8 ลักษณะชุดอุปกรณ์ประกอบระบบ Semi-CSTR ในระหว่างการทดลองในห้องปฏิบัติการ                         | 31   |
| 3.9 กลไกการทำงานของระบบ Semi-CSTR  | 32   |
| 4.1 ภาพเปรียบเทียบลักษณะกลีเซอรอลที่แยกชั้นสารอินทรีย์ออกแล้ว                                      | 35   |
| 4.2 อัตราการผลิตก๊าซชีวภาพของระบบหมักที่สารตั้งต้นต่างๆ กัน  | 36   |
| 4.3 อัตราการผลิตก๊าซชีวภาพสะสมของระบบหมักที่สารตั้งต้นต่างๆ กัน                                    | 37   |
| 4.4 ร้อยละการผลิตก๊าซมีเทนของระบบหมักที่สารตั้งต้นต่างๆ กัน  | 37   |
| 4.5 อัตราการผลิตก๊าซชีวภาพในแต่ละวันของระบบหมักที่อัตราส่วน COD : TKN ต่างๆ กัน                    | 38   |

## รายการภาพประกอบ(ต่อ)

| ภาพประกอบที่  | หน้า |
|---|------|
| 4.6 อัตราการผลิตก๊าซชีวภาพสะสมของระบบหมักที่อัตราส่วน COD : TKN ต่าง ๆ กัน                | 39   |
| 4.7 ร้อยละการผลิตก๊าซมีเทนของระบบหมักที่ COD : TKN ต่าง ๆ กัน                             | 40   |
| 4.8 ร้อยละของก๊าซไนโตรเจนที่เป็นองค์ประกอบในก๊าซชีวภาพของระบบหมักที่ COD : TKN ต่าง ๆ กัน | 40   |
| 4.9 พีเอชของน้ำทิ้งจากระบบหมักแบบ Semi-CSTR   | 42   |
| 4.10 สภาพค่างของน้ำทิ้งจากระบบหมักแบบ Semi-CSTR   | 43   |
| 4.11 กรดระเหยง่ายของน้ำทิ้งจากระบบหมักแบบ Semi-CSTR                                       | 44   |
| 4.12 อัตราส่วนของกรดระเหยง่ายต่อสภาพค่างของน้ำทิ้งจากระบบหมักแบบ Semi-CSTR                | 45   |
| 4.13 SCOD ของน้ำทิ้งจากระบบหมักแบบ Semi-CSTR  | 46   |
| 4.14 ประสิทธิภาพการบำบัด SCOD ของน้ำทิ้งจากระบบหมักแบบ Semi-CSTR                          | 47   |
| 4.15 อัตราการผลิตก๊าซชีวภาพในแต่ละวันของการทดลอง  | 48   |
| 4.16 ร้อยละการผลิตก๊าซมีเทนในระบบหมักต่อวัน   | 49   |
| 4.17 ความสัมพันธ์ของ OLR และผลผลิตก๊าซชีวภาพเฉลี่ยที่สภาวะคงตัว                           | 51   |
| 4.18 ความสัมพันธ์ของ OLR และผลผลิตก๊าซมีเทนเฉลี่ยที่สภาวะคงตัว                            | 51   |
| 4.19 อัตราส่วน VFA:Alk ที่ OLR ต่าง ๆ ของอัตราส่วน COD : TKN เท่ากับ 50 : 1 และ 40:1      | 53   |
| 4.20 pH และ VFA ที่ OLR ต่าง ๆ ของอัตราส่วน COD:TKN เท่ากับ 50:1 และ 40:1                 | 54   |
| 4.21 อัตราการผลิตก๊าซชีวภาพในแต่ละวันที่อัตราส่วน COD:TKN เท่า 40:1                       | 55   |
| 4.22 อัตราการผลิตก๊าซชีวภาพในแต่ละวันที่อัตราส่วน COD:TKN เท่า 50:1                       | 55   |
| 4.23 ร้อยละการผลิตก๊าซมีเทนที่อัตราส่วน COD : TKN เท่ากับ 40 : 1                          | 57   |
| 4.24 ร้อยละการผลิตก๊าซมีเทนที่อัตราส่วน COD : TKN เท่ากับ 50 : 1                          | 57   |
| 4.25 ผลผลิตก๊าซชีวภาพที่อัตราส่วน COD : TKN เท่ากับ 50 : 1 และ 40:1                       | 60   |
| 4.26 ผลผลิตก๊าซมีเทนที่อัตราส่วน COD : TKN เท่ากับ 50 : 1 และ 40:1                        | 60   |

## รายการภาพประกอบ(ต่อ)

| ภาพประกอบที่   | หน้า |
|--|------|
| ข-1 Karl Fischer Coulometer  | 87   |
| ข-2 ลักษณะของเถ้า (Ash) ที่ได้จากการเผาถ่านซี  | 90   |
| ข-3 การประกอบชุดกลั่น COD แบบ Open Reflux  | 93   |
| ข-4 การประกอบชุดกลั่นเจลดาคัล  | 98   |
| ข-5 สถานะการทดลองที่ใช้ในการวิเคราะห์หึ่งค์ประกอบของก๊าซชีวภาพด้วยเครื่อง<br>Gas Chromatograph-TCD ยี่ห้อ Hewlett Packard รุ่น HP 6890 | 100  |

### สัญลักษณ์คำย่อและตัวย่อ

|      |   |
|------|---|
| Alk  | = Alkalinity คือ ความสามารถของน้ำในการรับอนุภาคโปรตอน ซึ่งส่วนใหญ่เกิดจากองค์ประกอบของสารละลายคาร์บอเนตและไบคาร์บอเนต                         |
| HRT  | = Hydraulic Retention Time คือ ระยะเวลาที่น้ำถูกกักพักอยู่ในถังปฏิกรณ์  |
| MLSS | = Mixed Liquor Suspended Solids คือ ปริมาณหรือความเข้มข้นโดยประมาณของตะกอนจุลินทรีย์ในถังปฏิกรณ์  |
| OLR  | = Organic Loading Rate คือ ปริมาณสารอินทรีย์ที่ป้อนเข้าสู่ระบบในแต่ละวัน  |
| SCOD | = Soluble Chemical Oxygen Demand คือ ปริมาณออกซิเจนทั้งหมดที่ใช้ในการออกซิไดซ์สารอินทรีย์ในรูปที่ละลายอยู่ในน้ำด้วยวิธีทางเคมี                |
| SS   | = Suspended Solids คือ ส่วนของของแข็งที่ไม่ละลายน้ำและแขวนลอยอยู่ในน้ำได้   |
| TCOD | = Total Chemical Oxygen Demand คือ ปริมาณออกซิเจนทั้งหมดที่ใช้ในการออกซิไดซ์สารอินทรีย์ด้วยวิธีทางเคมีทั้งในรูปของแข็งและรูปที่ละลายอยู่ในน้ำ |
| TKN  | = Total Kjeldahl Nitrogen คือ ปริมาณไนโตรเจนที่ประกอบด้วยอินทรีย์ไนโตรเจน และแอมโมเนียไนโตรเจน  |
| VFA  | = Volatile Fatty Acid คือ กรดอินทรีย์ที่มีคาร์บอนอะตอมไม่เกิน 6 ตัวสามารถละลายน้ำได้ น้ำหนักโมเลกุลต่ำ สามารถกลั่นได้ที่ความดันต่ำ            |

# บทที่ 1

## บทนำ

### 1.1 บทนำต้นเรื่อง

นับตั้งแต่ปี พ.ศ.2513 เป็นต้นมา โลกเริ่มประสบกับวิกฤตการณ์พลังงานอันเนื่องมาจากราคาน้ำมันดิบที่เพิ่มสูงขึ้นอยู่ตลอดเวลาและปริมาณการผลิตที่ลดลง ทำให้นานาประเทศต้องเร่งพัฒนาแหล่งพลังงานอื่นๆ เพื่อใช้แทนน้ำมัน แหล่งพลังงานที่ได้รับความสนใจมากที่สุดได้แก่ พลังงานทดแทน (renewable energy) ซึ่งมีอยู่หลายรูปแบบ เช่น ก๊าซชีวภาพ (biogas) แสงอาทิตย์ ลม และคลื่น เป็นต้น โดยเฉพาะ ก๊าซชีวภาพเป็นพลังงานอย่างหนึ่ง ที่ได้รับความสนใจในปัจจุบัน การผลิตก๊าซชีวภาพนอกจากจะได้ก๊าซชีวภาพซึ่งใช้เป็นพลังงานเชื้อเพลิงได้แล้ว ยังสามารถแก้ปัญหาหมลพิษ ได้ โดยการ ลดปริมาณของเสียที่เป็นสารอินทรีย์ที่ปล่อยออกไปสู่สิ่งแวดล้อมได้อีกด้วย

กลีเซอรอลดิบ (Crude glycerol) เป็นผลผลิตพลอยได้จากปฏิกิริยาทรานส์เอสเตอริฟิเคชัน (Transesterification) ของน้ำมันพืชหรือไขมันสัตว์จากกระบวนการผลิตไบโอดีเซล ในการผลิตไบโอดีเซล 9 กิโลกรัมจะเกิดผลผลิตพลอยได้กลีเซอรอลดิบ 1 กิโลกรัม (Dasari, *et al.*, 2005) ในปัจจุบัน โรงงานผลิตไบโอดีเซลในประเทศไทยทำการผลิตไบโอดีเซลได้กว่า 500,000 ลิตรต่อวัน ให้ผลพลอยได้กลีเซอรอลดิบสูงถึง 50,000 ลิตรต่อวัน จึงทำให้ราคาของกลีเซอรอลที่ถูกใช้อย่างกว้างขวางทั้งในอุตสาหกรรมยาและเครื่องสำอางมีราคาตกลงมาอย่างต่อเนื่อง การเติบโตขึ้นของการผลิตไบโอดีเซลหลายปีที่ผ่านมาทำให้ตลาดไม่สามารถรองรับปริมาณกลีเซอรอลที่ล้นตลาดได้ (Dasari, *et al.*, 2007) ส่งผลให้มีปัญหาในการจัดเก็บ อีกทั้งยังเป็นการเพิ่มต้นทุนในการผลิตไบโอดีเซล จึงต้องหาทางออกเพื่อลดปริมาณกลีเซอรอลดิบลง เพื่อเป็นการแก้ไขปัญหาดังกล่าวจึงจำเป็นต้องมีการศึกษา วิจัย และพัฒนากระบวนการแปรรูปกลีเซอรอลดิบให้เป็นวัสดุที่มีมูลค่าหรือคุณสมบัติอย่างมีประสิทธิภาพ เพื่อรองรับปริมาณสะสมของกลีเซอรอลในอุตสาหกรรม และเป็นการส่งเสริมกระบวนการผลิตไบโอดีเซลที่มีแนวโน้มเติบโตอย่างรวดเร็วในปัจจุบัน

กลีเซอรอลดิบจากกระบวนการผลิตไบโอดีเซลสามารถทำให้บริสุทธิ์ด้วยวิธีการกลั่น เพื่อนำไปใช้เป็นวัตถุดิบในอุตสาหกรรมเคมีต่างๆ เช่น อุตสาหกรรมยา เครื่องสำอาง พลาสติกและ พอลิเมอร์ แต่กระบวนการกลั่นดังกล่าวยังเป็นกระบวนการที่มีค่าใช้จ่ายของ



พลังงานและค่าใช้จ่ายในการดำเนินการสูง เนื่องจากกลีเซอรอลดิบจากกระบวนการผลิตไบโอดีเซล มีสิ่งเจือปนอยู่มาก ประกอบกับราคาในตลาดของกลีเซอรอลบริสุทธิ์มีแนวโน้มลดลง เพราะกลีเซอรอลดิบจากกระบวนการผลิตไบโอดีเซลมีปริมาณสะสมเพิ่มขึ้น กระบวนการผลิตกลีเซอรอลบริสุทธิ์จากการกลั่นกลีเซอรอลดิบเพื่อการค้าจึงอาจจะไม่คุ้มค่าในอนาคต

งานวิจัยนี้ ได้ทำการวิจัยและศึกษา กระบวนการแปรรูปกลีเซอรอลดิบด้วย กระบวนการทางชีวภาพ คือกระบวนการหมักด้วยเชื้อจุลินทรีย์ ร่วมกับมูลสุกร โดยใช้กลีเซอรอลดิบและมูลสุกรเป็นแหล่งพลังงานของจุลินทรีย์ ซึ่งเป็นวิธีที่เหมาะสมสำหรับประเทศไทย เนื่องจาก กระบวนการหมักใช้พลังงานน้อย และวัสดุที่ใช้ (จุลินทรีย์) หาได้ในประเทศไทย ในขณะที่ กระบวนการทางเคมีนั้นสร้างของเสียที่เป็นมลพิษ ใช้พลังงานสูง และใช้ตัวเร่งปฏิกิริยาโลหะ ที่มีราคาแพง ซึ่งต้องนำเข้าจากต่างประเทศ ผลผลิตที่คาดว่าจะได้จากกระบวนการหมักคือ ก๊าซชีวภาพ ซึ่งเป็นพลังงานเชื้อเพลิง และสามารถนำไปใช้เพื่อผลิตไบโอดีเซลได้ในอนาคต

กลีเซอรอลดิบที่ใช้ในการทดลองเป็นผลพลอยได้จากโรงงานไบโอดีเซลต้นแบบ ณ มหาวิทยาลัยสงขลานครินทร์ วิทยาเขตหาดใหญ่ จังหวัดสงขลา ซึ่งมีกำลังการผลิตไบโอดีเซลจากน้ำมันปาล์มและน้ำมันพืชใช้แล้ว ด้วยกำลังการผลิต 1,000 ลิตรต่อวัน โดยโครงการนี้มีการใช้จุลินทรีย์ที่หาได้ในประเทศไทย คือจุลินทรีย์จากระบบบำบัดน้ำเสียแบบไร้อากาศจากโรงงานอุตสาหกรรม อาหารทะเล (ห้องเย็นโชติวัฒน์ หาดใหญ่ ) ในการดำเนินการกระบวนการแปรรูปกลีเซอรอลดิบ โดยผลที่ได้จากงานวิจัยนี้เป็นส่วนช่วยในการส่งเสริมการใช้ทรัพยากรและพลังงานทดแทนอย่างมีประสิทธิภาพ ลดต้นทุน และพัฒนาอุตสาหกรรมไบโอดีเซลในอนาคต เพื่อให้ประเทศไทยสามารถพึ่งพาตัวเองในด้านพลังงานได้ในที่สุด

## 1.2 วัตถุประสงค์

1.2.1 เพื่อศึกษาสภาวะที่เหมาะสมต่อกระบวนการผลิตก๊าซชีวภาพจากกลีเซอรอลดิบ ร่วมกับมูลสุกร

1.2.2 เพื่อศึกษากระบวนการแปรรูปกลีเซอรอลดิบที่ได้จากกระบวนการผลิตไบโอดีเซล โดยผลิตเป็นก๊าซชีวภาพ ด้วยกระบวนการหมักด้วยจุลินทรีย์ร่วมกับมูลสุกร

### 1.3 ประโยชน์ที่ได้รับจากงานวิจัย

- 1.3.1 ทราบถึงสถานะที่เหมาะสมต่อกระบวนการผลิตก๊าซชีวภาพจากกลีเซอรอลดิบ ที่ได้จากกระบวนการผลิตไบโอดีเซล
- 1.3.2 เป็นแนวทางในการเพิ่มมูลค่าให้กับกลีเซอรอลดิบจากกระบวนการผลิตไบโอดีเซล
- 1.3.3 ช่วยลดปริมาณและค่าใช้จ่ายของการกักเก็บกลีเซอรอลดิบในโรงงานผลิตไบโอดีเซล
- 1.3.4 เป็นองค์ความรู้สำหรับกระบวนการผลิตก๊าซชีวภาพจากทรัพยากรทดแทน

### 1.4 ขอบเขตงานวิจัย

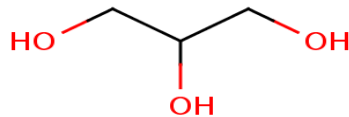
- 1.4.1 ศึกษากระบวนการแปรรูปกลีเซอรอลดิบที่ได้จากกระบวนการผลิตไบโอดีเซลของ คณะวิศวกรรมศาสตร์ มหาวิทยาลัยสงขลานครินทร์ วิทยาเขตหาดใหญ่ เพื่อผลิตเป็นก๊าซชีวภาพจากกระบวนการหมักด้วยเชื้อจุลินทรีย์
- 1.4.2 จุลินทรีย์ที่ใช้ในกระบวนการหมักคือ ตะกอนจุลินทรีย์แบบเม็ด (Granular Sludge) จากระบบบำบัดน้ำเสียแบบยูเอเอสบี ในสถานะมีโซฟิลิก ของโรงงานห้องเย็นโชติวัฒน์ขนาดใหญ่
- 1.4.3 ในกระบวนการหมักกลีเซอรอลจะมีการเติมแหล่งอาหารให้จุลินทรีย์ โดยใช้มูลสุกรจากฟาร์มเลี้ยงสุกร ภาควิชาสัตวศาสตร์ คณะทรัพยากรธรรมชาติ มหาวิทยาลัยสงขลานครินทร์
- 1.4.4 กระบวนการหมักที่ศึกษาเป็นกระบวนการหมักแบบไร้อากาศ หรือมีออกซิเจนน้อยมาก (Anaerobic Process)
- 1.4.5 ศึกษาสถานะที่เหมาะสมต่อกระบวนการผลิตก๊าซชีวภาพ
  - 1.4.5.1 ศึกษาผลของกลีเซอรอลต่อการหมักแบบแบทช์
  - 1.4.5.2 การหาอัตราส่วน COD: TKN ที่เหมาะสมด้วยการหมักแบบแบทช์
  - 1.4.5.3 ศึกษาการหมักแบบ Semi-CSTR

## บทที่ 2

### การตรวจเอกสาร

#### 2.1 ความรู้ทั่วไปเกี่ยวกับกลีเซอรอล

กลีเซอรอล (Glycerol) หรือ กลีเซอริน (Glycerin) เป็นสารประกอบเคมีที่ไม่มีสี ไม่มีกลิ่น รสหวาน มีความหนืดสูง นิยมใช้ในอุตสาหกรรมยาและเครื่องสำอาง มีสูตรโมเลกุลเป็น  $\text{HOCH}_2\text{CH}(\text{OH})\text{CH}_2\text{OH}$  จัดเป็นสารประกอบประเภทแอลกอฮอล์น้ำตาล (Sugar alcohol) ซึ่งมีหมู่ไฮดรอกซิล 3 หมู่ ดังแสดงในภาพประกอบที่ 2.1 ทำให้กลีเซอรอลมีความสามารถในการละลายน้ำได้ดี คุณสมบัติอื่นๆ ของกลีเซอรอลบริสุทธิ์แสดงดังตารางที่ 2.1



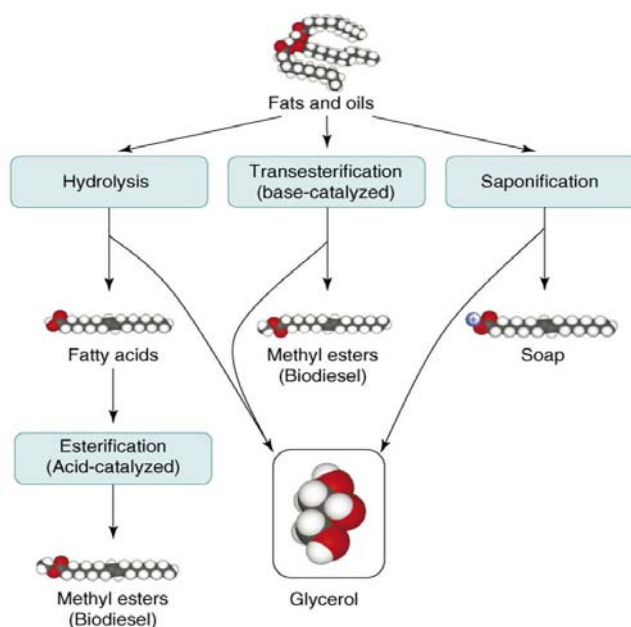
ภาพประกอบที่ 2.1 แสดงโครงสร้างโมเลกุลของกลีเซอรอล

#### 2.2 กลีเซอรอลจากปฏิกิริยาทรานส์เอสเทอริฟิเคชัน

กลีเซอรอลได้จากอุตสาหกรรมไบโอดีเซล เกิดจากปฏิกิริยาทรานส์เอสเทอริฟิเคชัน (Transesterification) หรือปฏิกิริยาสะปอนนิฟิเคชัน (Saponification) ซึ่งเป็นปฏิกิริยาข้างเคียงในกระบวนการผลิตไบโอดีเซล นอกจากนี้ยังเกิดจากปฏิกิริยาไฮโดรไลซิส (Hydrolysis) ของไตรกลีเซอไรด์ได้อีกด้วย ดังแสดงในภาพประกอบที่ 2.2

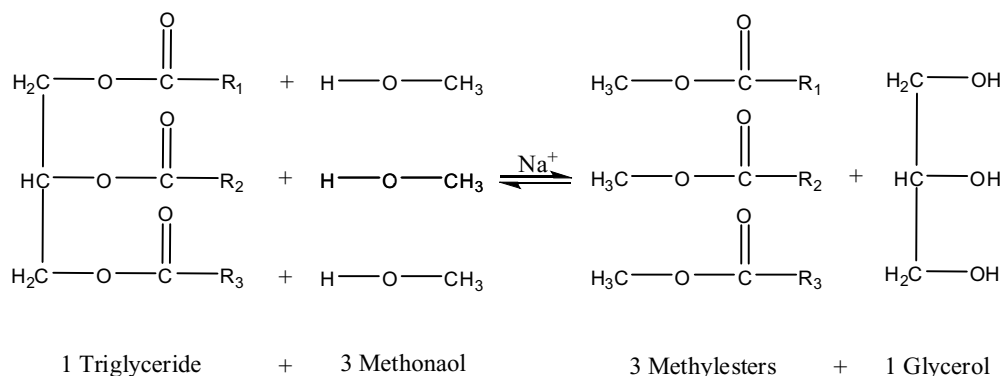
ตารางที่ 2.1 คุณสมบัติต่างๆ ของกลีเซอรอลบริสุทธิ์

|              |                         |
|--------------|-------------------------|
| สูตร โมเลกุล | $C_3H_5(OH)_3$          |
| มวลโมเลกุล   | 92.09382 g/mol          |
| ความหนาแน่น  | 1.261 g/cm <sup>3</sup> |
| จุดหลอมเหลว  | 18 °C                   |
| จุดเดือด     | 290 °C                  |
| ความหนืด     | 1.5 Pa.s                |
| พีเอช        | 5 (ที่อุณหภูมิ 20 °C)   |



ภาพประกอบที่ 2.2 กระบวนการเกิดกลีเซอรอล (Yazdani and Gonzalez, 2007)

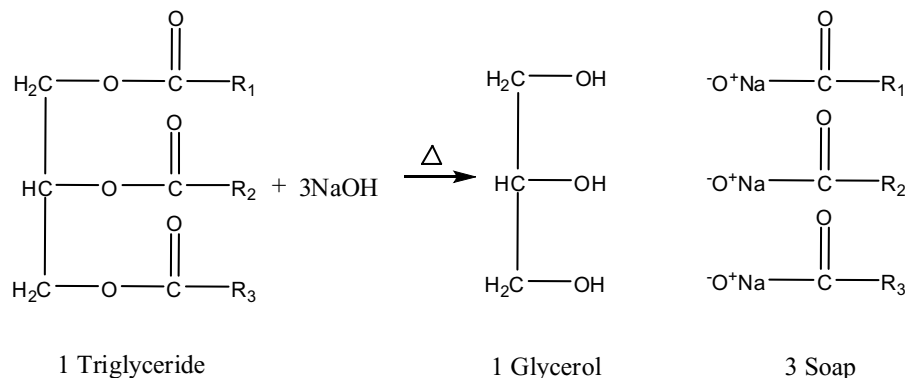
ปฏิกิริยาทรานส์เอสเทอร์ฟิเคชัน (Transesterification) เป็นปฏิกิริยาระหว่าง แอลกอฮอล์ (เมทิลหรือเอทิลแอลกอฮอล์) กับไตรกลีเซอไรด์ โดยใช้ด่างเป็นตัวเร่งปฏิกิริยา โดย ไตรกลีเซอไรด์ 1 โมล ทำปฏิกิริยากับแอลกอฮอล์ 3 โมล ได้เป็นโมโนแอลคิลเอสเทอร์ (เมทิลหรือเอทิลเอสเทอร์) 3 โมล และ กลีเซอรอล 1 โมล ดังภาพประกอบที่ 2.3



ภาพประกอบที่ 2.3 ปฏิกิริยาทรานส์เอสเตอริฟิเคชันของไตรกลีเซอไรด์และเมทานอล

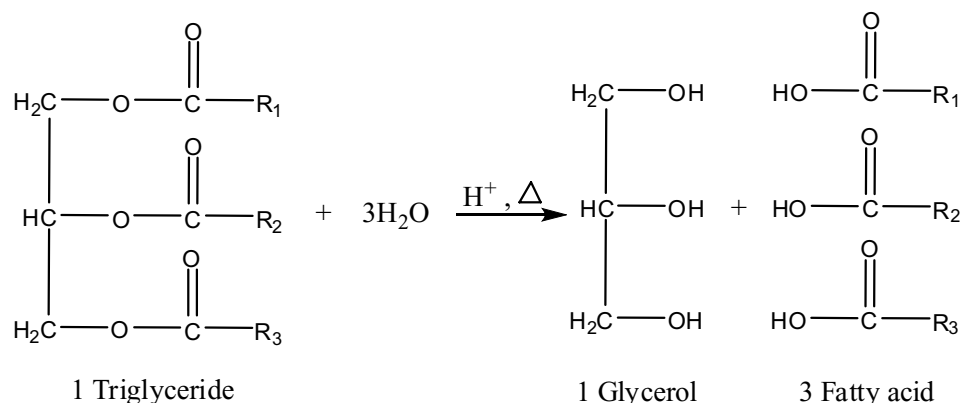
(Asakuma *et al.*, 2008)

ปฏิกิริยาสะปอนนิฟิเคชัน (Saponification) เป็นปฏิกิริยาที่เกิดจากไขมันหรือน้ำมัน ทำปฏิกิริยากับ โซเดียมไฮดรอกไซด์ ได้ผลิตภัณฑ์เป็นกลีเซอรอลกับเกลือ โซเดียมของกรดไขมัน ( $\text{RCOO}^-\text{Na}^+$ ) หรือสบู่แสดงดังภาพประกอบที่ 2.4



ภาพประกอบที่ 2.4 ปฏิกิริยาสะปอนนิฟิเคชันของไตรกลีเซอไรด์และโซเดียมไฮดรอกไซด์

นอกจาก 2 ปฏิกิริยาดังกล่าวข้างต้นแล้วกลีเซอรอลยังเกิดจากปฏิกิริยาไฮโดรไลซิสของไตรกลีเซอไรด์ซึ่งจะสลายตัวได้กลีเซอรอลและกรดไขมัน โดยไตรกลีเซอไรด์ 1 โมล จะสลายตัวได้เป็นกลีเซอรอลและกรดไขมันอย่างละ 1 โมล เช่นกัน ดังแสดงในภาพประกอบที่ 2.5



ภาพประกอบที่ 2.5 ปฏิกิริยาไฮโดรไลซิสของไตรกลีเซอไรด์

### 2.3 ลักษณะของกลีเซอรอลดิบที่ได้จากกระบวนการผลิตปาล์มไบโอดีเซล

กลีเซอรอลดิบที่เป็นผลพลอยได้จากกระบวนการผลิตปาล์มไบโอดีเซลมักมีสีน้ำตาลเข้ม มีทั้งสถานะที่เป็นของเหลวและของแข็ง ทั้งนี้ขึ้นอยู่กับชนิดของด่างที่ใช้เป็นตัวเร่งปฏิกิริยาในปฏิกิริยาทรานส์เอสเทอริฟิเคชัน ในกลีเซอรอลดิบมีสิ่งเจือปนได้แก่ น้ำ เมทานอล สบู่ เมทิลเอสเทอร์ โมโนกลีเซอไรด์ ไดกลีเซอไรด์ และ ไตรกลีเซอไรด์ซึ่งอยู่ในรูปน้ำมันปาล์ม ในกลีเซอรอลดิบมีปริมาณองค์ประกอบต่างๆ ไม่แน่นอนขึ้นอยู่กับกระบวนการที่ใช้ จากการที่ได้วิเคราะห์ห้อง ค้ประกอบของกลีเซอรอลดิบที่ได้จากกระบวนการผลิตปาล์มไบโอดีเซล คณะวิศวกรรมศาสตร์ มหาวิทยาลัยสงขลานครินทร์พบว่า มีปริมาณองค์ประกอบต่างๆ แสดงดังตารางที่ 2.2

ตารางที่ 2.2 ปริมาณองค์ประกอบต่างๆ ในกลีเซอรอลดิบ

| องค์ประกอบ       | ปริมาณ (%) |
|------------------|------------|
| กลีเซอรอล        | 43.7       |
| เถ้า             | 5.66       |
| สารอินทรีย์อื่นๆ | 10.88      |
| น้ำ              | 39.69      |

## 2.4 การใช้ประโยชน์จากกลีเซอรอล

### 2.4.1 การสังเคราะห์ผลิตภัณฑ์ด้วยวิธีทางเคมี

กลีเซอรอลสามารถใช้เป็นสารตั้งต้นในการสังเคราะห์ผลิตภัณฑ์ต่างๆ ได้หลากหลายด้วยวิธีทางเคมี ตัวอย่างเช่น ผลิตภัณฑ์ไฮโดรเจนด้วยวิธีการรีฟอร์มมิ่ง (Reforming) สังเคราะห์โพลีกลีเซอรอล (Clacens *et al.*, 2006) เพื่อใช้เป็นสารหล่อลื่นหรือใช้เป็นสารตั้งต้นในการสังเคราะห์พลาสติก หรือการสังเคราะห์กลีเซอรอลเทอร์เชียรีบิวทิลอีเทอร์ (Glycerol Tertiary Butyl Ether) ด้วยปฏิกิริยาอีเทอร์ฟิเคชันเพื่อให้ผสมในน้ำมันดีเซลและไบโอดีเซลเพื่อเพิ่มค่าออกเทน (Pagliaro *et al.*, 2007) นอกจากนี้ยังมีการใช้กลีเซอรอลเป็นสารตั้งต้นในการสังเคราะห์โพลีเอสเทอร์ (Stumbe and Bruchmann, 2004) นอกจากนี้ตัวอย่างดังกล่าวแล้วยังมีผลิตภัณฑ์อื่นๆ ที่สังเคราะห์ขึ้นได้ด้วยวิธีทางเคมีโดยใช้กลีเซอรอลเป็นสารตั้งต้น ได้แก่ กลีเซอรอลคาร์บอนेट โพรพิลีนไกลคอล อะซิโตน และอีพิกลอโรไฮดริน ซึ่งในการสังเคราะห์สารต่างๆ ดังกล่าวข้างต้นมักต้องใช้ตัวเร่งปฏิกิริยา ใช้อุณหภูมิและความดันสูงๆ

### 2.4.2 การสังเคราะห์ผลิตภัณฑ์ด้วยวิธีทางชีวภาพ

ผลิตภัณฑ์ที่ผลิตได้จากกลีเซอรอลด้วยวิธีทางชีวภาพได้แก่ 1,3-โพรเพนไดออล ซึ่งได้จากการย่อยสลายกลีเซอรอลด้วยเชื้อจุลินทรีย์หลายชนิดได้แก่ *Citrobacter*, *Enterobacter*, *Ilyobacter*, *Klebsiella*, *Lactobacillus*, *Pelobacter* และ *Clostridium* (Pagliaro *et al.*, 2007) ผลิตภัณฑ์ดังกล่าวสามารถนำไปผลิตพลาสติกที่ย่อยสลายได้ นอกจากนี้ยังมีการผลิตแก๊สไฮโดรเจนโดยใช้เชื้อ *Enterobacter aerogenes* ผลิตโคไฮดรอกซีอะซีโตนโดยใช้เชื้อ *Gluconobacter oxydans* ในการย่อยสลายกลีเซอรอลด้วยเชื้อแบคทีเรีย ยังได้ผลิตภัณฑ์ในกลุ่มกรดไขมันระเหยง่าย เช่น กรดซักซินิก กรดฟอร์มิก กรดโพรพิโอนิก และกรดบิวไทริก เป็นต้น และยังสามารถผลิตแอลกอฮอล์เช่น บิวทานอลและเอทานอลได้ด้วย (López *et al.*, 2009)

## 2.5 ข้อดีและข้อด้อยของการใช้ประโยชน์จากกลีเซอรอลด้วยกระบวนการทางเคมีและชีวภาพ

การสังเคราะห์ผลิตภัณฑ์จากกลีเซอรอลด้วยกระบวนการทางเคมีมักต้องใช้ตัวเร่งปฏิกิริยา (Catalyst) ซึ่งมีราคาแพง และต้องทำปฏิกิริยาในสภาวะที่มีอุณหภูมิหรือความดันสูงส่งผลให้ต้นทุนค่อนข้างสูงแต่มีข้อดีตรงที่อัตราการเกิดผลิตภัณฑ์ค่อนข้างสูง ส่วนในกระบวนการทางชีวภาพใช้เชื้อจุลินทรีย์ซึ่งเปรียบเสมือนตัวเร่งปฏิกิริยาชีวภาพ (Biocatalyst) ซึ่งเชื้อจุลินทรีย์ที่ใช้มัก

มีอยู่ทั่วไปในธรรมชาติ ทำให้ต้นทุนค่อนข้างต่ำกว่า อีกทั้งยังเป็นกระบวนการสะอาด ไม่ทำลายสิ่งแวดล้อม ข้อดีและข้อด้อยของทั้ง 2 วิธี ในด้านต่างๆ แสดงดังตารางที่ 2.3

ตารางที่ 2.3 การเปรียบเทียบข้อดีและข้อด้อยของกระบวนการทั้งสอง

| กระบวนการทางชีวภาพ (Biocatalysis)   | กระบวนการทางเคมี (Chemical Catalysis)   |
|---|---|
| <p><u>ข้อดี</u></p> <ol style="list-style-type: none"> <li>1. ต้นทุนต่ำกว่า</li> <li>2. เชื้อจุลินทรีย์ (biocatalyst) หาได้ง่าย</li> <li>3. ทำได้ที่สภาวะปกติ</li> <li>4. เป็นมิตรต่อสิ่งแวดล้อม</li> <li>5. มีความปลอดภัยกว่า</li> </ol> <p><u>ข้อด้อย</u></p> <ol style="list-style-type: none"> <li>1. ใช้เวลานาน</li> <li>2. ผลิตภัณฑ์มีสารปนเปื้อนมาก</li> <li>3. ทำผลิตภัณฑ์ให้บริสุทธิ์ได้ยากกว่า</li> </ol> | <p><u>ข้อดี</u></p> <ol style="list-style-type: none"> <li>1. ได้ผลผลิตสูง</li> <li>2. ใช้เวลาน้อยกว่า</li> <li>3. ปฏิกริยาที่มีความจำเพาะสูง</li> <li>4. แยกผลิตภัณฑ์และทำให้บริสุทธิ์ได้ง่าย</li> </ol> <p><u>ข้อด้อย</u></p> <ol style="list-style-type: none"> <li>1. ต้นทุนสูง</li> <li>2. มักต้องใช้อุณหภูมิและความดันสูงๆ</li> <li>3. อาจเกิดมลภาวะ</li> </ol> |

## 2.6 กระบวนการผลิตก๊าซชีวภาพ

Deublein and Steinhauser (2008) อธิบายว่าก๊าซชีวภาพเกิดจากกระบวนการหมักเพื่อให้เกิดการย่อยสลายสารอินทรีย์ในสภาวะไร้ออกซิเจน (Anaerobic Digestion) โดยแบคทีเรียหลายชนิด เมื่อสภาวะแวดล้อมเหมาะสม แบคทีเรียจะเจริญเติบโต และย่อยสลายสารอินทรีย์ เช่น โปรตีน, คาร์โบไฮเดรต และไขมัน จนกระทั่งในที่สุดเปลี่ยนสภาพเป็นก๊าซชีวภาพ องค์ประกอบหลักของก๊าซชีวภาพ คือ ก๊าซมีเทน ( $\text{CH}_4$ ) ประมาณร้อยละ 50-75 ซึ่งเป็นก๊าซที่ติดไฟ จึงนำไปใช้เป็นพลังงานทดแทนได้ ก๊าซคาร์บอนไดออกไซด์ ( $\text{CO}_2$ ) ประมาณ ร้อยละ 36-39 และก๊าซอื่น ๆ เช่น ก๊าซไฮโดรเจน ( $\text{H}_2$ ) ก๊าซไฮโดรเจนซัลไฟด์ ( $\text{H}_2\text{S}$ ) ประมาณร้อยละ 1-3 ซึ่งเป็นก๊าซที่ไม่ติดไฟ ดังนั้น คุณสมบัติของก๊าซชีวภาพ จะขึ้นอยู่กับปริมาณของก๊าซมีเทน ในระหว่างการเกิดปฏิกิริยาอินทรีย์สารจะถูกย่อยสลายและบางส่วนจะถูกนำไปใช้เพื่อการเจริญเติบโตของแบคทีเรีย สำหรับการเกิดกระบวนการนี้ค่อนข้างซับซ้อนเพราะต้องอาศัยแบคทีเรียหลายชนิดและขึ้นอยู่กับ



องค์ประกอบทางเคมีของวัตถุดิบที่นำมาใช้ ปฏิกริยาชีวเคมีของกระบวนการย่อยสลายแบบไม่ใช้ออกซิเจน แบ่งออกได้เป็น 4 ขั้นตอน ดังนี้

### 2.6.1 กระบวนการไฮโดรไลซิส (Hydrolysis)

ขั้นตอนนี้เป็นกระบวนการย่อยสลายสารประกอบอินทรีย์เชิงซ้อน (Complex Organic Compound) ที่มีขนาดโมเลกุลใหญ่ เช่น โปรตีน คาร์โบไฮเดรต และ ไขมัน ให้เป็นสารประกอบอินทรีย์ที่มีโมเลกุลเล็กลง สามารถละลายน้ำได้ เช่น กรดอะมิโน น้ำตาล กรดไขมัน ซึ่งเรียกปฏิกริยานี้ว่า ไฮโดรไลซิส ซึ่งเกิดขึ้นภายนอกเซลล์จุลินทรีย์ที่มีการปล่อย Exoenzymes (Hydrolase) เช่น โปรติเอส อะไมเลส ไลเปส เป็นต้น ออกมาเพื่อไฮโดรไลซ์สารประกอบเชิงซ้อนที่มีความจำเพาะเจาะจงกับสารตั้งต้น โดยกลุ่มจุลินทรีย์พวก Facultative และ Obligate Anaerobic กระบวนการไฮโดรไลซิสเป็นขั้นตอนจำกัดอัตราการเกิดทั้งหมดของระบบ (Rate Limiting Step) ทั้งนี้ขึ้นอยู่กับองค์ประกอบของน้ำเสียที่เข้าสู่ระบบด้วยเช่นกัน

### 2.6.2 กระบวนการอะซิโดเจเนซิส (Acidogenesis)

สารประกอบอย่างง่ายที่ได้จากกระบวนการไฮโดรไลซิสจะถูกใช้เป็นแหล่งคาร์บอนและแหล่งพลังงานของจุลินทรีย์พวก Facultative และ Obligate Anaerobic โดยกระบวนการหมักซึ่งจุลินทรีย์ที่ทำหน้าสร้างกรด (Acid Formers หรือ Non-Methanogenic Bacteria) จะเปลี่ยนน้ำตาล กรดอะมิโน และกรดไขมัน ให้เป็นกรดอินทรีย์ซึ่งส่วนใหญ่เป็นกรดไขมันระเหยง่าย (Volatile Fatty Acids) ที่มีจำนวนคาร์บอนอยู่ในช่วง  $C_1$ -  $C_5$  (กรดอะซิติก กรดโพรพิโอนิก และ กรดบิวทิริก) แอลกอฮอล์ ไฮโดรเจน และคาร์บอนไดออกไซด์

### 2.6.3 อะซิโดเจเนซิส (Acetogenesis)

ขั้นตอนนี้จะเปลี่ยนผลผลิตที่ได้จากขั้นตอนการหมักกรด (Intermediate Metabolites) ไปเป็นกรดอะซิติก คาร์บอนไดออกไซด์ และไฮโดรเจน โดยจุลินทรีย์กลุ่มโฮโมอะซิติก (Homoacetogenic Microorganisms) ดังแสดงในตารางที่ 2.4

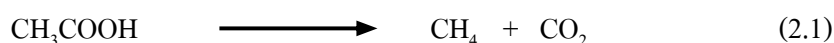
ตารางที่ 2.4 การย่อยสลายในกระบวนการอะซิโตเจเนซิส (Deublein and Steinhauser, 2008)

| Substrate    | reaction   |
|--------------|--|
| Propionic    | $\text{CH}_3(\text{CH}_2)\text{COOH} + 2\text{H}_2\text{O} \longrightarrow \text{CH}_3\text{COOH} + \text{CO}_2 + 3\text{H}_2$ |
| Butyric acid | $\text{CH}_3(\text{CH}_2)_2\text{COOH} + 2\text{H}_2\text{O} \longrightarrow 2\text{CH}_3\text{COOH} + 2\text{H}_2$            |
| Glycerol     | $\text{C}_3\text{H}_8\text{O}_3 + \text{H}_2\text{O} \longrightarrow \text{CH}_3\text{COOH} + 3\text{H}_2 + \text{CO}_2$       |
| Lactic acid  | $\text{CH}_3\text{CHOHCOO}^- + 2\text{H}_2\text{O} \longrightarrow \text{CH}_3\text{COOH} + 3\text{H}_2 + \text{CO}_2$         |
| Ethanol      | $\text{CH}_3(\text{CH}_2)\text{OH} + \text{H}_2\text{O} \longrightarrow \text{CH}_3\text{COOH} + 2\text{H}_2$                  |

#### 2.6.4 กระบวนการสร้างมีเทน (Methane Formation)

กรดอินทรีย์ที่เกิดขึ้นจากกระบวนการอะซิโตเจเนซิสและ กระบวนการอะซิโตเจเนซิสจะเป็นสารอาหารตั้งต้นของกลุ่มจุลินทรีย์ที่ต้องอยู่ในสภาวะไร้ออกซิเจนอิสระ (Obligate Anaerobic Bacteria) เรียกว่ากลุ่มจุลินทรีย์สร้างมีเทน (Methane Former Bacteria หรือ Methanoenic Bacteria) ซึ่งเติบโตอย่างช้าๆ ในน้ำเสีย จุลินทรีย์สร้างมีเทนสามารถแบ่งเป็น 2 ประเภท ดังนี้

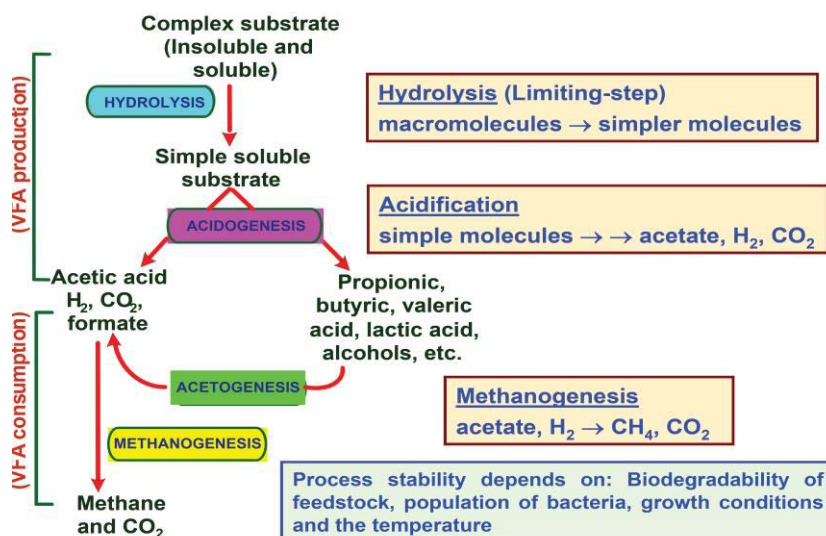
1. Acetotrophic Methanogens อาจเรียกว่า Acetoclastic Bacteris หรือ Acetate Splitting Bacteria ทำหน้าที่เปลี่ยนกรดอะซิติกให้เป็นมีเทนและคาร์บอนไดออกไซด์ ซึ่งเป็นวิธีหลักในการสร้างมีเทน คือ ประมาณร้อยละ 72 ดังสมการที่ 2.1



2. Hydrogenotrophic Methanogenic หรือ Hydrogen-Utilizing Chemolithotrophs มีหน้าที่เปลี่ยนไฮโดรเจนและคาร์บอนไดออกไซด์ โดยที่ฟอร์เมทจะถูกเปลี่ยนรูปไปเป็นก๊าซคาร์บอนไดออกไซด์และไฮโดรเจนแล้วถูกเปลี่ยนรูปต่อไปเป็นมีเทน ซึ่งเป็นวิธีรองของกระบวนการสร้างมีเทนคือประมาณร้อยละ 28 ดังสมการที่ 2.2 และ 2.3 กระบวนการทั้งหมดสามารถแสดง ดังภาพประกอบที่ 2.6

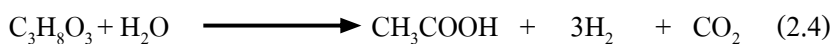


## Anaerobic Digestion Process



ภาพประกอบที่ 2.6 ขั้นตอนการทำงานของกระบวนการย่อยสลายในสภาพไร้ออกซิเจน  
([www.pyo.nu.ac.th/en/data/307331/0%20Anaerobic%20digestion.pfd](http://www.pyo.nu.ac.th/en/data/307331/0%20Anaerobic%20digestion.pfd))

Deublein and Steinhauser, 2008 ได้เสนอ ทฤษฎีการเกิดก๊าซชีวภาพจาก กลีเซอรอลไว้ดังสมการที่ 2.4-2.6



Acetotrophic methanogens ทำหน้าที่เปลี่ยนกรดอะซิติกให้เป็นมีเทนและคาร์บอนไดออกไซด์



Hydrogenotropic methanogenic มีหน้าที่เปลี่ยนไฮโดรเจนและคาร์บอนไดออกไซด์ไปเป็นมีเทน



### 2.7 ปัจจัยที่เกี่ยวข้องในกระบวนการหมักแบบไร้อากาศ

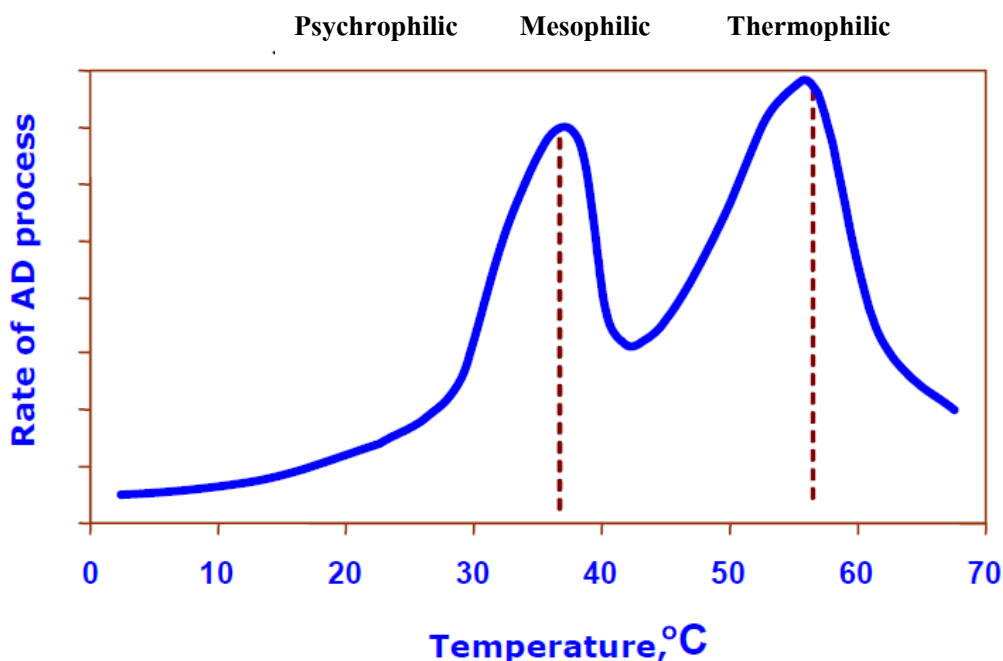
เนื่องจากกระบวนการผลิตก๊าซชีวภาพเป็นผลการทำงาน of แบคทีเรียหลายชนิด การที่จะทำให้แบคทีเรียผลิตก๊าซได้ดีนั้นจะต้องสร้างสภาพแวดล้อมที่เหมาะสมกับการเจริญเติบโตของแบคทีเรีย เพราะถ้าหากสภาพแวดล้อมไม่เหมาะสมจะทำให้การผลิตก๊าซได้ผลลดลง ปัจจัยที่เกี่ยวข้องในระบบการหมักแบบไร้อากาศมีดังนี้

### 2.7.1 อุณหภูมิ (Temperature)

กระบวนการย่อยสลายสารอินทรีย์แบบไม่ใช้ออกซิเจนของจุลินทรีย์มีช่วงอุณหภูมิที่เหมาะสมอยู่ 2 ช่วง คือ ช่วงอุณหภูมิประมาณ 32-42 องศาเซลเซียส เหมาะแก่การทำงานของมีโซฟิลแบคทีเรีย (Mesophilic Bacteria) และช่วงอุณหภูมิประมาณ 48-55 องศาเซลเซียส เหมาะแก่การทำงานของเทอร์โมฟิลิกแบคทีเรีย (Thermophilic Bacteria) (Deublein and Steinhauser, 2008)

Yang *et al.* (2007) ได้ศึกษากระบวนการย่อยสลายทางชีวภาพและการผลิตก๊าซมีเทนจากน้ำเสียสังเคราะห์หมักร่วมกับกลีเซอรอล ด้วยถังปฏิกรณ์ชีวภาพแบบเบดนิ่ง ภายใต้สภาวะไร้อากาศที่สภาวะมีโซฟิลิก และสภาวะเทอร์โมฟิลิก พบว่าถังปฏิกรณ์เทอร์โมฟิลิก (35±1 องศาเซลเซียส) ให้ผลการทดลองที่ดี คือ ได้ค่าเฉลี่ยการกำจัดคาร์บอนอินทรีย์ถึงร้อยละ 86.7 ที่ภาระบรรทุกสารอินทรีย์ 1.00 กรัม/ลิตร/วัน

ธนาวัฒน์ รักกมล (2549) ได้ศึกษาการเปรียบเทียบประสิทธิภาพในการบำบัดสารอินทรีย์ของน้ำเสียจากโรงงานสกัดน้ำมันปาล์มภายใต้สภาวะเทอร์โมฟิลิก (55±1 องศาเซลเซียส) และมีโซฟิลิก (35±1 องศาเซลเซียส) โดยระบบเอเอสบีอาร์ระดับห้องปฏิบัติการ มีลักษณะเป็นทรงกระบอกที่มีปริมาตรใช้งาน 5 ลิตร โดยเดินระบบแบบขึ้นตอนเดียว และแบบสองขั้นตอน โดยภาพรวมรูปแบบการเดินระบบของถังปฏิกรณ์ทั้งสองชนิดมีประสิทธิภาพในการบำบัดชีโอดีทั้งหมดใกล้เคียงกัน แต่เมื่อนำข้อมูลมาวิเคราะห์ทางสถิติพบว่า โดยส่วนใหญ่ถังปฏิกรณ์เทอร์โมฟิลิกมีประสิทธิภาพในการบำบัดชีโอดีทั้งหมดสูงกว่าถังปฏิกรณ์มีโซฟิลิกอย่างมีนัยสำคัญ ช่วงอุณหภูมิมีผลต่ออัตราการทำงานของกระบวนการหมักแบบไร้อากาศดังกล่าวประกอบที่ 2. 7



ภาพประกอบที่ 2.7 ผลของอุณหภูมิที่มีต่ออัตราการทำงานของกระบวนการหมักแบบไร้อากาศ  
([www.pyo.nu.ac.th/ene/data/307331/0%20Anaerobic%20digestion.pfd](http://www.pyo.nu.ac.th/ene/data/307331/0%20Anaerobic%20digestion.pfd))

แม้ว่าช่วงเทอร์โมฟิลิกจะมีอัตราการย่อยสลายสารอินทรีย์และการผลิตก๊าซชีวภาพสูงกว่ามีโซฟิลิกแต่ต้องเสียค่าใช้จ่ายในการเพิ่มอุณหภูมิจึงไม่ได้รับความนิยม สำหรับประเทศไทยมีอุณหภูมิค่อนข้างสูง ระบบจะทำงานในช่วงมีโซฟิลิกได้เองตามธรรมชาติ

### 2.7.2 พีเอช (pH)

ในระบบบำบัดน้ำเสียแบบไร้อากาศโดยมากจะพบปัญหาเรื่องการควบคุมพีเอช เนื่องจากแบคทีเรียในระบบบำบัดต้องการช่วงพีเอชที่เหมาะสมต่อการเจริญต่างกัน คือ แบคทีเรียกลุ่มที่สร้างกรดจะย่อยสลายสารอินทรีย์และผลิตกรดอะซิติกทำให้พีเอชของน้ำเสียน้อยลงจาก 7.0-7.5 ซึ่งเป็นช่วงพีเอชที่เหมาะสมต่อการผลิตมีเทน โดยมีทาโนจินิคแบคทีเรีย สำหรับการควบคุมระบบบำบัดแบบไร้อากาศโดยทั่วไปจะควบคุมพีเอชของน้ำเสียในระบบให้อยู่ในช่วง 6.7-7.5 (Deublein and Steinhauser, 2008) เพื่อให้แบคทีเรียแต่ละกลุ่มสามารถเจริญและเพิ่มจำนวนเซลล์ได้อย่างอิสระโดย ใช้แอมโมเนียมไบคาร์บอเนต ( $\text{NH}_4\text{HCO}_3$ ) เป็นบัฟเฟอร์หลักในการควบคุมค่าพีเอชของน้ำเสียในระบบ เพราะหากให้พีเอชของน้ำเสียสูงหรือต่ำเกินไปจะเป็นอันตรายต่อ

แบคทีเรียที่สร้างมีเทนและหากพีเอชลดลงถึงช่วง 4.5-5.0 จะมีผลให้แบคทีเรียสร้างมีเทนหยุดการเจริญได้ ในกรณีที่ ความเป็นด่างไม่พอเพียง ควรเติมด่างเช่น โซดาไฟ (NaOH) ปูนขาว หรือ โซเดียมไบคาร์บอเนต (NaHCO<sub>3</sub>) ซึ่งเป็นสารเคมีที่เหมาะสมที่สุดเพราะให้ไบคาร์บอเนตโดยตรง แต่มีราคาแพง สารเหล่านี้สามารถใช้ในการปรับปรุงพีเอชน้ำเสียของระบบให้อยู่ในช่วงที่เหมาะสมได้ หากปรับพีเอชให้สูงกว่านี้อาจมีผลทำให้เกิดการสร้างตะกอนฟล็อกขึ้นในระบบได้ (Gray, 1981)

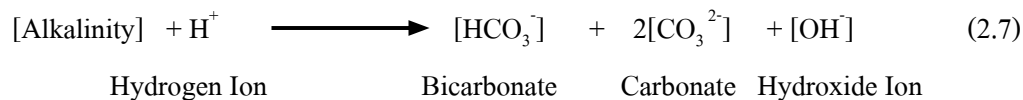
### 2.7.3 กรดระเหยง่าย

กรดระเหยง่าย (Volatile Fatty Acid, VFA) ได้แก่พวกกรดอะซิติก กรดบิวทิริก กรดโพรพิโอนิก กรดฟอร์มิก เป็นต้น การที่พบกรดพวกนี้ในปริมาณมากเป็นสัญญาณเตือนถึงความล้มเหลวของระบบ เนื่องกรดเหล่านี้เป็นผลิตภัณฑ์สารตัวกลางที่เกิดขึ้นในกระบวนการย่อยสลายของสารอินทรีย์ในสภาวะไร้อากาศ ระบบที่มีการสะสมของกรดระเหยง่ายในปริมาณที่มาก ช่วงแรกกรดระเหยง่ายจะมีผลทำให้สภาพต่างของระบบลดลง ต่อมาถ้ายังไม่มีการใช้หรือบำบัดกรดระเหยง่าย ให้มีปริมาณน้อยลงอีก pH ของระบบก็จะลดต่ำลง และถ้า pH มีค่าลดต่ำกว่า 6.7 จะเป็นอันตรายต่อจุลินทรีย์ที่สร้างมีเทน โดยปกติระดับกรดระเหยง่ายที่ อยู่ในช่วงที่เหมาะสมคือ 50-500 มิลลิกรัมต่อลิตรของ CH<sub>3</sub>COOH ซึ่งค่าสูงสุดที่ยอมรับได้ในระบบเท่ากับ 2,000 มิลลิกรัมต่อลิตรของ CH<sub>3</sub>COOH (เกรียงศักดิ์ อุคมสินโรจน์, 2543)

### 2.7.4 สภาพด่าง (Alkalinity)

สภาพด่างมีความสำคัญต่อระบบบำบัดไร้อากาศ กล่าวคือเป็นค่าที่แสดงถึงความสามารถต้านทานความเป็นกรดของระบบ โดยทำหน้าที่รับอนุภาคโปรตรอน (Proton) ทำให้เกิดสภาพด่างคาร์บอเนตและไบคาร์บอเนต ดังแสดงในสมการที่ 2.7 มีหน่วยเป็นมิลลิกรัมต่อลิตรของแคลเซียมคาร์บอเนต ซึ่งเป็นตัวที่แสดงถึงเสถียรภาพของระบบ โดยถ้าหากระบบบำบัดมีสภาพด่างสูงหรือมีความจุบัฟเฟอร์สูง จะสามารถรักษาระดับพีเอชของระบบให้คงตัวได้ดี ระบบยังคงทำงานได้ดีแม้มีปริมาณกรดไขมันระเหยง่ายในระบบเพิ่มขึ้น โดยสภาพด่างที่มีความสำคัญคือสภาพด่างไบคาร์บอเนต (HCO<sub>3</sub><sup>-</sup>) เพราะทำหน้าที่เป็นบัฟเฟอร์เมื่อมีกรดไขมัน ระเหยง่ายเกิดในระบบ นอกจากนี้ปัจจัยสำคัญอีกปัจจัยหนึ่งคือ อัตราส่วนความเข้มข้นของกรดไขมันระเหยง่ายต่อระดับสภาพด่างไบคาร์บอเนต (VFA:HCO<sub>3</sub><sup>-</sup>) ถ้าหากมีอัตราส่วนน้อยกว่า 0.4 แสดงว่าระบบยังมีความจุบัฟเฟอร์สูง แต่ถ้าอัตราส่วนนี้มีค่ามากกว่า 0.8 แสดงว่าระบบกำลังอยู่ในสภาวะความจุ

บัพเฟอร์ต่ำ ฟือชจะลดลงอย่างรวดเร็วหากมีกรดไขมันระเหยง่ายเพิ่มเพียงเล็กน้อย โดยสภาพต่างที่เหมาะสมสำหรับระบบไร่อากาศควรอยู่ระหว่าง 1,000 – 5,000 มิลลิกรัมต่อลิตรของ  $\text{CaCO}_3$



### 2.7.5 อัตราการป้อนสารอินทรีย์

ในระบบบำบัดน้ำเสียโดยทั่วไปจะออกแบบให้สามารถรับอัตราการ ะสารอินทรีย์ได้สูงสุดเท่าที่ประสิทธิภาพของระบบจะทำได้ แต่ในระบบบำบัดน้ำเสียแบบไร่อากาศหากให้ระบบมีอัตรารับภาระสารอินทรีย์สูงสุดแล้วจะทำให้ระบบมีอัตราการผลิตก๊าซมีเทนลดลง ทั้งนี้เนื่องจากกรดไขมันระเหยง่ายจะถูกสร้างและสะสมไว้ในระบบมากเกินไป ซึ่งกรดระเหยนี้ จะเกิดในขั้นตอนการย่อยสลายสารอินทรีย์และการสร้างกรดไขมันระเหยง่ายของแบคทีเรียชนิดที่ไม่สร้างมีเทน ทำให้ฟือชของน้ำเสียในถังหมักลดต่ำลง ซึ่งมีผลทำให้เกิดการยั้งการเจริญของแบคทีเรียกลุ่มที่สร้างมีเทนประกอบกับแบคทีเรียที่สร้างมีเทนจะมีอัตราการเจริญช้ากว่าแบคทีเรียที่สร้างกรดถึง 4 เท่า ทำให้ไม่สามารถเจริญและใช้กรดไขมันระเหยง่ายเพื่อผลิตมีเทนได้ทันจึงส่งผลให้ระบบเกิดการสะสมของกรดดังกล่าวขึ้น สำหรับปริมาณกรดไขมันระเหยง่ายที่เหมาะสมต่อการเจริญของแบคทีเรียกลุ่มที่สร้างมีเทนควรอยู่ในช่วง 250-1,000 มิลลิกรัม/ลิตร หากในระบบสะสมปริมาณของกรดไขมันระเหยง่ายเกินกว่า 1,800-2,000 มิลลิกรัม/ลิตร ซึ่งส่งผลให้ฟือชของน้ำเสียในระบบลดต่ำลงมากทำให้แบคทีเรียกลุ่มที่สร้างมีเทนหยุดการเจริญซึ่งแสดงว่าระบบมีอัตราภาระบรรทุกสารอินทรีย์สูงเกินไป (Gray, 1981) อัตราการป้อนสารอินทรีย์ที่เหมาะสมของระบบบำบัดแบบไร่อากาศโดยทั่วไปควรอยู่ในช่วงประมาณ 3-27 กิโลกรัมซีโอดี/ลูกบาศก์เมตร/วัน

### 2.7.6 แสง

แสงมีผลต่อกระบวนการหมักแบบไร่อากาศ โดยทั่วไปแล้วแสงจะไม่เป็นอันตรายต่อจุลินทรีย์แต่จะมีผลยับยั้งในกระบวนการสร้างมีเทน ดังนั้นกระบวนการหมักควรทำในที่มืดในที่มืดหรือมีแสงน้อยที่สุด (Deublein and Steinhauser, 2008)

### 2.7.7 ความต้องการสารอาหาร (Nutritional Requirements)

ความต้องการสารอาหารจะเกี่ยวข้องกับอัตราการเจริญของจุลินทรีย์ในการบำบัดซึ่งปกติสารอาหารต่างๆ เช่น ไนโตรเจน โปรตีน เยื่อใย และคาร์โบไฮเดรต จะมีอยู่ในน้ำเสียแล้ว โดยจะ

คิดในรูปของของแข็งแขวนลอยและของแข็งละลาย ทั้งนี้อาจมีปริมาณแตกต่างกันขึ้นอยู่กับประเภทและแหล่งของน้ำเสีย อัตราส่วนระหว่างคาร์บอนกับไนโตรเจนที่เหมาะสมสำหรับการผลิตมีเทนของระบบควรอยู่ในช่วง 16:1-25:1 สารอินทรีย์คาร์บอนสูงมากๆ ในขณะที่อัตราส่วนระหว่างไนโตรเจน: ฟอสฟอรัส คือ 7: 1 การเติมสารอาหารในระบบไร้อากาศกระทำเช่นเดียวกันกับระบบบำบัดน้ำเสียแบบให้อากาศ แต่ปริมาณสารอาหารที่เติมจะน้อยกว่า

นอกจากนี้อัตราส่วนของค่าบีโอดี : ไนโตรเจน: ฟอสฟอรัส ที่เหมาะสมต่อการผลิตมีเทนควรมีอัตราส่วนเท่ากับ 100: 0.5: 0.1 และหากคิดในรูปค่า ซีโอดี : ไนโตรเจน : ฟอสฟอรัส ควรอยู่ในช่วง 42-150: 0.7: 0.2 ซึ่งควบคุมให้ระบบมีอัตราส่วนของสารอาหารที่เหมาะสม มีผลให้ระบบมีประสิทธิภาพในการบำบัดสูงสุด (McCarty, 1964)

### 2.7.8 วิธีการเติมตะกอนเซลล์ในถังหมัก

ในการเริ่มต้นระบบบำบัดน้ำเสียไม่ว่าจะเป็นแบบให้อากาศหรือไร้อากาศ จำเป็นต้องมีการเติมตะกอนเซลล์จุลินทรีย์เข้าสู่ถังหมัก จากนั้นทำการเพิ่มความเข้มข้นของเซลล์จุลินทรีย์ ขึ้นโดยทำการปรับสภาพของจุลินทรีย์ให้คุ้นเคยกับสารอาหารและสภาวะแวดล้อมใหม่ๆ ในถังเตรียมเชื้อเริ่มต้น ประมาณ 2-3 วัน ก่อนนำไปใช้ซึ่งจะทำให้จุลินทรีย์สามารถขยายเพิ่มจำนวนเซลล์ได้มากและรวดเร็วขึ้น ปกติจะใช้อัตราส่วนของตะกอนเซลล์จุลินทรีย์ : น้ำเสีย ประมาณ 1: 10-1: 5 สำหรับการเริ่มต้นเดินระบบบำบัดแบบไร้อากาศ (Gray, 1981)

### 2.7.9 การกวน (Mixing)

การกวนนอกจากจะมีจุดประสงค์เพื่อให้จุลินทรีย์มีโอกาสสัมผัสกับสารอาหาร และกระจายตัวไปทั่วถังหมักแล้วยังมีจุดประสงค์อื่นๆ อีก คือ (Gray, 1981)

- เพื่อรักษาระดับอุณหภูมิภายในถังหมักให้มีระดับเดียวกันทั้งถัง
- เพื่อกระจายสารพิษ เช่น โลหะหนักและกรดอะซิติกให้กระจายไปทั่วถัง ทั้งนี้เพื่อลดการสะสมของสารพิษ ณ จุดใดจุดหนึ่งของถังหมักซึ่งจะมีผลยับยั้งกิจกรรมของแบคทีเรียที่รุนแรงมากขึ้น
- เพื่อป้องกันมิให้เกิดการแยกชั้นของตะกอนลอยพวกไขมันและน้ำมันตรงบริเวณผิวหน้าของถังหมักให้เกิดเป็นฝ้าไข
- เป็นการส่งเสริมให้ก๊าซแยกตัวออกจากชั้นตะกอนบริเวณก้นถังหมักได้ง่ายขึ้น



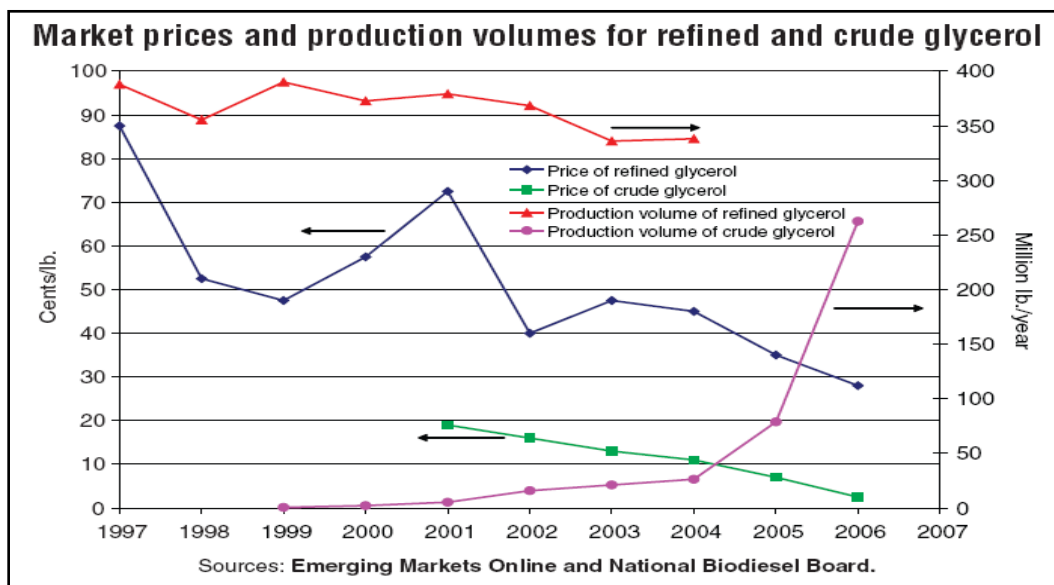
วิธีการกวนในระบบไร้อากาศจะใช้ใบพัดกวนน้ำเสียอย่างช้าๆ หรือใช้วิธีให้น้ำตะกอนไหลเวียนในถังหมักหรืออาจใช้วิธีให้ก๊าซจากระบบไหลขึ้นสู่ด้านบนของถังหมักเพื่อดันเอาตะกอนและน้ำเสียให้ไหลลงไปที่ ถังหมัก การกวนเป็นสิ่งจำเป็นมากสำหรับระบบบำบัดน้ำเสียขนาดใหญ่ ทั้งนี้เพื่อรักษาระดับของของแข็งทั้งหมดและของแข็งระเหยในถังหมักให้มีปริมาณสม่ำเสมอทั่วถังหมักและเพื่อให้ระบบมีประสิทธิภาพสูงสุด

### 2.7.10 สารยับยั้งในกระบวนการ (Process Inhibitor)

โดยทั่วไปน้ำเสียจะมีสารยับยั้งการเจริญของจุลินทรีย์อยู่มากมายหลายชนิด เช่น สารทำความสะอาด โลหะหนัก และแอมโมเนีย ซึ่งสารเหล่านี้บางส่วนจะถูกกำจัดออกจากน้ำเสียในขั้นตอนของการตกตะกอนทางเคมี แต่เนื่องจากแบคทีเรียกลุ่มที่สร้างมีเทนมีความอ่อนไหวต่อสารยับยั้งได้ง่ายเมื่อเทียบกับแบคทีเรียกลุ่มที่ย่อยสลายสารอินทรีย์และกลุ่มที่สร้างกรด ดังนั้นหากน้ำเสียในระบบมีสารยับยั้งการเจริญอยู่สูงที่สุดก็จะส่งผลให้ประสิทธิภาพในการผลิตก๊าซมีเทนของระบบลดลง เนื่องจากแบคทีเรียกลุ่มที่สร้างมีเทน หยุดการเจริญซึ่งต้องเสียเวลาในการเติมเชื้อเริ่มต้นและเดินระบบใหม่ให้มีประสิทธิภาพในการบำบัดน้ำเสียและสามารถเดินระบบได้นาน (Deublein and Steinhauser (2008))

## 2.8 งานวิจัยที่เกี่ยวข้อง

อุตสาหกรรมการผลิตไบโอดีเซลในปัจจุบันได้เล็งเห็นถึงความสำคัญของปัญหาผลพลอยได้กลีเซอรอลดิบสิ้นตลาด และมีราคาตกต่ำ (Haas *et al.* (2006) ได้ทำการศึกษาต้นทุนการผลิตไบโอดีเซลแล้วพบว่า ราคาตลาดของกลีเซอรอลดิบ (ร้อยละ 80 ในน้ำ) ที่ลดลง 0.01 เหรียญดอลลาร์สหรัฐ ส่งผลให้ค่าใช้จ่ายในกระบวนการผลิตไบโอดีเซลสูงขึ้น 0.008 เหรียญดอลลาร์สหรัฐ โดยราคาของกลีเซอรอลดิบมีแนวโน้มที่จะลดลงอีก ดังภาพประกอบที่ 2.8 ซึ่งจะเห็นได้ว่าปริมาณกลีเซอรอลดิบเพิ่มขึ้นอย่างมาก แต่กลีเซอรอลดิบ ริสุทธ์มีปริมาณค่อนข้างคงที่ และเมื่อมาดูในส่วนของราคา ตลาดจะเห็นได้ว่าทั้งกลีเซอรอลดิบและกลีเซอรอลดิบริสุทธ์มีแนวโน้มลดลง โดยเฉพาะ กลีเซอรอลดิบในระยะหลังราคาตกต่ำลงอย่างมาก เนื่องจากว่ากลีเซอรอลดิบริสุทธ์จะยังมีความสำคัญมากในอุตสาหกรรมอาหาร ยา เครื่องสำอาง และอุตสาหกรรมยาสูบ แต่กลีเซอรอลดิบที่เป็นผลพลอยได้จากกระบวนการผลิตไบโอดีเซลจะมีสารที่ตกค้างอยู่ จากกระบวนการผลิต เช่น ตัวเร่งปฏิกิริยา เกลือ เมทานอล เมทิลเอสเทอร์ น้ำมัน สบู่ และกรดไขมันอิสระ



ภาพประกอบที่ 2. 8 แนวโน้มราคาและปริมาณการผลิตกลีเซอรอลบริสุทธิ์และกลีเซอรอลดิบในสหรัฐอเมริการะหว่างปี 1997-2007 (Dasari, 2007)

Ma *et al.* (2008) ได้ศึกษากระบวนการปรับปรุงการหมักแบบไร้อากาศของน้ำทิ้งจากกระบวนการผลิตมันฝรั่งในถังปฏิกรณ์แบบยูเอเอสบี โดยการหมักร่วมกับกลีเซอรอล พบว่าการเติมกลีเซอรอลลงไปในการหมักทำให้เกิดก๊าซชีวภาพและก๊าซมีเทนเพิ่มขึ้นจากตัวควบคุม 1.5 เท่า ซึ่งทั้งกลีเซอรอลดิบและกลีเซอรอลบริสุทธิ์ให้ผลที่ใกล้เคียงกัน

Fountoulakis and Manios (2009) ได้ทำการศึกษาวิธีการเพิ่มผลผลิตก๊าซมีเทนและไฮโดรเจนจากของเสียที่ได้จากเทศบาลและผลพลอยได้จากอุตสาหกรรมเกษตร โดยนำมาหมักร่วมกับกลีเซอรอลดิบ โดยทำการทดลองเปรียบเทียบระหว่างถังปฏิกรณ์ที่เติมและไม่เติมกลีเซอรอลดิบพบว่า ก่อนที่จะมีการเติมกลีเซอรอลสามารถผลิตก๊าซมีเทนได้ 1,400 มิลลิลิตรต่อวัน และหลังจากเติมกลีเซอรอลจะให้ผลผลิตก๊าซมีเทนเพิ่มเป็น 2,094 มิลลิลิตรต่อวัน โดยในการหมักนั้นจะใช้อัตราส่วน 1:4 ของน้ำเสียจากโรงบดมะกอกกับน้ำเสียจากโรงงานฆ่าสัตว์ ในส่วนของการเติมกลีเซอรอลดิบนั้นจะเติมลงไปใช้อัตราร้อยละ 1 โดยปริมาตรต่อปริมาตร

Wohlgemut (2008) ศึกษาการหมักมูลสุกรร่วมกับกลีเซอรอลเพื่อเพิ่มผลผลิตก๊าซชีวภาพและก๊าซมีเทน โดยในระบบที่ทำการศึกษานี้จะใช้กลีเซอรอลซึ่งเป็นผลพลอยได้จากอุตสาหกรรม ไบโอดีเซลในปริมาณต่างๆ กัน เติมลงไปนมูลสุกร โดยในระบบที่ทำการศึกษานี้จะถูควบคุมอุณหภูมิไว้ที่ 35 องศาเซลเซียส ระยะเวลาที่กัก 17.5 วัน เพื่อศึกษากระบวนการหมักแบบไร้อากาศและการผลิตก๊าซชีวภาพว่าปริมาณของกลีเซอรอล นั้นจะส่งผลอย่างไรต่อระบบ จาก

ผลการทดลองพบว่าจากการใช้ร้อยละ 2 กลีเซอรอล สามารถผลิตก๊าซมีเทนและก๊าซชีวภาพได้มากที่สุดแต่ระยะเวลาเริ่มต้นในการเกิดก๊าซนานและการย่อยสลายอาหารในมุลสุกรกลับลดลง ส่วนการเติมร้อยละ 4 กลีเซอรอลดิบ พบว่าจะส่งผลให้ปริมาณ COD มากเกินไปทำให้ไม่สามารถย่อยสลายได้ ส่วน การเติมร้อยละ 1 กลีเซอรอลพบว่าส่งผลให้มีการผลิตก๊าซชีวภาพและก๊าซมีเทนในปริมาณที่ดี และใช้ระยะเวลาเริ่มต้นในการเกิดก๊าซสั้น และพบว่าทั้งกลีเซอรอลดิบและกลีเซอรอลบริสุทธิ์ให้ผลที่ไม่แตกต่างกัน

López *et al.* (2009) ศึกษากระบวนการหมักกลีเซอรอลดิบที่ได้จากกระบวนการผลิตไบโอดีเซล โดยได้ศึกษาในถังปฏิกรณ์แบบกะในห้องปฏิบัติการ ภายใต้สภาวะมีโซฟิลิก จุลินทรีย์ที่ใช้แบบ Granular และ Non-Granular Sludge เนื่องจากในกลีเซอรอลดิบนั้นมีปริมาณ KOH ซึ่งเป็นตัวเร่งปฏิกิริยาในกระบวนการผลิตไบโอดีเซลอยู่สูง ดังนั้นจึงใช้  $H_3PO_4$  เติมลงไปเพื่อแยกตัวเร่งปฏิกิริยาไปเป็นปุ๋ยเพื่อใช้ในการเกษตร (โพแทสเซียมฟอสเฟต) กลีเซอรอลที่เหลือจะนำมาเป็นสารตั้งต้นในกระบวนการหมักได้ 2 แบบคือ แบบแรกกลีเซอรอลในสภาวะที่เป็นกรด (Acidified Glycerol) จะถูกนำมาใช้เป็นสารตั้งต้นได้เลย และแบบที่ 2 คือนำมาผ่านกระบวนการกลั่นก่อน (Distilled Glycerol) และเมื่อวิเคราะห์ค่า COD เบื้องต้นพบว่ามีค่าค่อนข้างสูง จึงต้องนำมาเจือจางด้วยน้ำกลั่นจนได้ COD ประมาณ 81600 mg COD/L สำหรับ Acidified Glycerol และ 85700 mg COD/L สำหรับ Distilled Glycerol จากนั้นทำให้เป็นกลางด้วยโซเดียมไฮดรอกไซด์ ขั้นตอนสุดท้ายเติมสารอาหารที่จำเป็นและบัฟเฟอร์ ( $NaHCO_3$ ) จากนั้นนำมาหมักโดยแบ่งเป็น 3 การทดลองคือ 1) Granular Sludge- Acidified Glycerol 2) Non-Granular Sludge- Acidified Glycerol และ 3) Granular Sludge- Distilled Glycerol โดยใช้จุลินทรีย์เริ่มต้น 12 g VSS โดยการป้อนสารอินทรีย์จะคิดในรูปของ COD คือ จะเริ่มจาก 1.0, 1.5 และ 2.0 g COD ผลการทดลองพบว่า Granular Sludge-Acidified Glycerol สามารถย่อยสลายสารอินทรีย์ได้ดีที่สุดและผลิตมีเทนได้  $0.306 \text{ m}^3 \text{ CH}_4/\text{Kg Acidified Glycerol}$

## บทที่ 3

### วัสดุ อุปกรณ์ และวิธีการวิจัย

#### 3.1 วัสดุ

3.1.1 ก๊าซชีวภาพจากโรงงานปาล์มไบโอดีเซลของคณะวิศวกรรมศาสตร์ มหาวิทยาลัยสงขลานครินทร์ ดังภาพประกอบที่ 3.1



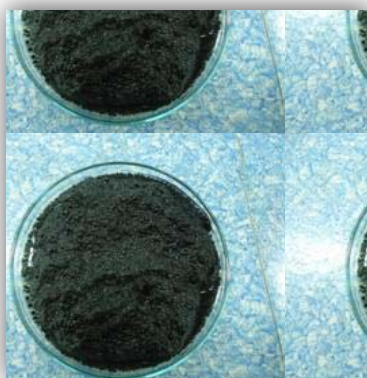
ภาพประกอบที่ 3.1 ลักษณะก๊าซชีวภาพที่ใช้ในการทดลอง

3.1.2 มูลสุกรขุน จากโรงเรียนสุกร คณะทรัพยากรธรรมชาติ มหาวิทยาลัยสงขลานครินทร์ วิทยาเขตหาดใหญ่ เพื่อเพิ่มสารอาหารให้จุลินทรีย์ ดังภาพประกอบที่ 3.2



ภาพประกอบที่ 3.2 ลักษณะมูลสุกรที่ใช้ในการทดลอง

3.1.3 ตะกอนจุลินทรีย์แบบเม็ด (Granular Sludge) จากระบบบำบัดน้ำเสียแบบยูเอเอสบี ในสถานะเมโซฟิลิก ของโรงงานห้องเย็นโชติวัฒน์ ดังภาพประกอบที่ 3.3



ภาพประกอบที่ 3.3 ลักษณะตะกอนจุลินทรีย์ที่ใช้ในการทดลอง

### 3.2 สารเคมี

#### 3.2.1 สารเคมีสำหรับแยกชั้นกลีเซอรอล

3.2.1.1 กรดซัลฟูริกเข้มข้น 6%

3.2.1.2 กรดซัลฟูริกเข้มข้น 30%

3.2.1.3 Cation Polyamine 6% blending with Poly-AlCl<sub>3</sub> 94%

#### 3.2.2 สารเคมีสำหรับวิเคราะห์กลีเซอรอล (ระบุในภาคผนวก ข)

#### 3.2.3 สารเคมีสำหรับวิเคราะห์ค่า COD (Chemical Oxygen Demand) (ระบุในภาคผนวก ข)

#### 3.2.4 สารเคมีสำหรับวิเคราะห์ค่า TKN (Total Kjeldahl Nitrogen) (ระบุในภาคผนวก ข)

#### 3.2.5 สารเคมีสำหรับวิเคราะห์ค่า VFA (Volatile Fatty Acid) และค่า Akl (Alkalinity) (ระบุในภาคผนวก ข)

#### 3.2.6 แก๊สไนโตรเจน (Regular Grade)

### 3.3 เครื่องมือ

#### 3.3.1 ชุดเครื่องกลั่น COD แบบเปิด (Open Reflux)

#### 3.3.2 ชุดเครื่องกลั่น TKN

#### 3.3.3 แก๊สโครมาโตกราฟฟี (Gas Chromatography-Thermal Conductivity Detector; TCD)

#### 3.3.4 เครื่องวัดพีเอช (pH meter)

#### 3.3.5 เครื่องชั่ง 4 ตำแหน่ง

#### 3.3.6 เตาเผา (Furnace)

#### 3.3.7 เครื่องปั๊มสุญญากาศ

### 3.4 ขั้นตอนดำเนินการศึกษา

#### 3.4.1 การแยกสารอินทรีย์ออกจากกลีเซอรอลดิบ

สารอินทรีย์ ที่เจือปนในกลีเซอรอลดิบในที่นี้ หมายถึง กลุ่มสารอินทรีย์ที่ประกอบด้วย เมทิลเอสเทอร์ ไนมัน และกรดไขมันอิสระ ซึ่งสามารถแยกชั้น ออกจากกลีเซอรอลดิบได้ โดยทำการเปรียบเทียบวิธีการแยก 3 วิธี ดังนี้

##### 3.4.1.1 การใช้สารละลายกรดซัลฟิวริก 6%

นำกลีเซอรอลดิบที่ได้จากโรงปาล์มมา 500 มิลลิลิตร มาวัดค่าพีเอชเริ่มต้น จากนั้นนำมาแยกชั้นโดยการเติม กรดซัลฟิวริก 6% จนกระทั่งมีค่าพีเอชประมาณ 2 ในระหว่างการปรับพีเอชต้องคนสารอยู่ตลอดเวลา เพื่อให้เป็นเนื้อเดียวกัน จากนั้นวาง ตั้งทิ้งไว้ให้สารละลายแยกชั้นเป็นเวลา 1 วัน

##### 3.4.1.2 การใช้สารละลายกรดซัลฟิวริก 30%

วิธีการเหมือนกับการแยกชั้นด้วย การใช้สารละลายกรดซัลฟิวริก 6% ในข้อ 3.4.1.1 แต่เปลี่ยนมาใช้สารละลายกรดซัลฟิวริก 30% แทน สารละลายกรดซัลฟิวริก 6%

##### 3.4.1.3 การใช้ Cation Polyamine 6% ผสมกับ Poly- $\text{AlCl}_3$ 94% (Qiaoguang, 2009)

นำกลีเซอรอลดิบที่ได้จากโรงปาล์มมา 500 มิลลิลิตร มาวัดค่าพีเอชเริ่มต้น จากนั้นนำมาเติมสารละลายกรดไฮโดรคลอริก 2% เพื่อปรับค่า พีเอชให้ได้ประมาณ 2 ตั้งทิ้งไว้ให้สารละลายแยกชั้นประมาณ 1 คืน จากนั้นสารละลายจะแยกเป็น 2 ชั้น แยกเอาส่วนของชั้นล่างมาปรับ พีเอชให้ได้ 8 ด้วยสารละลายโซเดียมไฮดรอกไซด์ 30% จากนั้นเติม Cation Polyamine 6% blending with Poly- $\text{AlCl}_3$  94% ปริมาณ 25% โดยปริมาตรลงไป ในสารละลาย จากนั้นสารละลายจะแยกเป็น 2 ชั้น โดยชั้นบน คือ ชั้นของพอลิเมอร์ และชั้นล่าง คือ ชั้นของกลีเซอรอล

การพิจารณาเปรียบเทียบวิธีการ แยกสารอินทรีย์ออกจากกลีเซอรอลดิบ ทั้ง 3 วิธีนี้ จะพิจารณาจากร้อยละการได้คืนของ กลีเซอรอล และต้นทุน ของสารเคมีที่ใช้ในการแยก ประกอบกับระยะเวลาที่ใช้ในการแยกในแต่ละวิธีการ

### 3.4.2 การวิเคราะห์องค์ประกอบของกลีเซอรอลที่แยกชั้นสารอินทรีย์ออกแล้ว

ทำการวิเคราะห์พารามิเตอร์ดังนี้

3.4.2.1 ปริมาณกลีเซอรอล ใช้วิธีการไทเทรตตามวิธีการ มอก.336 (2523)

3.4.2.2 ปริมาณสารอินทรีย์อื่นที่ไม่ใช่กลีเซอรอล ทดสอบโดยวิธี Standard:

International Union of pure and Applied Chemistry, 1980

3.4.2.3 ปริมาณน้ำ โดยวิธี Karl fisher titration

3.4.2.4 ปริมาณจีเอ็ม ทดสอบโดยวิธี Standard: International Union of pure and

Applied Chemistry, 1980

### 3.4.3 การศึกษาผลของกลีเซอรอลต่อการหมักแบบแบทช์

การทดลองในส่วนนี้จะเปรียบเทียบการหมักของสารตั้งต้นที่แตกต่างกัน เพื่อให้ทราบข้อมูลการผลิตก๊าซชีวภาพของสารตั้งต้นแต่ละชนิดเบื้องต้น ก่อนที่จะนำมาหมักร่วมกัน โดยทำการทดลองในระบบหมักแบบแบทช์ ปริมาตรใช้งาน 1 ลิตร พีเอชเริ่มต้นเท่ากับ 7.2 สภาวะการหมักเป็นแบบมีโซฟิลิก โดยทดลองตามที่ได้ออกแบบไว้ดังตารางที่ 3.1

ตารางที่ 3.1 การศึกษาผลของกลีเซอรอลต่อการหมักแบบแบทช์

| Sample                                     | Glycerol<br>(g) | Pig manure<br>(g) | Granular<br>Sludge<br>(ml) | Total volume<br>(L) |
|--|-----------------|-------------------|----------------------------|---------------------|
| Glycerol                                   | 15              | -                 | -                          | 1                   |
| Pig manure                                 | -               | 25                | -                          | 1                   |
| Granular Sludge                            | -               | -                 | 160                        | 1                   |
| Pig manure + Glycerol                      | 15              | 25                | -                          | 1                   |
| Glycerol + Granular Sludge                 | 15              | -                 | 160                        | 1                   |
| Pig manure + Granular Sludge               | -               | 25                | 160                        | 1                   |
| Pig manure + Glycerol + Granular<br>Sludge | 10              | 25                | 160                        | 1                   |

### 3.4.4 การหาอัตราส่วน COD:TKN ที่เหมาะสมด้วยการหมักแบบแบคทีเรีย

อัตราส่วน COD:TKN มีผลต่อกระบวนการหมัก จึงได้ทำการศึกษาอัตราส่วน COD:TKN ที่เหมาะสม ขั้นตอนการทดลองมีดังนี้

3.4.4.1 นำมูลสุกรสดจากฟาร์มเลี้ยงสุกรตัวอย่างของคณะทรัพยากรธรรมชาติ มหาวิทยาลัยสงขลานครินทร์ โดยมูลสุกรที่เลือกมาใช้ในกระบวนการหมักเป็นมูลสุกรขุน (ภาพประกอบที่ 3.4) เนื่องจากมีปริมาณสารอาหารที่จำเป็นต่อเชื้อจุลินทรีย์ในระบบหมักค่อนข้างมากกว่าสุกรชนิดอื่น จากนั้นนำมูลสุกรมาปั่นให้ละเอียดจนเป็นเนื้อเดียวกันเพื่อให้สะดวกต่อการใช้งานในขั้นถัดไป นำมูลสุกรที่ปั่นละเอียดแล้วมาชั่ง แล้วปรับปริมาตรด้วยน้ำกลั่นเพื่อหาปริมาณมูลสุกรที่เหมาะสมที่จะทำให้น้ำมูลสุกรมีค่า COD ใกล้เคียงกับน้ำทิ้งจากฟาร์มสุกร ซึ่งโดยทั่วไปค่าจะอยู่ที่ประมาณ 7,000 mg/L และมีค่า TKN ประมาณ 540 mg/L (มูลนิธิพลังงานเพื่อสิ่งแวดล้อม, 2550)



ภาพประกอบที่ 3.4 สุกรขุนจากฟาร์มเลี้ยงสุกร

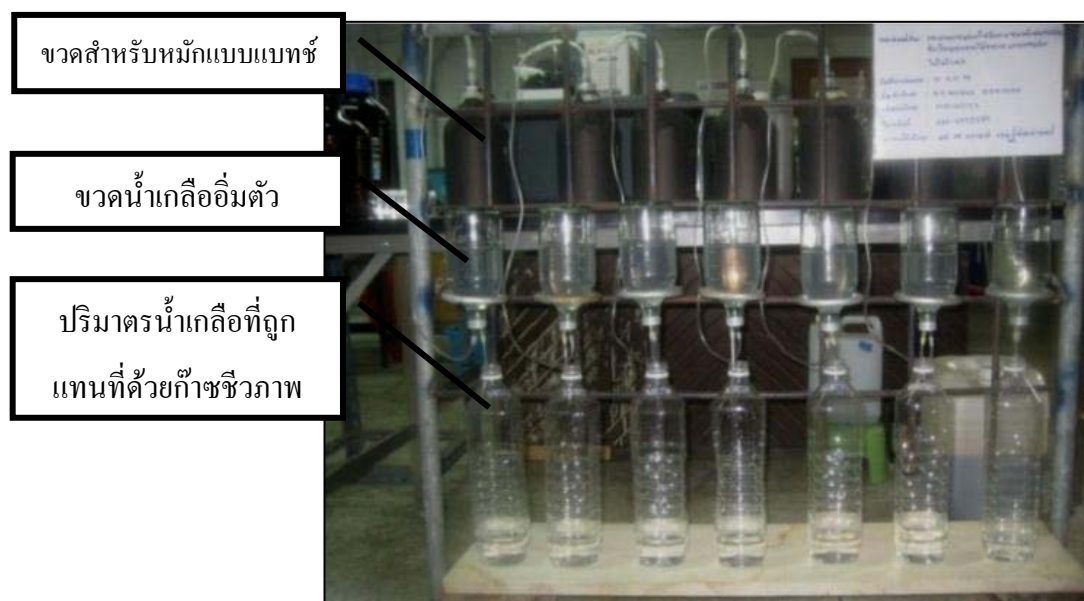
3.4.4.2 เมื่อได้น้ำมูลสุกรที่มีค่า COD เริ่มต้นตามที่ต้องการแล้ว นำกลีเซอรอล ที่แยกชั้นเรียบร้อยแล้วมาเติมลงไปในตัวอย่งน้ำมูลสุกร เนื่องจากกลีเซอรอลที่แยกได้มีค่า COD สูง จึงจะเป็นตัวที่ช่วยปรับค่า COD ให้สูงขึ้นได้ โดยการทดลองเติมกลีเซอรอลลงไปและหาปริมาณกลีเซอรอลที่เหมาะสมที่ทำให้ค่า COD:TKN อยู่ในช่วง 70-50:1 จากนั้นนำอัตราส่วนที่ได้เข้าสู่กระบวนการหมักแบบแบคทีเรียเพื่อหาอัตราส่วน COD:TKN ที่เหมาะสมต่อกระบวนการหมักที่สูงสุด โดยทำการทดลองตามที่ได้ออกแบบการทดลองไว้ดังตารางที่ 3.2



ตารางที่ 3.2 การทดลองเพื่อหาอัตราส่วน COD:TKN ที่เหมาะสม

| Pig manure (g) | Glycerol (g) | Total vol. (L) | COD (mg/L) | TKN (mg/L) | COD:TKN ratio |
|----------------|--------------|----------------|------------|------------|---------------|
| 20             | 45           | 1              | 26,962     | 392        | 70 : 1        |
| 20             | 40           | 1              | 24,335     | 375        | 65 : 1        |
| 20             | 35           | 1              | 22,105     | 354        | 60 : 1        |
| 20             | 30           | 1              | 18,482     | 341        | 55 : 1        |
| 20             | 25           | 1              | 14,216     | 285        | 50 : 1        |

3.4.4.3 ทำการหมักแบบแบทช์ ในขวดแก้วขนาด 1 ลิตร ปริมาตรใช้งาน 1 ลิตร พีเอชเริ่มต้นของน้ำเสียสังเคราะห์เท่ากับ 7.19 ใช้เชื้อจุลินทรีย์ 37,500 mg VSS/L (López *et al.*, 2009) ก่อนการหมักจะมีการ Purge ก๊าซไนโตรเจนเป็นเวลา 5 นาที วัตถุประสงค์เพื่อเป่าไล่อากาศออก เนื่องจากต้องการทำให้ระบบหมักเป็นสภาวะไร้อากาศโดยแท้จริง จากนั้น ทำการ หมักทิ้งไว้ที่ สภาวะมีโซฟิลิก เป็นระยะเวลา 1 สัปดาห์ โดยระบบหมักจะถูกคลุมด้วยวัตถุทึบแสง เพราะเชื้อจะทำงานได้ดีในสภาวะที่มีแสงน้อยหรือไม่มีแสงเลย ดังภาพประกอบที่ 3.5 ปริมาตรของก๊าซชีวภาพ ที่ได้ ในแต่ละวัน จะวัดปริมาณจากการแทนที่น้ำเกลือ อิ่มตัว และเก็บตัวอย่างไปวิเคราะห์ องค์ประกอบของก๊าซชีวภาพ ด้วยวิธีแก๊สโครมาโตกราฟี (Gas Chromatography-Thermal Conductivity Detector, GC-TCD)



ภาพประกอบที่ 3.5 ชุดการหมักแบบแบทช์

3.4.4.4 ทำการวิเคราะห์ผลการทดลองเพื่อหาอัตราส่วน COD:TKN ที่เหมาะสมที่สุด โดยพิจารณาจากปริมาณก๊าซชีวภาพที่ได้ในแต่ละวัน ร่วมกับปริมาณก๊าซชีวภาพสะสมตลอดระยะเวลาการหมัก และปริมาณก๊าซมีเทนที่ได้จากการวิเคราะห์องค์ประกอบของก๊าซชีวภาพ

### 3.4.5 การหมักแบบ Semi-CSTR

#### 3.4.5.1 การเริ่มต้นระบบ (Start-up)

ทำการเริ่มต้นระบบโดยการเติมหัวเชื้อจุลินทรีย์ (Seed) ที่นำมาจากระบบบำบัดน้ำเสียแบบไร้อากาศแบบยูเอเอสบี ในสภาวะมีโซฟิลิก ของโรงงานอุตสาหกรรมอาหารทะเล ห้องเย็น โชติวัฒน์ ซึ่งเป็นเชื้อที่ทนต่อสภาวะแวดล้อมได้ดี เข้าสู่ระบบ ในรูปของ MLVSS ปริมาณ 37,500 mg VSS/L ในแต่ละถังปฏิบัติการ เติมน้ำสะอาดเข้าระบบจนได้ปริมาตร ทำงาน (Working Volume) 2.5 ลิตร จากนั้นเติมน้ำเสียเข้าระบบด้วยอัตราภาระบรรทุกสารอินทรีย์ที่ต่ำก่อน (OLR 0.16 kg SCOD/m<sup>3</sup>.d) เพื่อไม่ให้เกิดภาวะ Shock Loading และเพื่อให้หัวเชื้อจุลินทรีย์คุ้นเคยกับน้ำเสียใหม่ จนกว่าระบบเข้าสู่สภาวะคงตัว (Stable Condition) และเริ่มเปลี่ยนการทดลอง ที่ OLR ในชุดการทดลองต่างๆ

#### 3.4.5.2 สภาวะการทดลองที่ศึกษา

ศึกษาประสิทธิภาพ การผลิตก๊าซชีวภาพของระบบหมักแบบ Semi-Continuous Stirred Tank Reactor (Semi-CSTR) โดยกำหนดสภาวะการทดลองคือ ความเป็นกรดค้างอยู่ในช่วง 6.7-7.5 อุณหภูมิที่ใช้ในการทำปฏิกิริยา คือ  $33 \pm 3$  องศาเซลเซียส (Mesophilic) ที่อัตราส่วน COD:TKN เท่ากับ 50:1 การออกแบบการทดลองมีรายละเอียด ดังตารางที่ 3.3 และอัตราส่วน COD:TKN เท่า 40:1 การออกแบบการทดลองมีรายละเอียด ดังตารางที่ 3.4

ตารางที่ 3.3 การหมักแบบ Semi-CSTR ที่อัตราส่วน COD:TKN เท่ากับ 50:1

| ถังปฏิกรณ์ | SCOD (mg/L) | Working volume (L) | HRT (d) | Q (L/d) | OLR (Kg SCOD/m <sup>3</sup> .d) |
|------------|-------------|--------------------|---------|---------|---------------------------------|
| 1          | 10,679      | 2.5                | 10      | 0.25    | 1.07                            |
|            |             |                    | 5       | 0.50    | 2.14                            |
|            |             |                    | 2.5     | 1.00    | 4.27                            |
| 2          | 5,339       | 2.5                | 10      | 0.25    | 0.53                            |
|            |             |                    | 5       | 0.50    | 1.07                            |
|            |             |                    | 2.5     | 1.00    | 2.14                            |
| 3          | 2,645       | 2.5                | 10      | 0.25    | 0.26                            |
|            |             |                    | 5       | 0.50    | 0.53                            |
|            |             |                    | 2.5     | 1.00    | 1.06                            |

ตารางที่ 3.4 การหมักแบบ Semi-CSTR ที่อัตราส่วน COD:TKN เท่ากับ 40:1

| ถังปฏิกรณ์ | SCOD (mg/L) | Working volume (L) | HRT (d) | Q (L/d) | OLR (Kg SCOD/m <sup>3</sup> .d) |
|------------|-------------|--------------------|---------|---------|---------------------------------|
| 1          | 7,646       | 2.5                | 10      | 0.25    | 0.76                            |
|            |             |                    | 5       | 0.50    | 1.53                            |
|            |             |                    | 2.5     | 1.00    | 3.06                            |
| 2          | 3,852       | 2.5                | 10      | 0.25    | 0.39                            |
|            |             |                    | 5       | 0.50    | 0.77                            |
|            |             |                    | 2.5     | 1.00    | 1.54                            |
| 3          | 1,917       | 2.5                | 10      | 0.25    | 0.19                            |
|            |             |                    | 5       | 0.50    | 0.38                            |
|            |             |                    | 2.5     | 1.00    | 0.77                            |

### สัญลักษณ์

HRT = Hydraulic Retention Time คือ ระยะเวลาที่น้ำเสียถูกกักพักอยู่ในถังปฏิกรณ์ (day)

OLR = Organic Loading Rate คือ ปริมาณสารอินทรีย์ที่ป้อนเข้าสู่ระบบในแต่ละวัน (kg SCOD/m<sup>3</sup>.d)

Q = คือ ปริมาณน้ำเสียที่ป้อนเข้าสู่ระบบในแต่ละวัน (L/d)

SCOD = Total Chemical Oxygen Demand คือ ปริมาณออกซิเจนทั้งหมดที่ใช้ออกซิไดซ์สารอินทรีย์

ด้วยวิธีทางเคมีทั้งในรูปของแข็งและรูปที่ละลายอยู่ในน้ำ

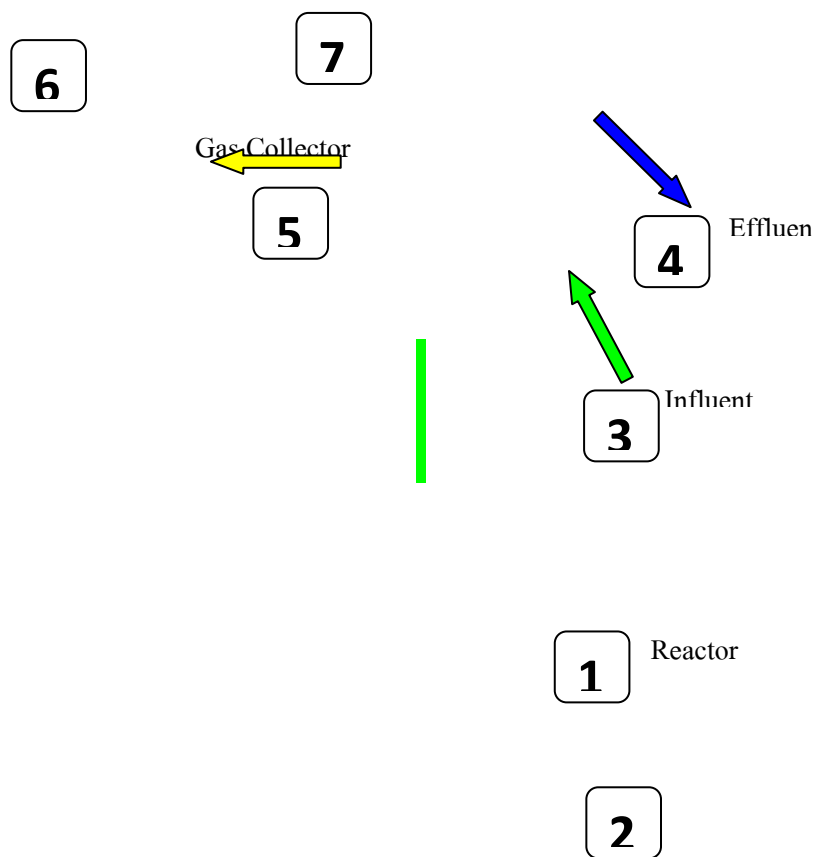
### การคำนวณ

$$\text{HRT} = \frac{V_{\text{working}}}{Q} \quad \text{หน่วย d}$$

$$\text{OLR} = \frac{\text{SCOD} \times Q}{V_{\text{working}}} \quad \text{หน่วย (Kg SCOD/m}^3\text{.d)}$$

#### 3.4.5.3 ระบบหมักแบบ Semi-CSTR

การทดลองจะเริ่มต้นพร้อมกันทั้ง 3 ถังปฏิกรณ์ โดยแต่ละถังปฏิกรณ์จะเริ่มต้นที่ HRT 10 วัน ก่อน เมื่อหมักจนระบบหมักเข้าสู่สภาวะคงตัว โดยดูจากประสิทธิภาพการบำบัด SCOD และอัตราการผลิตก๊าซชีวภาพที่มีค่าใกล้เคียงกันและเปลี่ยนแปลงไม่เกิน  $\pm$  ร้อยละ 10 เป็นระยะเวลาประมาณอย่างน้อย 7 วัน ติดต่อกัน จึงเริ่มเปลี่ยน HRT เป็น 5 และ 2.5 วัน ตามลำดับ ซึ่งระบบหมักแบบ Semi-CSTR ทั้งแบบจำลองในห้องปฏิบัติการและการ ทดลองจริงแสดงดัง ภาพประกอบที่ 3.6-3.8 ซึ่งกลไกการทำงานของระบบ Semi-CSTR แสดงดังภาพประกอบที่ 3.9 ก๊าซชีวภาพที่ได้จากการหมักจะถูกเก็บในถุงเก็บก๊าซ โดยปริมาตรก๊าซที่เกิดขึ้นจะนำมาวัด โดยการ แทนที่น้ำซึ่งจะ ทำการวัดทุกวัน สำหรับองค์ประกอบของก๊าซชีวภาพจะทำการตรวจวัดก๊าซมีเทน (CH<sub>4</sub>) ซึ่งทำการวิเคราะห์โดยเครื่อง GC ยี่ห้อ Hewlette Packard รุ่น HP6890 สำหรับ Detector ที่ใช้ คือ TCD



- |                          |                   |
|--------------------------|-------------------|
| 1. ถังปฏิกรณ์ขนาด 3 ลิตร | 5. ท่อนำก๊าซ      |
| 2. Stirrer               | 6. ถุงเก็บก๊าซ    |
| 3. ท่อนำสารเข้า          | 7. เทอร์โมมิเตอร์ |
| 4. ท่อนำสารออก           |                   |

ภาพประกอบที่ 3.6 แบบจำลองระบบหมักแบบ Semi-CSTR ในห้องปฏิบัติการ



ภาพประกอบที่ 3.7 ลักษณะชุดอุปกรณ์ประกอบระบบ Semi- CSTR ที่ใช้ใน  
ห้องปฏิบัติการ



ภาพประกอบที่ 3.8 ลักษณะชุดอุปกรณ์ประกอบระบบ Semi-CSTR ในระหว่างการทดลอง  
ในห้องปฏิบัติการ

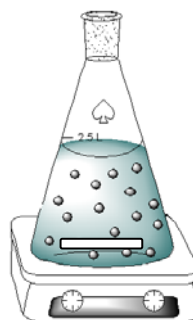
การเติมน้ำเสีย

เครื่องกวน (เปิด)



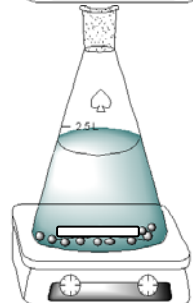
การเกิดปฏิกิริยา

เครื่องกวน (เปิดตลอดเวลา)



การตกตะกอน 1 ชั่วโมง

เครื่องกวน (ปิด)



การระบายน้ำทิ้ง

เครื่องกวน (ปิด)



ภาพประกอบที่ 3.9 กลไกการทำงานของระบบ Semi-CSTR

### 3.4.5.4 ความถี่การวิเคราะห์คุณภาพน้ำทิ้งจากระบบหมักแบบ Semi-CSTR

ตั้งแต่เริ่มต้นการหมักที่ HRT ต่างๆ จนกระทั่งสิ้นสุดการทดลอง คุณสมบัติของน้ำทิ้งที่ออกจากระบบจะถูกนำมาวิเคราะห์พารามิเตอร์ต่างๆ ด้วยความถี่และวิธีการต่างๆ ดังตารางที่ 3.5

ตารางที่ 3.5 พารามิเตอร์ วิธีการวิเคราะห์และความถี่ในการวิเคราะห์คุณภาพน้ำทิ้งที่ออกระบบและก๊าซชีวภาพที่ได้จากระบวนการหมักแบบไร้อากาศ (APHA, AWWA and WEF, 2005)

| Parameters                 | Method                                 | Frequency of Monitoring |
|----------------------------|--|-------------------------|
| Temperature                | Thermometer                            | ทุกวัน                  |
| pH                         | pH meter                               | ทุกวัน                  |
| Alkalinity                 | Direct Titration Method                | ทุก 2 วัน               |
| Volatile Fatty Acid        | Direct Titration Method                | ทุก 2 วัน               |
| SCOD                       | Filter/Open Reflux, Titrimetric Method | ทุก 2 วัน               |
| TKN                        | Macro-Kjeldahl Method                  | สิ้นสุดการทดลอง         |
| MLVSS                      | Gravimetric Method                     | สิ้นสุดการทดลอง         |
| Biogas production          | Displacement of water                  | ทุกวัน                  |
| CH <sub>4</sub> production | GC-TCD                                 | สัปดาห์ละ 1 ครั้ง       |



## บทที่ 4

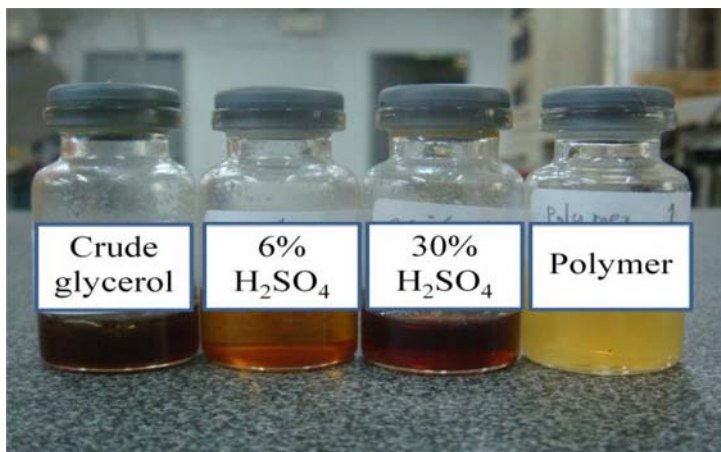
### ผลการทดลองและวิจารณ์

#### 4.1 การแยกชั้นสารอินทรีย์ออกจากกลีเซอรอล

จากการทดลองพบว่าวิธีการใช้พอลิเมอร์เป็นวิธีการที่ได้ร้อยละการได้คืนกลีเซอรอลสูงสุด คือ ร้อยละ 36 แต่มีค่าใช้จ่ายสูงสุด เนื่องจากพอลิเมอร์ที่ใช้เป็น Cation Polyamine 6% ผสมกับ Poly- $\text{AlCl}_3$  94% ซึ่งทางโรงงานผู้ผลิตผสมมาให้เรียบร้อยแล้ว ราคาต่อกิโลกรัมจึงสูง ส่งผลให้ต้นทุนในการแยกสูงตามไปด้วย แต่หากซื้อสารเคมีแต่ละชนิดมาผสมเองราคาจะถูกลง ดังนั้นจึงเลือกวิธีการที่มีร้อยละการได้คืนกลีเซอรอลรองลงมา คือ การใช้สารละลายกรดซัลฟิวริก 6% มีร้อยละการได้คืนของกลีเซอรอลเท่ากับ 26 และค่าใช้จ่ายสารเคมี (Lab grade) ต่ำที่สุด เท่ากับ 13.24 บาท/กิโลกรัม กลีเซอรอล โดยถ้าใช้กรดซัลฟิวริกที่เป็น Commercial grade ค่าใช้จ่ายจะลดลงเหลือเพียง 2.08 บาท/กิโลกรัมกลีเซอรอลเท่านั้น ดังนั้นวิธีการนี้จึงเหมาะสมที่นำมาใช้เป็นวิธีการแยกชั้นสารอินทรีย์ ออกจากกลีเซอรอลดิบ สำหรับการทดลองขั้นต่อไป ร้อยละการได้คืนกลีเซอรอลและค่าใช้จ่ายในแต่ละวิธีแสดง ดังตาราง 4.1 ลักษณะของกลีเซอรอล ที่แยกได้ในแต่ละวิธีจะมีลักษณะใสขึ้นและความหนืดลดลงเนื่องจากชั้นสารอินทรีย์ถูกกำจัดออกไป ดังภาพประกอบที่ 4.1

ตาราง 4.1 เปรียบเทียบร้อยละการได้คืนกลีเซอรอล และค่าใช้จ่ายในการแยกแต่ละวิธี

| Methods                     | Glycerol recovery (%) | ต้นทุนรวม (บาท/กิโลกรัมกลีเซอรอล) |                  |
|-----------------------------|-----------------------|-----------------------------------|------------------|
|                             |                       | Lab grade                         | Commercial grade |
| 6% $\text{H}_2\text{SO}_4$  | 26                    | 13.24                             | 2.08             |
| 30% $\text{H}_2\text{SO}_4$ | 12                    | 51.29                             | 4.80             |
| Polymer                     | 30                    | -                                 | 109.35           |

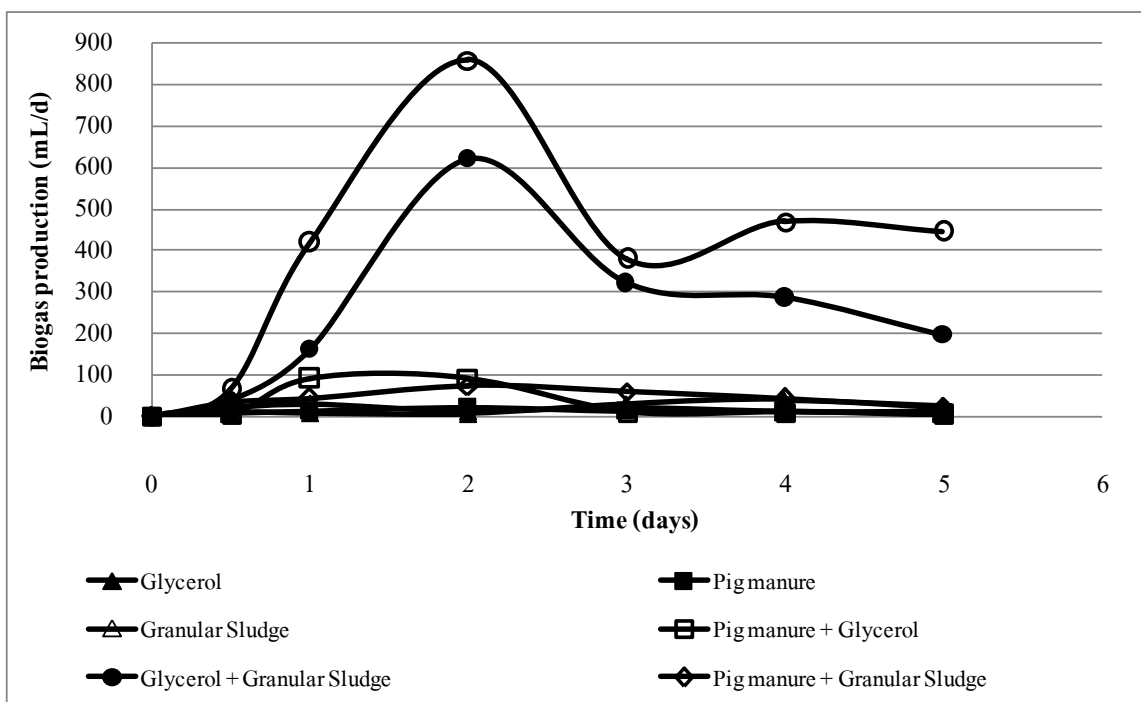


ภาพประกอบที่ 4.1 ภาพเปรียบเทียบลักษณะกลีเซอรอลที่แยกชั้นสารอินทรีย์ออกแล้ว

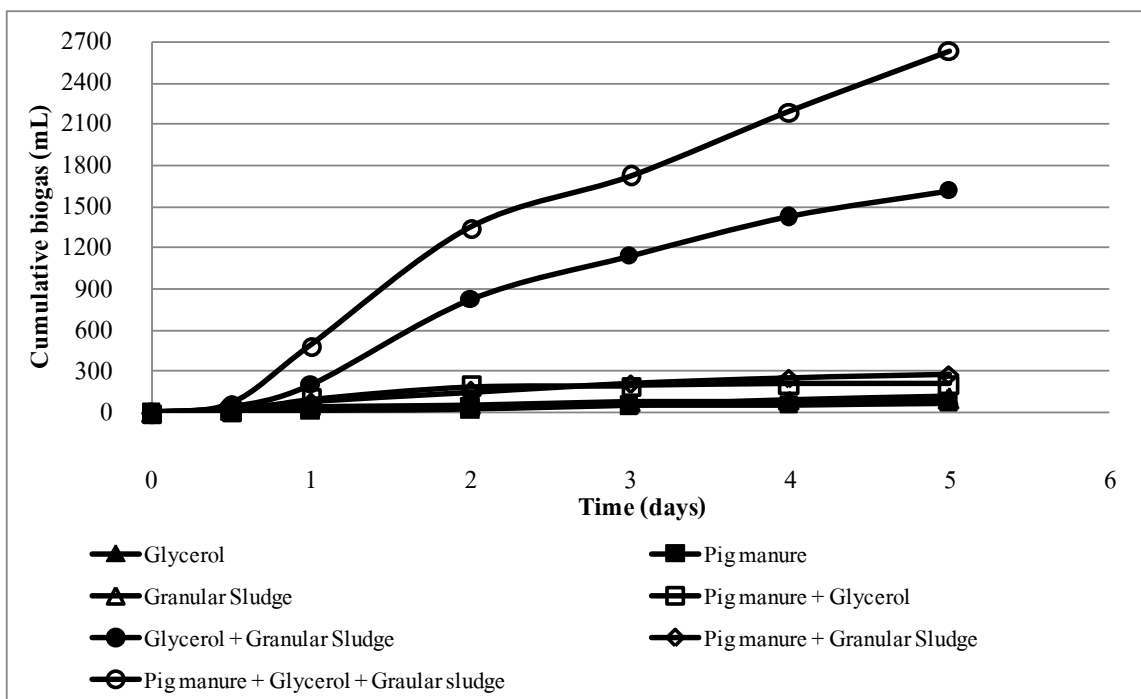
#### 4.2 การศึกษาผลของกลีเซอรอลต่อการหมักแบบแบปซ์

ผลการทดลองแสดงดังภาพประกอบที่ 4.2-4.3 แสดงให้เห็นว่าที่สภาวะการทดลองเดียวกันระบบหมักที่เป็นการหมักร่วมกันของกลีเซอรอล มุลสุกร และตะกอนจุลินทรีย์เป็นระบบหมักที่มีอัตราการผลิตก๊าซชีวภาพสูงกว่าระบบอื่น โดยมีปริมาณก๊าซชีวภาพสูงสุดอยู่ที่ 860 mL/d และมีอัตราการผลิตก๊าซชีวภาพสะสมสูงสุดตลอดการทดลองเท่ากับ 2,639 mL รองลงมาคือระบบที่เป็นการหมักร่วมกันของกลีเซอรอลและตะกอนจุลินทรีย์ พบว่ามีปริมาณก๊าซชีวภาพสูงสุดอยู่ที่ 620 mL/d และมีอัตราการผลิตก๊าซชีวภาพสะสมสูงสุดตลอดการทดลองเท่ากับ 1,620 mL ส่วนระบบหมักอื่นมีปริมาณก๊าซชีวภาพสูงสุดอยู่ที่ไม่เกิน 100 mL/d และเมื่อพิจารณาร้อยละการ ผลิตก๊าซมีเทนดังภาพประกอบที่ 4.4 พบว่าระบบหมักที่เป็นการหมักร่วมกันของกลีเซอรอลและตะกอนจุลินทรีย์ เป็นระบบหมักที่มีร้อยละการผลิตก๊าซมีเทนสูงสุดอยู่ที่ 77.06 ซึ่งมีปริมาณใกล้เคียง กับร้อยละการผลิตก๊าซมีเทนสูงสุดของระบบหมักที่เป็นการหมักร่วมกันของกลีเซอรอล มุลสุกร และตะกอนจุลินทรีย์ คือ มีร้อยละการผลิตก๊าซมีเทนสูงสุดอยู่ที่ 76.33 แต่เมื่อพิจารณาแนวโน้มปริมาณก๊าซมีเทนที่ได้ของระบบหมักที่เป็นการหมักร่วมกันของกลีเซอรอลและตะกอนจุลินทรีย์ การหมักในระยะยาวปริมาณมีเทนอาจมีแนวโน้มลดลงเนื่องจากกลีเซอรอลจัดเป็นแหล่งคาร์บอนที่ดี แต่ไม่มีแหล่งสารอาหารอื่น ที่จำเป็นต่อการดำรงชีวิตของจุลินทรีย์ เช่น ไนโตรเจน ซึ่งมีความจำเป็นต่อการสร้างเซลล์ของจุลินทรีย์เอง การหมักในระยะสั้นยังให้ปริมาณก๊าซชีวภาพและมีเทนที่ดีอยู่ เนื่องจากสารอาหารที่มีอยู่ในจุลินทรีย์เอง ก็เป็นได้ แต่ในระบบหมักที่เป็นการหมักร่วมกันของกลีเซอรอล มุลสุกร และตะกอนจุลินทรีย์ได้ปริมาณก๊าซชีวภาพที่สูงและแนวโน้มปริมาณมีเทนยังเพิ่มขึ้นเรื่อย ๆ เนื่องจาก กลีเซอรอลเป็นแหล่งของคาร์บอนที่ดี สามารถย่อยได้ง่าย เพราะมี

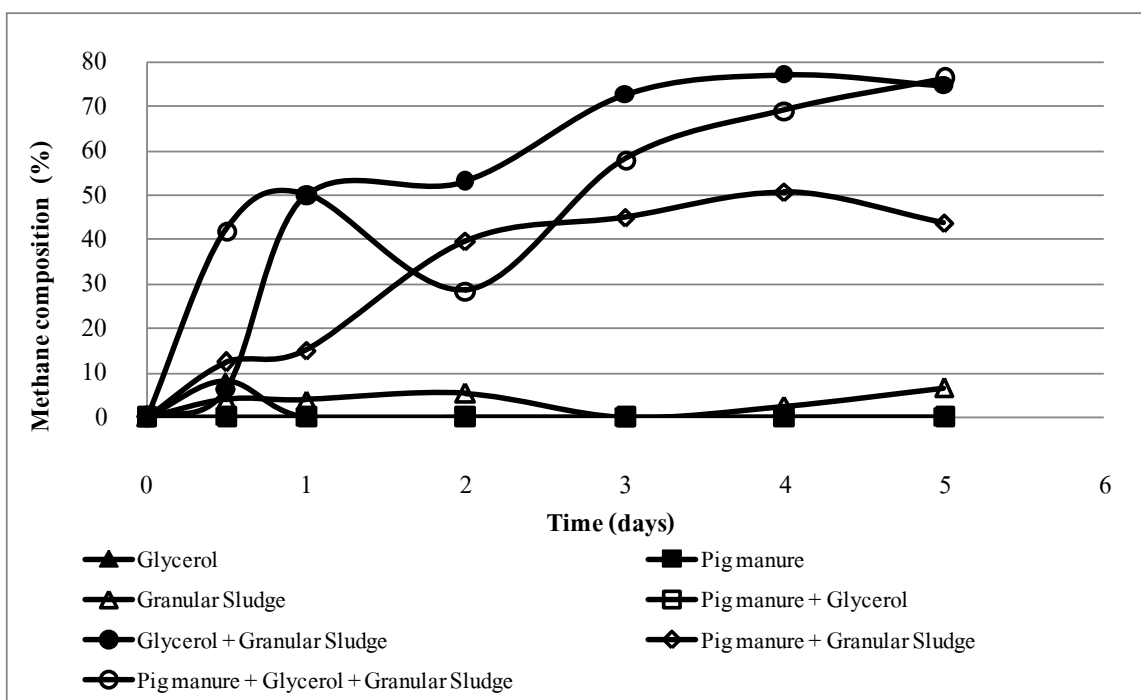
โครงสร้าง โมเลกุลไม่ซับซ้อน มูลสุกรเป็นแหล่งสารอาหารที่จำเป็นให้กับเชื้อจุลินทรีย์ และตะกอน จุลินทรีย์เม็ดมีแบคทีเรียซึ่งทำหน้าที่ ผลิตก๊าซมีเทน ได้ดี จากผลการทดลองจะเห็นได้ชัดว่าระบบ หมักที่เติม กลีเซอรอลลงไปจะช่วยเพิ่มประสิทธิภาพการหมักได้ดี ขึ้น การหมักร่วมกันของกลีเซ อรอล มูลสุกรและตะกอนจุลินทรีย์ ทำให้ระบบทำงานได้อย่างมีประสิทธิภาพมากขึ้น การใช้ ส่วนผสมทั้งสามจึงทำให้มีร้อยละการผลิตก๊าซมีเทนสูง ซึ่งผลการทดลองจากงานวิจัยนี้ สอดคล้อง กับการศึกษาของ Astals *et al.*, 2011 ที่พบว่า การหมักมูลสุกรร่วมกับกลีเซอรอลทำให้ได้ก๊าซมีเทน สูงกว่าการหมักด้วยมูลสุกรเพียงอย่างเดียว โดยการหมักที่สัดส่วนกลีเซอรอลร้อยละ 20 โดย น้ำหนักให้ปริมาณมีเทนสูงสุด และการศึกษาของ Wohlgenut *et al.*, 2011 ที่พบว่า การใช้กลีเซ อรอลร้อยละ 2 โดยน้ำหนัก ในการผสมกับมู ลสุกร ทำให้ได้ปริมาณก๊าซมีเทนสูงสุด ส่วนผลการ หมักสารตั้งต้นแบบอื่นๆ นั้น ได้ปริมาณก๊าซมีเทนน้อยมาก



ภาพประกอบที่ 4.2 อัตราการผลิตก๊าซชีวภาพของระบบหมักในแต่ละวันที่สารตั้งต้นต่างๆ กัน



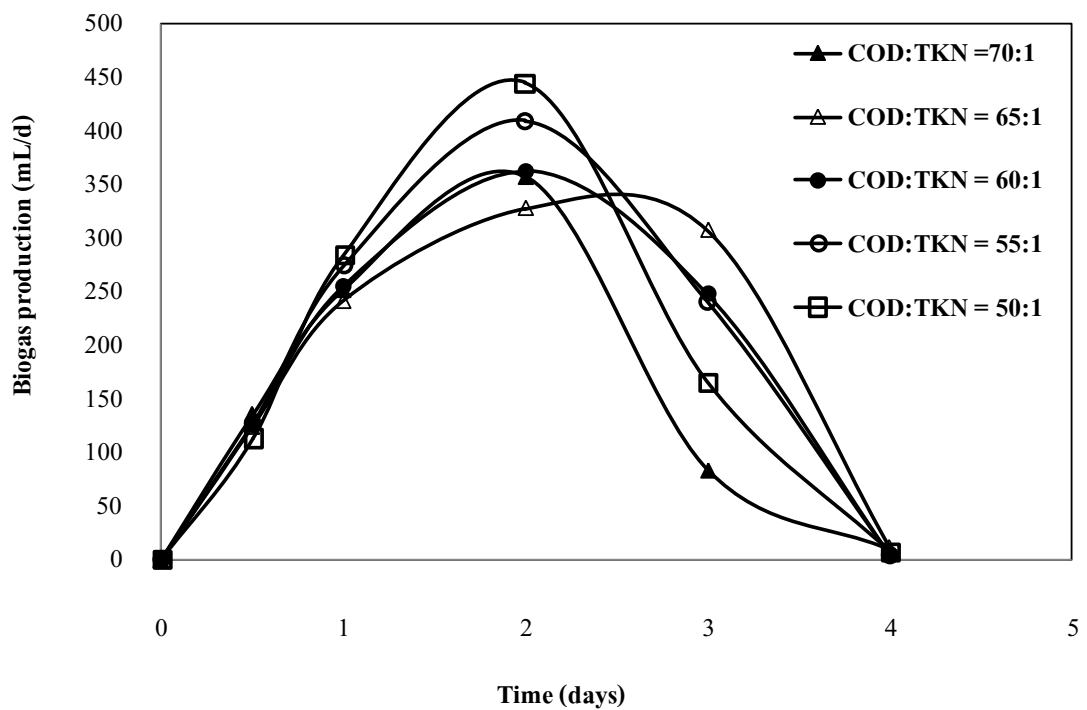
ภาพประกอบที่ 4.3 อัตราการผลิตก๊าซชีวภาพสะสมของระบบหมักที่สารตั้งต้นต่างๆ กัน



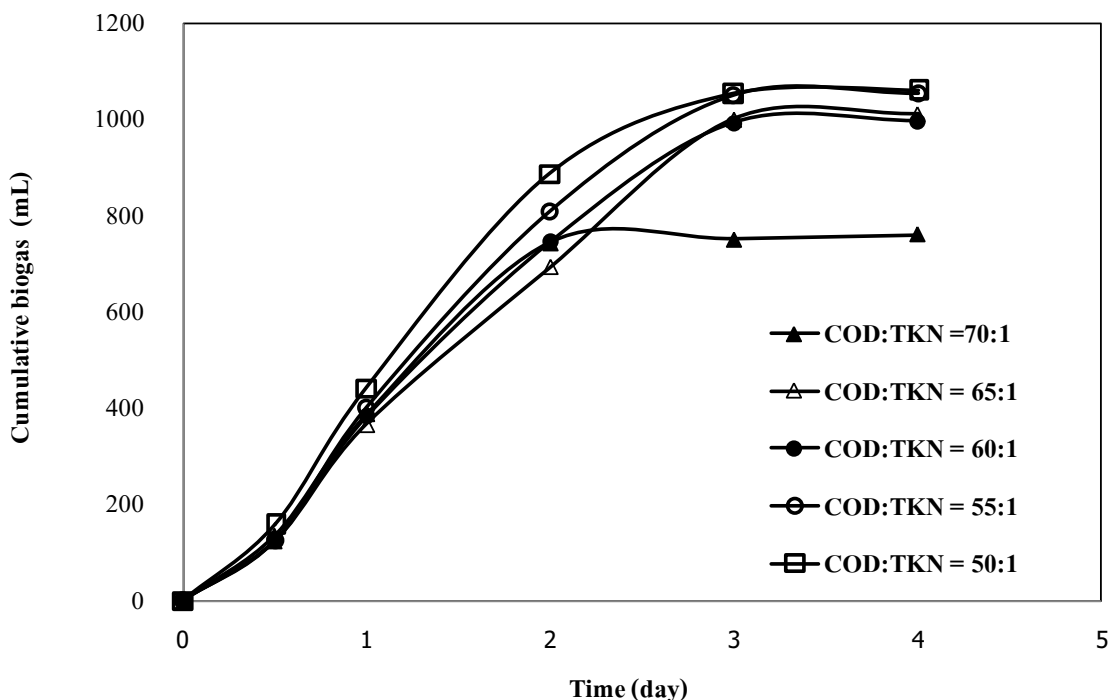
ภาพประกอบที่ 4.4 ร้อยละการผลิตก๊าซมีเทนของระบบหมักที่สารตั้งต้นต่างๆ กัน

#### 4.3 การหาอัตราส่วน COD:TKN ที่เหมาะสมด้วยการหมักแบบแบทช์

จากการทดลองหาอัตราส่วน COD:TKN ที่เหมาะสม จากผลการทดลอง ดังภาพประกอบที่ 4.5-4.6 พบว่าอัตราส่วนที่ COD:TKN เท่ากับ 50:1 มีปริมาณก๊าซชีวภาพสูงสุดต่อวันเท่ากับ 446 mL/d และมีอัตราการผลิตก๊าซชีวภาพสูงสุดเท่ากับ 1,062 mL และจากการทดลองพบว่าเมื่อถึงวันที่ 4 ของการหมัก ระบบไม่สามารถผลิต ก๊าซชีวภาพ ได้ อันเนื่องมาจากสาเหตุหลักคือ เกิดการสะสมของ กรดระเหยง่าย ขึ้นมาในระบบ และตอนเริ่มต้นไม่ได้เติมสารที่เป็นบัฟเฟอร์ให้กับระบบ เมื่อเกิด กรดระเหยง่าย ขึ้นมาสะสม ในระบบมากเกินไป และไปยับยั้งการทำงานของจุลินทรีย์สร้างมีเทน ทำให้ระบบหมักดำเนินการอยู่ได้ในระยะเวลาอันสั้น

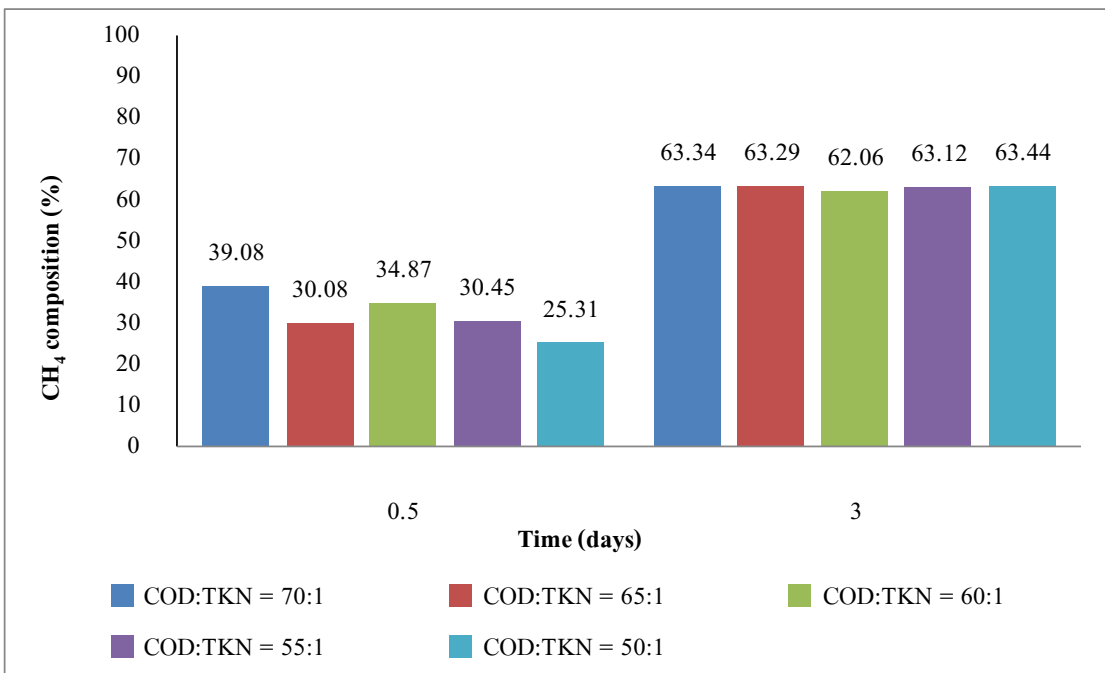


ภาพประกอบที่ 4.5 อัตราการผลิตก๊าซชีวภาพในแต่ละวันของระบบหมักที่อัตราส่วน COD : TKN ต่างๆ กัน

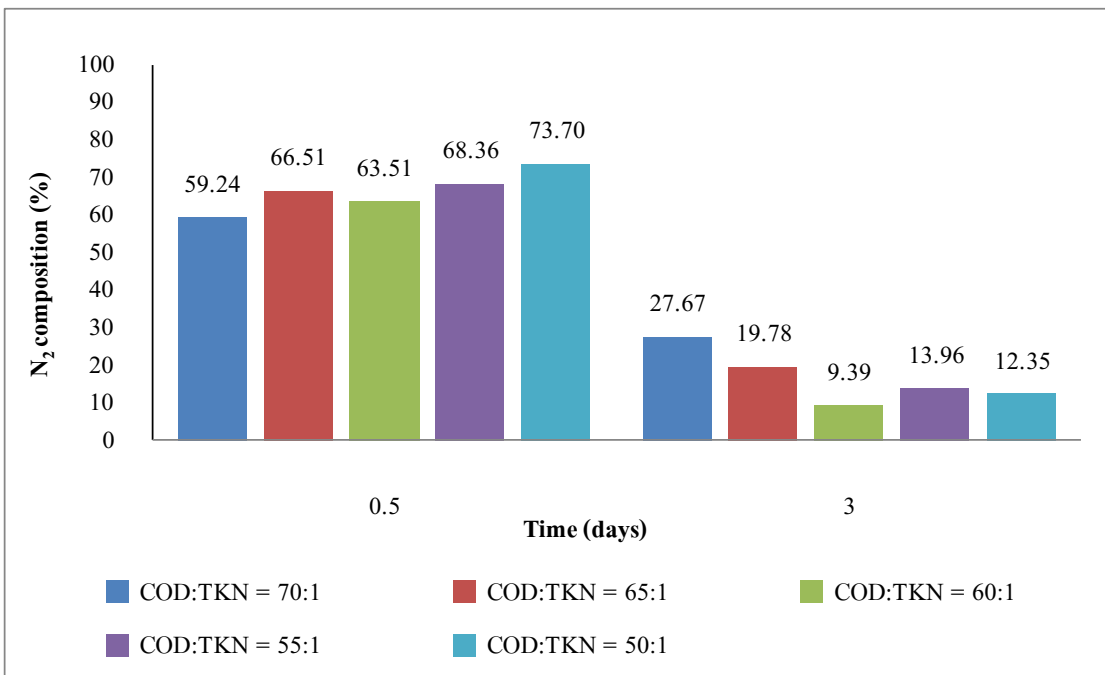


ภาพประกอบที่ 4.6 อัตราการผลิตก๊าซชีวภาพสะสมของระบบหมักที่อัตราส่วน COD : TKN ต่าง ๆ กัน

เมื่อพิจารณาปริมาณก๊าซมีเทนและก๊าซไนโตรเจนที่เกิดขึ้นดังภาพประกอบที่ 4.7-4.8 พบว่า 12 ชั่วโมงแรกของการหมักมีปริมาณก๊าซมีเทนเกิดขึ้นน้อย คือ ไม่เกินร้อยละ 40 แต่มีปริมาณก๊าซไนโตรเจนที่สูง เนื่องจากตอนเริ่มต้นระบบมีการ purge ก๊าซไนโตรเจนเข้าไปในระบบ จึงทำให้มีปริมาณก๊าซไนโตรเจนอยู่มากกว่าปริมาณก๊าซมีเทน แต่เมื่อนำก๊าซชีวภาพไปวิเคราะห์องค์ประกอบในวันที่ 3 ของการหมักพบว่าปริมาณก๊าซมีเทนเพิ่มขึ้นอยู่ในเกณฑ์ที่ปกติ เนื่องจากก๊าซไนโตรเจนที่มีในระบบในช่วงแรกออกไปกับก๊าซชีวภาพที่เกิดขึ้นในแต่ละวัน โดยจากการทดลองพบว่าปริมาณก๊าซมีเทนที่เกิดขึ้นมีค่าไม่แตกต่างกันในแต่ละอัตราส่วน ดังนั้นในการเลือกอัตราส่วนที่เหมาะสมจะพิจารณาจากปริมาณก๊าซชีวภาพที่เกิดขึ้น โดยพบว่าอัตราส่วน COD:TKN ที่เหมาะสมต่อกระบวนการหมัก คือ 50:1 แต่เนื่องจากอัตราส่วน 50:1 เป็นอัตราส่วนต่ำสุดที่ใช้ในการทดลอง ดังนั้นจึงทดลองเปรียบเทียบที่อัตราส่วน 40:1 ในระบบหมักแบบ Semi-CSTR ควบคู่ไปด้วยเพื่อเปรียบเทียบว่าที่อัตราส่วนต่ำกว่า 50:1 ประสิทธิภาพการหมักจะดีกว่าหรือไม่



ภาพประกอบที่ 4.7 ร้อยละการผลิตก๊าซมีเทนของระบบหมักที่ COD : TKN ต่างๆ กัน



ภาพประกอบที่ 4.8 ร้อยละของก๊าซไนโตรเจนที่เป็นองค์ประกอบในก๊าซชีวภาพของระบบหมักที่ COD : TKN ต่างๆ กัน

#### 4.4 การหมักแบบ Semi-CSTR ด้วยอัตราส่วน COD:TKN เท่ากับ 50:1

ใช้อัตราส่วน COD:TKN เท่ากับ 50:1 โดยการทดลองใช้ระยะเวลาทั้งสิ้น 96 วัน ระหว่างวันที่ 1-17 เป็นช่วงเริ่มต้น (Start up) ซึ่งเป็นช่วงที่จุลินทรีย์ปรับตัว ให้เข้ากับระบบใหม่ จะเห็นว่าระบบของเราใช้ระยะเวลาปรับตัวไม่นาน โดยทั่วไประยะเวลาปรับตัวจะอยู่ในช่วงประมาณ 1 เดือน หรือมากกว่านั้น ทั้งนี้สาเหตุหนึ่งน่าจะมาจากการเติมตะกอนจุลินทรีย์เม็ดที่ได้มาจากระบบบำบัดน้ำเสียแบบยูเอเอสบีซึ่งช่วยให้ระยะเวลาการปรับตัวสั้นลง สอดคล้องกับการศึกษาของ Braun *et al.*, 2010

##### 4.4.1 อุณหภูมิ

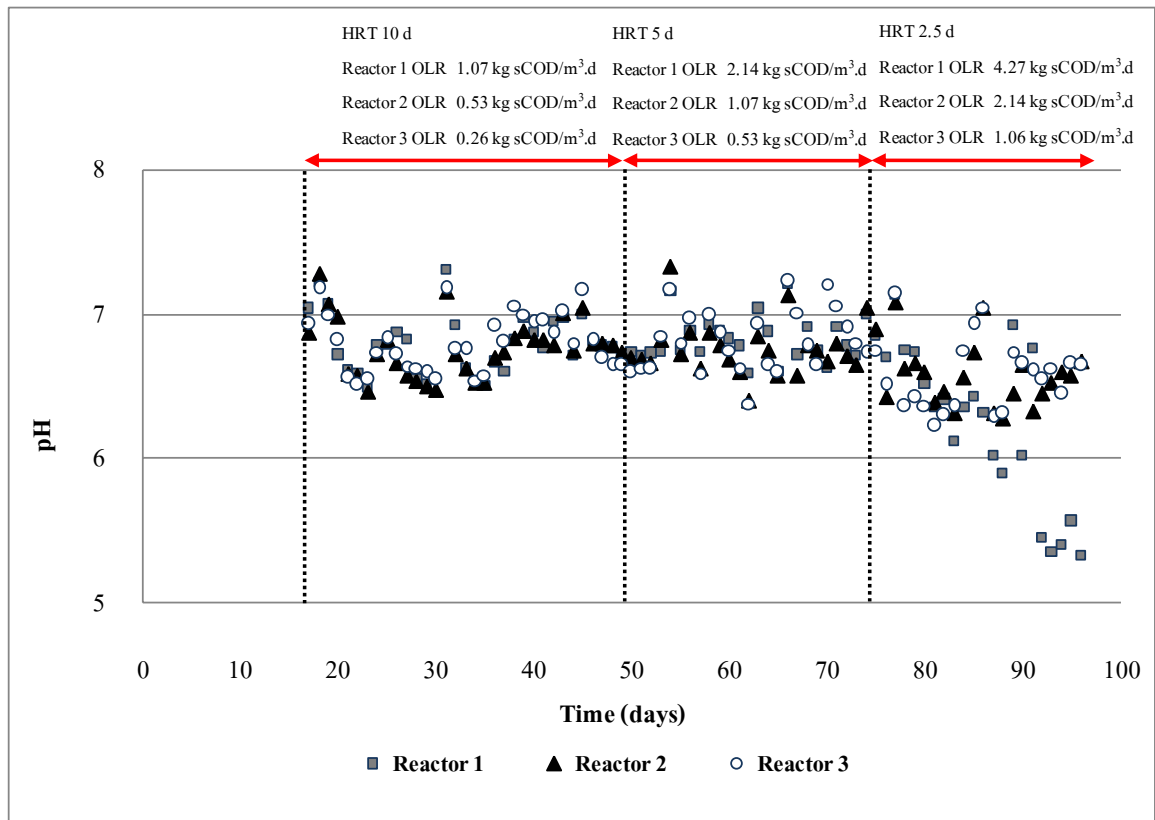
เริ่มต้นได้กำหนดช่วงอุณหภูมิ น้ำเสียที่เข้าและออกจากระบบ ไว้ที่  $35 \pm 1$  องศาเซลเซียส โดยจะควบคุมอุณหภูมิด้วยเตาไฟฟ้า แต่จากการวัดอุณหภูมิห้องตลอดการทดลอง พบว่า อุณหภูมิไม่มีการเปลี่ยนแปลงมากนัก คือ อยู่ที่  $33 \pm 3$  องศาเซลเซียส ทั้งช่วงกลางวันและกลางคืน ซึ่งเป็นช่วงอุณหภูมิเดิมที่เชื้อเคยอาศัยอยู่ และเหมาะในการทำงานแบบมีโซฟิลิก เพื่อเป็นการประหยัดพลังงาน จึงใช้อุณหภูมิห้องในการหมัก

##### 4.4.2 ความเป็นกรด-ด่าง

เนื่องจากน้ำเสีย ที่ใช้ในการ ทดลองในครั้งนี้ เป็นน้ำเสียสังเคราะห์ (Synthesis Waste Water) ซึ่งเตรียมได้จากการผสมระหว่างกลีเซอรอลดิบที่แยกชั้นแล้ว (พีเอชประมาณ 2) กับ มูลสุกร เมื่อนำมาผสมกันแล้วพี เอชจะอยู่ระหว่าง 6.1-6.4 ซึ่งพีเอชในช่วงนี้ยังไม่เหมาะสม ในการ ป้อนเข้าสู่ระบบ หมัก จึงจำเป็นต้องมีการปรับพีเอชด้วย สารละลายโซเดียมไฮดรอกไซด์ ความเข้มข้น 1 M ก่อน เพื่อปรับพีเอชให้อยู่ในช่วงประมาณ 7.2-7.4 จึงจะเหมาะสม ในการหมักวันที่ 1-16 จะเป็นช่วง Start up โดยจะป้อนสารที่ OLR ต่ำๆ ก่อนเพื่อเป็นการป้องกัน การเกิด Shockload จากนั้น ในวันที่ 17 ของการหมัก จึงเริ่มป้อนสารที่ OLR ต่ำที่สุดก่อน (HRT 10 วัน) ตามที่ได้ ออกแบบการทดลองไว้ (ดังตารางที่ 3.3) จากภาพประกอบที่ 4.9 จะเห็นได้ว่าในช่วงวันที่ 17-21 พีเอชของน้ำทิ้ง ลดลงอย่างรวดเร็ว เนื่องมาจากสภาพบัพเฟอร์ต่ำ ดังนั้นเพื่อเป็นการเพิ่มความจุ บัพเฟอร์ให้แก่ระบบหมัก จึงเปลี่ยนสารปรับพีเอช จากโซเดียมไฮดรอกไซด์ มาเป็นโซเดียมไบคาร์บอเนตซึ่งเป็นตัวให้  $\text{HCO}_3^-$  แก่ระบบโดยตรง โดยจะทำหน้าที่เป็นบัพเฟอร์ เมื่อมีกรดระเหยง่าย เกิดในระบบ ในวันที่ 28 ของการหมัก หลังจากการเติมสารปรับพีเอชโซเดียมไบคาร์บอเนตพบว่าพีเอชเริ่มคงที่และพร้อมที่จะเปลี่ยนเข้าสู่ HRT ใหม่ คือ ที่ HRT 5 และ 2.5 วัน ตามลำดับ ภาพรวมของค่าพีเอชตลอดระยะเวลาของการหมักพบว่า ค่าพีเอชเฉลี่ยโดยรวมอยู่ในช่วงที่เหมาะสม คือ 6.7-7.5 ยกเว้นการหมัก ใน ถึงปฏิกรณ์ 1 ที่ HRT 2.5 วัน ค่า OLR  $4.27 \text{ kg SCOD/m}^3 \cdot \text{d}$  พบว่าค่าพีเอชลดลงอย่างรวดเร็วอันเนื่องมาจาก OLR ที่สูงเกินไป ทำให้เกิด การสะสมของกรดระเหยง่าย ในระบบ



หมัก ส่งผลให้ระบบหมักของ ถึงปฏิกรณ์ 1 เกิดความล้มเหลวขึ้น อีกทั้ง ส่งผลต่อปริมาณก๊าซชีวภาพที่ได้มีปริมาณลดลงอย่างมาก

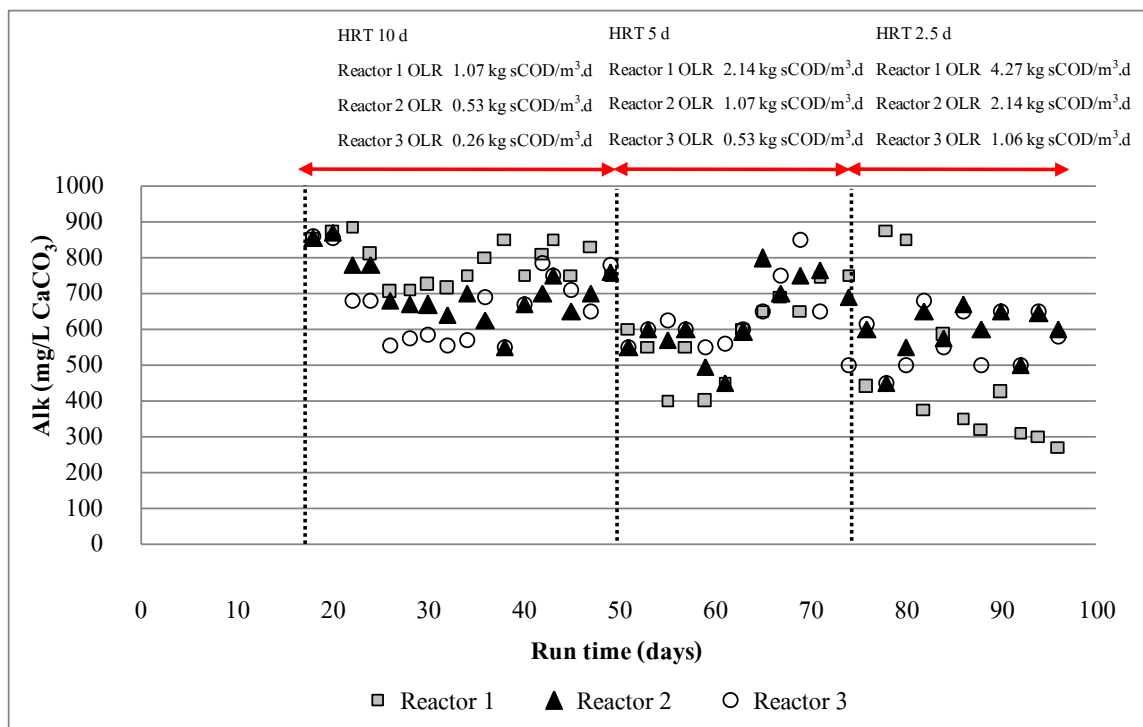


ภาพประกอบที่ 4.9 พีเอชของน้ำทิ้งจากหมักแบบ Semi-CSTR

#### 4.3.3 สภาพต่าง

เมื่อพิจารณาสภาพต่างในน้ำทิ้งจากทั้ง 3 ถึงปฏิกรณ์ จากภาพประกอบที่ 4.10 จะเห็นว่าอยู่ในช่วงกว้างมาก คือ 250-885 mg/l CaCO<sub>3</sub> เมื่อพิจารณาเปรียบเทียบทั้ง 3 HRT พบว่าที่ HRT 10 มีค่าเฉลี่ยของ Alkalinity สูงกว่าอีก 2 HRT ที่เหลือ ที่เป็นเช่นนี้เนื่องมาจากเมื่อ HRT เพิ่มขึ้น ปริมาณ OLR ของแต่ละ ถึงปฏิกรณ์ ก็เพิ่มขึ้น ทำให้มีปริมาณ กรดระเหยง่าย สะสมอยู่ในระบบมาก ทำให้ความจุ บัฟเฟอร์มีค่าลดลง เสถียรภาพของระบบจึงลดลงด้วย จะเห็นได้จากการที่ต้องเติมตัวปรับพีเอชบ่อยครั้งขึ้น โดยปกติแล้วค่าที่เหมาะสมสำหรับระบบไร้อากาศ คือ อยู่ในช่วงระหว่าง 1,000-5,000 mg/l ของ CaCO<sub>3</sub> (MetCalf & Eddy, 1982) ซึ่งค่าอนุโลมให้มีสภาพต่างน้อยสุด คือ 100 mg/l ของ CaCO<sub>3</sub> (Halbert, 1981) และจากค่าสภาพต่างของระบบแม้ว่าค่าไม่ได้อยู่

ในช่วงที่เหมาะสมตลอดการหมัก แต่ค่าก็ยังคงอยู่ในช่วงที่อนุโลมได้ ดังนั้นจึงทำให้ระบบยังหมักต่อไปได้จนถึงสิ้นสุดกระบวนการหมัก

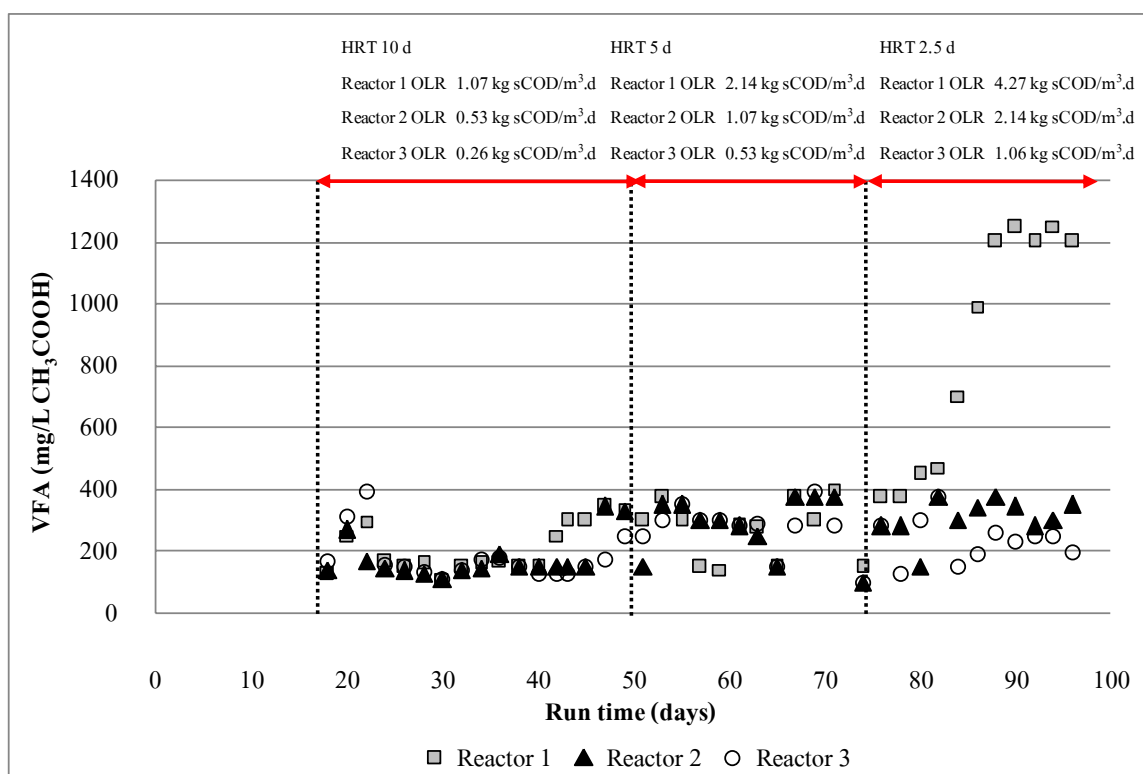


ภาพประกอบที่ 4.10 สภาพต่างของน้ำทิ้งจากระบบหมักแบบ Semi-CSTR

#### 4.4.4 กรดระเหยง่าย

ปริมาณกรดระเหยง่าย แสดงถึงการดำเนินงานของจุลินทรีย์ในระบบว่าเกิด ความสมดุลในการทำงานของจุลินทรีย์ที่ทำให้เกิดกรดระเหยง่ายและจุลินทรีย์ที่สร้างมีเทนหรือไม่ โดยถ้าระบบมีปริมาณกรดระเหยง่ายสะสมอยู่มากจะเป็นอันตรายต่อ จุลินทรีย์ที่สร้างมีเทน ทำให้ระบบหมักล้มเหลวได้ (Andrew, 1976 และ Forday and Greenfield, 1982) จากผลการทดลองดังแสดงในภาพประกอบที่ 4.11 พบว่าในช่วงเริ่มต้นของ HRT 10 วัน ทั้ง 3 OLR มีค่ากรดระเหยง่าย ที่ไม่แตกต่างกันมากนัก คือ ที่ OLR 1.07, 0.53 และ 0.26 kg SCOD/m<sup>3</sup>.d มีค่ากรดระเหยง่ายอยู่ในช่วง 111-345, 100-345 และ 100-391 mg/l CH<sub>3</sub>COOH ตามลำดับ เช่นเดียวกับในช่วง HRT 5 วัน ที่มีปริมาณกรดระเหยง่ายที่ไม่แตกต่างกันมาก คือ ที่ OLR 2.14, 1.07 และ 0.53 kg SCOD/m<sup>3</sup>.d มีค่ากรดระเหยง่าย อยู่ในช่วง 140-525, 100-450 และ 100-450 mg/l CH<sub>3</sub>COOH ตามลำดับ โดยพบว่า ช่วง HRT นี้มีปริมาณกรดระเหยง่ายเฉลี่ยสะสมมากกว่าช่วง HRT แรก เมื่อพิจารณาที่ HRT 2.5 วัน

พบว่าปริมาณกรดระเหยง่ายเพิ่มขึ้นอย่างเห็นได้ชัด โดยเฉพาะ ถึงปฏิกิริยา 1 ที่ OLR 4.27 kg SCOD/m<sup>3</sup>.d ปริมาณกรดระเหยง่ายสะสมเกินกว่าค่าช่วงที่เหมาะสมไปมาก โดยค่าสูงสุดอยู่ที่ 1,290 mg/l CH<sub>3</sub>COOH โดยทั่วไปแล้วระดับกรดระเหยง่ายที่เหมาะสมคือ 50-500 mg/l CH<sub>3</sub>COOH ซึ่งค่าสูงสุดที่ยอมรับได้ในระบบได้เท่ากับ 2,000 mg/l CH<sub>3</sub>COOH (เกรียงศักดิ์ อุดมสินโรจน์, 2543; มารศรี เรืองจิตชัชวาลย์, 2541 และ Harbert, 1981)

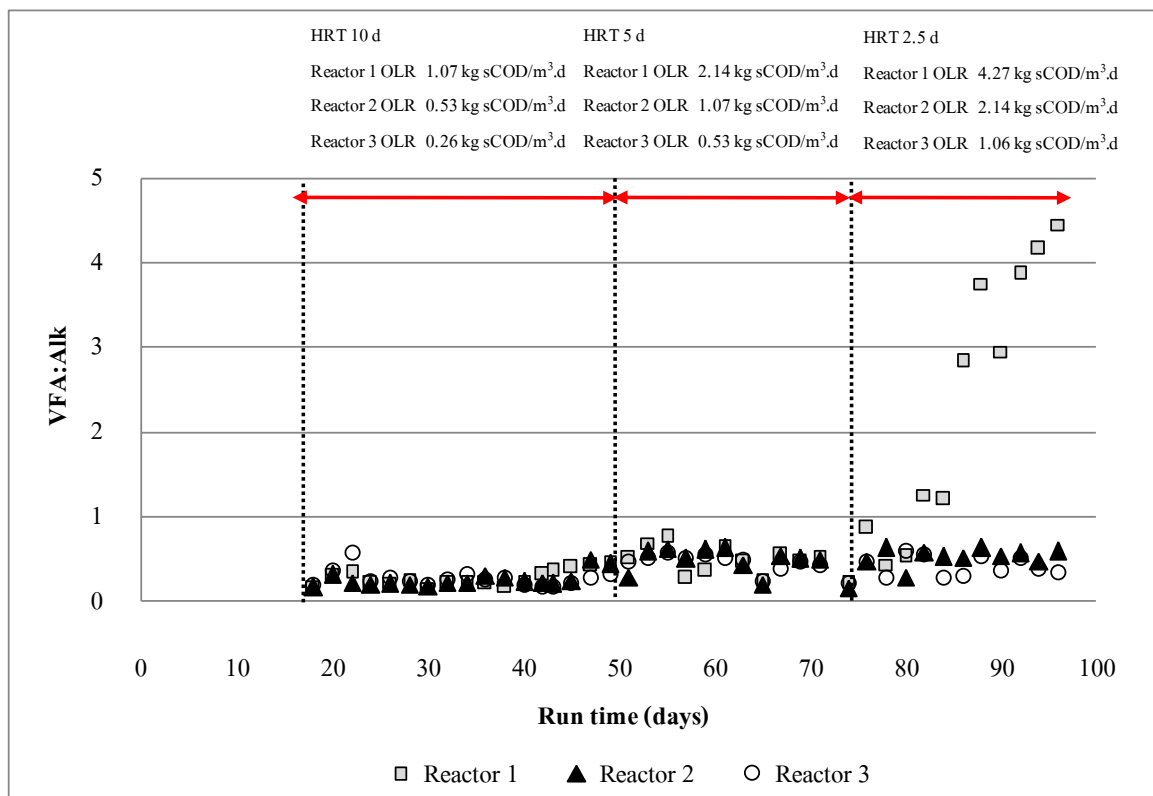


ภาพประกอบที่ 4.11 กรดระเหยง่ายของน้ำทิ้งจากระบบหมักแบบ Semi-CSTR

#### 4.4.5 อัตราส่วนของกรดระเหยง่ายต่อสภาพต่าง

อัตราส่วนของ กรดระเหยง่าย ต่อสภาพต่าง มีความสำคัญต่อการควบคุมระบบบำบัดน้ำเสียแบบไร้อากาศ ซึ่งจะเป็นค่าที่บ่งบอกถึงกำลังชีพเฟอร์ของระบบ จากผลการทดลองพบว่า ที่ OLR ต่างๆ กัน (ภาพประกอบที่ 4.12) อัตราส่วนกรดระเหยง่ายต่อสภาพต่างของน้ำทิ้งมีค่านี ที่ HRT 10 วัน ทั้ง 3 OLR มีค่าอัตราส่วนของกรดระเหยง่ายต่อสภาพต่างที่ไม่แตกต่างกันมากนัก คือ ที่ OLR 1.07, 0.53 และ 0.26 kg SCOD/m<sup>3</sup>.d มีค่าอัตราส่วนของกรดระเหยง่ายต่อสภาพต่างอยู่ในช่วง 0.15-0.44, 0.16-0.49 และ 0.17-0.58 mg/l CH<sub>3</sub>COOH ตามลำดับ เมื่อพิจารณาในช่วง HRT 5 วัน มีปริมาณอัตราส่วนของ กรดระเหยง่าย ต่อสภาพต่างเพิ่มขึ้นจาก HRT แรกเล็กน้อย

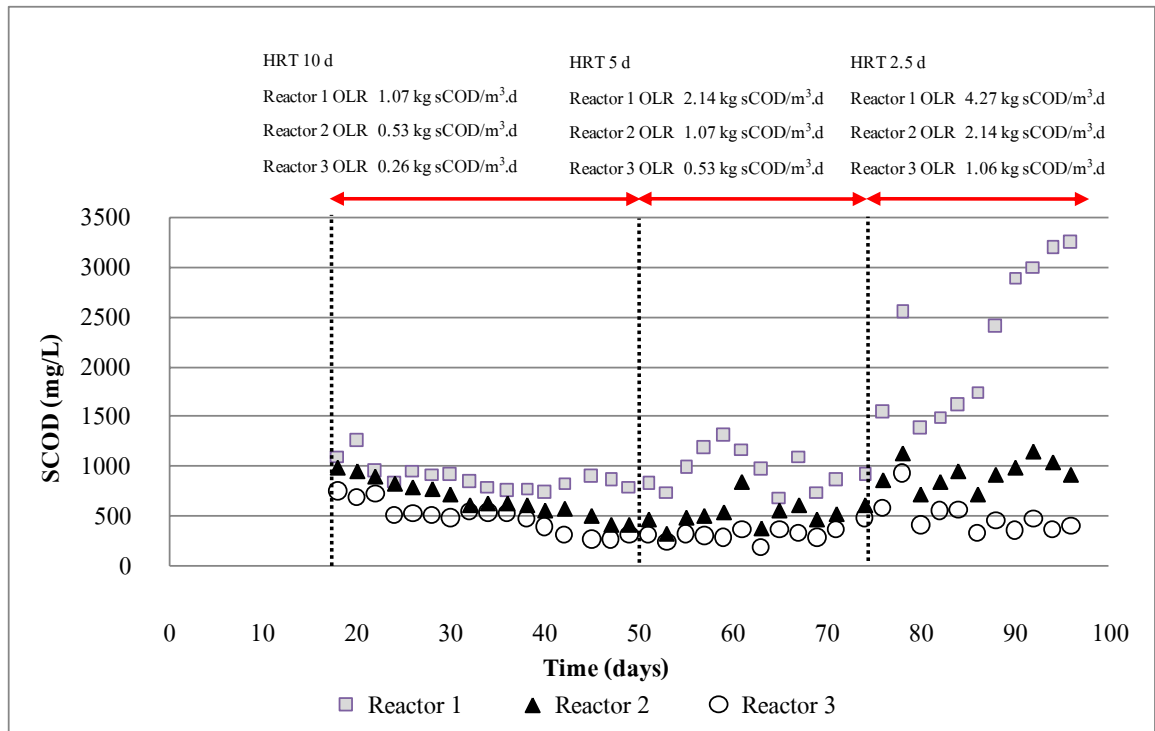
เนื่องจากแต่ละ ถังปฏิกรณ์ มีค่า OLR เพิ่มขึ้น คือ ที่ OLR 2.14, 1.07 และ 0.53 kg SCOD/m<sup>3</sup>.d มีค่าอัตราส่วนของ กรดระเหยง่าย ต่อสภาพต่างอยู่ในช่วง 0.20-0.75, 0.15-0.62 และ 0.20-0.56 mg/l CH<sub>3</sub>COOH ตามลำดับ และที่ HRT สุกท้าย คือ 2.5 วัน พบว่าอัตราส่วนของ กรดระเหยง่าย ต่อสภาพต่างของ OLR 2.14 และ 1.06 kg SCOD/m<sup>3</sup>.d ยังอยู่ในช่วงที่ยอมรับได้ คือ 0.27-0.63 และ 0.27-0.60 mg/l CH<sub>3</sub>COOH ตามลำดับ เนื่องจากอัตราส่วนของกรดระเหยง่ายต่อสภาพต่าง หากมีค่าน้อยกว่า 0.4 แสดงว่าระบบมีกำลังบำบัดสูง (เกรียงศักดิ์ อุดมสินโรจน์ , 2543 และ Zickefoose and Hayes, 1976) นอกจากนี้หากอัตราส่วนของ กรดระเหยง่าย ต่อสภาพต่าง มีค่ามากกว่า 0.8 อาจทำให้ระบบล้มเหลว เพราะความเข้มข้นของ กรดระเหยง่าย ในปริมาณสูงทำให้การทำงานของจุลินทรีย์ที่ผลิตก๊าซมีเทนถูกยับยั้ง ดังเช่นใน ถังปฏิกรณ์ ที่ 1 ที่ OLR 4.27 kg SCOD/m<sup>3</sup>.d มีค่าเกินค่าที่กำหนดไปมาก จึงทำให้ระบบหมักเกิดการเสียดุลย ของจุลินทรีย์ที่สร้างมีเทน โดย พบว่าค่าอัตราส่วนของ กรดระเหยง่ายต่อสภาพต่างสูงสุดอยู่ที่ 4.44 ซึ่งเป็นตัวบ่งชี้ว่าระบบมีกำลังบำบัดต่ำมาก ส่งผลให้ระบบเกิดการล้มเหลว



ภาพประกอบที่ 4.12 อัตราส่วนของกรดระเหยง่ายต่อสภาพต่างของน้ำทิ้งจากระบบหมักแบบ Semi-CSTR

#### 4.4.6 การบำบัดชีโอดี

จากการศึกษาประสิทธิภาพในการบำบัดชีโอดี ได้วิเคราะห์จากชีโอดีละลายน้ำ (Soluble Chemical Oxygen Demand SCOD) โดยน้ำเสียที่ป้อนเข้าระบบมีค่า SCOD ต่างกัน 3 ค่า คือ  $10,679 \pm 403$ ,  $5,339 \pm 81$  และ  $2,645 \pm 135$  mg/l พบว่า SCOD ของน้ำทิ้งจากระบบ ตลอดระยะเวลาการทดลองแสดงดังภาพประกอบที่ 4.13

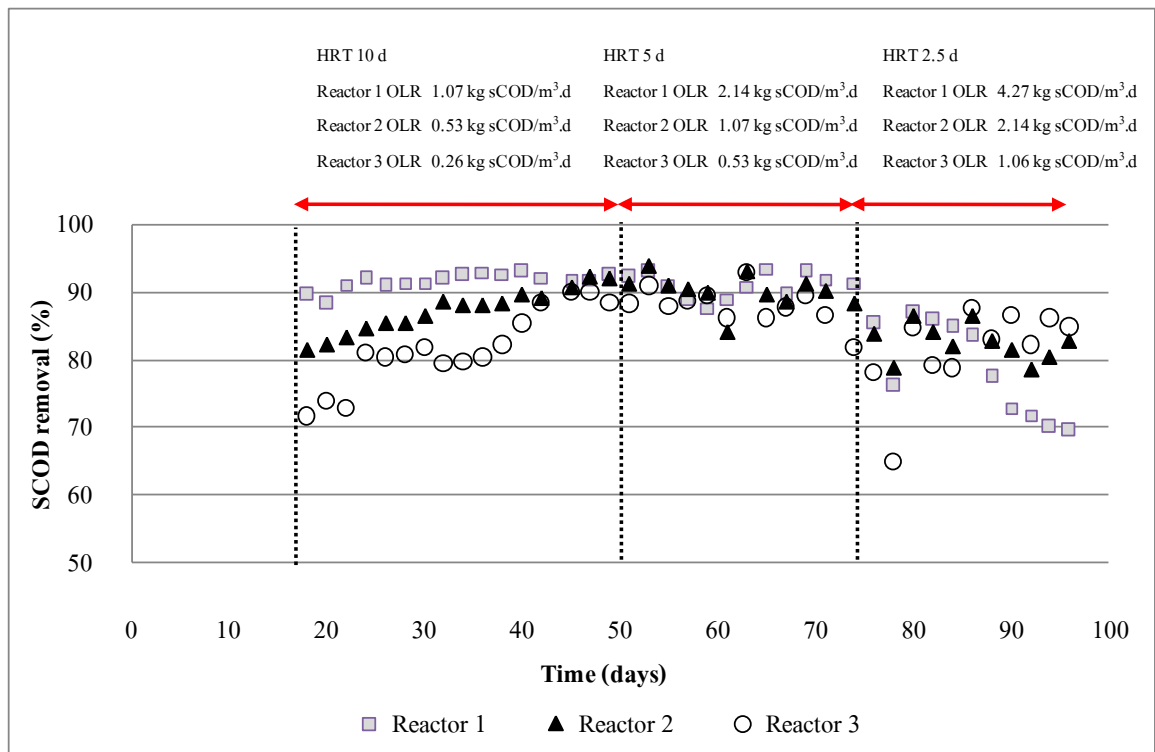


ภาพประกอบที่ 4.13 SCOD ของน้ำทิ้งจากระบบหมักแบบ Semi-CSTR

การทดลองที่ HRT 10 ค่า SCOD ของน้ำทิ้งที่ OLR 1.07, 0.53 และ 0.26 kg SCOD/m<sup>3</sup>.d เฉลี่ยเท่ากับ  $806 \pm 56$ ,  $540 \pm 92$  และ  $382 \pm 113$  ตามลำดับ ที่ HRT 5 วัน ค่า SCOD ของน้ำทิ้งของ OLR 2.14, 1.07 และ 0.53 kg SCOD/m<sup>3</sup>.d เฉลี่ยเท่ากับ  $880 \pm 152$ ,  $520 \pm 92$  และ  $332 \pm 98$  ตามลำดับ และที่ HRT ที่ 2.5 วัน ค่า SCOD ของน้ำทิ้งที่ OLR 4.12, 2.14 และ 1.06 kg SCOD/m<sup>3</sup>.d เฉลี่ยเท่ากับ  $2,589 \pm 680$ ,  $954 \pm 133$  และ  $739 \pm 214$  ตามลำดับ

จากการทดลองพบว่าค่า SCOD ของน้ำทิ้งที่ออกจากระบบของ HRT 10 และ 5 วัน ของทั้ง 3 ถึงปฏิกรณ์ มีค่าไม่แตกต่างกันมากนัก ส่วนที่ HRT 2.5 วัน พบว่าค่า SCOD ของน้ำทิ้งที่ออกจากระบบของ ถึงปฏิกรณ์ 2 และ 3 แตกต่างจากที่ค่า HRT ทั้งสองก่อนหน้านี้ไม่มากนัก แต่ถึงปฏิกรณ์ 1 พบว่าค่า SCOD ของน้ำทิ้งที่ออกจากระบบมีค่าเพิ่มขึ้นมาก จะเห็นได้ว่าที่ HRT 2.5 มีค่า

OLR เท่ากับ  $4.27 \text{ kg SCOD/m}^3 \cdot \text{d}$  ซึ่งเป็นค่า OLR ที่สูงที่สุดของการทดลองนี้ นั่นคือมีสารอินทรีย์ป้อนเข้าสู่ระบบสูงเกินที่เชื้อจุลินทรีย์จะย่อยได้หมด โดยสามารถดูได้จากประสิทธิภาพการบำบัด SCOD ของน้ำทิ้งจากระบบหมักจากภาพประกอบที่ 4.14

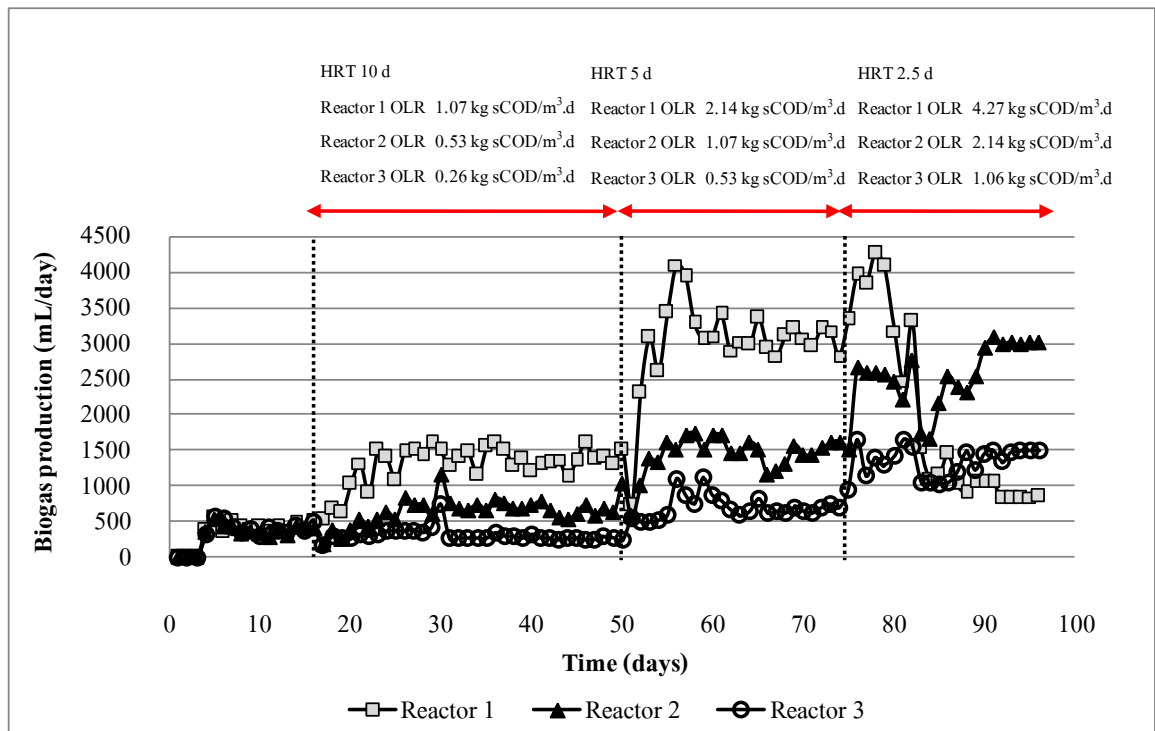


ภาพประกอบที่ 4.14 ประสิทธิภาพการบำบัด SCOD ของน้ำทิ้งจากระบบหมักแบบ Semi-CSTR

ประสิทธิภาพการบำบัด SCOD ของน้ำทิ้งจากระบบหมักที่ HRT 10 ค่า OLR 1.07, 0.53 และ  $0.26 \text{ kg SCOD/m}^3 \cdot \text{d}$  เฉลี่ยเท่ากับร้อยละ  $92.45 \pm 0.52$ ,  $89.89 \pm 1.73$  และ  $85.57 \pm 4.28$  ตามลำดับ ที่ HRT 5 วัน ค่า OLR 2.14, 1.07 และ  $0.53 \text{ kg SCOD/m}^3 \cdot \text{d}$  ประสิทธิภาพการบำบัดเฉลี่ยเท่ากับร้อยละ  $91.76 \pm 1.42$ ,  $90.27 \pm 1.73$  และ  $87.47 \pm 3.71$  ตามลำดับ และที่ HRT ที่ 2.5 วัน ค่า OLR 4.12, 2.14 และ  $1.06 \text{ kg SCOD/m}^3 \cdot \text{d}$  ประสิทธิภาพการบำบัดเฉลี่ยเท่ากับร้อยละ  $75.76 \pm 6.73$ ,  $82.14 \pm 2.48$  และ  $84.20 \pm 3.09$  ตามลำดับ ซึ่งจะเห็นว่าประสิทธิภาพการบำบัด SCOD ค่อนข้างใกล้เคียงกันโดยเฉลี่ยแล้วจะสูงกว่าร้อยละ 80 ยกเว้นที่ HRT 2.5 วัน ที่ OLR เท่ากับ  $4.12 \text{ kg SCOD/m}^3 \cdot \text{d}$  มีค่าประสิทธิภาพการบำบัดเฉลี่ยน้อยที่สุด คือ ร้อยละ  $75.76 \pm 6.73$  ซึ่งเกิดจากค่า OLR ที่สูงเกิน ส่งผลต่อการทำงานของจุลินทรีย์สร้างก๊าซมีเทน

#### 4.4.7 อัตราการผลิตก๊าซชีวภาพ (Biogas production)

ปริมาณก๊าซชีวภาพที่เกิดขึ้นในระบบเป็นตัวบ่งชี้ถึงประสิทธิภาพของระบบหมัก โดยอาศัยการทำงานร่วมกันอย่างต่อเนื่องของจุลินทรีย์สร้างกรดและสร้างมีเทน อัตราการผลิตก๊าซชีวภาพต่อวันแสดงดังภาพประกอบที่ 4.15

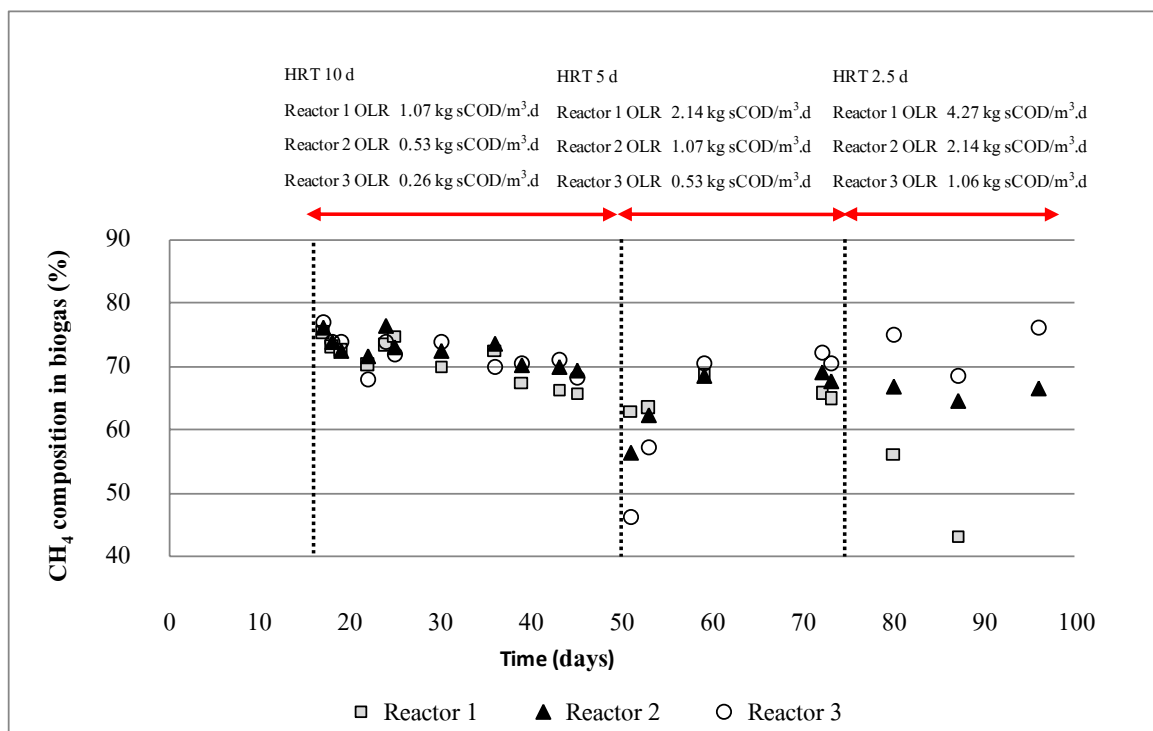


ภาพประกอบที่ 4.15 อัตราการผลิตก๊าซชีวภาพในแต่ละวันของการทดลอง

การทดลองที่ HRT 10 วัน ที่ OLR 1.07 0.53 และ 0.26 kg SCOD/m<sup>3</sup>.d มีอัตราการผลิตก๊าซชีวภาพที่สถานะคงตัวเฉลี่ยเท่ากับ  $1,423 \pm 104$ ,  $697 \pm 108$  และ  $259 \pm 13$  ml/d/2.5 L ตามลำดับ ที่ HRT 5 วัน ที่ OLR 2.14, 1.07 และ 0.53 kg SCOD/m<sup>3</sup>.d มีอัตราการผลิตก๊าซชีวภาพที่สถานะคงตัวเฉลี่ยเท่ากับ  $3,093 \pm 179$ ,  $1,451 \pm 142$  และ  $670 \pm 62$  ml/d/2.5 L ตามลำดับ และที่ HRT สุกท้าย 2.5 วัน ที่ OLR 4.27, 2.14 และ 1.06 kg SCOD/m<sup>3</sup>.d มีอัตราการผลิตก๊าซชีวภาพที่สถานะคงตัวเฉลี่ยเท่ากับ  $914 \pm 105$ ,  $3,000 \pm 43$  และ  $1,436 \pm 96$  ml/d/2.5 L ตามลำดับ

#### 4.4.8 ร้อยละการผลิตก๊าซมีเทน (Methane production)

จากการนำก๊าซชีวภาพที่เกิดขึ้นไปวิเคราะห์องค์ประกอบโดยเครื่อง GC-TCD ผลแสดงดังภาพประกอบที่ 4.16 พบว่าร้อยละการผลิตก๊าซมีเทนจากการทดลองที่ HRT 10 วัน ที่ OLR 1.07, 0.53 และ 0.26 kg SCOD/m<sup>3</sup>.d มีค่าเฉลี่ยเท่ากับ  $70.87 \pm 3.30$ ,  $72.52 \pm 2.34$  และ  $71.92 \pm 2.77$  ตามลำดับ ที่ HRT 5 วัน ที่ OLR 2.14, 1.07 และ 0.53 kg SCOD/m<sup>3</sup>.d มีร้อยละการผลิตก๊าซมีเทนเฉลี่ยเท่ากับ  $66.17 \pm 1.92$ ,  $68.28 \pm 0.67$  และ  $70.96 \pm 0.85$  ตามลำดับ และที่ HRT สุกท้าย 2.5 วัน ที่ OLR 4.27, 2.14 และ 1.06 kg SCOD/m<sup>3</sup>.d มีร้อยละการผลิตก๊าซมีเทนเฉลี่ยเท่ากับ  $45.67 \pm 9.32$ ,  $65.78 \pm 1.28$  และ  $73.16 \pm 4.08$  ตามลำดับ ซึ่งพบว่าร้อยละการผลิตก๊าซมีเทนโดยเฉลี่ยจะสูงกว่าร้อยละ 65 แสดงให้เห็นว่าระบบหมักมีประสิทธิภาพในการผลิตก๊าซชีวภาพได้ดี ยกเว้น ถึงปฏิบัติการ 1 HRT 2.5 วัน ที่ OLR 4.27 kg SCOD/m<sup>3</sup>.d มีร้อยละการผลิตก๊าซมีเทน โดยเฉลี่ยต่ำที่สุด คือ ร้อยละ  $45.67 \pm 9.32$  การที่ระบบหมักผลิตก๊าซมีเทนได้น้อยนั้นเกิดจากความล้มเหลวของระบบอันเนื่องมาจากสารอินทรีย์ที่ป้อนเข้าระบบหมักสูงเกินกว่าที่จุลินทรีย์สร้างมีเทนจะรับได้ จนเกิดภาวะ Shock Load ขึ้นในระบบนั่นเอง



ภาพประกอบที่ 4.16 ร้อยละการผลิตก๊าซมีเทนในระบบหมักต่อวัน



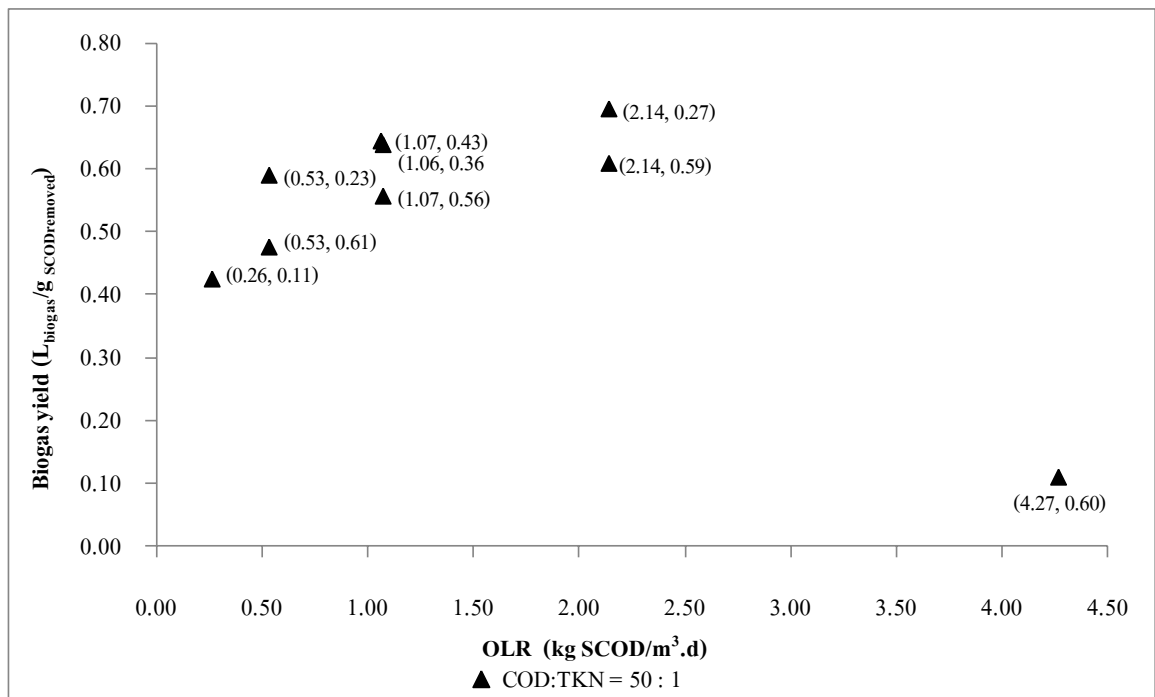
#### 4.4.9 ผลผลิตก๊าซชีวภาพและผลผลิตก๊าซมีเทน

จากผลของอัตราการผลิตก๊าซชีวภาพและร้อยละการผลิตก๊าซมีเทน ที่สภาวะคงตัว ที่ HRT และ OLR ต่างๆ เมื่อนำมาคำนวณผลผลิตก๊าซชีวภาพและก๊าซมีเทน ค่าที่ได้แสดงดังตารางที่ 4.2

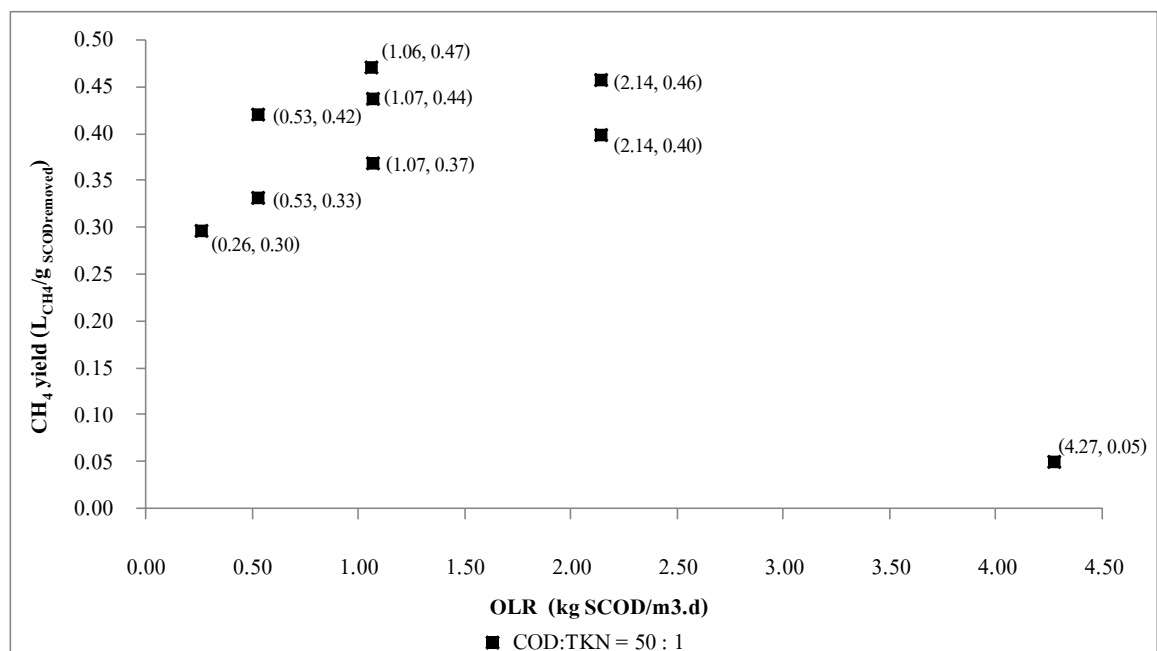
ตารางที่ 4.2 ผลผลิตก๊าซชีวภาพและผลผลิตก๊าซมีเทนที่สภาวะคงตัวที่ OLR ต่าง ๆ กัน

| ถังปฏิกรณ์ | HRT<br>(day) | OLR<br>(kg SCOD/m <sup>3</sup> .d) | Biogas Yield<br>$L_{\text{biogas}}/\text{g SCOD}_{\text{removed}}$ | Methane Yield<br>$L_{\text{CH}_4}/\text{g SCOD}_{\text{removed}}$ |
|------------|--------------|------------------------------------|--|---|
| 1          | 10           | 1.07                               | $0.56 \pm 0.004$   | $0.37 \pm 0.006$  |
|            | 5            | 2.14                               | $0.61 \pm 0.034$   | $0.40 \pm 0.027$  |
|            | 2.5          | 4.27                               | $0.11 \pm 0.004$   | $0.05 \pm 0.009$  |
| 2          | 10           | 0.53                               | $0.48 \pm 0.020$   | $0.33 \pm 0.014$  |
|            | 5            | 1.07                               | $0.64 \pm 0.047$   | $0.44 \pm 0.028$  |
|            | 2.5          | 2.14                               | $0.70 \pm 0.017$   | $0.46 \pm 0.016$  |
| 3          | 10           | 0.26                               | $0.43 \pm 0.005$   | $0.30 \pm 0.009$  |
|            | 5            | 0.53                               | $0.59 \pm 0.050$   | $0.42 \pm 0.032$  |
|            | 2.5          | 1.06                               | $0.64 \pm 0.028$   | $0.47 \pm 0.032$  |

จากตารางที่ 4.2 พบว่าในถังปฏิกรณ์ที่ 2 HRT 2.5 วัน ที่ OLR 2.14 kg SCOD/m<sup>3</sup>.d ผลผลิตก๊าซชีวภาพสูงสุดเท่ากับ  $0.70 L_{\text{biogas}}/\text{g SCOD}_{\text{removed}}$  และผลผลิตก๊าซมีเทนเท่ากับ  $0.46 L_{\text{CH}_4}/\text{g SCOD}_{\text{removed}}$  และมีความสัมพันธ์กับ OLR ดังภาพประกอบที่ 4.17-4.18



ภาพประกอบที่ 4.17 ความสัมพันธ์ของ OLR และผลผลิตก๊าซชีวภาพเฉลี่ยที่สภาวะคงตัว



ภาพประกอบที่ 4.18 ความสัมพันธ์ของ OLR และผลผลิตก๊าซมีเทนเฉลี่ยที่สภาวะคงตัว

นอกจากนี้ยังพบว่าเมื่อ OLR เพิ่มขึ้นผลผลิตก๊าซชีวภาพและผลผลิตก๊าซมีเทนเพิ่มขึ้นด้วย ยกเว้นที่ OLR 4.27 kg SCOD/m<sup>3</sup>.d ที่ผลผลิตก๊าซชีวภาพและผลผลิตก๊าซมีเทนลดลง เนื่องจากระบบหมักเริ่มล้มเหลว โดยมีสาเหตุมาจากปริมาณจุลินทรีย์ ที่มีน้อยกว่าสารอินทรีย์ที่

ป้อนเข้าสู่ระบบ ซึ่งอันที่จริงแล้วระบบหมักแบบ CSTR ควรรับ OLR ที่สูง ๆ ได้ เช่นจากงานวิจัยของ Cail and Barford (1985) ที่ศึกษากระบวนการหมักไร้อากาศแบบ Semi-continuous ที่สภาวะมีโซฟิลิก อุณหภูมิ 35 องศาเซลเซียส HRT 5.6 วันสามารถรับ OLR ได้สูงถึง 12.6 kg TCOD/m<sup>3</sup>.d

#### 4.4.10 ตะกอนจุลินทรีย์ภายในถังปฏิกรณ์

ตะกอนจุลินทรีย์จะวัดปริมาณในรูปของ MLVSS เปรียบเทียบก่อนและหลังการทดลอง ผลแสดงดังตารางที่ 4.3

ตารางที่ 4.3 เปรียบเทียบ MLVSS ก่อนและหลังการทดลอง

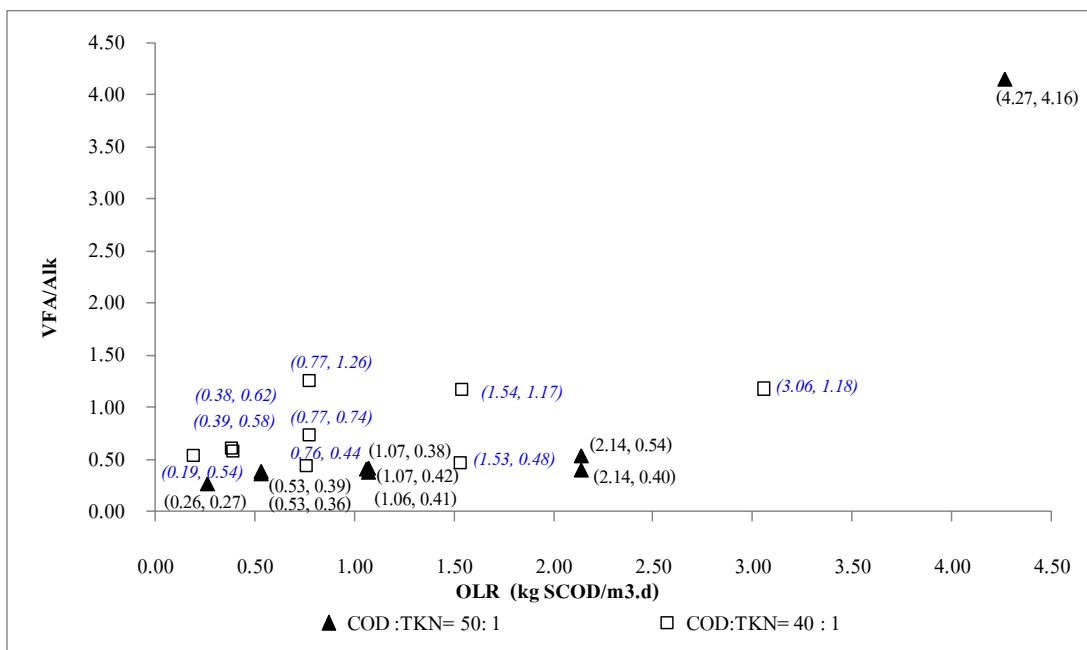
| ถังปฏิกรณ์ | ก่อนทดลอง (mg/L) | หลังทดลอง (mg/L) |
|------------|------------------|------------------|
| 1          | 37,500           | 41,564           |
| 2          | 37,500           | 41,212           |
| 3          | 37,500           | 40,900           |

จากตารางพบว่าปริมาณตะกอนจุลินทรีย์ภายหลังการทดลองเพิ่มขึ้น นั่นแสดงว่าเชื้อจุลินทรีย์มีการเจริญเติบโตขึ้นในระหว่างกระบวนการหมัก

#### 4.4.11 ผลของอัตราส่วน COD:TKN

##### 4.4.11.1 กรด-ด่าง กรดระเหยง่าย และอัตราส่วนกรดระเหยง่ายต่อสภาพต่าง

เมื่อเปรียบเทียบอัตราส่วน VFA : Alk ที่ OLR ต่างๆ ของอัตราส่วน COD : TKN เท่ากับ 50 : 1 และ 40:1 พบว่าโดยส่วนใหญ่อัตราส่วน VFA : Alk ที่ 50 : 1 และ 40 :1 อยู่ในช่วงที่เหมาะสม ยกเว้นที่ OLR 4.27 kg SCOD/m<sup>3</sup>.d ของอัตราส่วน 50 : 1 ที่มีอัตราส่วน VFA : Alk เกินช่วงที่เหมาะสมไปมาก เนื่องจากการสะสมของ VFA ในระบบเกินที่จุลินทรีย์จะรับได้ ดังภาพประกอบที่ 4.19

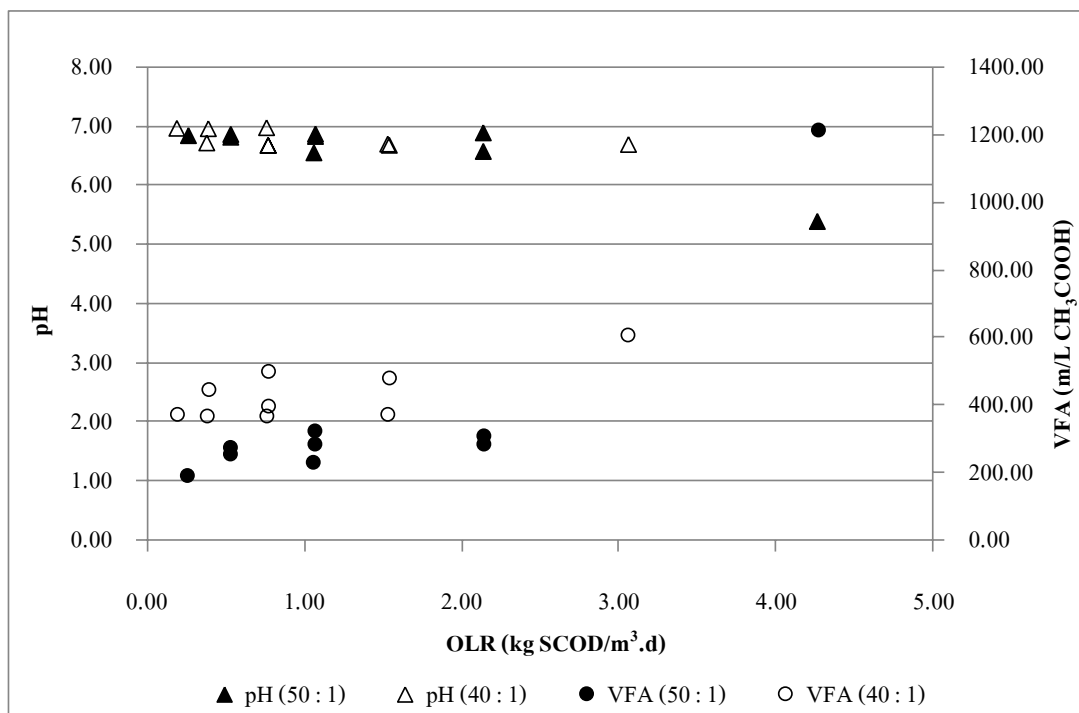


ภาพประกอบที่ 4.19 อัตราส่วน VFA : Alk ที่ OLR ต่างๆ ของอัตราส่วน COD : TKN เท่ากับ 50 :

1

และ 40 : 1

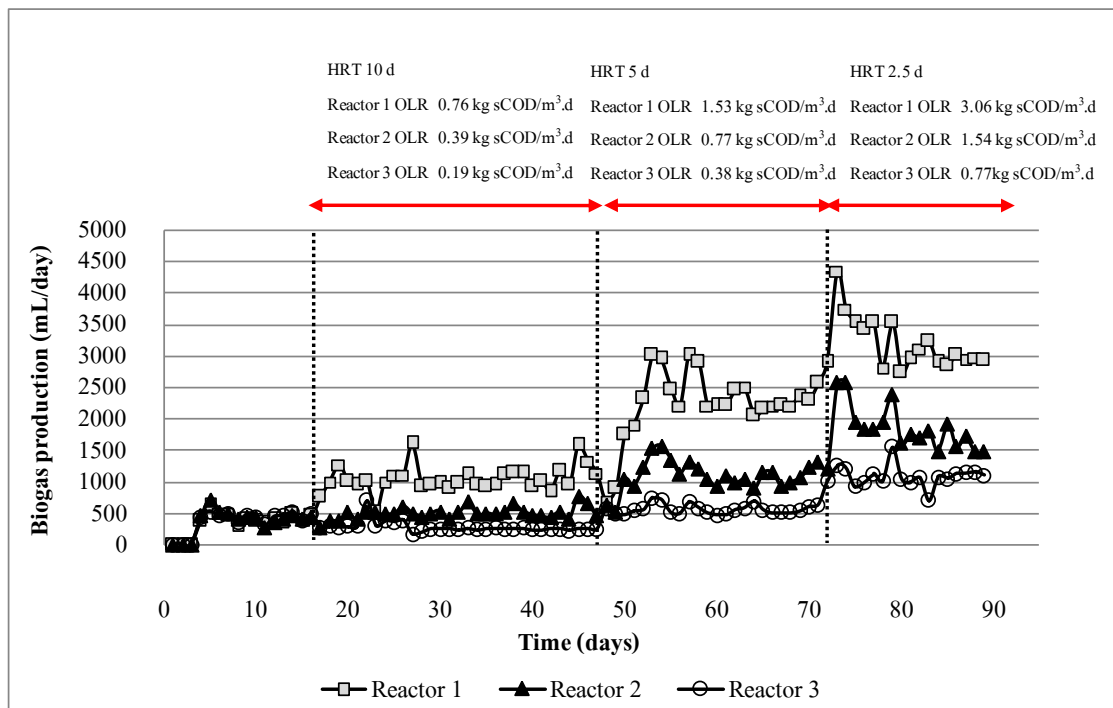
เมื่อพิจารณาค่า pH และ VFA ที่ OLR ต่างๆ ของอัตราส่วน COD : TKN เท่ากับ 50 : 1 และ 40 : 1 พบว่าเมื่อ VFA เพิ่มขึ้น ส่งผลให้ค่า pH เพิ่มขึ้น พิจารณาที่อัตราส่วน 40 : 1 ที่ค่า OLR สูงสุด ค่า VFA สูงสุด ยังเป็นค่าที่อยู่ในช่วงที่เหมาะสม จึงทำให้ระบบยังดำเนินได้อย่างปกติ แต่ที่อัตราส่วน 50 : 1 ที่ค่า OLR สูงสุด ค่า VFA สูงสุด เป็นค่าที่เกินช่วงที่เหมาะสมไปมาก จึงทำให้ระบบเกิดความล้มเหลว และอีกสาเหตุหนึ่งน่าจะมาจากปริมาณตะกอนจุลินทรีย์น้อยกว่า สารอินทรีย์ที่ป้อนเข้าสู่ระบบ ปัจจัยเหล่านี้จึงเป็นสาเหตุให้ที่อัตรา ส่วน 50 : 1 ในถึงปฏิกรณ์ที่ 1 HRT 2.5 วัน OLR 4.27 kg SCOD/m<sup>3</sup>.d เกิดความล้มเหลว ดังภาพประกอบที่ 4.20



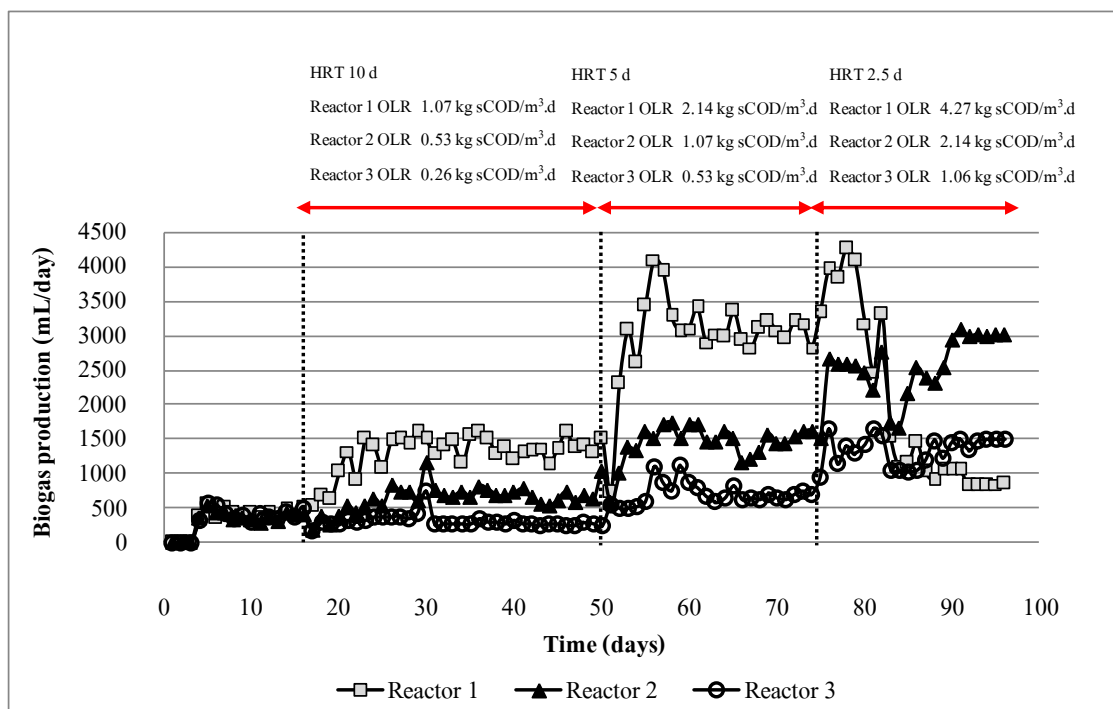
ภาพประกอบที่ 4.20 pH และ VFA ที่ OLR ต่างๆ ของอัตราส่วน COD : TKN เท่ากับ 50 : 1 และ 40 : 1

#### 4.4.11.2 อัตราการผลิตก๊าซชีวภาพและร้อยละของก๊าซมีเทน

จากผลการทดลองด้วยการหมักแบบเบทซ์ที่ได้ว่าอัตราส่วน COD:TKN เท่ากับ 50:1 เป็นอัตราส่วนที่เหมาะสม ในการหมักแบบ Semi-CSTR นอกจากการทดลองโดยใช้อัตราส่วน COD : TKN เท่ากับ 50:1 ได้ทำการทดลองโดยใช้อัตราส่วน COD:TKN เท่ากับ 40:1 จากการทดลองที่อัตราส่วน COD:TKN เท่ากับ 40:1 พบว่าที่ HRT 10 วัน OLR 0.76, 0.39 และ 0.19 kg SCOD/m<sup>3</sup>.d มีอัตราการผลิตก๊าซชีวภาพที่สภาวะคงตัวเฉลี่ยเท่ากับ 1,144 ± 245, 531 ± 243 และ 243 ± 10 ml/d/2.5 L ตามลำดับ ที่ HRT 5 วัน OLR 1.53, 0.77 และ 0.38 kg SCOD/m<sup>3</sup>.d มีอัตราการผลิตก๊าซชีวภาพที่สภาวะคงตัวเฉลี่ย เท่ากับ 2,343 ± 250, 1,091 ± 134 และ 612 ± 149 ml/d/2.5 L ตามลำดับ และที่ HRT 2.5 วัน OLR 3.06, 1.54 และ 0.77 kg SCOD/m<sup>3</sup>.d มีอัตราการผลิตก๊าซชีวภาพที่สภาวะคงตัวเฉลี่ย เท่ากับ 2,960 ± 132, 1,080 ± 132 และ 567 ± 60 ml/d/2.5 L ตามลำดับ ดังภาพประกอบที่ 4.21-4.22



ภาพประกอบที่ 4.21 อัตราการผลิตก๊าซชีวภาพในแต่ละวันที่อัตราส่วน COD:TKN เท่า 40:1



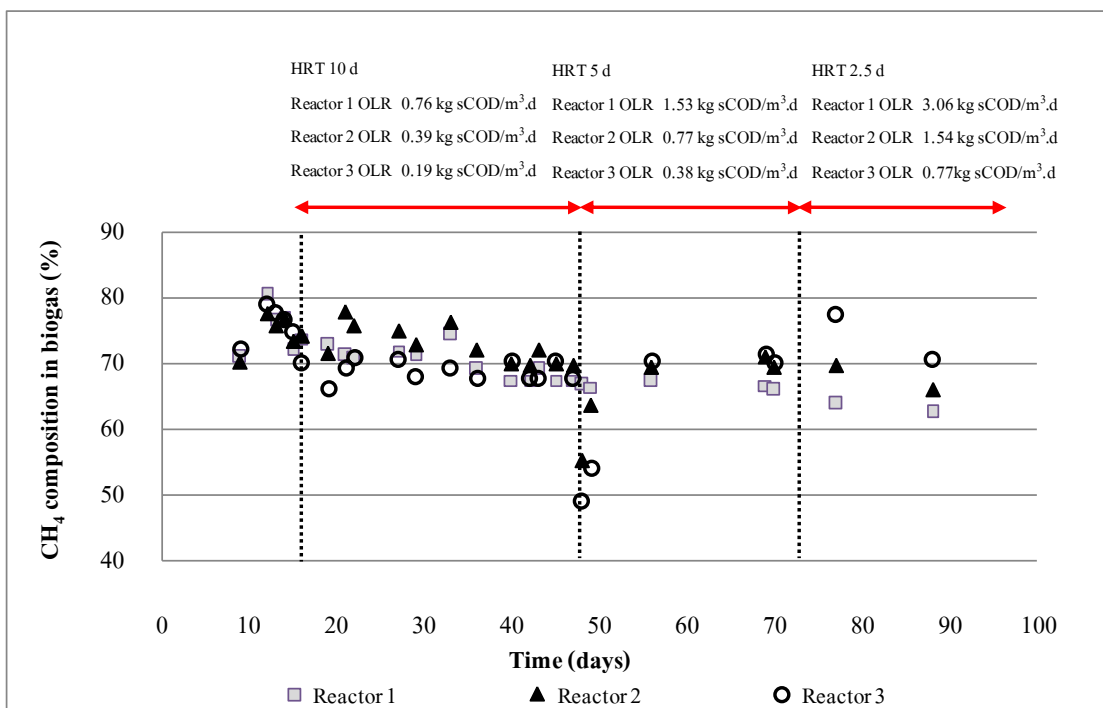
ภาพประกอบที่ 4.22 อัตราการผลิตก๊าซชีวภาพในแต่ละวันที่อัตราส่วน COD:TKN เท่า 50:1

จากผลการทดลองข้างต้น เมื่อทำการเปรียบเทียบระหว่าง อัตราส่วน COD:TKN ที่ 50:1 และ 40:1 ที่ HRT เดียวกัน พบว่าโดยภาพรวมอัตราการผลิตก๊าซชีวภาพที่สภาวะคงตัวของ

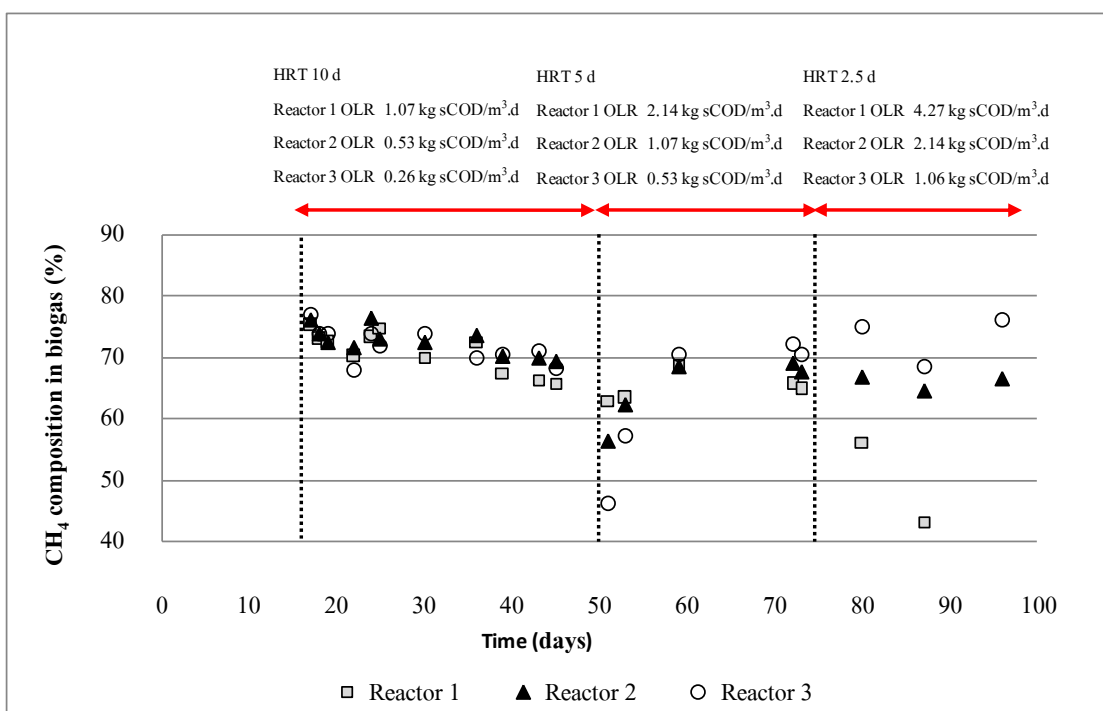
อัตราส่วน COD:TKN เท่ากับ 50:1 มีค่าสูงกว่าที่อัตราส่วน COD:TKN เท่ากับ 40:1 เนื่องจากที่อัตราส่วน COD :TKN เท่ากับ 50:1 มีปริมาณสารอินทรีย์สูงกว่าที่อัตราส่วน 40:1 ยกเว้นในถังปฏิกรณ์ที่ 1 HRT 2.5 วัน OLR 4.27 kg SCOD/m<sup>3</sup>.d ที่อัตราการผลิตก๊าซชีวภาพ ของอัตราส่วน COD:TKN เท่ากับ 50:1 ลดลงเนื่องจากปริมาณสารอินทรีย์สูงเกิน แต่สำหรับที่อัตราส่วน 40:1 OLR 3.06 kg SCOD/m<sup>3</sup>.d ระบบยังผลิตก๊าซชีวภาพได้อย่างมีประสิทธิภาพ เนื่องจากค่า OLR ยังอยู่ในช่วงที่จุลินทรีย์ยังสามารถรับได้

ที่อัตราส่วน COD:TKN เท่ากับ 40:1 พบว่าที่ HRT 10 วัน OLR 0.76, 0.39 และ 0.19 kg SCOD/m<sup>3</sup>.d มีร้อยละการผลิตก๊าซมีเทนโดยเฉลี่ยเท่ากับ  $67.93 \pm 0.96$ ,  $70.52 \pm 1.27$  และ  $68.60 \pm 1.50$  ตามลำดับ ที่ HRT 5 วัน OLR 1.53, 0.77 และ 0.38 kg SCOD/m<sup>3</sup>.d มีร้อยละการผลิตก๊าซมีเทนโดยเฉลี่ยเท่ากับ  $66.58 \pm 0.73$ ,  $69.93 \pm 0.93$  และ  $70.60 \pm 0.72$  ตามลำดับ และที่ HRT 2.5 วัน OLR 3.06, 1.54 และ 0.77 kg SCOD/m<sup>3</sup>.d มีร้อยละการผลิตก๊าซมีเทนโดยเฉลี่ยเท่ากับ  $63.15 \pm 0.98$ ,  $67.86 \pm 2.50$  และ  $73.92 \pm 4.89$  ตามลำดับ ดังภาพประกอบที่ 4.23 โดยภาพรวมร้อยละการผลิตก๊าซมีเทนที่สภาวะคงตัวของอัตราส่วน COD:TKN เท่ากับ 50:1(ภาพประกอบที่ 4.24) และ 40:1 มีค่าไม่แตกต่างกันอย่างมีนัยสำคัญ

จากผลของ อัตราการผลิตก๊าซชีวภาพที่สภาวะคงตัวของอัตราส่วน COD:TKN เท่ากับ 50:1 มีค่าสูงกว่าที่อัตราส่วน 40:1 แต่ยังไม่สามารถสรุปได้ว่าที่อัตราส่วน 50:1 เป็นอัตราส่วนที่เหมาะสมที่สุดเนื่องจากที่อัตราส่วน 50:1 มีปริมาณสารอินทรีย์สูงกว่าที่อัตราส่วน 40:1 จึงส่งผลให้ได้ ปริมาณก๊าซชีวภาพที่สูงกว่า อีกทั้งร้อยละการผลิตก๊าซมีเทนที่ก็ มีค่าใกล้เคียงกัน ดังนั้นการพิจารณาว่าอัตราส่วนใดเหมาะสมจะพิจารณาจาก ผลผลิตก๊าซชีวภาพและผลผลิตก๊าซมีเทน



ภาพประกอบที่ 4.23 ร้อยละการผลิตก๊าซมีเทนที่อัตราส่วน COD:TKN เท่ากับ 40:1



ภาพประกอบที่ 4.24 ร้อยละการผลิตก๊าซมีเทนที่อัตราส่วน COD:TKN เท่ากับ 50:1



#### 4.4.11.2 เปรียบเทียบผลผลิตก๊าซชีวภาพและ ก๊าซมีเทนในห้องปฏิบัติการกับทฤษฎี และ พารามิเตอร์สำคัญที่เกี่ยวข้องในกระบวนการหมัก

เมื่อพิจารณาเปรียบเทียบผลผลิตก๊าซชีวภาพและก๊าซมีเทนในห้องปฏิบัติการกับค่าทางทฤษฎี ผลผลิตก๊าซชีวภาพที่เกิดขึ้น  $0.5 \text{ L}_{\text{biogas}}/\text{g}_{\text{TCOD ที่ถูกบำบัดไป}}$  และผลิตก๊าซมีเทน  $0.35 \text{ L}_{\text{Methane}}/\text{g}_{\text{TCOD ที่ถูกบำบัดไป}}$  (McCarty, 1964) โดยผลการคำนวณผลผลิตก๊าซชีวภาพและก๊าซมีเทนที่สถานะคงตัวตลอดระยะเวลาการทดลองแสดงดังตารางที่ 4.4 ซึ่งสามารถคำนวณได้โดย

$$\text{ผลผลิตก๊าซชีวภาพ} \left( \frac{\text{L}_{\text{Biogas}}}{\text{g}_{\text{SCOD ที่ถูกบำบัด}}} \right) = \frac{\text{Biogas production (L/d)}}{[\text{SCOD}_{\text{inf}} - \text{SCOD}_{\text{eff}} (\text{g/L})] \times \text{Q (L/d)}}$$

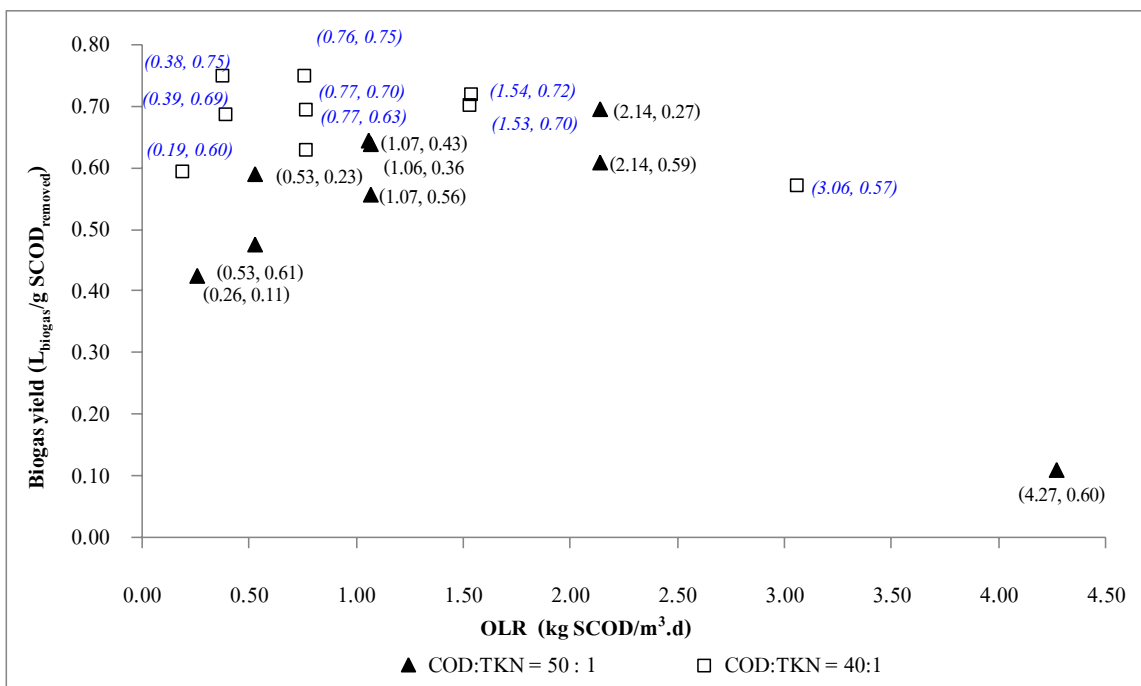
$$\text{ผลผลิตก๊าซมีเทน} \left( \frac{\text{L}_{\text{Methane}}}{\text{g}_{\text{SCOD ที่ถูกบำบัด}}} \right) = \frac{\text{Methane production (L/d)}}{[\text{SCOD}_{\text{inf}} - \text{SCOD}_{\text{eff}} (\text{g/L})] \times \text{Q (L/d)}}$$

ตาราง 4.4 พารามิเตอร์ต่าง ๆ ที่สภาวะคงตัวของน้ำทิ้งที่ออกจากระบบหมักที่ COD:TKN เท่ากับ

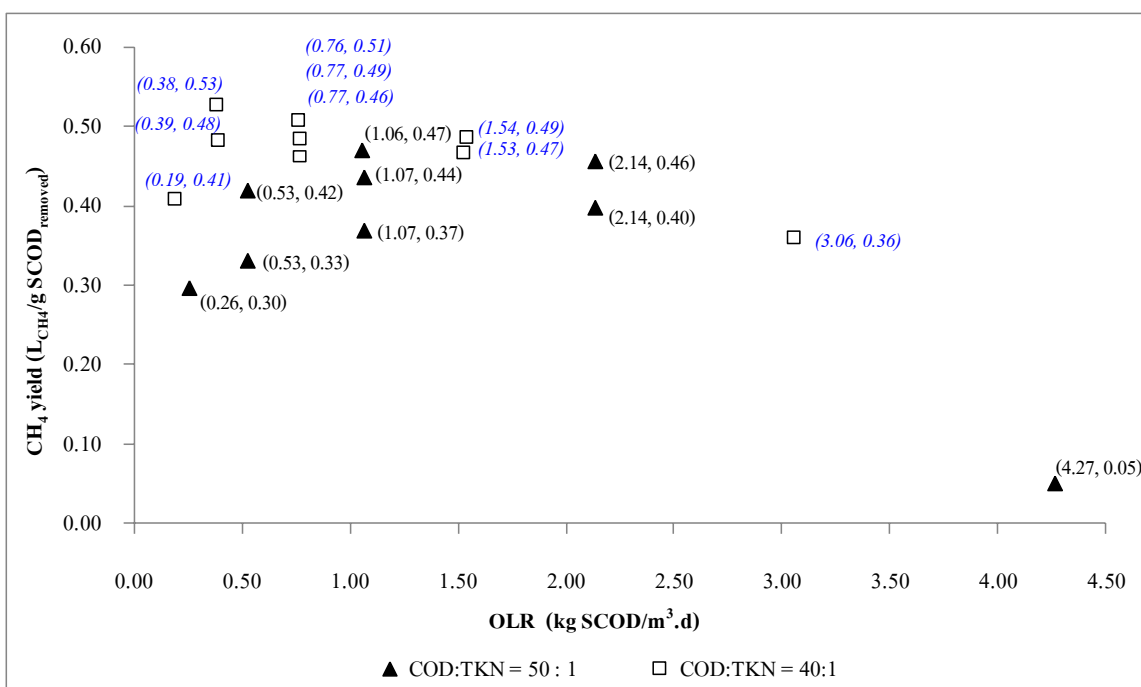
50:1

และ 40:1

| 50 : 1  |                                       |                                      |                                 |             |                                   |             |
|---------|---------------------------------------|--------------------------------------|---------------------------------|-------------|-----------------------------------|-------------|
| Reactor | OLR<br>(Kg<br>SCOD/m <sup>3</sup> .d) | Biogas yield<br>(L/gSCODremoved<br>) | Methane<br>(L/gSCODremoved<br>) | pH          | VFA<br>(mg/LCH <sub>3</sub> COOH) | VFA/Alk     |
| 1       | 1.07                                  | 0.56 ± 0.004                         | 0.37 ± 0.006                    | 6.83 ± 0.16 | 325.00 ± 22.91                    | 0.42 ± 0.02 |
|         | 2.14                                  | 0.61 ± 0.034                         | 0.40 ± 0.027                    | 6.89 ± 0.13 | 283.33 ± 125.83                   | 0.40 ± 0.18 |
|         | 4.27                                  | 0.11 ± 0.004                         | 0.05 ± 0.009                    | 5.39 ± 0.06 | 1216.67 ± 28.87                   | 4.16 ± 0.29 |
| 2       | 0.53                                  | 0.48 ± 0.020                         | 0.33 ± 0.014                    | 6.86 ± 0.17 | 275.00 ± 108.51                   | 0.39 ± 0.14 |
|         | 1.07                                  | 0.64 ± 0.047                         | 0.44 ± 0.028                    | 6.87 ± 0.16 | 283.33 ± 158.77                   | 0.38 ± 0.20 |
|         | 2.14                                  | 0.70 ± 0.017                         | 0.46 ± 0.016                    | 6.57 ± 0.11 | 310.00 ± 36.06                    | 0.54 ± 0.06 |
| 3       | 0.26                                  | 0.43 ± 0.005                         | 0.30 ± 0.009                    | 6.84 ± 0.29 | 191.67 ± 52.04                    | 0.27 ± 0.05 |
|         | 0.53                                  | 0.59 ± 0.050                         | 0.42 ± 0.032                    | 6.81 ± 0.22 | 256.67 ± 146.40                   | 0.36 ± 0.14 |
|         | 1.06                                  | 0.64 ± 0.028                         | 0.47 ± 0.032                    | 6.55 ± 0.10 | 232.67 ± 30.02                    | 0.41 ± 0.08 |
| 40 : 1  |                                       |                                      |                                 |             |                                   |             |
| 1       | 0.76                                  | 0.75 ± 0.143                         | 0.51 ± 0.093                    | 6.97 ± 0.22 | 370.00 ± 54.67                    | 0.44 ± 0.07 |
|         | 1.53                                  | 0.70 ± 0.061                         | 0.47 ± 0.036                    | 6.69 ± 0.10 | 375.00 ± 75.00                    | 0.48 ± 0.11 |
|         | 3.06                                  | 0.57 ± 0.029                         | 0.36 ± 0.023                    | 6.69 ± 0.42 | 608.33 ± 225.46                   | 1.18 ± 0.60 |
| 2       | 0.39                                  | 0.69 ± 0.199                         | 0.48 ± 0.136                    | 6.96 ± 0.15 | 446.33 ± 243.00                   | 0.58 ± 0.30 |
|         | 0.77                                  | 0.70 ± 0.170                         | 0.49 ± 0.116                    | 6.67 ± 0.08 | 400.00 ± 43.30                    | 0.74 ± 0.22 |
|         | 1.54                                  | 0.72 ± 0.031                         | 0.49 ± 0.025                    | 6.67 ± 0.57 | 483.33 ± 128.29                   | 1.17 ± 0.30 |
| 3       | 0.19                                  | 0.60 ± 0.016                         | 0.41 ± 0.017                    | 6.96 ± 0.15 | 373.67 ± 183.18                   | 0.54 ± 0.12 |
|         | 0.38                                  | 0.75 ± 0.203                         | 0.53 ± 0.139                    | 6.71 ± 0.21 | 368.67 ± 135.72                   | 0.62 ± 0.19 |
|         | 0.77                                  | 0.63 ± 0.150                         | 0.46 ± 0.093                    | 6.67 ± 0.66 | 500.00 ± 125.00                   | 1.26 ± 0.22 |



ภาพประกอบที่ 4.25 ร้อยละการผลิตก๊าซชีวภาพที่อัตราส่วน COD:TKN เท่ากับ 50:1 และ 40:1



ภาพประกอบที่ 4.26 ร้อยละการผลิตก๊าซมีเทนที่อัตราส่วน COD:TKN เท่ากับ 50:1 และ 40:1

จากตารางจะเห็นได้ว่าค่าผลได้ของการผลิตก๊าซชีวภาพและมีเทนมีค่าสูงกว่าค่า  
ทฤษฎีเนื่องจากใช้ SCOD ในการคำนวณแทน TCOD

จากภาพประกอบที่ 4.25-4.26 พบว่าเมื่อ OLR เพิ่มขึ้นผลผลิตก๊าซชีวภาพและผลผลิตก๊าซมีเทนเพิ่มขึ้นด้วย ยกเว้นที่ OLR 4.27 kg SCOD/m<sup>3</sup>.d ที่ผลผลิตก๊าซชีวภาพและผลผลิตก๊าซมีเทนลดลงเนื่องจากระบบหมักเริ่มล้มเหลว โดยมีสาเหตุมาจากปริมาณจุลินทรีย์ที่มีน้อยกว่าสารอินทรีย์ที่ป้อนเข้าสู่ระบบ ซึ่งอันที่จริงแล้วระบบหมักแบบ CSTR ควรรับ OLR ที่สูงๆ ได้ เช่น จากงานวิจัยของ Cail and Barford (1985) ที่ศึกษาระบบหมักไร้อากาศแบบ Semi-continuous ที่สถานะมีโซฟิลิก อุณหภูมิ 35 องศาเซลเซียส HRT 5.6 วันสามารถรับ OLR ได้สูงถึง 12.6 kg TCOD/m<sup>3</sup>.d

เมื่อพิจารณาเปรียบเทียบผลผลิตก๊าซชีวภาพและก๊าซมีเทนพบว่าโดยภาพรวมผลผลิตก๊าซชีวภาพและก๊าซมีเทนที่อัตราส่วน COD:TKN 40:1 สูงกว่า อัตราส่วน 50:1 โดยพบว่าที่อัตราส่วน 40:1 ผลผลิตก๊าซชีวภาพสูงสุดเท่ากับ 0.75 L<sub>biogas</sub>/g<sub>SCODremoved</sub> และก๊าซมีเทน 0.53 L<sub>CH<sub>4</sub></sub>/g<sub>SCODremoved</sub> ที่ OLR เท่ากับ 0.38 kg SCOD/m<sup>3</sup>.d และนำไปคำนวณด้านเศรษฐศาสตร์ต่อไป

#### 4.4.12 ผลการคำนวณด้านเศรษฐศาสตร์

จากผลการทดลองข้างต้นสามารถสรุปสถานะการทดลองได้ว่าอัตราส่วน COD:TKN ที่เหมาะสม คือ 40:1 ที่ OLR เท่ากับ 0.38 kg SCOD/m<sup>3</sup>.d HRT เท่ากับ 5 วัน อัตราการป้อนสารอินทรีย์เข้าสู่ระบบเท่ากับ 0.50 ลิตร/วัน สามารถผลิตก๊าซชีวภาพได้สูงสุดที่ 0.562 ± 0.070 ลิตร/วัน และผลผลิตก๊าซชีวภาพเท่ากับ 0.75 L<sub>biogas</sub>/g<sub>SCODremoved</sub> และผลิตก๊าซมีเทนเท่ากับ 0.53 kg SCOD/m<sup>3</sup>.d ข้อมูลที่ได้จากการทดลองในห้องปฏิบัติการนี้จะนำไปคำนวณในระบบหมักที่ใหญ่ขึ้นเป็น 8 ลูกบาศก์เมตร อัตราการป้อนสารต่อวันเท่ากับ 0.8 ลูกบาศก์เมตร/วัน โดยต้นทุนรวมทั้งหมดคิดเป็น 64,887.45 บาทต่อปี ดังตารางที่ 4.5 และมีอัตราการผลิตก๊าซชีวภาพ 539.52 ลูกบาศก์เมตร/ปี

ตาราง 4.5 ต้นทุนการผลิตก๊าซชีวภาพต่อปีในระบบหมัก 8 ลูกบาศก์เมตร

| ต้นทุน               | บาท/ปี    |
|----------------------|-----------|
| การแยกเกลือโซรอล     | 1,840.50  |
| ค่าน้ำประปา          | 8,160     |
| ค่าไฟฟ้า             | 2,086.95  |
| ค่าแรง (176 บาท/วัน) | 52,800    |
| ต้นทุนรวม            | 64,887.45 |

### อัตราการผลิตก๊าซชีวภาพต่อปี

ถังหมักขนาด 0.0025 ลูกบาศก์เมตร ผลิตก๊าซชีวภาพได้ 0.000562 ลูกบาศก์เมตร/วัน

ถังหมักขนาด 8 ลูกบาศก์เมตร จะผลิตก๊าซชีวภาพได้

$$= \frac{(0.000562 \text{ ลูกบาศก์เมตร/วัน}) \times (8 \text{ ลูกบาศก์เมตร})}{(0.0025 \text{ ลูกบาศก์เมตร})}$$

$$= 1.7981 \text{ ลูกบาศก์เมตร/วัน}$$

$$= 539.52 \text{ ลูกบาศก์เมตร/ปี}$$

แก๊สชีวภาพจำนวน 1 ลูกบาศก์เมตรสามารถนำไปใช้ได้ ผลิตกระแสไฟฟ้า 1.25 กิโลวัตต์

แก๊สชีวภาพจำนวน 539.52 ลูกบาศก์เมตรสามารถนำไปใช้ได้ ผลิตกระแสไฟฟ้า

$$= 539.52 \times 1.25$$

$$= 674.4 \text{ กิโลวัตต์/ปี}$$

$$= (674.4 \text{ กิโลวัตต์/ปี}) \times (2.98 \text{ บาท/กิโลวัตต์})$$

$$= 2009.71 \text{ บาท/ปี}$$

จากการคำนวณต้นทุนการผลิตเปรียบเทียบกับรายได้จากการนำก๊าซชีวภาพไปผลิตเป็นพลังงานไฟฟ้า พบว่าต้นทุนยังมีค่าสูงกว่ารายได้ แต่ถ้าคิดว่ากระบวนการสามารถบำบัดน้ำเสียและมีก๊าซชีวภาพเป็นผลพลอยได้ ก็จะทำให้กระบวนการมีความคุ้มค่ามากขึ้น นอกจากนี้ข้อมูลที่ใช้ในการคำนวณ ยังเป็นการผลิตใน ขนาดเล็ก จึงทำให้มีค่าใช้จ่ายที่สูง ทั้งในส่วนของค่าไฟฟ้าที่คิดจากกำลังขับของมอเตอร์ในการกวน ที่อาจไม่ได้ทำงานเต็มกำลัง และค่าแรงงานที่แรงงานยังสามารถทำงานส่วนอื่นๆ ได้อีก ถ้าทำการขยายขนาดการผลิตจะทำให้ค่าใช้จ่ายทั้งสองส่วนนี้ลดต่ำลง และในการนำก๊าซชีวภาพไปผลิตพลังงานไฟฟ้า ในการเผาไหม้เรายังได้พลังงานความร้อนซึ่งสามารถใช้ประโยชน์ได้ ที่ควรคิดเป็นผลตอบแทนได้เช่นกัน

## บทที่ 5

### บทสรุปและข้อเสนอแนะ

#### 5.1 การแยกชั้นสารอินทรีย์ออกจากกลีเซอรอลดิบ

จากวิธีการแยกชั้นสารอินทรีย์ออกจากกลีเซอรอลดิบ 3 วิธี คือ 1) การใช้สารละลายกรดซัลฟิวริก 6% 2) การใช้สารละลายกรดซัลฟิวริก 30% 3) การใช้ Cation Polyamine 6% ผสมกับ Poly- $AlCl_3$  94% พบว่าการใช้สารละลายกรดซัลฟิวริก 6% เป็นวิธีการที่เหมาะสมที่สุดคือ มีร้อยละการได้คืนของกลีเซอรอลเท่ากับ 26 ระยะเวลาที่ใช้ในการแยก 1 คืน และค่าใช้จ่ายสารเคมี (Lab grade) เท่ากับ 13.24 บาท/ กิโลกรัมกลีเซอรอล และสำหรับการนำไปใช้งานจริงจะใช้กรดซัลฟิวริกที่เป็น Commercial grade ซึ่งค่าใช้จ่าย จะลดลงเหลือเพียง 2.08 บาท/กิโลกรัมกลีเซอรอล

#### 5.2 การหมักแบบแบทช์

การหมักแบบแบทช์ใช้ในการศึกษาผลของการใช้กลีเซอรอล ที่แยกคืนได้เป็นวัตถุดิบของการหมัก ซึ่งพบว่าการใช้กลีเซอรอลผสมกับ มูลสุกรและตะกอนจุลินทรีย์ให้ทั้งปริมาณก๊าซชีวภาพและคุณภาพ (ส่วนประกอบมีเทน) สูงที่สุด การใช้กลีเซอรอลผสมตะกอนจุลินทรีย์ให้ทั้งปริมาณและคุณภาพก๊าซชีวภาพรองลงมา โดยปริมาณก๊าซมีเทนสูงกว่าการใช้ มูลสุกรร่วมกับหัวเชื้อจุลินทรีย์ มูลสุกรเพียงอย่างเดียว และหัวเชื้อจุลินทรีย์เพียงอย่างเดียวมาก จากผลการทดลองนี้จึงมั่นใจได้ว่า กลีเซอรอลเป็นสารที่ช่วยให้กระบวนการหมักเกิดได้ดีขึ้น

นอกจากนี้การหมักแบบแบทช์ยังถูกใช้ในการศึกษาสัดส่วนระหว่างกลีเซอรอลและมูลสุกรที่เหมาะสมโดยนำเสนอในเทอมของอัตราส่วน COD:TKN ซึ่งพบว่าอัตราส่วน COD:TKN 50:1 เป็นอัตราส่วนที่เหมาะสมที่สุด โดยมีอัตราการผลิตก๊าซชีวภาพสูงสุดเท่ากับ 446 มิลลิลิตร/วัน และอัตราการผลิตก๊าซชีวภาพสะสมตลอดการทดลองเท่ากับ 1,062 มิลลิลิตร

#### 5.3 การหมักแบบ Semi-CSTR

1) สภาพแวดล้อมในการทำงานของระบบตลอดการทดลอง พบว่า อุณหภูมิห้องอยู่ในช่วง 30-36 องศาเซลเซียส ซึ่งเป็นช่วงที่เหมาะสมต่อการทำงานของแบคทีเรียมีโซฟิลิกจึงไม่ได้มีการปรับอุณหภูมิ ค่าพีเอช และสภาพต่าง เมื่อใช้ โซเดียมไฮดรอกไซด์เป็นสารปรับพี เอช จะ

ยังมีค่าที่ไม่เหมาะสม เมื่อเปลี่ยนมาใช้โซเดียมไบคาร์บอเนตทำให้มีค่าพีเอชและสภาพต่างที่เหมาะสม ยกเว้นในถึงปฏิกรณ์ที่ 1 HRT 2.5 วัน OLR 4.27 kg SCOD/m<sup>3</sup>.d ที่ค่าพีเอชลดลงจนถึง 5.33 และสภาพต่างลดต่ำลงมาอยู่ที่ 270 mg/l CaCO<sub>3</sub> ปริมาณกรดระเหยง่ายและอัตราส่วนของกรดระเหยง่ายต่อสภาพต่างอยู่ในช่วงที่เหมาะสม ยกเว้นในถึงปฏิกรณ์ที่ 1 HRT 2.5 วัน OLR 4.27 kg SCOD/m<sup>3</sup>.d ที่ปริมาณกรดระเหยง่ายเพิ่มสูงขึ้นเท่ากับ 1,250 mg/l CH<sub>3</sub>COOH และ อัตราส่วนของกรดระเหยง่ายต่อสภาพต่างเท่ากับ 0.75 ซึ่งไม่เหมาะสมกับระบบนี้ ทั้งนี้ เนื่องจากค่า OLR ที่สูงเกินไป

2) ที่อัตราภาระบรรทุกสารอินทรีย์ เท่ากับ 0.26-2.14 kg SCOD/m<sup>3</sup>.d พบว่าระบบมีประสิทธิภาพในการบำบัดสารอินทรีย์เฉลี่ยร้อยละ 82.14-92.45 แต่ที่ OLR 4.27 kg SCOD/m<sup>3</sup>.d พบว่าระบบมีประสิทธิภาพในการบำบัดสารอินทรีย์ในรูป SCOD เฉลี่ยร้อยละ 75.76

3) ระบบสามารถผลิตก๊าซชีวภาพได้สูงขึ้นเมื่อ OLR เพิ่มขึ้น โดยมีอัตราการผลิตก๊าซชีวภาพต่อปริมาตรถังเฉลี่ย 0.102-1.200 ลิตร/ลิตร/วัน โดย OLR ที่ให้ปริมาตรเฉลี่ยสูงสุด คือ 2.14 kg SCOD/m<sup>3</sup>.d

4) อัตราส่วน COD:TKN 50:1 ให้อัตราการผลิตก๊าซชีวภาพที่สูงกว่า อัตราส่วน 40:1 โดยคุณภาพของก๊าซชีวภาพไม่แตกต่างกันอย่างมีนัยสำคัญ เนื่องจากมีปริมาณสารอินทรีย์ในระบบมากกว่า แต่เมื่อพิจารณาผลผลิตก๊าซชีวภาพพบว่าอัตราส่วน 40:1 ให้ผลิตต่อกรัม COD สูงกว่า โดยผลผลิตก๊าซชีวภาพสูงสุดเท่ากับ 0.75 L<sub>biogas</sub>/g<sub>SCODremoved</sub> และผลผลิต ก๊าซมีเทน 0.53 L<sub>CH<sub>4</sub></sub>/g<sub>SCODremoved</sub> ที่ OLR เท่ากับ 0.38kg SCOD/m<sup>3</sup>.d ดังนั้นจึงสรุปได้ว่าอัตราส่วน 40:1 จึงเป็นอัตราส่วนที่เหมาะสม

## 5.4 บทสรุป

เราสามารถนำกลีเซอรอลดิบที่เป็นผลพลอยได้จากการผลิตไบโอดีเซลมาเพิ่มมูลค่าโดยการนำมาผ่านกระบวนการแยกสารอินทรีย์ด้วยวิธีการที่มีค่าใช้จ่ายไม่สูงนัก และนำกลีเซอรอลที่แยกได้มาผลิตเป็นก๊าซชีวภาพโดยการหมักร่วมกับมูลสุกรและตะกอนจุลินทรีย์เม็ด ถึงแม้ว่าปริมาณ กลีเซอรอลดิบที่นำมาใช้นั้นจะมีปริมาณไม่มากนัก คือ ใช้กลีเซอรอลดิบที่แยกชั้นแล้วสูงสุด 25 กรัมต่อปริมาตรใช้งาน 2.5 ลิตร ถ้ามองในมุมของการลดปริมาณกลีเซอรอลดิบที่สะสมในกระบวนการผลิตไบโอดีเซลอาจจะยังไม่ได้แก้ปัญหาตรงนี้มากนัก แต่ถ้าขยายขนาดกระบวนการหมักก็จะทำให้มีการใช้กลีเซอรอลดิบมากขึ้น และเมื่อมองในมุมของการพัฒนากระบวนการผลิตก๊าซชีวภาพแล้ว จากผลการทดลองพบว่าการเติมกลีเซอรอลช่วยเพิ่มประสิทธิภาพ

ในการผลิตก๊าซชีวภาพได้เป็นอย่างดี อีกทั้งยังพบว่าร้อยละการผลิตก๊าซมีเทนอยู่ในเกณฑ์ที่ดี สามารถนำไปใช้เป็นก๊าซเชื้อเพลิงในฟาร์มสุกรได้ต่อไป

#### 5.5 ข้อเสนอแนะ

1) ควรศึกษาเพิ่มเติมด้วยการปรับอัตราส่วนของ COD:TKN ให้สูงขึ้นสำหรับการหมักแบบ Semi-CSTR เพื่อให้มีการใช้กลีเซอรอลมากขึ้น

2) ควรศึกษาเพิ่มเติมในระบบที่มีขนาดใหญ่ขึ้น และมีระบบนำตะกอนจุลินทรีย์ไปนอนกลับใหม่ ซึ่งจะทำให้ระบบมีความเสถียรมากยิ่งขึ้นและสามารถรองรับภาระบรรทุกสารอินทรีย์ได้เพิ่มขึ้น

3) ศึกษาเพิ่มเติมการนำก๊าซชีวภาพที่ผลิตได้ไปประยุกต์ ใช้กับ ฟาร์มเลี้ยงสุกร รวมทั้งการศึกษาค้นคว้าทางเศรษฐศาสตร์ควบคู่กัน ไปด้วยเมื่อเปรียบเทียบกับแหล่งพลังงานเชื้อเพลิงอื่น



## บรรณานุกรม

เกรียงศักดิ์ อุดมสินโรจน์. 2543. วิศวกรรมกรรมการกำจัดน้ำเสีย เล่ม 4. ภาควิชาวิศวกรรมสิ่งแวดล้อม มหาวิทยาลัยรังสิต.

ธนาวัฒน์ รั๊กมถ. 2549. ประสิทธิภาพของระบบบำบัดเอเอสบีอาร์ แบบเทอร์โมฟิลิกและมีโซฟิลิกในการบำบัดน้ำเสียโรงงานสกัดน้ำมันปาล์ม. วิทยานิพนธ์วิทยาศาสตรมหาบัณฑิต, คณะการจัดการสิ่งแวดล้อม, มหาวิทยาลัยสงขลานครินทร์

มารศรี เรืองจิตชัชวาล. 2541. “ก๊าซชีวภาพ” วารสารพลังงาน. 8(43) : 39-44.

Andrew, J.F. 1976. “Control strategies for anaerobic digestion process : part II.” , Water and Sewage Works. 122 : 74-86.

Asakuma, Y., Maeda, K., Kuramochi, H. and Fukui, K. 2008. Theoretical study of the transesterification of triglycerides to biodiesel fuel. *Fuel* 88 (2009):786–791.

Braun, R., Drosch, B., Bochmann, G., Weißen, S. and Kirchmayr, R. 2010. Recent Developments in Bio-Energy Recovery Through Fermentation. In *Microbes at Work: From Wastes to Resources*, First Edition. Springer.

Cail, R.G. and Barford, J.P. 1985. Mesophilic semi-continuous anaerobic digestion of palm oil mill effluent. *Biomass*. 7(4) : 287-295

- Clacens, J.M., Pouilloux, Y. and Barrault, J. 2002. Selective etherification of glycerol to polyglycerols over impregnated basic MCM-41 type mesoporous catalysts. *Applied Catalysis A: General* 227(1-2):181-190.
- Dasari, M.A., Kiatsimkul, P., Sutterlin, W.R. and Suppes, G.J. 2005. Low-pressure hydrogenolysis of glycerol to propylene glycol. *Applied Catalysis A: General* 281 (2005): 225–231.
- Dasari.M. 2007. Crude glycerol potential described. *Feedstuffs reprint with permission*. vol.79, no.43 (October). <http://www.feedenergy.com/MDasariFS2007>. [5]  
<http://en.wikipedia.org/wiki/Glycerol> htm (accessed March 21, 2009)
- Deublein, D. and Steinhauser, A. 2008. *Biogas from waste and renewable resources*. An introduction. Germany
- Forday, W. and Greenfield, P. F. 1982. The role of anaerobic digestion in wastewater treatment in anaerobic digestion-recent development in technology and control (Hallbert E.ed.). Department of Chemical Engineering. The university of Sydney. pp. 1-25.
- Fountoulakis, M.S. and Manios, T. 2009. Enhanced methane and hydrogen production from municipal solid waste and agro-industrial by-products co-digested with crude glycerol. *Bioresource Technology* 100 (2009) 3043-3047.
- Gray, N.F.1981. *Biological of Wastewater Treatment*. New York: Oxford Science Publication
- Haas, M. J., McAloon, A. J., Yee W.C. and Foglia, T. A. 2006. A Process Model to Estimate Biodiesel Production Costs, *Bioresource Technology*, 97: 671-678.

Hach Company. 2007. Karl Fischer Volumetric Titration Theory and practice.

[http://hachlange.ma/country/action\\_q/download%3Bdocument/DOK\\_ID/14788120/type/pdf/lkz/MA/spkz/fr/TOKEN/3o3EQxUOZZG\\_qY\\_FR0uNyrBOSzk/M\\_lxw](http://hachlange.ma/country/action_q/download%3Bdocument/DOK_ID/14788120/type/pdf/lkz/MA/spkz/fr/TOKEN/3o3EQxUOZZG_qY_FR0uNyrBOSzk/M_lxw)

Halbert, E.J. 1981. Process operation and monitoring; C. poison and inhibitors. Proceeding of the 1<sup>st</sup> ASEAN Seminar Workshop on Biogas Technology, ASEAN Committee on Science and Technology Manila, Philippines. 369-385.

Hautfenn, A. 1980. International Union of Pure and Applied Chemistry, pp. 1939-1954. Britain: Pergamon Press Ltd.

López, J.A.S., Santos, M.D.L.A.M., Pérez, A.F.C. and Martín, A.M. 2009. Anaerobic digestion of glycerol derived from biodiesel manufacturing. *Bioresource Technology* 100 (2009):5609–5615.

Ma, J., Wambeke, M. V., Carballa, M. and W. Verstraete. 2008. Improvement of the anaerobic digestion of potato processing wastewater in a UASB reactor by co-digestion with glycerol. *Biotechnology Lett* 30: 861-867.

Metcalf & Eddy, Inc. 1982. “Wastewater Engineering Treatment, Disposal, Reuse” McGraw-Hill, Inc. New York.

Pagliaro, M., Ciriminna, R., Kimura, H., Rossi, M. and Pina, C.D. 2007. From Glycerol to Value-Added Products. *Inter Science* 46 (2007): 4434-4440.

Stumbe, J.F. and Bruchmann, B. 2004. Hyperbranched polyesters based on adipic acid and glycerol. *Macromolecular Rapid Communications* 25(9): 921-924.

- Wohlgemut, O. 2008. Co-Digestion of Hog Manure with Glycerol to Boost Biogas and Methane Production. Master of Science, Department of Civil Engineering, University of Manitoba.
- X. Qiau-guang, "Waste Glycerol Treatment from Bio-diesel Production Process", Proc. of UB-UNS Inter. Conf. on Eng. and Envir. 2005 :ICEE Ubonratchathanee University and Chemical Society of Thailand, January 21-23, 2009.
- Yang, Y., Tsukahara, K. and Sawayama, S. 2008. Biodegradation and methane production from glycerol-containing synthetic waste with fixed-bed bioreactor under mesophilic and thermophilic anaerobic conditions. *Process Biochemistry* 43 (2008):362–367.
- Zickefoose, C. and Hayes, R. B. J. 1976. "Operation Manual-Anaerobic Sludge Digestion", Publication # EPA 430/9-76-001, Office of Water Program Operation, U.S. Env. Protection Agency. Washington, D.C., Frb.
- [www.pyo.nu.ac.th/ene/data/307331/0%20Anaerobic%20digestion.pfd](http://www.pyo.nu.ac.th/ene/data/307331/0%20Anaerobic%20digestion.pfd): 21 March 2009

## ภาคผนวก

ภาคผนวก ก ผลการวิเคราะห์ทางเคมีของน้ำเสียที่ป้อนและน้ำทิ้งที่ออกจากระบบหมักแบบ Semi-CSTR

ตาราง ก-1 การวิเคราะห์คุณภาพน้ำทิ้งจากระบบและก๊าซชีวภาพที่ได้จากระบบการหมักแบบ Semi-CSTR

| วันที่ทดลอง | ถังปฏิกรณ์ | HRT (day) | Q (L/d) | OLR kg SCOD/m <sup>3</sup> .d | Temp. (°C) | pH   | Akl. (mg/L CaCO <sub>3</sub> ) | VFA (mg/L CH <sub>3</sub> COOH) | VFA : Akl | SCOD <sub>IN</sub> (mg/L) | SCOD <sub>OUT</sub> (mg/L) | SCOD removal (%) | Biogas (ml/d) | Methane (%) |
|-------------|------------|-----------|---------|-------------------------------|------------|------|--------------------------------|---------------------------------|-----------|---------------------------|----------------------------|------------------|---------------|-------------|
| 1-16        | 1          | 50        | 50      | 0.11                          |            |      |                                |                                 |           |                           |                            |                  |               |             |
|             | 2          | 50        | 50      | 0.11                          |            |      |                                |                                 |           |                           |                            |                  |               |             |
|             | 3          | 50        | 50      | 0.11                          |            |      |                                |                                 |           |                           |                            |                  |               |             |
| 17          | 1          | 10        | 250     | 1.07                          | 33         | 7.04 | -                              | -                               | -         | 10,679                    | -                          | -                | 520           | 75.17       |
|             | 2          | 10        | 250     | 0.53                          | 34         | 6.87 | -                              | -                               | -         | 5,339                     | -                          | -                | 190           | 75.99       |
|             | 3          | 10        | 250     | 0.26                          | 33         | 6.93 | -                              | -                               | -         | 2,645                     | -                          | -                | 170           | 75.88       |
| 18          | 1          | 10        | 250     | 1.07                          | 32         | 7.22 | 847                            | 125                             | 0.15      | 10,679                    | 1100                       | 89.70            | 670           | 77.82       |
|             | 2          | 10        | 250     | 0.53                          | 33         | 7.28 | 855                            | 138                             | 0.16      | 5,339                     | 980                        | 81.64            | 380           | 73.89       |
|             | 3          | 10        | 250     | 0.26                          | 34         | 7.18 | 861                            | 166                             | 0.19      | 2,645                     | 750                        | 71.64            | 300           | 73.79       |
| 19          | 1          | 10        | 250     | 1.07                          | 32         | 7.07 | -                              | -                               | -         | 10,679                    | -                          | -                | 630           | 72.22       |
|             | 2          | 10        | 250     | 0.53                          | 31         | 7.07 | -                              | -                               | -         | 5,339                     | -                          | -                | 260           | 72.38       |
|             | 3          | 10        | 250     | 0.26                          | 33         | 7.00 | -                              | -                               | -         | 2,645                     | -                          | -                | 270           | 73.89       |
| 20          | 1          | 10        | 250     | 1.07                          | 30         | 6.72 | 875                            | 250                             | 0.29      | 10,679                    | 1250                       | 88.29            | 1030          | -           |
|             | 2          | 10        | 250     | 0.53                          | 32         | 6.98 | 870                            | 270                             | 0.31      | 5,339                     | 950                        | 82.21            | 370           | -           |
|             | 3          | 10        | 250     | 0.26                          | 31         | 6.82 | 855                            | 310                             | 0.36      | 2,645                     | 690                        | 73.91            | 260           | -           |
| 21          | 1          | 10        | 250     | 1.07                          | 33         | 6.61 | -                              | -                               | -         | 10,679                    | -                          | -                | 1315          | -           |
|             | 2          | 10        | 250     | 0.53                          | 32         | 6.59 | -                              | -                               | -         | 5,339                     | -                          | -                | 530           | -           |
|             | 3          | 10        | 250     | 0.26                          | 32         | 6.56 | -                              | -                               | -         | 2,645                     | -                          | -                | 320           | -           |

Start-up

ตาราง ก-1 (ต่อ)

| วันที่ทดลอง | ตั้งปฏิกรณ์ | HRT (day) | Q (L/d) | OLR kg SCOD/m <sup>3</sup> .d | Temp. (°C) | pH   | Akl. (mg/L CaCO <sub>3</sub> ) | VFA (mg/L CH <sub>3</sub> COOH) | VFA : Akl | SCOD <sub>IN</sub> (mg/L) | SCOD <sub>OUT</sub> (mg/L) | SCOD removal (%) | Biogas (ml/d) | Methane (%) |
|-------------|-------------|-----------|---------|-------------------------------|------------|------|--------------------------------|---------------------------------|-----------|---------------------------|----------------------------|------------------|---------------|-------------|
| 22          | 1           | 10        | 250     | 1.07                          | 30         | 6.59 | 885                            | 297                             | 0.34      | 10,679                    | 950                        | 91.10            | 900           | 70.00       |
|             | 2           | 10        | 250     | 0.53                          | 31         | 6.57 | 781                            | 167                             | 0.21      | 5,339                     | 890                        | 83.33            | 430           | 71.50       |
|             | 3           | 10        | 250     | 0.26                          | 31         | 6.51 | 677                            | 319                             | 0.58      | 2,645                     | 720                        | 72.78            | 290           | 67.84       |
| 23          | 1           | 10        | 250     | 1.07                          | 32         | 6.49 | -                              | -                               | -         | 10,679                    | -                          | -                | 1500          | -           |
|             | 2           | 10        | 250     | 0.53                          | 33         | 6.46 | -                              | -                               | -         | 5,339                     | -                          | -                | 530           | -           |
|             | 3           | 10        | 250     | 0.26                          | 32         | 6.74 | -                              | -                               | -         | 2,645                     | -                          | -                | 325           | -           |
| 24          | 1           | 10        | 250     | 1.07                          | 31         | 6.78 | 807                            | 167                             | 0.21      | 10,679                    | 850                        | 92.04            | 1405          | 73.13       |
|             | 2           | 10        | 250     | 0.53                          | 30         | 6.72 | 781                            | 146                             | 0.19      | 5,339                     | 820                        | 84.64            | 630           | 76.33       |
|             | 3           | 10        | 250     | 0.26                          | 30         | 6.74 | 677                            | 156                             | 0.23      | 2,645                     | 500                        | 81.10            | 360           | 73.81       |
| 25          | 1           | 10        | 250     | 1.07                          | 32         | 6.79 | -                              | -                               | -         | 10,679                    | -                          | -                | 1070          | 74.67       |
|             | 2           | 10        | 250     | 0.53                          | 31         | 6.82 | -                              | -                               | -         | 5,339                     | -                          | -                | 540           | 72.89       |
|             | 3           | 10        | 250     | 0.26                          | 32         | 6.83 | -                              | -                               | -         | 2,645                     | -                          | -                | 370           | 71.78       |
| 26          | 1           | 10        | 250     | 1.07                          | 31         | 6.71 | 703                            | 151                             | 0.21      | 10,679                    | 960                        | 91.01            | 1480          | -           |
|             | 2           | 10        | 250     | 0.53                          | 30         | 6.66 | 678                            | 136                             | 0.20      | 5,339                     | 781                        | 85.37            | 830           | -           |
|             | 3           | 10        | 250     | 0.26                          | 31         | 6.72 | 552                            | 151                             | 0.27      | 2,645                     | 520                        | 80.34            | 370           | -           |
| 27          | 1           | 10        | 250     | 1.07                          | 33         | 6.58 | -                              | -                               | -         | 10,679                    | -                          | -                | 1500          | -           |
|             | 2           | 10        | 250     | 0.53                          | 32         | 6.58 | -                              | -                               | -         | 5,339                     | -                          | -                | 735           | -           |
|             | 3           | 10        | 250     | 0.26                          | 32         | 6.64 | -                              | -                               | -         | 2,645                     | -                          | -                | 380           | -           |

ตาราง ก-1 (ต่อ)

| วันที่ทดลอง | ตั้งปฏิกรณ์ | HRT (day) | Q (L/d) | OLR kg SCOD/m <sup>3</sup> .d | Temp. (°C) | pH   | Akl. (mg/L CaCO <sub>3</sub> ) | VFA (mg/L CH <sub>3</sub> COOH) | VFA : Akl | SCOD <sub>IN</sub> (mg/L) | SCOD <sub>OUT</sub> (mg/L) | SCOD removal (%) | Biogas (ml/d) | Methane (%) |
|-------------|-------------|-----------|---------|-------------------------------|------------|------|--------------------------------|---------------------------------|-----------|---------------------------|----------------------------|------------------|---------------|-------------|
| 28          | 1           | 10        | 250     | 1.07                          | 32         | 6.55 | 710                            | 162                             | 0.23      | 10,679                    | 920                        | 91.38            | 1420          | -           |
|             | 2           | 10        | 250     | 0.53                          | 32         | 6.54 | 670                            | 129                             | 0.19      | 5,339                     | 769                        | 85.60            | 735           | -           |
|             | 3           | 10        | 250     | 0.26                          | 31         | 6.63 | 571                            | 135                             | 0.24      | 2,645                     | 510                        | 80.72            | 350           | -           |
| 29          | 1           | 10        | 250     | 1.07                          | 32         | 6.51 | -                              | -                               | -         | 10,679                    | -                          | -                | 1610          | -           |
|             | 2           | 10        | 250     | 0.53                          | 33         | 6.50 | -                              | -                               | -         | 5,339                     | -                          | -                | 605           | -           |
|             | 3           | 10        | 250     | 0.26                          | 33         | 6.60 | -                              | -                               | -         | 2,645                     | -                          | -                | 430           | -           |
| 30          | 1           | 10        | 250     | 1.07                          | 31         | 6.55 | 722                            | 111                             | 0.15      | 10,679                    | 916                        | 91.45            | 1500          | 69.88       |
|             | 2           | 10        | 250     | 0.53                          | 30         | 6.47 | 667                            | 111                             | 0.17      | 5,339                     | 721                        | 86.50            | 1150          | 72.21       |
|             | 3           | 10        | 250     | 0.26                          | 31         | 6.55 | 583                            | 111                             | 0.19      | 2,645                     | 480                        | 81.85            | 750           | 73.73       |
| 31          | 1           | 10        | 250     | 1.07                          | 32         | 7.31 | -                              | -                               | -         | 10,679                    | -                          | -                | 1270          | -           |
|             | 2           | 10        | 250     | 0.53                          | 32         | 7.15 | -                              | -                               | -         | 5,339                     | -                          | -                | 760           | -           |
|             | 3           | 10        | 250     | 0.26                          | 31         | 7.18 | -                              | -                               | -         | 2,645                     | -                          | -                | 255           | -           |
| 32          | 1           | 10        | 250     | 1.07                          | 32         | 6.92 | 714                            | 149                             | 0.21      | 10,679                    | 838                        | 92.15            | 1410          | -           |
|             | 2           | 10        | 250     | 0.53                          | 32         | 6.72 | 639                            | 139                             | 0.21      | 5,339                     | 609                        | 88.59            | 690           | -           |
|             | 3           | 10        | 250     | 0.26                          | 31         | 6.76 | 555                            | 139                             | 0.31      | 2,645                     | 545                        | 79.40            | 260           | -           |
| 33          | 1           | 10        | 250     | 1.07                          | 30         | 6.62 | -                              | -                               | -         | 10,679                    | -                          | -                | 1485          | -           |
|             | 2           | 10        | 250     | 0.53                          | 31         | 6.62 | -                              | -                               | -         | 5,339                     | -                          | -                | 660           | -           |
|             | 3           | 10        | 250     | 0.26                          | 32         | 6.76 | -                              | -                               | -         | 2,645                     | -                          | -                | 260           | -           |



ตาราง ก-1 (ต่อ)

| วันที่ทดลอง | ตั้งปฏิกรณ์ | HRT (day) | Q (L/d) | OLR kg SCOD/m <sup>3</sup> .d | Temp. (°C) | pH   | Akl. (mg/L CaCO <sub>3</sub> ) | VFA (mg/L CH <sub>3</sub> COOH) | VFA : Akl | SCOD <sub>IN</sub> (mg/L) | SCOD <sub>OUT</sub> (mg/L) | SCOD removal (%) | Biogas (ml/d) | Methane (%) |
|-------------|-------------|-----------|---------|-------------------------------|------------|------|--------------------------------|---------------------------------|-----------|---------------------------|----------------------------|------------------|---------------|-------------|
| 34          | 1           | 10        | 250     | 1.07                          | 32         | 6.54 | 750                            | 160                             | 0.21      | 10,679                    | 798                        | 92.53            | 1155          | -           |
|             | 2           | 10        | 250     | 0.53                          | 30         | 6.52 | 700                            | 145                             | 0.30      | 5,339                     | 635                        | 88.11            | 740           | -           |
|             | 3           | 10        | 250     | 0.26                          | 31         | 6.54 | 570                            | 175                             | 0.26      | 2,645                     | 535                        | 79.77            | 255           | -           |
| 35          | 1           | 10        | 250     | 1.07                          | 32         | 6.50 | -                              | -                               | -         | 10,679                    | -                          | -                | 1550          | -           |
|             | 2           | 10        | 250     | 0.53                          | 32         | 6.52 | -                              | -                               | -         | 5,339                     | -                          | -                | 645           | -           |
|             | 3           | 10        | 250     | 0.26                          | 32         | 6.58 | -                              | -                               | -         | 2,645                     | -                          | -                | 255           | -           |
| 36          | 1           | 10        | 250     | 1.07                          | 31         | 6.67 | 800                            | 170                             | 0.21      | 10,679                    | 750                        | 92.98            | 1605          | 72.48       |
|             | 2           | 10        | 250     | 0.53                          | 30         | 6.70 | 625                            | 190                             | 0.30      | 5,339                     | 630                        | 88.20            | 815           | 73.42       |
|             | 3           | 10        | 250     | 0.26                          | 31         | 6.92 | 688                            | 180                             | 0.26      | 2,645                     | 520                        | 80.34            | 340           | 69.73       |
| 37          | 1           | 10        | 250     | 1.07                          | 31         | 6.60 | -                              | -                               | -         | 10,679                    | -                          | -                | 1510          | -           |
|             | 2           | 10        | 250     | 0.53                          | 30         | 6.73 | -                              | -                               | -         | 5,339                     | -                          | -                | 765           | -           |
|             | 3           | 10        | 250     | 0.26                          | 31         | 6.81 | -                              | -                               | -         | 2,645                     | -                          | -                | 295           | -           |
| 38          | 1           | 10        | 250     | 1.07                          | 31         | 6.82 | 850                            | 150                             | 0.18      | 10,679                    | 780                        | 92.70            | 1270          | -           |
|             | 2           | 10        | 250     | 0.53                          | 31         | 6.83 | 550                            | 150                             | 0.27      | 5,339                     | 615                        | 88.48            | 685           | -           |
|             | 3           | 10        | 250     | 0.26                          | 30         | 7.06 | 550                            | 150                             | 0.27      | 2,645                     | 470                        | 82.23            | 280           | -           |
| 39          | 1           | 10        | 250     | 1.07                          | 32         | 6.97 | -                              | -                               | -         | 10,679                    | -                          | -                | 1375          | 67.38       |
|             | 2           | 10        | 250     | 0.53                          | 32         | 6.88 | -                              | -                               | -         | 5,339                     | -                          | -                | 675           | 69.95       |
|             | 3           | 10        | 250     | 0.26                          | 31         | 7.00 | -                              | -                               | -         | 2,645                     | -                          | -                | 270           | 70.42       |

ตาราง ก-1 (ต่อ)

| วันที่ทดลอง | ตั้งปฏิกรณ์ | HRT (day) | Q (L/d) | OLR kg SCOD/m <sup>3</sup> .d | Temp. (°C) | pH   | Akl. (mg/L CaCO <sub>3</sub> ) | VFA (mg/L CH <sub>3</sub> COOH) | VFA : Akl | SCOD <sub>IN</sub> (mg/L) | SCOD <sub>OUT</sub> (mg/L) | SCOD removal (%) | Biogas (ml/d) | Methane (%) |
|-------------|-------------|-----------|---------|-------------------------------|------------|------|--------------------------------|---------------------------------|-----------|---------------------------|----------------------------|------------------|---------------|-------------|
| 40          | 1           | 10        | 250     | 1.07                          | 33         | 6.87 | 750                            | 150                             | 0.20      | 10,679                    | 733                        | 93.14            | 1200          | -           |
|             | 2           | 10        | 250     | 0.53                          | 32         | 6.82 | 670                            | 150                             | 0.22      | 5,339                     | 550                        | 89.70            | 720           | -           |
|             | 3           | 10        | 250     | 0.26                          | 32         | 6.94 | 670                            | 125                             | 0.19      | 2,645                     | 387                        | 85.37            | 310           | -           |
| 41          | 1           | 10        | 250     | 1.07                          | 31         | 6.76 | -                              | -                               | -         | 10,679                    | -                          | -                | 1300          | -           |
|             | 2           | 10        | 250     | 0.53                          | 32         | 6.82 | -                              | -                               | -         | 5,339                     | -                          | -                | 780           | -           |
|             | 3           | 10        | 250     | 0.26                          | 33         | 6.96 | -                              | -                               | -         | 2,645                     | -                          | -                | 275           | -           |
| 42          | 1           | 10        | 250     | 1.07                          | 31         | 6.95 | 810                            | 250                             | 0.31      | 10,679                    | 829                        | 92.24            | 1320          | -           |
|             | 2           | 10        | 250     | 0.53                          | 32         | 6.79 | 700                            | 150                             | 0.21      | 5,339                     | 571                        | 89.31            | 650           | -           |
|             | 3           | 10        | 250     | 0.26                          | 31         | 6.87 | 785                            | 125                             | 0.16      | 2,645                     | 307                        | 88.39            | 255           | -           |
| 43          | 1           | 10        | 250     | 1.07                          | 33         | 6.97 | 850                            | 300                             | 0.35      | 10,679                    | -                          | -                | 1369          | 66.22       |
|             | 2           | 10        | 250     | 0.53                          | 32         | 7.01 | 750                            | 150                             | 0.20      | 5,339                     | -                          | -                | 565           | 69.79       |
|             | 3           | 10        | 250     | 0.26                          | 32         | 7.02 | 750                            | 125                             | 0.17      | 2,645                     | -                          | -                | 250           | 71.00       |
| *44         | 1           | 10        | 250     | 1.07                          | 30         | 6.71 | -                              | -                               | -         | 10,679                    | -                          | -                | 1120          | -           |
|             | 2           | 10        | 250     | 0.53                          | 31         | 6.75 | -                              | -                               | -         | 5,339                     | -                          | -                | 520           | -           |
|             | 3           | 10        | 250     | 0.26                          | 31         | 6.80 | -                              | -                               | -         | 2,645                     | -                          | -                | 255           | -           |
| *45         | 1           | 10        | 250     | 1.07                          | 32         | 7.00 | 750                            | 300                             | 0.40      | 10,679                    | 900                        | 91.57            | 1355          | 65.54       |
|             | 2           | 10        | 250     | 0.53                          | 31         | 7.05 | 650                            | 150                             | 0.23      | 5,339                     | 450                        | 90.73            | 615           | 69.34       |
|             | 3           | 10        | 250     | 0.26                          | 32         | 7.17 | 710                            | 150                             | 0.21      | 2,645                     | 263                        | 90.06            | 255           | 68.23       |

ตาราง ก-1 (ต่อ)

| วันที่ทดลอง | ตั้งปฏิกรณ์ | HRT (day) | Q (L/d) | OLR kg SCOD/m <sup>3</sup> .d | Temp. (°C) | pH   | Akl. (mg/L CaCO <sub>3</sub> ) | VFA (mg/L CH <sub>3</sub> COOH) | VFA : Akl | SCOD <sub>IN</sub> (mg/L) | SCOD <sub>OUT</sub> (mg/L) | SCOD removal (%) | Biogas (ml/d) | Methane (%) |
|-------------|-------------|-----------|---------|-------------------------------|------------|------|--------------------------------|---------------------------------|-----------|---------------------------|----------------------------|------------------|---------------|-------------|
| *46         | 1           | 10        | 250     | 1.07                          | 31         | 6.81 | -                              | -                               | -         | 10,679                    | -                          | -                | 1595          | -           |
|             | 2           | 10        | 250     | 0.53                          | 32         | 6.80 | -                              | -                               | -         | 5,339                     | -                          | -                | 740           | -           |
|             | 3           | 10        | 250     | 0.26                          | 32         | 6.82 | -                              | -                               | -         | 2,645                     | -                          | -                | 250           | -           |
| *47         | 1           | 10        | 250     | 1.07                          | 32         | 6.78 | 830                            | 345                             | 0.42      | 10,679                    | 863                        | 91.92            | 1380          | -           |
|             | 2           | 10        | 250     | 0.53                          | 31         | 6.80 | 700                            | 345                             | 0.49      | 5,339                     | 406                        | 92.40            | 570           | -           |
|             | 3           | 10        | 250     | 0.26                          | 31         | 6.70 | 650                            | 175                             | 0.27      | 2,645                     | 264                        | 90.02            | 250           | -           |
| *48         | 1           | 10        | 250     | 1.07                          | 32         | 6.77 | -                              | -                               | -         | 10,679                    | -                          | -                | 1400          | -           |
|             | 2           | 10        | 250     | 0.53                          | 31         | 6.78 | -                              | -                               | -         | 5,339                     | -                          | -                | 685           | -           |
|             | 3           | 10        | 250     | 0.26                          | 32         | 6.65 | -                              | -                               | -         | 2,645                     | -                          | -                | 280           | -           |
| *49         | 1           | 10        | 250     | 1.07                          | 30         | 6.70 | 750                            | 330                             | 0.44      | 10,679                    | 796                        | 92.55            | 1310          | -           |
|             | 2           | 10        | 250     | 0.53                          | 31         | 6.73 | 760                            | 330                             | 0.43      | 5,339                     | 415                        | 92.23            | 630           | -           |
|             | 3           | 10        | 250     | 0.26                          | 31         | 6.65 | 780                            | 250                             | 0.32      | 2,645                     | 307                        | 88.39            | 275           | -           |
| *50         | 1           | 10        | 250     | 1.07                          | 32         | 6.74 | -                              | -                               | -         | 10,679                    | -                          | -                | 1495          | -           |
|             | 2           | 10        | 250     | 0.53                          | 32         | 6.70 | -                              | -                               | -         | 5,339                     | -                          | -                | 1020          | -           |
|             | 3           | 10        | 250     | 0.26                          | 31         | 6.60 | -                              | -                               | -         | 2,645                     | -                          | -                | 245           | -           |
| 51          | 1           | 5         | 500     | 2.14                          | 31         | 6.71 | 600                            | 300                             | 0.50      | 10,679                    | 824                        | 92.28            | 725           | 62.80       |
|             | 2           | 5         | 500     | 1.07                          | 30         | 6.68 | 550                            | 150                             | 0.27      | 5,339                     | 461                        | 91.37            | 570           | 56.23       |
|             | 3           | 5         | 500     | 0.53                          | 31         | 6.63 | 550                            | 250                             | 0.45      | 2,645                     | 309                        | 88.32            | 555           | 46.03       |

ตาราง ก-1 (ต่อ)

| วันที่ทดลอง | ตั้งปฏิกรณ์ | HRT (day) | Q (L/d) | OLR kg SCOD/m <sup>3</sup> .d | Temp. (°C) | pH   | Akl. (mg/L CaCO <sub>3</sub> ) | VFA (mg/L CH <sub>3</sub> COOH) | VFA : Akl | SCOD <sub>IN</sub> (mg/L) | SCOD <sub>OUT</sub> (mg/L) | SCOD removal (%) | Biogas (ml/d) | Methane (%) |
|-------------|-------------|-----------|---------|-------------------------------|------------|------|--------------------------------|---------------------------------|-----------|---------------------------|----------------------------|------------------|---------------|-------------|
| 52          | 1           | 5         | 500     | 2.14                          | 32         | 6.73 | -                              | -                               | -         | 10,679                    | -                          | -                | 2310          | -           |
|             | 2           | 5         | 500     | 1.07                          | 32         | 6.66 | -                              | -                               | -         | 5,339                     | -                          | -                | 995           | -           |
|             | 3           | 5         | 500     | 0.53                          | 31         | 6.62 | -                              | -                               | -         | 2,645                     | -                          | -                | 490           | -           |
| 53          | 1           | 5         | 500     | 2.14                          | 33         | 6.74 | 550                            | 375                             | 0.68      | 10,679                    | 740                        | 93.07            | 3085          | 63.26       |
|             | 2           | 5         | 500     | 1.07                          | 32         | 6.82 | 600                            | 350                             | 0.58      | 5,339                     | 324                        | 93.93            | 1375          | 62.23       |
|             | 3           | 5         | 500     | 0.53                          | 32         | 6.85 | 600                            | 300                             | 0.50      | 2,645                     | 240                        | 90.93            | 490           | 57.01       |
| 54          | 1           | 5         | 500     | 2.14                          | 32         | 7.16 | -                              | -                               | -         | 10,679                    | -                          | -                | 2600          | -           |
|             | 2           | 5         | 500     | 1.07                          | 31         | 7.33 | -                              | -                               | -         | 5,339                     | -                          | -                | 1340          | -           |
|             | 3           | 5         | 500     | 0.53                          | 33         | 7.17 | -                              | -                               | -         | 2,645                     | -                          | -                | 525           | -           |
| 55          | 1           | 5         | 500     | 2.14                          | 30         | 6.75 | 400                            | 300                             | 0.75      | 10,679                    | 980                        | 90.82            | 3430          | -           |
|             | 2           | 5         | 500     | 1.07                          | 31         | 6.72 | 570                            | 350                             | 0.61      | 5,339                     | 480                        | 91.01            | 1610          | -           |
|             | 3           | 5         | 500     | 0.53                          | 31         | 6.80 | 625                            | 350                             | 0.56      | 2,645                     | 319                        | 87.94            | 600           | -           |
| 56          | 1           | 5         | 500     | 2.14                          | 32         | 6.89 | -                              | -                               | -         | 10,679                    | -                          | -                | 4095          | -           |
|             | 2           | 5         | 500     | 1.07                          | 32         | 6.87 | -                              | -                               | -         | 5,339                     | -                          | -                | 1495          | -           |
|             | 3           | 5         | 500     | 0.53                          | 31         | 6.97 | -                              | -                               | -         | 2,645                     | -                          | -                | 1090          | -           |
| 57          | 1           | 5         | 500     | 2.14                          | 31         | 6.74 | 550                            | 150                             | 0.27      | 10,679                    | 1182                       | 88.93            | 3940          | -           |
|             | 2           | 5         | 500     | 1.07                          | 31         | 6.62 | 600                            | 300                             | 0.50      | 5,339                     | 500                        | 90.63            | 1705          | -           |
|             | 3           | 5         | 500     | 0.53                          | 31         | 6.59 | 600                            | 300                             | 0.50      | 2,645                     | 298                        | 88.73            | 870           | -           |

ตาราง ก-1 (ต่อ)

| วันที่ทดลอง | ตั้งปฏิกรณ์ | HRT (day) | Q (L/d) | OLR kg SCOD/m <sup>3</sup> .d | Temp. (°C) | pH   | Akl. (mg/L CaCO <sub>3</sub> ) | VFA (mg/L CH <sub>3</sub> COOH) | VFA : Akl | SCOD <sub>IN</sub> (mg/L) | SCOD <sub>OUT</sub> (mg/L) | SCOD removal (%) | Biogas (ml/d) | Methane (%) |
|-------------|-------------|-----------|---------|-------------------------------|------------|------|--------------------------------|---------------------------------|-----------|---------------------------|----------------------------|------------------|---------------|-------------|
| 58          | 1           | 5         | 500     | 2.14                          | 31         | 6.93 | -                              | -                               | -         | 10,679                    | -                          | -                | 3285          | -           |
|             | 2           | 5         | 500     | 1.07                          | 30         | 6.87 | -                              | -                               | -         | 5,339                     | -                          | -                | 1730          | -           |
|             | 3           | 5         | 500     | 0.53                          | 31         | 6.99 | -                              | -                               | -         | 2,645                     | -                          | -                | 755           | -           |
| 59          | 1           | 5         | 500     | 2.14                          | 32         | 6.88 | 398                            | 140                             | 0.35      | 10,679                    | 1310                       | 87.73            | 3060          | 68.33       |
|             | 2           | 5         | 500     | 1.07                          | 32         | 6.78 | 495                            | 300                             | 0.61      | 5,339                     | 533                        | 90.02            | 1500          | 68.36       |
|             | 3           | 5         | 500     | 0.53                          | 31         | 6.87 | 550                            | 300                             | 0.55      | 2,645                     | 278                        | 89.49            | 1110          | 70.43       |
| 60          | 1           | 5         | 500     | 2.14                          | 32         | 6.83 | -                              | -                               | -         | 10,679                    | -                          | -                | 3090          | -           |
|             | 2           | 5         | 500     | 1.07                          | 32         | 6.69 | -                              | -                               | -         | 5,339                     | -                          | -                | 1720          | -           |
|             | 3           | 5         | 500     | 0.53                          | 31         | 6.75 | -                              | -                               | -         | 2,645                     | -                          | -                | 875           | -           |
| 61          | 1           | 5         | 500     | 2.14                          | 32         | 6.78 | 450                            | 281                             | 0.62      | 10,679                    | 1171                       | 89.03            | 3400          | -           |
|             | 2           | 5         | 500     | 1.07                          | 32         | 6.60 | 450                            | 281                             | 0.62      | 5,339                     | 843                        | 84.21            | 1700          | -           |
|             | 3           | 5         | 500     | 0.53                          | 33         | 6.63 | 560                            | 281                             | 0.50      | 2,645                     | 365                        | 86.20            | 790           | -           |
| 62          | 1           | 5         | 500     | 2.14                          | 31         | 6.59 | -                              | -                               | -         | 10,679                    | -                          | -                | 2890          | -           |
|             | 2           | 5         | 500     | 1.07                          | 32         | 6.40 | -                              | -                               | -         | 5,339                     | -                          | -                | 1445          | -           |
|             | 3           | 5         | 500     | 0.53                          | 32         | 6.38 | -                              | -                               | -         | 2,645                     | -                          | -                | 680           | -           |
| 63          | 1           | 5         | 500     | 2.14                          | 32         | 7.04 | 600                            | 275                             | 0.46      | 10,679                    | 972                        | 90.90            | 3015          | -           |
|             | 2           | 5         | 500     | 1.07                          | 31         | 6.85 | 592                            | 250                             | 0.42      | 5,339                     | 370                        | 93.07            | 1450          | -           |
|             | 3           | 5         | 500     | 0.53                          | 30         | 6.93 | 600                            | 290                             | 0.48      | 2,645                     | 185                        | 93.01            | 585           | -           |

ตาราง ก-1 (ต่อ)

| วันที่ทดลอง | ตั้งปฏิกรณ์ | HRT (day) | Q (L/d) | OLR kg SCOD/m <sup>3</sup> .d | Temp. (°C) | pH   | Akl. (mg/L CaCO <sub>3</sub> ) | VFA (mg/L CH <sub>3</sub> COOH) | VFA : Akl | SCOD <sub>IN</sub> (mg/L) | SCOD <sub>OUT</sub> (mg/L) | SCOD removal (%) | Biogas (ml/d) | Methane (%) |
|-------------|-------------|-----------|---------|-------------------------------|------------|------|--------------------------------|---------------------------------|-----------|---------------------------|----------------------------|------------------|---------------|-------------|
| 64          | 1           | 5         | 500     | 2.14                          | 32         | 6.88 | -                              | -                               | -         | 10,679                    | -                          | -                | 2975          | -           |
|             | 2           | 5         | 500     | 1.07                          | 32         | 6.75 | -                              | -                               | -         | 5,339                     | -                          | -                | 1600          | -           |
|             | 3           | 5         | 500     | 0.53                          | 31         | 6.65 | -                              | -                               | -         | 2,645                     | -                          | -                | 638           | -           |
| 65          | 1           | 5         | 500     | 2.14                          | 32         | 6.60 | 650                            | 150                             | 0.23      | 10,679                    | 688                        | 93.56            | 3350          | -           |
|             | 2           | 5         | 500     | 1.07                          | 31         | 6.58 | 798                            | 150                             | 0.19      | 5,339                     | 550                        | 89.70            | 1500          | -           |
|             | 3           | 5         | 500     | 0.53                          | 32         | 6.60 | 650                            | 150                             | 0.23      | 2,645                     | 366                        | 86.19            | 815           | -           |
| 66          | 1           | 5         | 500     | 2.14                          | 31         | 7.21 | -                              | -                               | -         | 10,679                    | -                          | -                | 2925          | -           |
|             | 2           | 5         | 500     | 1.07                          | 30         | 7.13 | -                              | -                               | -         | 5,339                     | -                          | -                | 1150          | -           |
|             | 3           | 5         | 500     | 0.53                          | 31         | 7.23 | -                              | -                               | -         | 2,645                     | -                          | -                | 630           | -           |
| 67          | 1           | 5         | 500     | 2.14                          | 31         | 6.72 | 690                            | 375                             | 0.54      | 10,679                    | 1100                       | 89.70            | 2820          | -           |
|             | 2           | 5         | 500     | 1.07                          | 30         | 6.57 | 700                            | 375                             | 0.54      | 5,339                     | 606                        | 88.65            | 1215          | -           |
|             | 3           | 5         | 500     | 0.53                          | 31         | 7.01 | 750                            | 281                             | 0.37      | 2,645                     | 324                        | 87.75            | 650           | -           |
| 68          | 1           | 5         | 500     | 2.14                          | 31         | 6.91 | -                              | -                               | -         | 10,679                    | -                          | -                | 3100          | -           |
|             | 2           | 5         | 500     | 1.07                          | 33         | 6.79 | -                              | -                               | -         | 5,339                     | -                          | -                | 1300          | -           |
|             | 3           | 5         | 500     | 0.53                          | 32         | 6.78 | -                              | -                               | -         | 2,645                     | -                          | -                | 630           | -           |
| *69         | 1           | 5         | 500     | 2.14                          | 31         | 6.75 | 650                            | 300                             | 0.46      | 10,679                    | 740                        | 93.07            | 3210          | -           |
|             | 2           | 5         | 500     | 1.07                          | 30         | 6.75 | 750                            | 375                             | 0.50      | 5,339                     | 463                        | 91.33            | 1560          | -           |
|             | 3           | 5         | 500     | 0.53                          | 31         | 6.65 | 650                            | 390                             | 0.46      | 2,645                     | 278                        | 89.49            | 705           | -           |

ตาราง ก-1 (ต่อ)

| วันที่ทดลอง | ตั้งปฏิกรณ์ | HRT (day) | Q (L/d) | OLR kg SCOD/m <sup>3</sup> .d | Temp. (°C) | pH   | Akl. (mg/L CaCO <sub>3</sub> ) | VFA (mg/L CH <sub>3</sub> COOH) | VFA : Akl | SCOD <sub>IN</sub> (mg/L) | SCOD <sub>OUT</sub> (mg/L) | SCOD removal (%) | Biogas (ml/d) | Methane (%) |
|-------------|-------------|-----------|---------|-------------------------------|------------|------|--------------------------------|---------------------------------|-----------|---------------------------|----------------------------|------------------|---------------|-------------|
| *70         | 1           | 5         | 500     | 2.14                          | 32         | 6.63 | -                              | -                               | -         | 10,679                    | -                          | -                | 3070          | -           |
|             | 2           | 5         | 500     | 1.07                          | 32         | 6.67 | -                              | -                               | -         | 5,339                     | -                          | -                | 1435          | -           |
|             | 3           | 5         | 500     | 0.53                          | 31         | 7.21 | -                              | -                               | -         | 2,645                     | -                          | -                | 635           | -           |
| *71         | 1           | 5         | 500     | 2.14                          | 33         | 6.91 | 746                            | 400                             | 0.54      | 10,679                    | 864                        | 91.91            | 2960          | -           |
|             | 2           | 5         | 500     | 1.07                          | 32         | 6.80 | 765                            | 375                             | 0.49      | 5,339                     | 516                        | 90.04            | 1425          | -           |
|             | 3           | 5         | 500     | 0.53                          | 31         | 7.06 | 650                            | 280                             | 0.43      | 2,645                     | 356                        | 86.54            | 615           | -           |
| *72         | 1           | 5         | 500     | 2.14                          | 30         | 6.78 | -                              | -                               | -         | 10,679                    | -                          | -                | 3205          | 65.51       |
|             | 2           | 5         | 500     | 1.07                          | 31         | 6.71 | -                              | -                               | -         | 5,339                     | -                          | -                | 1520          | 68.91       |
|             | 3           | 5         | 500     | 0.53                          | 31         | 6.91 | -                              | -                               | -         | 2,645                     | -                          | -                | 690           | 71.94       |
| *73         | 1           | 5         | 500     | 2.14                          | 32         | 6.71 | -                              | -                               | -         | 10,679                    | -                          | -                | 3170          | 64.67       |
|             | 2           | 5         | 500     | 1.07                          | 31         | 6.65 | -                              | -                               | -         | 5,339                     | -                          | -                | 1595          | 67.58       |
|             | 3           | 5         | 500     | 0.53                          | 32         | 6.80 | -                              | -                               | -         | 2,645                     | -                          | -                | 750           | 70.50       |
| *74         | 1           | 5         | 500     | 2.14                          | 31         | 7.00 | 750                            | 150                             | 0.20      | 10,679                    | 918                        | 91.40            | 2820          | -           |
|             | 2           | 5         | 500     | 1.07                          | 30         | 7.05 | 688                            | 100                             | 0.15      | 5,339                     | 612                        | 88.54            | 1620          | -           |
|             | 3           | 5         | 500     | 0.53                          | 31         | 6.73 | 500                            | 100                             | 0.20      | 2,645                     | 480                        | 81.85            | 690           | -           |
| *75         | 1           | 5         | 500     | 2.14                          | 32         | 6.85 | -                              | -                               | -         | 10,679                    | -                          | -                | 3330          | -           |
|             | 2           | 5         | 500     | 1.07                          | 32         | 6.90 | -                              | -                               | -         | 5,339                     | -                          | -                | 1500          | -           |
|             | 3           | 5         | 500     | 0.53                          | 31         | 6.75 | -                              | -                               | -         | 2,645                     | -                          | -                | 940           | -           |

ตาราง ก-1 (ต่อ)

| วันที่<br>ทดลอง | ตั้งปฏิกรณ์ | HRT<br>(day) | Q<br>(L/d) | OLR<br>kg<br>SCOD/m <sup>3</sup> .d | Temp<br>, (°C) | pH   | Akl.<br>(mg/L<br>CaCO <sub>3</sub> ) | VFA<br>(mg/L<br>CH <sub>3</sub> COOH) | VFA : Akl | SCOD <sub>IN</sub><br>(mg/L) | SCOD <sub>OUT</sub><br>(mg/L) | SCOD<br>removal<br>(%) | Biogas<br>(ml/d) | Methane<br>(%) |
|-----------------|-------------|--------------|------------|-------------------------------------|----------------|------|--------------------------------------|---------------------------------------|-----------|------------------------------|-------------------------------|------------------------|------------------|----------------|
| 76              | 1           | 2.5          | 1000       | 4.27                                | 32             | 6.70 | 438                                  | 375                                   | 0.86      | 10,679                       | 1545                          | 85.53                  | 3950             | -              |
|                 | 2           | 2.5          | 1000       | 2.14                                | 32             | 6.42 | 600                                  | 281                                   | 0.47      | 5,339                        | 862                           | 83.85                  | 2650             | -              |
|                 | 3           | 2.5          | 1000       | 1.06                                | 31             | 6.51 | 500                                  | 281                                   | 0.46      | 2,645                        | 579                           | 78.11                  | 1650             | -              |
| 77              | 1           | 2.5          | 1000       | 4.27                                | 30             | 7.13 | -                                    | -                                     | -         | 10,679                       | -                             | -                      | 3835             | -              |
|                 | 2           | 2.5          | 1000       | 2.14                                | 30             | 7.08 | -                                    | -                                     | -         | 5,339                        | -                             | -                      | 2580             | -              |
|                 | 3           | 2.5          | 1000       | 1.06                                | 30             | 7.14 | -                                    | -                                     | -         | 2,645                        | -                             | -                      | 1135             | -              |
| 78              | 1           | 2.5          | 1000       | 4.27                                | 31             | 6.75 | 438                                  | 375                                   | 0.43      | 10,679                       | 2546                          | 76.16                  | 4250             | -              |
|                 | 2           | 2.5          | 1000       | 2.14                                | 33             | 6.63 | 600                                  | 281                                   | 0.62      | 5,339                        | 1134                          | 78.76                  | 2575             | -              |
|                 | 3           | 2.5          | 1000       | 1.06                                | 33             | 6.36 | 615                                  | 125                                   | 0.28      | 2,645                        | 927                           | 64.95                  | 1400             | -              |
| 79              | 1           | 2.5          | 1000       | 4.27                                | 32             | 6.74 | -                                    | -                                     | -         | 10,679                       | -                             | -                      | 4090             | -              |
|                 | 2           | 2.5          | 1000       | 2.14                                | 32             | 6.66 | -                                    | -                                     | -         | 5,339                        | -                             | -                      | 2555             | -              |
|                 | 3           | 2.5          | 1000       | 1.06                                | 31             | 6.42 | -                                    | -                                     | -         | 2,645                        | -                             | -                      | 1285             | -              |
| 80              | 1           | 2.5          | 1000       | 4.27                                | 32             | 6.52 | 850                                  | 450                                   | 0.53      | 10,679                       | 1384                          | 87.04                  | 3165             | 56.03          |
|                 | 2           | 2.5          | 1000       | 2.14                                | 30             | 6.60 | 550                                  | 150                                   | 0.27      | 5,339                        | 720                           | 86.51                  | 2450             | 66.58          |
|                 | 3           | 2.5          | 1000       | 1.06                                | 31             | 6.37 | 500                                  | 300                                   | 0.60      | 2,645                        | 405                           | 84.69                  | 1420             | 74.69          |
| 81              | 1           | 2.5          | 1000       | 4.27                                | 33             | 6.35 | -                                    | -                                     | -         | 10,679                       | -                             | -                      | 2470             | -              |
|                 | 2           | 2.5          | 1000       | 2.14                                | 32             | 6.39 | -                                    | -                                     | -         | 5,339                        | -                             | -                      | 2200             | -              |
|                 | 3           | 2.5          | 1000       | 1.06                                | 32             | 6.23 | -                                    | -                                     | -         | 2,645                        | -                             | -                      | 1650             | -              |



ตาราง ก-1 (ต่อ)

| วันที่<br>ทดลอง | ตั้งปฏิกรณ์ | HRT<br>(day) | Q<br>(L/d) | OLR<br>kg<br>SCOD/m <sup>3</sup> .d | Temp<br>, (°C) | pH   | Akl.<br>(mg/L<br>CaCO <sub>3</sub> ) | VFA<br>(mg/L<br>CH <sub>3</sub> COOH) | VFA : Akl | SCOD <sub>IN</sub><br>(mg/L) | SCOD <sub>OUT</sub><br>(mg/L) | SCOD<br>removal<br>(%) | Biogas<br>(ml/d) | Methane<br>(%) |
|-----------------|-------------|--------------|------------|-------------------------------------|----------------|------|--------------------------------------|---------------------------------------|-----------|------------------------------|-------------------------------|------------------------|------------------|----------------|
| 82              | 1           | 2.5          | 1000       | 4.27                                | 32             | 6.41 | 375                                  | 469                                   | 1.25      | 10,679                       | 1500                          | 85.95                  | 3310             | -              |
|                 | 2           | 2.5          | 1000       | 2.14                                | 31             | 6.46 | 650                                  | 375                                   | 0.58      | 5,339                        | 850                           | 84.08                  | 2750             | -              |
|                 | 3           | 2.5          | 1000       | 1.06                                | 31             | 6.30 | 678                                  | 375                                   | 0.55      | 2,645                        | 550                           | 79.21                  | 1550             | -              |
| 83              | 1           | 2.5          | 1000       | 4.27                                | 31             | 6.12 | -                                    | -                                     | -         | 10,679                       | -                             | -                      | 1530             | -              |
|                 | 2           | 2.5          | 1000       | 2.14                                | 30             | 6.42 | -                                    | -                                     | -         | 5,339                        | -                             | -                      | 1740             | -              |
|                 | 3           | 2.5          | 1000       | 1.06                                | 32             | 6.30 | -                                    | -                                     | -         | 2,645                        | -                             | -                      | 1040             | -              |
| 84              | 1           | 2.5          | 1000       | 4.27                                | 32             | 6.35 | 583                                  | 700                                   | 1.20      | 10,679                       | 1612                          | 84.90                  | 1070             | -              |
|                 | 2           | 2.5          | 1000       | 2.14                                | 32             | 6.56 | 575                                  | 300                                   | 0.52      | 5,339                        | 955                           | 82.11                  | 1665             | -              |
|                 | 3           | 2.5          | 1000       | 1.06                                | 33             | 6.75 | 550                                  | 150                                   | 0.27      | 2,645                        | 561                           | 78.79                  | 1055             | -              |
| 85              | 1           | 2.5          | 1000       | 4.27                                | 32             | 6.43 | -                                    | -                                     | -         | 10,679                       | -                             | -                      | 1150             | -              |
|                 | 2           | 2.5          | 1000       | 2.14                                | 32             | 6.73 | -                                    | -                                     | -         | 5,339                        | -                             | -                      | 2155             | -              |
|                 | 3           | 2.5          | 1000       | 1.06                                | 33             | 6.93 | -                                    | -                                     | -         | 2,645                        | -                             | -                      | 1030             | -              |
| 86              | 1           | 2.5          | 1000       | 4.27                                | 32             | 6.32 | 350                                  | 990                                   | 2.83      | 10,679                       | 1750                          | 83.61                  | 1455             | -              |
|                 | 2           | 2.5          | 1000       | 2.14                                | 33             | 7.05 | 670                                  | 340                                   | 0.51      | 5,339                        | 715                           | 86.61                  | 2535             | -              |
|                 | 3           | 2.5          | 1000       | 1.06                                | 31             | 7.05 | 650                                  | 190                                   | 0.29      | 2,645                        | 325                           | 87.71                  | 1045             | -              |
| 87              | 1           | 2.5          | 1000       | 4.27                                | 32             | 6.02 | -                                    | -                                     | -         | 10,679                       | -                             | -                      | 1020             | 43.02          |
|                 | 2           | 2.5          | 1000       | 2.14                                | 31             | 6.32 | -                                    | -                                     | -         | 5,339                        | -                             | -                      | 2380             | 64.31          |
|                 | 3           | 2.5          | 1000       | 1.06                                | 31             | 6.29 | -                                    | -                                     | -         | 2,645                        | -                             | -                      | 1190             | 68.48          |

ตาราง ก-1 (ต่อ)

| วันที่<br>ทดลอง | ตั้งปฏิกรณ์ | HRT<br>(day) | Q<br>(L/d) | OLR<br>kg<br>SCOD/m <sup>3</sup> .d | Temp<br>, (°C) | pH   | Akl.<br>(mg/L<br>CaCO <sub>3</sub> ) | VFA<br>(mg/L<br>CH <sub>3</sub> COOH) | VFA : Akl | SCOD <sub>IN</sub><br>(mg/L) | SCOD <sub>OUT</sub><br>(mg/L) | SCOD<br>removal<br>(%) | Biogas<br>(ml/d) | Methane<br>(%) |
|-----------------|-------------|--------------|------------|-------------------------------------|----------------|------|--------------------------------------|---------------------------------------|-----------|------------------------------|-------------------------------|------------------------|------------------|----------------|
| 88              | 1           | 2.5          | 1000       | 4.27                                | 32             | 5.90 | 320                                  | 1200                                  | 3.75      | 10,679                       | 2400                          | 77.53                  | 910              | -              |
|                 | 2           | 2.5          | 1000       | 2.14                                | 32             | 6.28 | 600                                  | 375                                   | 0.63      | 5,339                        | 918                           | 82.81                  | 2320             | -              |
|                 | 3           | 2.5          | 1000       | 1.06                                | 31             | 6.31 | 500                                  | 262                                   | 0.52      | 2,645                        | 450                           | 82.99                  | 1480             | -              |
| 89              | 1           | 2.5          | 1000       | 4.27                                | 33             | 6.92 | -                                    | -                                     | -         | 10,679                       | -                             | -                      | 1050             | -              |
|                 | 2           | 2.5          | 1000       | 2.14                                | 32             | 6.45 | -                                    | -                                     | -         | 5,339                        | -                             | -                      | 2530             | -              |
|                 | 3           | 2.5          | 1000       | 1.06                                | 32             | 6.74 | -                                    | -                                     | -         | 2,645                        | -                             | -                      | 1220             | -              |
| *90             | 1           | 2.5          | 1000       | 4.27                                | 30             | 6.02 | 423                                  | 1245                                  | 2.94      | 10,679                       | 2900                          | 72.84                  | 1050             | -              |
|                 | 2           | 2.5          | 1000       | 2.14                                | 31             | 6.45 | 650                                  | 345                                   | 0.53      | 5,339                        | 988                           | 81.49                  | 2930             | -              |
|                 | 3           | 2.5          | 1000       | 1.06                                | 32             | 6.74 | 650                                  | 231                                   | 0.36      | 2,645                        | 353                           | 86.65                  | 1450             | -              |
| *91             | 1           | 2.5          | 1000       | 4.27                                | 32             | 6.02 | -                                    | -                                     | -         | 10,679                       | -                             | -                      | 1050             | -              |
|                 | 2           | 2.5          | 1000       | 2.14                                | 32             | 6.65 | -                                    | -                                     | -         | 5,339                        | -                             | -                      | 3075             | -              |
|                 | 3           | 2.5          | 1000       | 1.06                                | 31             | 6.66 | -                                    | -                                     | -         | 2,645                        | -                             | -                      | 1490             | -              |
| *92             | 1           | 2.5          | 1000       | 4.27                                | 33             | 6.76 | 310                                  | 1200                                  | 3.87      | 10,679                       | 3010                          | 71.81                  | 820              | -              |
|                 | 2           | 2.5          | 1000       | 2.14                                | 32             | 6.33 | 500                                  | 280                                   | 0.56      | 5,339                        | 1148                          | 78.50                  | 2990             | -              |
|                 | 3           | 2.5          | 1000       | 1.06                                | 32             | 6.61 | 500                                  | 250                                   | 0.50      | 2,645                        | 470                           | 82.23                  | 1335             | -              |
| *93             | 1           | 2.5          | 1000       | 4.27                                | 31             | 5.45 | -                                    | -                                     | -         | 10,679                       | -                             | -                      | 825              | -              |
|                 | 2           | 2.5          | 1000       | 2.14                                | 32             | 6.45 | -                                    | -                                     | -         | 5,339                        | -                             | -                      | 3010             | -              |
|                 | 3           | 2.5          | 1000       | 1.06                                | 31             | 6.55 | -                                    | -                                     | -         | 2,645                        | -                             | -                      | 1470             | -              |

ตาราง ก-1 (ต่อ)

| วันที่ทดลอง | ถังปฏิกรณ์ | HRT (day) | Q (L/d) | OLR kg SCOD/m <sup>3</sup> .d | Temp .(°C) | pH   | Akl. (mg/L CaCO <sub>3</sub> ) | VFA (mg/L CH <sub>3</sub> COOH) | VFA : Akl | SCOD <sub>IN</sub> (mg/L) | SCOD <sub>OUT</sub> (mg/L) | SCOD removal (%) | Biogas (ml/d) | Methane (%) |
|-------------|------------|-----------|---------|-------------------------------|------------|------|--------------------------------|---------------------------------|-----------|---------------------------|----------------------------|------------------|---------------|-------------|
| *94         | 1          | 2.5       | 1000    | 4.27                          | 32         | 5.40 | 300                            | 1250                            | 4.17      | 10,679                    | 3200                       | 70.03            | 830           | -           |
|             | 2          | 2.5       | 1000    | 2.14                          | 32         | 6.60 | 645                            | 300                             | 0.47      | 5,339                     | 1036                       | 80.60            | 2980          | -           |
|             | 3          | 2.5       | 1000    | 1.06                          | 31         | 6.45 | 650                            | 250                             | 0.38      | 2,645                     | 366                        | 86.16            | 1485          | -           |
| *95         | 1          | 2.5       | 1000    | 4.27                          | 33         | 5.57 | -                              | -                               | -         | 10,679                    | -                          | -                | 840           | -           |
|             | 2          | 2.5       | 1000    | 2.14                          | 32         | 6.58 | -                              | -                               | -         | 5,339                     | -                          | -                | 3005          | -           |
|             | 3          | 2.5       | 1000    | 1.06                          | 32         | 6.66 | -                              | -                               | -         | 2,645                     | -                          | -                | 1495          | -           |
| *96         | 1          | 2.5       | 1000    | 4.27                          | 31         | 5.33 | 270                            | 1200                            | 4.44      | 10,679                    | 3250                       | 69.57            | 850           | 37.96       |
|             | 2          | 2.5       | 1000    | 2.14                          | 32         | 6.67 | 600                            | 350                             | 0.58      | 5,339                     | 915                        | 82.86            | 3010          | 64.46       |
|             | 3          | 2.5       | 1000    | 1.06                          | 31         | 6.65 | 576                            | 198                             | 0.34      | 2,645                     | 400                        | 84.88            | 1500          | 76.00       |

สิ้นสุดการทดลอง

หมายเหตุ : 1. เครื่องหมาย - คือ ไม่มีการวิเคราะห์ตัวอย่างน้ำทิ้ง

2. เครื่องหมาย \* คือ ที่สภาวะคงตัว (Steady State)

## ภาคผนวก ข

### วิธีและสภาวะที่ใช้วิเคราะห์

#### 1. วิธีการหาปริมาณกลีเซอรอล

ตามมาตรฐานมอก. 336 (2523)

##### สารเคมีที่ใช้

1. สารละลายโซเดียมเปอร์ไอโอเดต นำสารละลายโซเดียมเปอร์ไอโอเดต 60 กรัม ละลายด้วยน้ำกลั่น 500 มิลลิลิตร เติมกรดซัลฟิวริกความเข้มข้น 0.1 โมล/ลิตร 60 มิลลิลิตร แล้วเติมน้ำกลั่นจนมีปริมาตร 1,000 มิลลิลิตร ละลายโซเดียมเปอร์ไอโอเดตโดยไม่ต้องใช้ความร้อน ถ่ายใส่ขวดสีน้ำตาลพร้อมจุกแก้วปิดสนิทแล้วเก็บในที่มืด ห้ามโดนแสงแดด

2. สารละลายอีเทนไดออล ผสมอีเทนไดออลที่เป็นกลางและปราศจากกลีเซอรอล 1 ส่วนกับน้ำกลั่น 1 ส่วน (โดยปริมาตร)

3. สารละลายมาตรฐาน โซเดียมไฮดรอกไซด์ที่ปราศจากคาร์บอเนต ความเข้มข้น 0.125 โมล/ลิตร

4. สารละลายโซเดียมไฮดรอกไซด์ ความเข้มข้น 0.05 โมล/ลิตร

5. สารละลายกรดซัลฟิวริก ความเข้มข้นประมาณ 0.1 โมล/ลิตร

6. โบรโมไทมอลบลูอินดิเคเตอร์

ละลายโบรโมไทมอลบลูที่แห้ง 0.1 กรัม ในสารละลายโซเดียมไฮดรอกไซด์ 0.01 โมล/ลิตร 16 มิลลิลิตร ถ่ายใส่ขวดแก้วปรับปริมาตร ขนาด 100 มิลลิลิตร เติมน้ำจนได้ปริมาตร 100 มิลลิลิตร

##### วิธีเตรียมตัวอย่าง

อุ่นตัวอย่างให้พอละลาย แล้วกวนทำให้เข้ากันก่อนนำมาวิเคราะห์และให้ระวังการดูดซับน้ำและการสูญเสียน้ำของตัวอย่างด้วย

##### ขั้นตอนการเตรียมสารเคมีที่ใช้

1. โซดาไฟ (NaOH) 0.125 โมล/ลิตร

โซดาไฟที่ใช้เป็นเกรดวิเคราะห์ (Analytical Reagent (A.R.)) มีความเข้มข้น 99 เปอร์เซ็นต์

ชั่งโซดาไฟมา 5.05 กรัม เทให้ขวดปรับปริมาตรขนาด 1 ลิตร ใช้น้ำกลั่นปรับปริมาตรให้ได้ 1 ลิตร

2. โซดาไฟ (NaOH) 0.05 โมล/ลิตร

โซดาไฟที่ใช้เป็นเกรดวิเคราะห์ (Analytical Reagent (A.R.)) มีความเข้มข้น 99 เปอร์เซ็นต์

ชั่งโซดาไฟมา 2.02 กรัม เทให้ขวดปรับปริมาตรขนาด 1 ลิตร ใช้น้ำกลั่นปรับปริมาตรให้ได้ 1 ลิตร

3. โซดาไฟ (NaOH) 0.01 โมล/ลิตร

โซดาไฟที่ใช้เป็นเกรดวิเคราะห์ (Analytical Reagent (A.R.)) มีความเข้มข้น 99 เปอร์เซ็นต์

ชั่งโซดาไฟมา 0.404 กรัม เทให้ขวดปรับปริมาตรขนาด 1 ลิตร ใช้น้ำกลั่นปรับปริมาตรให้ได้ 1 ลิตร

4. กรดซัลฟิวริก (H<sub>2</sub>SO<sub>4</sub>) 0.1 โมล/ลิตร

กรดซัลฟิวริก (H<sub>2</sub>SO<sub>4</sub>) ที่ใช้เป็นเกรดวิเคราะห์ (Analytical Reagent (A.R.)) มีความเข้มข้น 96 เปอร์เซ็นต์

ปิเปตกรดซัลฟิวริก (H<sub>2</sub>SO<sub>4</sub>) 5.55 มิลลิลิตร เทใส่ขวดปรับปริมาตรขนาด 1 ลิตร ใช้น้ำกลั่นปรับปริมาตรให้ได้ 1 ลิตร

#### วิธีวิเคราะห์

1. ชั่งตัวอย่าง 0.1000 กรัม ด้วยเครื่องชั่งทศนิยม 4 ตำแหน่ง
2. ถ่ายตัวอย่างลงบีกเกอร์ เติมน้ำกลั่นประมาณ 50 มิลลิลิตร หยดโบรโมไทมอลบลูอินดิเคเตอร์ 5 - 7 หยด แล้วทำให้เป็นกรดด้วยสารละลายกรดซัลฟิวริก 0.1 โมล/ลิตร โดยสีของสารละลายจะเปลี่ยนเป็นสีเหลือง บันทึกปริมาณสารละลายกรดที่ใช้
3. ทำสารละลายให้เป็นกลางด้วยสารละลายโซเดียมไฮดรอกไซด์ 0.05 โมล/ลิตร อย่างระมัดระวังจนได้สารละลายสีฟ้าซึ่งไม่มีสีเขียวปนอยู่เลย บันทึกปริมาณสารละลายต่างที่ใช้
4. ทำแบลنگก์โดยใช้น้ำกลั่น 50 มิลลิลิตร แทนตัวอย่างแล้วปฏิบัติเช่นเดียวกับข้อ 2 และ 3 โดยใช้อินดิเคเตอร์ ปรับความเป็นกรด - ด่าง ก่อนที่จะเติมสารละลายโซเดียมเปอร์ไอโอดีต
5. ใช้ปิเปตดูดสารละลายโซเดียมเปอร์ไอโอดีตมาครั้งละ 50 มิลลิลิตร ใส่ลงในสารละลายตัวอย่างและแบลنگก์แก้วบีกเกอร์เบาๆ แล้วปิดด้วยกระดาษพิก้าหรือใช้แผ่นอลูมิเนียมปิดให้สนิท ตั้งทิ้งไว้ใน ที่มีดที่อุณหภูมิห้อง (ไม่เกิน 35 องศาเซลเซียส) เป็นเวลา 30 นาที หลังจากนั้นเติมสารละลายอีเทนได-ออล 10 มิลลิลิตร แก้วบีกเกอร์เบาๆ แล้วตั้งทิ้งไว้ในที่มีดที่อุณหภูมิห้อง เป็นเวลา 20 นาที

6. เติมน้ำกลั่นจนมีปริมาตรรวม 300 มิลลิลิตร (น้ำกลั่นที่เติมเท่ากับ 300 – (ปริมาณน้ำกลั่น 50 มิลลิลิตร + ปริมาณโซเดียมเปอร์ซัลเฟต 50 มิลลิลิตร + ปริมาณอีเทนไดคอล 10 มิลลิลิตร + สลล. ซัลฟิวริก 0.1 โมล/ลิตร + สลล. โซเดียมไฮดรอกไซด์ 0.05 โมล/ลิตร)) นำไปไทเทรตกับสารละลายมาตรฐานโซเดียมไฮดรอกไซด์ (0.125 โมล/ลิตร) หยดโบรโมไทมอลบลูอินดิเคเตอร์ 5 - 7 หยด ถ้าสารละลายจะเปลี่ยนเป็นสีฟ้าเมื่อถึงจุดยุติ แล้วบันทึกปริมาตรสารละลายมาตรฐานโซเดียมไฮดรอกไซด์ที่ใช้จากบิวเรต ให้ละเอียดถึง 0.01 มิลลิลิตร

หมายเหตุ หากตัวอย่างเป็นของแข็งอาจต้องให้ความร้อนเล็กน้อย ในขั้นตอนที่ 2 เพื่อให้เกิดการละลายดีขึ้น

#### วิธีคำนวณ

$$\text{ปริมาณกลีเซอรอล ร้อยละของน้ำหนัก} = \frac{9.209 \times N(T_1 - T_2)}{W}$$

เมื่อ N คือ ความเข้มข้นของสารละลายมาตรฐานโซเดียมไฮดรอกไซด์ซึ่งเท่ากับ 0.125 โมล/ลิตร

$T_1$  คือ ปริมาตรของสารละลายมาตรฐานโซเดียมไฮดรอกไซด์ที่ใช้ ไทเทรตกับตัวอย่างเป็น มิลลิลิตร

$T_2$  คือ ปริมาตรของสารละลายมาตรฐานโซเดียมไฮดรอกไซด์ที่ใช้ ไทเทรตกับแบลنگก์เป็น มิลลิลิตร

W คือ น้ำหนักของตัวอย่างที่นำมาวิเคราะห์เป็นกรัม

## 2. การวิเคราะห์ปริมาณน้ำด้วยเครื่องคาลฟีเซอร์ (Karl Fischer Coulometer)



ภาพประกอบที่ ข-1 Karl Fischer Coulometer

## เครื่องมือ

Karl Fischer Coulometer ยี่ห้อ Mettler Toledo รุ่น DL39

สารเคมีที่ใช้ในการวิเคราะห์

เมทานอลความเข้มข้น 99.5 %

การเตรียมสารตัวอย่างและการวิเคราะห์

กรณีสารตัวอย่างมีองค์ประกอบของน้ำเกิน 5 % w/w ต้องเจือจางสารตัวอย่างด้วยเมทานอลให้มีปริมาณน้ำน้อยกว่า 5 %w/w เนื่องจากเครื่องสามารถวิเคราะห์ได้แม่นยำในสารตัวอย่างที่มี ปริมาณน้ำน้อยมากๆ และสารตัวอย่างที่นำมาวิเคราะห์ควรมีค่าความเป็นกรด-ด่าง (pH) ในช่วง 5-7 จุดยุติของการไทเทรตของเครื่องถึงจะมีค่าคงที่ที่แน่นอน (Hach Company, 2007) หลังจากนั้นนำ สารไปวิเคราะห์โดยมีวิธีการวิเคราะห์ดังนี้

1. เปิดเครื่องคาลฟีชเชอร์ กดที่ปุ่ม Run หน้าจอจะขึ้นคำว่า Method และกดที่ปุ่ม Run อีก ครั้งโดยให้เครื่อง Pretitration ให้เสร็จ

2. ดูเครื่องหมายที่หน้าจอให้อยู่ในแนวตั้งหรือแนวนอน ( , ) เท่านั้นถึงเริ่มการวิเคราะห์ได้

3. กดปุ่ม i เพื่อเช็คค่า Capacity (ถ้าค่าต่ำกว่า 500 ควรเปลี่ยนน้ำยาคาลฟีชเชอร์)

4. กดปุ่ม Run จะขึ้นคำว่า Sample ให้กดปุ่ม F3

5. กดที่ปุ่ม OK จำนวน 2 ครั้ง 81

6. ล้างกระบอกฉีดยา (Syringe) ด้วยเมทานอล และกลั้วกระบอกฉีดยาด้วยสารตัวอย่างที่เรา จะวิเคราะห์

7. ใส่สารตัวอย่างในกระบอกฉีดยาปริมาตร 5 ml และซับปลายเข็มด้วยกระดาษ

ทิชชู

8. เปิดเครื่องชั่ง 4 ตำแหน่ง

9. ชั่งทั้งกระบอกฉีดยา และกดปุ่ม Tare

10. นำกระบอกฉีดยาไปฉีดเข้าเครื่องคาลฟีชเชอร์โดยหยดสารตัวอย่างประมาณ 2-3 หยด

11. กดปุ่ม OK เพื่อให้เครื่องไทเทรต พร้อมนำกระบอกฉีดยาไปชั่งที่เครื่องชั่ง เพื่อจด น้ำหนักที่หายไป ซึ่งเป็นน้ำหนักของสารที่เราหยดลงในเครื่องคาลฟีชเชอร์

12. เครื่องคาลฟีชเชอร์จะขึ้นให้ใส่น้ำหนัก และกดปุ่ม OK จะได้เปอร์เซ็นต์ของน้ำในสาร ตัวอย่าง

13. กรณีวิเคราะห์หลายครั้งให้กลับไปเริ่มวิเคราะห์ที่ข้อ 9 ใหม่ เมื่อได้จำนวนซ้ำที่เราต้องการวิเคราะห์ ให้กดปุ่ม X เพื่อดูค่าเฉลี่ยและค่าเบี่ยงเบนมาตรฐาน (SD)

14. ลบข้อมูลการวิเคราะห์ซ้ำทุกครั้งโดยกดปุ่ม Result และเลือก Statistics series กดปุ่ม OK และปุ่ม Yes

15. ปิดเครื่องโดยกดปุ่ม Run ตามด้วยปุ่ม Reset

\*\*\* กรณีเจอจางสารตัวอย่างด้วยเมทานอล ต้องทำการวิเคราะห์ปริมาณน้ำในเมทานอลที่ใช้เป็น ตัวเจือจาง เพื่อใช้ในการคำนวณปริมาณน้ำที่แท้จริงในสารตัวอย่าง สูตรการคำนวณเปอร์เซ็นต์ของน้ำในสารตัวอย่างกรณีเจอจางสารตัวอย่างด้วยเมทานอล กำหนดให้

A ปริมาตรของสารตัวอย่างที่ใช้ในการเจือจาง

B ปริมาตรของเมทานอลที่ใช้ในการเจือจาง

C ปริมาตรรวม (สารตัวอย่าง + เมทานอล)

D เปอร์เซ็นต์ของน้ำในสารตัวอย่างที่ผ่านการเจือจางด้วยเมทานอล

E เปอร์เซ็นต์ของน้ำในเมทานอล

- หาปริมาตรรวมของน้ำทั้งหมดในสารตัวอย่างที่ผ่านการเจือจางด้วยเมทานอล

$$(D/100) \times (C) = F$$

- หาปริมาณน้ำในเมทานอล

$$(E/100) \times (B) = G$$

- หาปริมาตรของน้ำเฉพาะในสารตัวอย่าง

$$F - G = H$$

ดังนั้น เปอร์เซ็นต์ของน้ำ (%w/w) ในสารตัวอย่าง =  $(H / A) \times 100$

### 3. การวิเคราะห์ปริมาณเถ้า (Ash) ในกลีเซอรอล

ด้วยวิธีมาตรฐาน International Union of Pure and Applied Chemistry, 1980

เทคนิคนี้ ใช้วิเคราะห์องค์ประกอบของเถ้าในกลีเซอรอลซึ่งทำการทดสอบ โดยการเผาที่อุณหภูมิสูงถึง 750 องศาเซลเซียส โดยสารอินทรีย์ในกลีเซอรอลจะถูก เผาไหม้ไปจนหมดเหลือเพียงเถ้า ซึ่งสารอินทรีย์ที่หายไปนี้ก็คือ สารอินทรีย์ที่ไม่ใช่กลีเซอรอล (Matter Organic Non-Glycerol ; MONG) นั่นเอง )Hautfenne, (1980



### วิธีการวิเคราะห์หมีดังนี้

1. นำครุชชีเบิล (Crucible) เข้าเตาเผาโดยให้ความร้อนที่อุณหภูมิ 750 องศาเซลเซียส เป็นเวลา 10 นาที เพื่อไล่ความชื้นที่มีอยู่ในครุชชีเบิลออกให้หมด รอจนอุณหภูมิต่ำกว่า 100 องศาเซลเซียส
2. นำครุชชีเบิลไปใส่ในเดซิกเคเตอร์ (Dessicator) รอให้อุณหภูมิของครุชชีเบิลเย็นลงถึง อุณหภูมิห้อง
3. ชั่งน้ำหนักครุชชีเบิลด้วยเครื่องชั่ง 4 ตำแหน่งและจดค่าไว้
4. ใส่น้ำตัวอย่างประมาณ 1 กรัม ในครุชชีเบิลโดยใช้เครื่องชั่ง 4 ตำแหน่งและจดค่าไว้
5. นำครุชชีเบิลเข้าเตาเผาอีกครั้ง โดยเผาที่อุณหภูมิ 750 องศาเซลเซียส เป็นเวลา 6 ชั่วโมง
6. รอจนอุณหภูมิต่ำกว่า 100 องศาเซลเซียส และนำครุชชีเบิลไปใส่ในเดซิกเคเตอร์ (Dessicator) รอให้อุณหภูมิของครุชชีเบิลเย็นลงถึงอุณหภูมิห้อง และนำไปชั่งด้วยเครื่องชั่ง 4 ตำแหน่ง พร้อมจดค่า

### สูตรการคำนวณเปอร์เซ็นต์ของถ้ำในสารตัวอย่าง

- กำหนดให้
- |       |  |
|-------|--|
| $M_1$ | มวลของครุชชีเบิล (Crucible); กรัม                        |
| $M_2$ | มวลของครุชชีเบิล (Crucible) รวมกับถ้ำ; กรัม              |
| $M_3$ | มวลของครุชชีเบิล (Crucible) รวมกับกลีเซอรอลก่อนเผา; กรัม |
- ดังนั้น เปอร์เซ็นต์ของถ้ำ (%w/w) ในสารตัวอย่าง =  $(M_2 - M_1) \times 100 / (M_3 - M_1)$



ภาพประกอบที่ ข-2 ลักษณะของถ้ำ (Ash) ที่ได้จากการเผากลีเซอรอล

#### 4. การคำนวณปริมาณสารอินทรีย์ที่ไม่ใช่กลีเซอรอล (MONG)

ด้วยวิธีมาตรฐาน International Union of Pure and Applied Chemistry, 1980 เทคนิคนี้ ใช้วิเคราะห์องค์ประกอบของสารอินทรีย์ที่ไม่ใช่กลีเซอรอล โดยในทางอุตสาหกรรม Matter Organic Non-Glycerol หรือ MONG สามารถหาได้โดยการนำ 100 ลบด้วยเปอร์เซ็นต์ขององค์ประกอบของสารต่างๆ ในกลีเซอรอลที่วิเคราะห์ได้ เช่น กลีเซอรอล น้ำ และเถ้า (Hautfenne, 1980)

สูตรการคำนวณปริมาณสารอินทรีย์ที่ไม่ใช่กลีเซอรอล (MONG) ในสารตัวอย่าง

กำหนดให้      X      เปอร์เซ็นต์ของกลีเซอรอลในสารตัวอย่าง (%w/w)  
                          Y      เปอร์เซ็นต์ของเถ้าในสารตัวอย่าง (%w/w)  
                          Z      เปอร์เซ็นต์ของน้ำในสารตัวอย่าง (%w/w)

ดังนั้น เปอร์เซ็นต์ของ MONG (%w/w) ในสารตัวอย่าง      =  $100 - (X + Y + Z)$

#### 5. ซีโอดี (Chemical Oxygen Demand: COD)

การวิเคราะห์หาค่าซีโอดี เป็นการวิเคราะห์หาปริมาณความต้องการออกซิเจนเพื่อใช้ในการย่อยสลายสารอินทรีย์ที่มีอยู่ในน้ำเสีย การย่อยวิธีนี้จะแตกต่างจากการย่อยแบบบีโอดี คือ ในการวิเคราะห์บีโอดี ตัวที่จะเป็นตัวย่อยของเสียหรือสารอินทรีย์ในน้ำคือแบคทีเรีย แต่ในการวิเคราะห์ซีโอดี ตัวที่จะทำการย่อยสลายสารอินทรีย์คือ สารเคมี ซึ่งสารเคมีที่ใช้ในการศึกษาที่นี้คือ โปตัสเซียมไดโครเมต ( $K_2Cr_2O_7$ ) เป็นสารออกซิไดซ์ซึ่งเอเจนต์ (Oxidizing agent) มีอำนาจในการออกซิไดซ์สูง การเติมกรดซัลฟิวริกเข้มข้น เพื่อให้สารละลายมีสภาพเป็นกรดและช่วยย่อยสลายสารอินทรีย์ นำไปย่อยด้วยความร้อนซึ่งเรียกว่า รีฟลักซ์ (Reflux) ไอของสารที่ระเหยออกมาจะถูกทำให้ควบแน่นตกกลับลงไปในภาชนะที่บรรจุ ไม่ระเหยออกไปภายนอก

##### เครื่องมือและอุปกรณ์

1. ชุดเครื่องมือการกลั่นแบบไหลกลับคืน
2. เตาให้ความร้อน (Heaters)

##### สารเคมี

1. เมอร์คิวรีซัลเฟต ( $HgSO_4$ )
2. สารละลายมาตรฐาน โปตัสเซียมไดโครเมต ( $K_2Cr_2O_7$ ) ความเข้มข้น 0.0417 โมล/ลิตร เตรียมโดยอบแห้ง โปตัสเซียมไดโครเมตที่อุณหภูมิ 103 องศาเซลเซียส เป็นเวลา 2 ชั่วโมง นำมาวางให้เย็นในเดสิเคเตอร์ แล้วชั่งสาร 12.259 กรัม ละลายในน้ำกลั่น เจือจางเป็น 1 ลิตร

3. กรดซัลฟิวริกเข้มข้น ( $H_2SO_4$ ) เดิมซัลเวอร์ซัลเฟต ( $Ag_2SO_4$ ) ลงไป 22 กรัม ต่อ กรดซัลฟิวริก 2.65 ลิตร (ปกติกรดซัลฟิวริกขนาดบรรจุขวด 9 ปอนด์ เท่ากับ 2.65 ลิตร) การเติมซัลเวอร์ซัลเฟต เพื่อเป็นตัวเร่งปฏิกิริยา (Catalyst)

4. สารละลายเฟอโรอิน อินดิเคเตอร์ (Ferroin indicator solution) ละลาย 1, 10 – ฟีนานโทโรลีน โมโนไฮเดรต [1, 10- phenanthroline monohydrate ( $C_{12}H_8N_2 \cdot H_2O$ )] 1.485 กรัม และ ไอร์ออน (II) ซัลเฟตเฮปตาไฮเดรต ( $FeSO_4 \cdot 7H_2O$ ) 0.695 กรัม ในน้ำกลั่นแล้วเจือจางเป็น 100 มิลลิลิตร

5. สารละลายมาตรฐานแอมโมเนียมเฟอร์รัสซัลเฟต ( $Fe(NH_4)_2(SO_4)_2 \cdot 6H_2O$ ) เตรียม โดยชั่งผลึกแอมโมเนียมเฟอร์รัสซัลเฟต 98 กรัม ละลายในน้ำกลั่น เดิมกรดซัลฟิวริกเข้มข้น 20 มิลลิลิตร คนให้สารละลาย รอให้เย็น เจือจางเป็น 1 ลิตร สารละลายนี้จะต้องหาค่ามาตรฐานทุกครั้ง ที่ใช้ ดังนี้

นำสารละลาย  $K_2Cr_2O_7$  0.0147 โมล/ลิตร ปริมาตร 10 มิลลิลิตร เจือจางด้วยน้ำกลั่น ประมาณ 90 มิลลิลิตร เติมกรดซัลฟิวริก 30 มิลลิลิตร ทิ้งไว้ให้เย็นในที่มืด 5 นาที หยดสารละลาย เฟอโรอิน อินดิเคเตอร์ 2-3 หยด นำไปติเตรตจนกระทั่งสารละลายเปลี่ยนจากสีเขียวแกมฟ้า เป็นสี น้ำตาลแดงเป็นจุดี คำนวณหาค่าความเข้มข้นของสารละลายแอมโมเนียมเฟอร์รัสซัลเฟตได้ดังนี้

$$\text{ความเข้มข้น (โมล/ลิตร)} = \frac{\text{มิลลิลิตร ของโปรตัสเซียมไดโครเมต} \times 0.0417 \times 6}{\text{มิลลิลิตร ของสารละลายแอมโมเนียมเฟอร์รัสซัลเฟต}}$$

### วิธีวิเคราะห์

1. ใช้ขวดกลั่นขนาด 250 มิลลิลิตร
2. ชั่งเมอร์คิวรีซัลเฟต ( $HgSO_4$ ) ประมาณ 0.4 กรัม ใส่ลงในขวดกลั่น
3. ปิเปิดตัวอย่างน้ำใส่ลงไป 20 มิลลิลิตร (หรือส่วนของตัวอย่างที่เจือจางเป็น 20 มิลลิลิตร) การทำแบลนค์ (Blank) ทำไปพร้อมๆ กับน้ำตัวอย่าง โดยใช้สารเคมีเช่นเดียวกับการ วิเคราะห์ตัวอย่างแตกต่างตรงที่ใช้น้ำกลั่นแทนน้ำตัวอย่าง
4. ปิเปิดสารละลายโปรตัสเซียมไดโครเมต 0.0417 โมล/ลิตร ปริมาตร 10 มิลลิลิตร ใส่ลูกแก้ว 4-5 เม็ด เพื่อช่วยให้ออกซิเจนออก
5. นำขวดสารที่เตรียมไว้ในข้อ 4 ไปต่อเข้ากับคอนเดนเซอร์ของอุปกรณ์รีฟลักซ์ เปิดน้ำหล่อเย็น ป้องกันไม่ให้สารที่ต้มระเหยออกไปได้ ดังภาพประกอบที่ ข.3
6. ค่อยๆ เติมกรดซัลฟิวริกเข้มข้นซึ่งมีซัลเวอร์ซัลเฟตอยู่แล้ว ลงไป 30 มิลลิลิตร โดยเติมผ่านคอนเดนเซอร์ ค่อยๆ เติม เกลงไปที่ละน้อยๆ เพื่อไม่ให้เกิดความร้อนจัดในขณะที่เทกรด

7. เปิดเตาให้ความร้อน ต้มจนเดือดติดต่อกันเป็นเวลา 2 ชม. วางไว้ให้เย็น ใช้น้ำกลั่นฉีดล้างคอนเดนเซอร์เพื่อให้สารที่ค้างอยู่ในคอนเดนเซอร์ลงไปในช่วงกลั่น

8. เจือจางด้วยน้ำกลั่น ให้ได้ปริมาตรประมาณ 140 มิลลิลิตร หยดเฟอโรอินอินดิเคเตอร์ 2-3 หยด นำไปไทเทรตด้วยสารละลายมาตรฐานแอมโมเนียมเพอร์สัลเฟต จนกระทั่งจุดยุติ เปลี่ยนจากสีเขียวแกมฟ้า เป็นสีน้ำตาลสีแดง



ภาพประกอบที่ ข-3 การประกอบชุดกลั่น COD แบบ Open Reflux

#### การคำนวณ

$$\text{ซีไออดี (COD) (mg/l)} = \frac{(a-b) \times C \times 8,000}{\text{ปริมาตรตัวอย่างที่ใช้}}$$

- เมื่อ
- a = มิลลิลิตร ของสารละลายแอมโมเนียมเพอร์สัลเฟตที่ใช้กับแบลนด์
  - b = มิลลิลิตร ของสารละลายแอมโมเนียมเพอร์สัลเฟตที่ใช้กับตัวอย่าง
  - c = มิลลิลิตร ความเข้มข้นของสารละลายแอมโมเนียมเพอร์สัลเฟต 0.1 โมล/ลิตร

#### 6. ความเป็นด่าง (Alkalinity) และ กรดระเหยง่าย (Volatile fatty acid)

ความเป็นด่างของน้ำ คือความสามารถของน้ำในการที่จะรับโปรตอน สารที่ทำให้เกิดความเป็นด่างของน้ำ ได้แก่ พวกรวมไบคาร์บอเนต ( $\text{HCO}_3^-$ ) คาร์บอเนต ( $\text{CO}_3^{2-}$ ) และไฮดรอกไซด์ ( $\text{OH}^-$ ) การวิเคราะห์ความเป็นด่างของน้ำ โดยนำมาไทเทรตด้วยกรดที่แตกตัวให้โปรตอนสูง

#### เครื่องมือและอุปกรณ์

1. เครื่องวัดความเป็นกรด-ด่าง (pH meter)
2. บิวเรตขนาด 50 มิลลิลิตร และขาตั้งบิวเรตอย่างละ 2 อัน
3. เตาไฟฟ้า (Hot plate)
4. เครื่องกวนแม่เหล็กไฟฟ้า (Magnetic stirrer)
5. บีกเกอร์ขนาด 200 มิลลิลิตร

#### สารเคมี

1. สารละลายบัฟเฟอร์ pH 7.00
2. สารละลายบัฟเฟอร์ pH 4.00
3. สารละลายกรดซัลฟิวริก ( $H_2SO_4$ ) เข้มข้น 0.5 M
4. สารละลายโซเดียมไฮดรอกไซด์ (NaOH) เข้มข้น 0.5 M

#### วิธีการวิเคราะห์

1. ตวงน้ำตัวอย่าง 50 มิลลิลิตร ใส่บีกเกอร์ทั้ง 2 ใบ (ที่ตักตะกอนหรือนำไปเหวี่ยงรินเฉพาะส่วนใส)
2. ปรับเครื่องวัด pH ด้วยสารละลายบัฟเฟอร์ pH 7.00 และ 4.00
3. วัด pH ของตัวอย่างน้ำ
4. ไทเทรตตัวอย่างสารละลายกรดซัลฟิวริกมาตรฐาน โดยใช้เครื่องแม่เหล็กกวนตลอดเวลา จดปริมาตรกรดที่ pH 4.0 สมมติให้ = A แล้วไทเทรตต่อจน pH เป็น 3.0
5. ต้มให้เดือดเบาๆ ประมาณ 3 นาที จากนั้นทิ้งไว้ให้เย็นที่อุณหภูมิห้อง
6. นำมาไทเทรตด้วยสารละลายโซเดียมไฮดรอกไซด์จน pH เป็น 4.0 โดยกวนตลอดเวลา แล้วทำการไทเทรตต่อจาก pH 4.0 จนถึง pH 7.0 จดปริมาตรต่างที่ใช้ในการไทเทรตจาก pH 4.0 จนถึง 7.0 สมมติให้ = B

#### การคำนวณ

$$\text{สภาพด่างทั้งหมด (mg/L CaCO}_3\text{)} = \frac{A \times \text{โมลาริตีของสารละลายมาตรฐาน H}_2\text{SO}_4 \times 50 \times 1,000}{\text{มิลลิลิตร ของน้ำตัวอย่าง}}$$

$$\text{กรดระเหยง่าย (mg/L CH}_3\text{COOH)} = \frac{B \times \text{โมลาริตีของสารละลายมาตรฐาน NaOH} \times 50 \times 1,000}{\text{มิลลิลิตร ของน้ำตัวอย่าง}}$$

## 7. ของแข็งแขวนลอย (Suspended solid: SS)

ของแข็งในที่นี้หมายถึง ปริมาณสารที่เหลือเป็นตะกอนหลังจากที่ระเหยออกไป และทำให้แห้ง ตะกอนเหล่านี้เกิดจากสารอินทรีย์และอนินทรีย์ที่ละลายและแขวนลอยอยู่ในน้ำ ซึ่งมีหลายรูปแบบ เช่น ของแข็งแขวนลอย ของแข็งละลาย เป็นต้น

### เครื่องมือและอุปกรณ์

1. กรวยกรอง อาจจะใช้กรวยกรองแบบที่เรียหรือกรวยบุชเนอร์ (Buchner funnel)
2. กระดาษกรองใยแก้วขนาด 7 ซม. (Glass microfiber filter, Whatman GF/C)
3. กระจกนาฬิกา (Watch glass) ขนาดเส้นผ่านศูนย์กลาง 7 ซม.
4. เครื่องกรองสุญญากาศ
5. ตู้อบที่ควบคุมอุณหภูมิได้ที่ 103-105 °C
6. เครื่องชั่งละเอียดทศนิยม 4 ตำแหน่ง
7. โถดูดความชื้น

### วิธีวิเคราะห์

1. นำกระดาษกรอง (GF/C) ซึ่งอบแห้งและปล่อยให้เย็นวางไว้ใน โถดูดความชื้น
2. ชั่งน้ำหนักกระดาษกรอง (A, กรัม) แล้วนำไปวางบนกรวยกรอง ฉีดน้ำกลั่นให้กระดาษเปียก เปิดเครื่องกรองสุญญากาศ
3. ตวงน้ำตัวอย่างด้วยกระบอกตวงปริมาตร 100 มิลลิลิตร เทผ่านกระดาษกรอง จนกระทั่งสารที่กรองแห้ง
4. ปิดเครื่องกรอง ใช้คีบคีบกระดาษกรองออกจากกรวยกรอง วางบนกระจกนาฬิกานำไปอบที่อุณหภูมิ 103-105 °C เป็นเวลา 1 ชั่วโมง
5. นำไปวางให้เย็นในโถดูดความชื้น
6. ชั่งกระดาษกรองที่กรองได้ (B, กรัม)
7. ทำการทดลองซ้ำแล้วนำค่าที่ได้หาค่าเฉลี่ย

### การคำนวณ

$$\text{ปริมาณสารแขวนลอย (mg/L)} = \frac{(B-A) \times 1000 \times 1000}{\text{มิลลิลิตร ของตัวอย่าง}}$$

เมื่อ A = น้ำหนักกระดาษกรอง (กรัม)

B = น้ำหนักกระดาษกรอง + น้ำหนักสารแขวนลอย (กรัม)

## 8. เจลดาห์ลไนโตรเจนทั้งหมด (Total kjeldhal nitrogen: TKN)

การวิเคราะห์ปริมาณไนโตรเจน วิเคราะห์ได้หลายรูปแบบ เช่น แอมโมเนียไนโตรเจน, ออร์แกนิกไนโตรเจน และเจลดาห์ลไนโตรเจน ซึ่งเจลดาห์ลไนโตรเจน คือปริมาณแอมโมเนียไนโตรเจนและออร์แกนิกไนโตรเจนรวมกัน และรูปแบบอื่นๆ ของไนโตรเจนได้แก่ ไนโตร-ไนโตรเจน ( $\text{NO}^2$ ) ไนเตรต-ไนโตรเจน ( $\text{NO}^3$ )

### เครื่องมือและอุปกรณ์

1. ชุดกลั่นเจลดาห์ล (Kjeldhal flask) ขนาด 800 มิลลิลิตร
2. กระจาปะแก้วคอนเนคติ้งบัลล์ (Connecting bulb)
3. คอนเดนเซอร์ชนิดตรง
4. ขวดรูปชมพู่ขนาด 250 มิลลิลิตร

### สารเคมี

1. สารละลายกรดบอริก (Boric acid,  $\text{H}_3\text{BO}_3$ ) 2% เตรียมโดยละลายกรดบอริก 20 กรัม ในน้ำกลั่นแล้วเจือจางเป็น 1 ลิตร
2. สารละลายมิกซ์อินดิเคเตอร์ เตรียมโดยละลายเมทิลเรดอินดิเคเตอร์ 200 มก. ในเอทิลแอลกอฮอล์ (95%) 100 มิลลิลิตร และละลายเมทิลทีนบลู 100 มก. ในเอทิลแอลกอฮอล์ (95%) 50 มิลลิลิตร แล้วผสมสารละลายทั้งสองเข้าด้วยกัน สารละลายนี้ควรเตรียมทุกๆ เดือน เมื่อหยดลงในสารละลายกรดบอริกจะได้สารละลายสีม่วง และมีแอมโมเนียกลั่นออกมาในสารละลายกรดบอริกจะได้สารละลายสีเขียว
3. สารละลายสำหรับการย่อยสลาย (Digest solution) เตรียมโดยละลายโปตัสเซียมซัลเฟต ( $\text{K}_2\text{SO}_4$ ) 134 กรัม ในน้ำกลั่น 650 มิลลิลิตร เติมกรดซัลฟิวริกเข้มข้น 200 มิลลิลิตร ลงไปที่ละน้อยๆ จนสารละลายเข้ากันหมด เตรียมสารละลายเมอร์คิวรีออกไซด์ (แดง) (Mercury (II) oxide (red).  $\text{H}_2\text{O}$ ) 2 กรัม ละลายในกรดซัลฟิวริก 3 โมล/ลิตร ปริมาตร 50 มิลลิลิตร นำไปเติมในสารละลายโปตัสเซียมซัลเฟตที่เตรียมไว้ตอนต้นให้เข้ากัน วางไว้ให้เย็นแล้วเจือจางเป็น 1 ลิตร
4. สารละลายมาตรฐานกรดซัลฟิวริก ( $\text{H}_2\text{SO}_4$ ) 0.01 โมล/ลิตร เตรียมโดยเจือจางกรดซัลฟิวริก 0.5 โมล/ลิตร ปริมาตร 20 มิลลิลิตร แล้วเจือจางเป็น 1 ลิตร นำสารละลายมาตรฐานกรดซัลฟิวริกที่เตรียมได้ไปหาค่ามาตรฐานกับสารละลายมาตรฐานโซเดียมไฮดรอกไซด์ 0.01 โมล/ลิตร

5. สารละลายฟีนอล์ฟทาลีนอินดิเคเตอร์ เตรียมโดยละลายฟีนอล์ฟทาลีนไดไฮดรอกไซด์ 5 กรัม ในน้ำกลั่นแล้วเจือจางเป็น 1 ลิตร หรือ ละลายฟีนอล์ฟทาลีน 5 กรัม ในเอทิลแอลกอฮอล์ 95% เจือจางด้วยน้ำกลั่นเจือจางเป็น 1 ลิตร

6. สารละลายโซเดียมไฮดรอกไซด์-โซเดียมไธโอซัลเฟต โดยละลายโซเดียมไฮดรอกไซด์ 500 กรัม และ โซเดียมไธโอซัลเฟต ( $\text{Na}_2\text{S}_2\text{O}_3 \cdot 5\text{H}_2\text{O}$ ) 25 กรัม ในน้ำกลั่นแล้วเจือจางด้วยน้ำกลั่นเป็น 1 ลิตร

#### วิธีวิเคราะห์

1. ใช้ปริมาตรน้ำตัวอย่าง 300 มิลลิลิตร หรือส่วนของตัวอย่างที่เจือจางแล้วเป็น 300 มิลลิลิตร ใส่ในขวดเจล-คาล์ เดิมสารละลายสำหรับการย่อยสลาย (Digest solution) 50 มิลลิลิตร ใส่ลูกแก้ว 5-6 เม็ด นำส่วนนี้ไปย่อยสลายในตู้ควัน จนกระทั่งได้สารละลายใส หากสารละลายยังไม่ใส ให้เติมสารย่อยสลายเพิ่มอีก 20 มิลลิลิตร ย่อยสลายต่อไปจนกระทั่งได้สารละลายใส ให้ปล่อยเย็นเติมน้ำกลั่นลงไป 300 มิลลิลิตร

2. ทำให้เป็นค่างโดยหยดฟีนอล์ฟทาลีนลงในขวดเจลคาล์ แล้วเติมสารละลาย โซเดียมไฮดรอกไซด์-โซเดียมไธโอซัลเฟต ประมาณ 50 มิลลิลิตร สังเกตสีของฟีนอล์ฟทาลีนจะเป็นสีชมพู ถ้ายังไม่เปลี่ยนเป็นสีชมพูให้เติมลงไปทีละน้อยๆ จนกระทั่งเปลี่ยนเป็นสีชมพูเข้ม

3. รับผิดชอบต่อชุดกลั่นทันที ป้องกันไม่ให้ไอของสารระเหยไป ซึ่งไอของสารนี้อาจจะมีแอมโมเนียออกมาด้วย

4. กลั่นตัวอย่างโดยให้ควบแน่นผ่านคอนเดนเซอร์แบบตรงลงในสารละลายบอริก จนกระทั่งได้สารละลายทั้งหมด 200 มิลลิลิตร ดังภาพประกอบที่ ข-4

5. นำสารละลายที่กลั่นได้ หยดมิกซ์อินดิเคเตอร์ 2-3 หยด นำไปไทเทรตด้วยสารละลายมาตรฐานกรดซัลฟิวริก 0.01 M





ภาพประกอบที่ ข-4 การประกอบชุดกลั่นเจลดาคัล

#### การคำนวณ

$$\text{เจลดาคัลใน โตรเจนทั้งหมด (mg/L)} = \frac{(A-B) \times 1000 \times M \times 28}{\text{มิลลิลิตร ของน้ำตัวอย่างที่ใช้กลั่น}}$$

- เมื่อ
- A = มิลลิลิตร ของกรดซัลฟิวริกที่ใช้ไทเทรตตัวอย่าง
  - B = มิลลิลิตร ของกรดซัลฟิวริกที่ใช้ไทเทรตแบลนก์
  - M = Molar ของกรดซัลฟิวริกที่ใช้

#### 9. เอ็มแอลเอสเอส (Mixed liquor suspended solid: MLSS)

##### โดยวิธี Gravimetric Method

การหา MLSS วิธีการเหมือนกับการหา SS เพียงแต่ใช้น้ำตะกอนจุลินทรีย์ (Mixed liquor) แทนน้ำตัวอย่าง

#### 10. เอ็มแอลวีเอสเอส (Mixed liquor volatile suspended solid: MLVSS)

##### โดยวิธี Gravimetric Method

##### เครื่องมือและอุปกรณ์

1. จานระเหย
2. เตาอบแห้ง
3. เคซิเคเตอร์

4. เครื่องชั่งอย่างละเอียด

5. เตาเผาที่อุณหภูมิ  $500 \pm 50$  องศาเซลเซียส

#### วิธีการวิเคราะห์

1. เตรียมจานระเหย โดยนำไปเผาที่  $500 \pm 50$  องศาเซลเซียส เป็นเวลา 1 ชั่วโมง และปล่อยให้เย็นในเดซิเคเตอร์ประมาณ 30 นาที แล้วชั่งน้ำหนัก

2. นำจานระเหยที่ชั่งน้ำหนักแล้วไปหาปริมาณ MLSS

3. นำจานระเหยที่หา MLSS แล้วไปเผาที่  $500 \pm 50$  องศาเซลเซียส เป็นเวลา 30 นาที

4. ปล่อยให้เย็นในเดซิเคเตอร์ แล้วชั่งน้ำหนักสารที่เหลือ

#### การคำนวณ

$$\text{MLVSS (mg)} = \text{ปริมาณ MLVSS (mg)} - \text{ปริมาณของแข็งที่เหลือหลังการเผา (mg)}$$

#### 11. การวิเคราะห์องค์ประกอบของก๊าซชีวภาพ

เครื่องมือ : Gas Chromatograph ยี่ห้อ Hewlett Packard รุ่น HP 6890

สภาวะการทดลองดังภาพประกอบที่ ข.5

```

=====
HP6890 GC METHOD
=====

OVEN
Initial temp: 40 'C (On)           Maximum temp: 330 'C
Initial time: 3.00 min             Equilibration time: 1.00 min
Ramps:
  # Rate Final temp Final time
  1 8.00      120      0.00
  2  0.0(Off)
Post temp: 0 'C
Post time: 0.00 min
Run time: 13.00 min

FRONT INLET (SPLIT/SPLITLESS)
Mode: Split
Initial temp: 50 'C (Off)
Pressure: 50.00 psi (Off)
Total flow: 103.8 mL/min
Gas saver: Off
Gas type: Helium

BACK INLET (SPLIT/SPLITLESS)
Mode: Splitless
Initial temp: 100 'C (On)
Pressure: 50.00 psi (On)
Purge flow: 0.0 mL/min
Purge time: 0.00 min
Total flow: 45.0 mL/min
Gas saver: Off
Gas type: Helium

COLUMN 1
Packed Column
Model Number: Restek 19808
Shincarbon-ST
Max temperature: 330 'C
Mode: constant pressure
Pressure: 50.00 psi
Inlet: Back Inlet
Outlet: Front Detector
Outlet pressure: ambient

COLUMN 2
(not installed)

FRONT DETECTOR (TCD)
Temperature: 200 'C (On)
Reference flow: On
Makeup flow: On
Makeup Gas Type: Helium
Filament: On
Negative polarity: Off

BACK DETECTOR (NPD)
Temperature: 250 'C (Off)
Hydrogen flow: Off
Air flow: Off
Makeup flow: Off
Makeup Gas Type: Nitrogen
Adjust offset: 30.00
Electrometer: Off
Bead: Off
Equilibration time: 5.00

SIGNAL 1
Data rate: 50 Hz
Type: front detector
Save Data: On
Zero: 0.0 (Off)
Range: 0
Fast Peaks: Off
Attenuation: 0

SIGNAL 2
Data rate: 20 Hz
Type: back detector
Save Data: Off
Zero: 0.0 (Off)
Range: 0
Fast Peaks: Off
Attenuation: 0

```

ภาพประกอบที่ ข-5 สภาวะการทดลองที่ใช้ในการวิเคราะห์ห้องค์ประกอบของก๊าซชีวภาพด้วยเครื่อง Gas Chromatograph-TCD ยี่ห้อ Hewlett Packard รุ่น HP 6890

## ภาคผนวก ก

## การคำนวณทางเศรษฐศาสตร์

## วิธีการคำนวณร้อยละการได้คืนกลีเซอรอล

ตาราง ก-1 เปรียบเทียบพารามิเตอร์ต่าง ๆ ของวิธีการแยกชั้นสารอินทรีย์ออกจากกลีเซอรอล

| วิธีการ  | กลีเซอรอล<br>เริ่มต้น<br>(mL) | ชั้นกลีเซอรอล<br>ที่แยกได้<br>(mL) | เนื้อกลีเซอรอล<br>ที่ได้<br>(% wt) | ร้อยละการได้คืน<br>กลีเซอรอล<br>(%) |
|--|-------------------------------|------------------------------------|------------------------------------|-------------------------------------|
| การใช้ H <sub>2</sub> SO <sub>4</sub> 6%                                       | 1,000                         | 700                                | 36.87                              | 25.81                               |
| การใช้ H <sub>2</sub> SO <sub>4</sub> 30%                                      | 1,000                         | 160                                | 77.14                              | 12.34                               |
| การใช้พอลิเมอร์<br>Cation Polyamine 6%<br>ผสมกับ Poly-AlCl <sub>3</sub><br>94% | 1,000                         | 2,230                              | 13.63                              | 30.39                               |

## วิธีการคำนวณ

เช่น การใช้ H<sub>2</sub>SO<sub>4</sub> 6%

$$\begin{aligned}
 \text{ร้อยละการได้คืนกลีเซอรอล} &= \frac{(\text{เนื้อกลีเซอรอลที่ได้}) \times (\text{ชั้นกลีเซอรอลที่แยกได้})}{\text{กลีเซอรอลเริ่มต้น}} \\
 &= \frac{36.87 \times 700}{1000} \\
 &= 25.81 \%
 \end{aligned}$$

## วิธีการคำนวณราคาต้นทุนในการแยกชั้นสารอินทรีย์ออกจากกลีเซอรอลดิบ

ตาราง ค-2 ราคาของสารเคมีที่ใช้ในกระบวนการแยกชั้นสารอินทรีย์ออกจากกลีเซอรอลดิบ

| สารเคมี   | หน่วย | ราคาต่อหน่วย (บาท) |
|---|-------|--------------------|
| Conc. H <sub>2</sub> SO <sub>4</sub> (98%) (Lab grade)        | 2.5 L | 385                |
| - H <sub>2</sub> SO <sub>4</sub> 6%                           | 1 mL  | 0.00943            |
| - H <sub>2</sub> SO <sub>4</sub> 30%                          | 1 mL  | 0.04714            |
| Conc. H <sub>2</sub> SO <sub>4</sub> (98%) (Commercial grade) | 30 Kg | 350                |
| - H <sub>2</sub> SO <sub>4</sub> 6%                           | 1 mL  | 0.00131            |
| - H <sub>2</sub> SO <sub>4</sub> 30%                          | 1 mL  | 0.00657            |
| Conc. HCl (37.25%)  | 2.5 L | 375                |
| - HCl 2%  | 1 mL  | 0.00805            |
| Polymer (PA 6% + PACl 94%)<br>(Commercial grade)              | 1 Kg  | 40                 |
| NaOH 98%  | 1 Kg  | 267.5              |
| -NaOH 30%   | 1 mL  | 0.08024            |

### การคำนวณ

การคำนวณราคาต้นทุนของการแยกชั้นสารอินทรีย์ออกจากกลีเซอรอลดิบ จะนำราคาต่อหน่วยคูณกับปริมาณที่ใช้ ซึ่งราคาต้นทุนนี้จะคิดเฉพาะราคาสารเคมีเท่านั้น โดยเปรียบเทียบการแยกทั้ง 3 วิธี

#### วิธีที่ 1 การใช้กรดซัลฟิวริก 6% (Lab grade)

กลีเซอรอลดิบ 1 ลิตร เติมกรดซัลฟิวริก 6% 500 มิลลิลิตร ที่ค่า pH 2 แยกได้ชั้นกลีเซอรอล 700 มิลลิลิตร มีวิธีการคำนวณต้นทุนดังนี้

- กรดซัลฟิวริก 6% ปริมาตร 500 มิลลิลิตร

$$\begin{aligned} \text{คิดเป็นราคา} &= \frac{500 \times 0.00943 \text{ บาท}}{(0.7 \text{ ลิตร} \times 0.3687) \times (1.220 \text{ กิโลกรัม/ลิตร})} \\ &= 13.24 \text{ บาท/ กิโลกรัมกลีเซอรอล} \end{aligned}$$

### วิธีที่ 2 การใช้กรดซัลฟิวริก 30% (Lab grade)

กลีเซอรอลดิบ 1 ลิตร เติมกรดซัลฟิวริก 30% 110 มิลลิลิตรที่ค่า pH 2 แยกได้ชั้นกลีเซอรอล 160 มิลลิลิตร มีวิธีการคำนวณต้นทุนดังนี้

- กรดซัลฟิวริก 30% ปริมาตร 110 มิลลิลิตร

$$\begin{aligned} \text{คิดเป็นราคา} &= 110 \times 0.04714 \\ &= 5.18 \text{ บาท/0.16 ลิตรที่แยกได้} \\ &= 5.18 \text{ บาท/ 0.1952 กิโลกรัมที่ได้} \\ &= 5.18 \text{ บาท/ 0.1505 กิโลกรัมกลีเซอรอลที่ได้} \\ &= 51.29 \text{ บาท/ กิโลกรัมกลีเซอรอลที่ได้} \end{aligned}$$

### วิธีที่ 3 การใช้พอลิเมอร์ Cation Polyamine 6% ผสมกับ Poly-AlCl<sub>3</sub> 94%

กลีเซอรอลดิบ 1 ลิตร เติม HCl 2% 1,300 มิลลิลิตร

ชั้นสบู่ + กลีเซอรอล + น้ำ เท่ากับ 1,800 มิลลิลิตร เติม 30% NaOH 10 มิลลิลิตร ที่ pH ~8

เติม Cation Polyamine 6% ผสมกับ Poly-AlCl<sub>3</sub> 94% 600 มิลลิลิตร

แยกชั้นกลีเซอรอล + น้ำได้ เท่ากับ 2,230 มิลลิลิตร

คำนวณต้นทุนดังนี้

- HCl 2% ปริมาตร 1,300 มิลลิลิตร

$$\begin{aligned} \text{คิดเป็นราคา} &= 1,300 \times 0.00805 \\ &= 10.465 \text{ บาท/2.230 ลิตรที่แยกได้} \end{aligned}$$

- NaOH 30% ปริมาตร 10 มิลลิลิตร

$$\begin{aligned} \text{คิดเป็นราคา} &= 10 \times 0.08024 \\ &= 0.8024 \text{ บาท/2.230 ลิตรของกลีเซอรอลที่แยกได้} \end{aligned}$$

- Cation Polyamine 6% ผสมกับ Poly-AlCl<sub>3</sub> 94% 600 มิลลิลิตร (732 g)

$$\begin{aligned} \text{คิดเป็นราคา} &= 0.732 \times 40 \\ &= 29.28 \text{ บาท/ 2.230 ลิตรของกลีเซอรอลที่แยกได้} \end{aligned}$$

$$\begin{aligned} \text{รวมทั้งหมด} &= (10.465 + 0.802 + 29.280)/2.230 \text{ ลิตรที่แยกได้} \\ &= 40.547 \text{ บาท/ 2.230 ลิตรที่แยกได้} \\ &= 40.547 \text{ บาท/ 2.72 กิโลกรัมที่ได้} \\ &= 40.547 \text{ บาท/0.3708 กิโลกรัมกลีเซอรอลที่ได้} \\ &= 109.35 \text{ บาท/ กิโลกรัมกลีเซอรอลที่ได้} \end{aligned}$$

ตาราง ค-3 เปรียบเทียบร้อยละการได้คืนและค่าใช้จ่ายในการแยกทั้ง 3 วิธี

| วิธีการ   | ร้อยละการได้คืนกลีเซอรอล (%) | ค่าใช้จ่าย<br>(บาท/กิโลกรัมกลีเซอรอลที่ได้) |                  |
|---|------------------------------|---|------------------|
|   |                              | Lab grade                                   | Commercial grade |
| การใช้ $H_2SO_4$ 6%   | 25.81                        | 13.24                                       | 2.08             |
| การใช้ $H_2SO_4$ 30%  | 12.34                        | 51.29                                       | 4.80             |
| การใช้พอลิเมอร์ Cation<br>Polyamine 6% ผสมกับ<br>Poly- $AlCl_3$ 94% | 30.39                        | -   | 109.35           |

#### การคำนวณทางเศรษฐศาสตร์

ใช้ข้อมูลจากการทดลองในห้องปฏิบัติการที่อัตราส่วน COD : TKN เท่ากับ 40 : 1

กลีเซอรอลที่แยกชั้นสารอินทรีย์ออกแล้วโดยใช้กรดซัลฟิวริก 6% (Commercial grade)

ราคาต้นทุน 2.08 บาท/กิโลกรัมกลีเซอรอลที่ได้

#### การดำเนินการในระดับ lab scale

ปริมาตรใช้งาน เท่ากับ 2.5 ลิตร

อัตราการป้อนสารเข้าระบบ 0.25 ลิตร/วัน

อัตราส่วน มวลสุก (กรัม) : กลีเซอรอลดิบ (กรัม) เท่ากับ 1.56 (Total Solid = 97.51% wt) :  
0.625 (Glycerol = 47.67%) เติมน้ำให้มีปริมาตรรวม 0.25 ลิตร

#### การคำนวณ

1. ต้นทุนกลีเซอรอลที่ใช้
2. ค่าน้ำประปา
3. ค่าไฟฟ้า
4. ค่าแรงงาน

## รายละเอียดการคำนวณ

### 1. ต้นทุนกลีเซอรอล

ปริมาณน้ำเสียที่ป้อนเข้าสู่ระบบในแต่ละวัน เท่ากับ 0.5 ลิตร/วัน

0.50 ลิตร/วัน = 0.0005 ลูกบาศก์เมตร

ปริมาณน้ำเสีย 0.0005 ลูกบาศก์เมตร/วัน ใช้กลีเซอรอลที่แยกชั้นสารอินทรีย์ออกแล้ว

0.005 กิโลกรัม คิดเป็นเนื้อกลีเซอรอล 0.0018 กิโลกรัม

คิดเป็นค่าใช้จ่าย =  $0.0018 \times 2.08$

= 0.0038 บาท

เมื่อปรับขนาดถังหมักเป็นขนาด 8 ลูกบาศก์เมตร จะได้ ปริมาณน้ำเสียที่ป้อนเข้าสู่ระบบในแต่ละวัน

เท่ากับ 0.8 ลูกบาศก์เมตร/วัน

ดังนั้นค่าใช้จ่ายสำหรับกลีเซอรอล =  $\frac{(0.8 \text{ ลูกบาศก์เมตร/วัน}) \times (0.0038 \text{ บาท})}{(0.0005 \text{ ลูกบาศก์เมตร/วัน})}$

= 6.135 บาท

=  $(6.135 \text{ บาท/วัน}) \times (300 \text{ วัน/ปี})$

= 1840.50 บาท/ปี

### 2. ค่าน้ำประปา

ในห้องปฏิบัติการใช้น้ำประปา = 0.00025 ลูกบาศก์เมตร/วัน

ถังหมักขนาด 8 ลูกบาศก์เมตร ใช้น้ำประปา = 0.8 ลูกบาศก์เมตร/วัน

=  $(0.8 \text{ ลูกบาศก์เมตร/วัน}) \times (300 \text{ วัน/ปี})$

= 240 ลูกบาศก์เมตร/ปี

อัตราการจ่ายน้ำประปาถูกคำนวณโดยใช้ตารางที่ ค-4 ที่ได้รับจากการประปาส่วนภูมิภาค

จะแสดงในตาราง ค-4



ตาราง ค-4 อัตราค่าน้ำประปาสำหรับรัฐวิสาหกิจอุตสาหกรรมและธุรกิจขนาดใหญ่

| ระดับของน้ำที่ใช้<br>(ลูกบาศก์เมตร/เดือน) | รัฐวิสาหกิจ, อุตสาหกรรมและธุรกิจขนาดใหญ่<br>(บาท/ลูกบาศก์เมตร) |
|---|--|
| * อัตราในระดับต่ำ 200 บาท                 |  |
| 0-10                                      | 12.50  |
| 11-20                                     | 15.50  |
| 21-30                                     | 18.50  |
| 31-50                                     | 21.50  |
| 51-80                                     | 23.50  |
| 81-100                                    | 23.75  |
| 101-300                                   | 24.00  |
| 301-1,000                                 | 24.25  |
| 1,001-2,000                               | 24.00  |
| 2,001-3,000                               | 23.75  |
| >3,001                                    | 23.50  |

$$\begin{aligned}
 \text{ค่าน้ำประปาที่ใช้ไปทั้งหมด} &= (200 \text{ บาท/เดือน} \times 12 \text{ เดือน/ปี}) \\
 &+ (240 \text{ ลูกบาศก์เมตร/ปี} \times 24 \text{ บาท/ลูกบาศก์เมตร}) \\
 &= 8,160 \text{ บาท/ปี}
 \end{aligned}$$

### 3. ค่าไฟฟ้า

$$\begin{aligned}
 \text{มอเตอร์กวน 3 แรงม้า} &= (3 \text{ Hp}) \times (0.7457 \text{ kw}) \\
 &\quad \underline{\quad \quad \quad (1 \text{ Hp})} \\
 &= 2.2371 \text{ kw}
 \end{aligned}$$

ใน 1 วัน จะเปิดเครื่องกวนเพื่อคังสารป้อนออกจากระบบ 1 ชั่วโมง ดังนั้นจะเปิดเครื่องกวน  
ตลอด 23 ชั่วโมง

$$\text{ดังนั้นจะได้ } 2.2371 \text{ kw/ 23 hr}$$

$$= 2.3344 \text{ kw/ day}$$

คิดเป็น 1 ปี ที่ 300 วัน จะได้

$$= 700.32 \text{ kw/ year}$$

อัตราค่าพลังงานไฟฟ้าคำนวณได้จากตาราง ค-5

ตาราง ค-5 อัตราค่าพลังงานไฟฟ้าที่หน่วยต่าง ๆ

| Unit (kW-h) | C (Baht/kW-h) |
|-------------|---------------|
| 0-150       | 1.8           |
| 150 up      | 2.78          |
| 400 up      | 2.98          |

$$\begin{aligned} \text{อัตราค่าพลังงานไฟฟ้า} &= 700.32 \times 2.98 \\ &= 2,086.95 \text{ บาท} \end{aligned}$$

#### 4. ค่าแรงงาน

ใช้แรงงาน 1 คน

$$\begin{aligned} \text{ค่าแรงงาน} &= \frac{176 \text{ บาท} \times 300 \text{ วัน}}{\text{วัน}} \\ &= 52,800 \text{ บาท} \end{aligned}$$

ต้นทุนรวมต่อปีของการผลิตก๊าซชีวภาพจากมูลสุกรและกลีเซอรอลดิบในระบบหมัก 8 ลูกบาศก์เมตรแสดงดังตารางที่ ค-5

ตาราง ค-6 ต้นทุนการผลิตก๊าซชีวภาพต่อปีในระบบหมัก 8 ลูกบาศก์เมตร

| ต้นทุน               | บาท/ปี    |
|----------------------|-----------|
| การแยกกลีเซอรอล      | 1,840.50  |
| ค่าน้ำประปา          | 8,160     |
| ค่าไฟฟ้า             | 2,086.95  |
| ค่าแรง (176 บาท/วัน) | 52,800    |
| ต้นทุนรวม            | 64,887.45 |

### อัตราการผลิตก๊าซชีวภาพต่อปี

ถังหมักขนาด 0.0025 ลูกบาศก์เมตร ผลิตก๊าซชีวภาพได้ 0.000562 ลูกบาศก์เมตร/วัน

ถังหมักขนาด 8 ลูกบาศก์เมตร จะผลิตก๊าซชีวภาพได้

$$= \frac{(0.000562 \text{ ลูกบาศก์เมตร/วัน}) \times (8 \text{ ลูกบาศก์เมตร})}{(0.0025 \text{ ลูกบาศก์เมตร})}$$

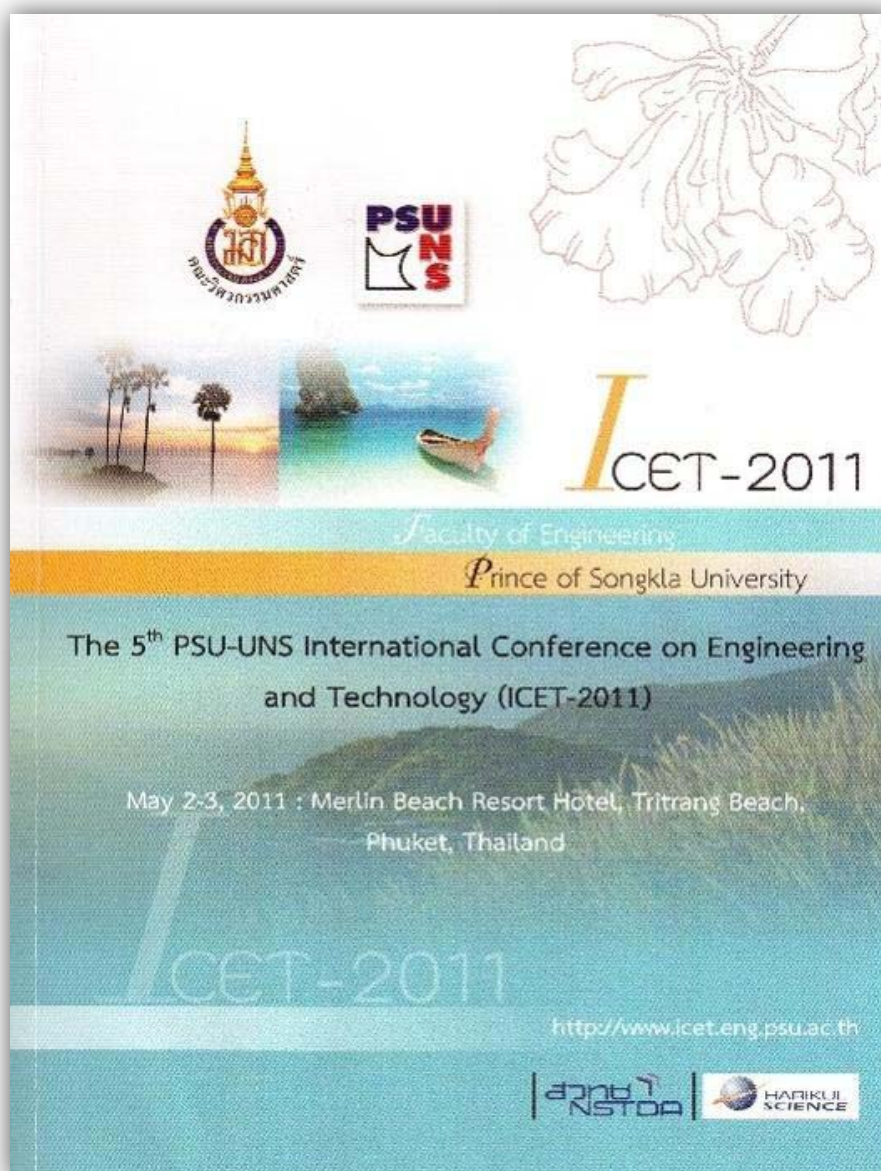
$$= 1.7981 \text{ ลูกบาศก์เมตร/วัน}$$

$$= 539.52 \text{ ลูกบาศก์เมตร/ปี}$$

ภาคผนวก ง

การตีพิมพ์เผยแพร่ผลงาน

เรื่อง **A Pre-study of Biogas Production from Crude Glycerol, a Byproduct from Biodiesel Manufacturing**





The 5<sup>th</sup> PSU-UNS International Conference on Engineering and Technology (ICET-2011), Phuket, May 2-3, 2011  
 Prince of Songkla University, Faculty of Engineering  
 Hat Yai, Songkhla, Thailand 90112

# A Pre-study of Biogas Production from Crude Glycerol, a Byproduct from Biodiesel Manufacturing

Pornpimon Wassanamongkon<sup>1\*</sup>, Pakamas Chetpattananondh<sup>1</sup>,  
 Sumate Chaiprapat<sup>2</sup>, Chaisri Suksaroj<sup>2</sup>

<sup>1</sup>Prince of Songkla University, Faculty of Engineering, Department of Chemical Engineering, Thailand

<sup>2</sup>Prince of Songkla University, Faculty of Engineering, Department of Civil Engineering, Thailand

\*Authors to correspondence should be addressed via email: aom-am369@hotmail.com

**Abstract:** *At the present time biodiesel is widely applied as an alternative energy for diesel fuel. For every 9 kg of biodiesel produced, about 1 kg of a crude glycerol by-product is formed. This work aims to convert the crude glycerol to more valuable product. Initially, three glycerol recovery methods were investigated. Using of 6% H<sub>2</sub>SO<sub>4</sub> was considered as the most suitable method after cost analysis. Several mixtures of pig manure and recovered crude glycerol were fermented in batch laboratory-scale reactors to obtain optimum amount of methane and it was found that the mixture presented 50:1 COD: TKN ratio gave highest methane production.*  
**Key Words:** *Crude glycerol/ Biogas/ Anaerobic digestion*

## 1. INTRODUCTION

Biodiesel production worldwide has been on an exponential growth curve over the last years. During the biodiesel production process, glycerol is a primary by-product. For every 9 kg of biodiesel produced, about 1 kg of a by-product, crude glycerol is formed [1]. The rising of the biodiesel industry causes a surplus of glycerol resulting to a 10-fold decrease in crude glycerol costs over the last years and creates the concerns in environment with polluted glycerol disposal [2]. This crude glycerol should be converted to valuable product instead of dumped in landfill.

One of the processes is the biological conversion of organic material to a variety of end products including 'biogas' whose main constituents are methane and carbon dioxide [3-4]. The total biogas production from the anaerobic fermentation has been on a steady increase over the past several years [5]. The productivity of anaerobic digesters can be improved by supplementing with readily digestible co-substrates [6]. Glycerol is a readily digestible substance, which can also be easily stored over a long period. These advantages make glycerol an ideal co-substrate for the anaerobic digestion process. There are also many examples of co-digestion of

animal manure with many different waste products that have been experimented with in the last several years and most showed positive results. The glycerol-containing waste after pre-treatment has a high level of anaerobic biodegradability and that a substantial quantity of methane can be obtained. The use of granular sludge and acidified glycerol was found to be the best option for revalorizing glycerol anaerobically and the biodegradability was found to be around 100%. Glycerol is currently underutilized as a co-digestion feedstock.

The purpose of this study is to increase value of crude glycerol produced from biodiesel manufacturing. Crude glycerol mainly consisted of organic matter and glycerol. Organic phase was separated out to produce biodiesel by esterification and glycerol phase is expected to be a good substrate in fermentation. Initially, three glycerol recovery methods were investigated. The most suitable method was chosen after cost analysis. The recovered glycerol was then converted to biogas by fermentation in the batch reactors at mesophilic temperature using granular sludge as microorganisms and pig manure as nutrient supplement.

## 2. MATERIAL AND METHOD

### 2.1. Material

The raw material used as substrate was the glycerol-containing waste discharged after the biodiesel manufacturing process at the Specialized R&D Center for Alternative Energy from Palm Oil and Oil Crops, Faculty of Engineering, Prince of Songkla University, Songkhla, Thailand. This facility use alkali catalyzed transesterification to produce the biodiesel from waste cooking oil and palm oil. In general, crude glycerol (pH = 9.8) mainly consisted of glycerol (36.75%), water (4.13%), ash (3.17%) and matter organic non-glycerol (MONG) (55.95%). In this experiment 6% H<sub>2</sub>SO<sub>4</sub> and 30% H<sub>2</sub>SO<sub>4</sub> were diluted from conc. H<sub>2</sub>SO<sub>4</sub> (Sulfuric Acid 98%, A.R.) and polymer is obtained from 6% cationic polyamine (PA) blending with 94% poly-AlCl<sub>3</sub>.

## 2.2 Crude glycerol pretreatment

Three glycerol recovery methods were investigated using (a) 6% H<sub>2</sub>SO<sub>4</sub>, (b) 30% H<sub>2</sub>SO<sub>4</sub> and (c) 6% cationic polyamine (PA) blending with 94% poly-AlCl<sub>3</sub> [7] to recover glycerol as shown in Table 1.

### (a) Using 6% H<sub>2</sub>SO<sub>4</sub>

6% of H<sub>2</sub>SO<sub>4</sub> was added to 500 ml of crude glycerol and pH of the mixture was adjusted from 9.8 to 2. The mixture was left over night to let it separate into three layers. The top layer is methyl ester and free fatty acid, the middle layer is glycerol, water and methanol. Potassium sulfate and sodium sulfate were found in the bottom layer. The glycerol layer was obtained by using separatory funnel.

### (b) Using 30% H<sub>2</sub>SO<sub>4</sub>

The procedure was the same as method (a), but using 30% H<sub>2</sub>SO<sub>4</sub> instead of 6% H<sub>2</sub>SO<sub>4</sub>

### (c) Using 6% cationic polyamine blending with 94% poly-AlCl<sub>3</sub>

500 ml of crude glycerol was pH adjusted from 9.8 to 5 with 2% HCl and left for one night. The mixture was separated into two layers. The top one is methyl ester and free fatty acid and the bottom one is glycerol and water. The bottom layer was obtained to adjust pH to 8 with 30% NaOH and then 6% cationic polyamine blending with 94% poly-AlCl<sub>3</sub> with 25%v/v was added. The polymer layer was above the glycerol layer. The glycerol layer was obtained to analyze its composition.

## 2.3 Substrate preparation

Recovered glycerol 37% (w/w) was analyzed for chemical oxygen demand (COD) and total kjeldahl nitrogen (TKN). It has about 620,172 mg COD/L and 60 mg TKN/L. The ratio of COD:TKN was about 10,336:1, which is not optimum for anaerobic process [8]. It is necessary to add pig manure as nutrient supplement [9]. Various mixtures of pig manure and recovered glycerol, which gave 50-100:1 COD:TKN ratios as shown in Table 1 were fermented.

Table 1: Mixture of pretreated glycerol and pig manure and COD:TKN ratios

| Pig manure (g) | Recovered glycerol (g) | Total wt (g) | COD (mg/L) | TKN (mg/L) | COD:TKN ratio |
|----------------|------------------------|--------------|------------|------------|---------------|
| 20             | 45                     | 1000         | 26962      | 392        | 70:1          |
| 20             | 40                     | 1000         | 24335      | 375        | 65:1          |
| 20             | 35                     | 1000         | 22105      | 354        | 60:1          |
| 20             | 30                     | 1000         | 18482      | 341        | 55:1          |
| 20             | 25                     | 1000         | 14216      | 285        | 50:1          |
| 20             | -                      | 1000         | 8578       | 269        | 32:1          |

## 2.4 Anaerobic batch reactor

Biogas production was performed in glass bottle with working volume 1 L. The fermentation was operated at mesophilic temperature with initial pH 7.19. Each reactor containing 37,500 mg VSS/L granular sludge [10] and a mixture of pig manure and recovered glycerol was purged with N<sub>2</sub> gas for 5 min to maintain anaerobic conditions. Gas produced in each reactor was measured

daily for 5 days. Gas samples were collected for daily by displacement of saturated brine as shown in Fig. 1.



Fig. 1. Experimental set-up of batch reactors

## 2.5 Analytical methods

### 2.5.1 Chemical analysis

Glycerol content was analyzed by titration method (TIS.336, 2523). Amount of water in crude glycerol was determined by Karl Fischer titration method. Analyze of COD and TKN were carried out with Standard Methods of APHA [11].

### 2.5.2 Biogas production

Biogas production was collected by displacement in saturated saline and biogas composition was analyzed by a gas chromatography (HP6890N) equipped with thermal conductivity detector (TCD). The contents of methane, carbon dioxide and nitrogen were determined using a 1m x 2 mm (inside diameter) silcostell packed column model (Restek 19808 Shincarbon-ST). The operational temperatures of injector, detector and column were kept at 100, 200 and 330°C, respectively. Helium was used as a carrier gas at a flow rate of 103.8 mL/min.

## 3. RESULTS AND DISCUSSION

The results of three glycerol recovery methods are shown in Table 2. Highest glycerol recovery was obtained with using 6% cationic polyamine blending with 94% poly-AlCl<sub>3</sub>. However, the total cost of the process is also greatest. Using 6% of H<sub>2</sub>SO<sub>4</sub> could give 26% glycerol recovery with the lowest cost. Therefore, this method was selected as an optimum and economic method. The appearance of glycerol after pre-treatment with each method is shown in Fig.2.

Table 2: Glycerol recovery and total cost of the process

| Methods                            | Glycerol recovery (%) | Total cost (Baht/L of crude glycerol) |
|------------------------------------|-----------------------|---------------------------------------|
| 6% H <sub>2</sub> SO <sub>4</sub>  | 26                    | 4.70                                  |
| 30% H <sub>2</sub> SO <sub>4</sub> | 12                    | 5.18                                  |
| *Polymer                           | 30                    | 40.54                                 |

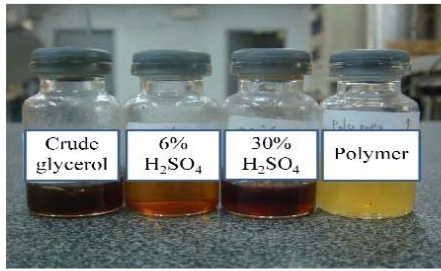


Fig. 2. Characterization of crude glycerol and crude glycerol after pretreated with each method

Recovered glycerol consisted of too low nitrogen content. Then, pig manure slurry was added. After several trials, five mixtures of recovered glycerol and pig manure as shown in Table 2 were fermented in batch reactor. The highest biogas production (446 mL/day) was obtained by fermentation with 50:1 COD: TKN ratio at day 2 (Fig.3) and the highest accumulative biogas production (1062 mL) was also obtained by fermentation with 50:1 COD: TKN ratio (Fig.4). The biogas compositions were analyzed and it was found that at day 3 they were not significantly different for different mixtures of recovered glycerol and pig manure (Fig.5-7).

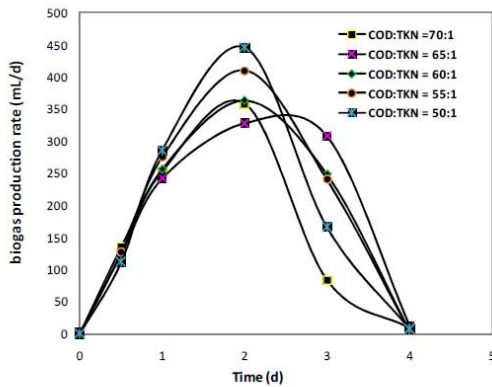


Fig. 3. Biogas production rate in batch reactors with various ratios of COD: TKN

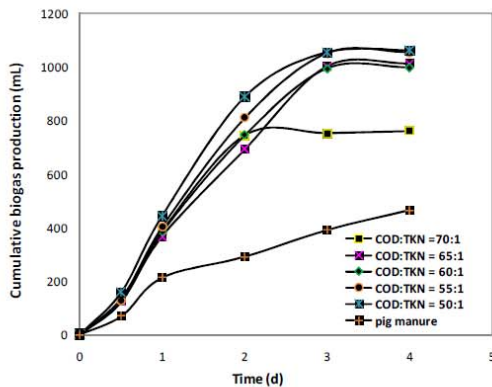


Fig. 4. Accumulative Biogas production in batch reactors with various ratios of COD: TKN

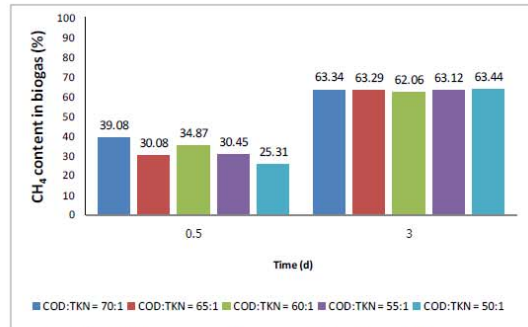


Fig. 5. Methane production in batch reactors with various ratios of COD: TKN

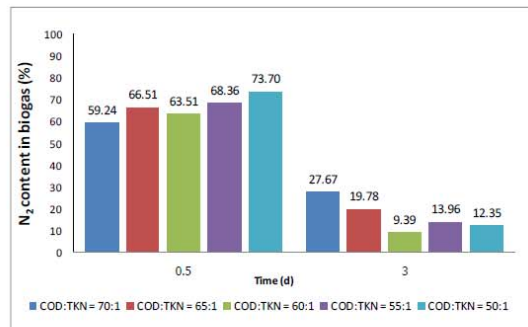


Fig. 6. Nitrogen production in batch reactors with various ratios of COD: TKN

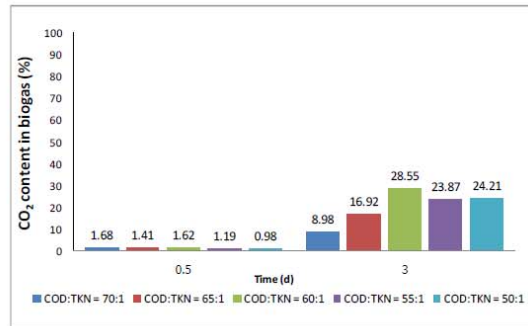


Fig. 7. Carbon dioxide production in batch reactors with various ratios of COD: TKN

Fig.5-7 show that at a haft first day, the methane and carbon dioxide productions are low while the nitrogen gas is high. This is because of purged nitrogen gas was still excess in the initial step. On the third day the methane and carbon dioxide productions were more arisen as a result of anaerobic biodegradation.

4. CONCLUSION

Crude glycerol mainly consisted of glycerol and MONG. Before fermentation crude glycerol should be recovered using 6% H<sub>2</sub>SO<sub>4</sub>, which cost 4.70 Baht/L of crude glycerol. Recovered glycerol contained insufficient amount of nitrogen. Then pig manure was then used as a nutrient supplement to enhance the methane production. The mixture of recovered glycerol and pig manure

presented 50:1 COD:TKN gave highest amount of methane. Therefore, this mixture will be studied further for larger scale.

#### ACKNOWLEDGMENT

This research has been financially supported by Prince of Songkla University and the National Research Council of Thailand (NRCT). The Graduate School at Prince of Songkla University has provided partial funding. The Department of Chemical Engineering and the Faculty of Engineering, Prince of Songkla University are gratefully acknowledged for other supports.

#### 5. REFERENCES

- [1] M.A. Dasari, P. Kiatsimkul, W.R. Sutterlin, and G.J. Suppes, "Low-pressure hydrogenolysis of glycerol to propylene glycol", *Appl. Catal. A: Gen.*, 2005, vol. 281, pp. 225–231.
- [2] S. S. Yazdani and R. Gonzalez, "Anaerobic fermentation of glycerol: a path to economic viability for the biofuels industry", *Curr. Opin. Biotechnol.*, 2007, vol. 18, pp. 213–219.
- [3] W. Gujer, and A.J. Zehnder, "Conversion processes in anaerobic digestion", *Water Sci. Technol.*, 1983, vol. 15, pp. 123–167.
- [4] M. Olthof, and J. Oleszkiewick, "Anaerobic Treatment of industrial wastewater", *Chem. Engng.*, 1982, vol. 15 pp. 1321–1326.
- [5] M.F. Demirbas and M. Balat, "Recent advances on the production and utilization trends of bio-fuels: A global perspective", *Energy Convers. Manage.*, 2006, vol. 47 pp. 2371–2381.
- [6] I. Angelidaki, and B.K. Ahring, "Codigestion of olive oil mill wastewaters with manure, household waste or sewage sludge", *Biodegradation.*, 1997, vol. 8, pp. 221–226.
- [7] X. Qiau-guang, "Waste Glycerol Treatment from Bio-diesel Production Process", *of U .ProcBUNS - and Envir .on Eng .Conf .Inter.ICEE: 2005 Ubonratchathanee Univerisity and Chemical Society of Thailand*, January 21-23, 2009.
- [8] J.A.Alvarez, L. Otero, and J.M. Lema, " A methodology for optimizing feed composition for anaerobic co-digestion of agro-industrial wastes", *Bio.Technol.*, 2010, vol. 101, pp.1153-1158.
- [9] S. Astals, M. Ariso, A. Galí, J. and Mata-Alvarez, "Co-digestion of pig manure and glycerine: Experimental and modelling study", *Envi. mgmt.*, 2011, vol. 92, pp. 1091-1096.
- [10] J. Á. S. López, M. de los Á. M. Santos, and A. F. C. Pérez, "Anaerobic digestion of glycerol derived from biodiesel manufacturing" *Bioreso. Technol.*, 2009, vol. 100, pp. 5609-5615. Antonio Martín Martín
- [11] APHA, AWWA and WEF, "Standard Methods for the Examination of Water and Wastewater", 20<sup>th</sup> ed. Maryland: American Public Health Association, Washington D.C., U.S.A., 1998.



## ประวัติผู้เขียน

|                                     |                          |             |  |
|-------------------------------------|--------------------------|-------------|--|
| ชื่อ สกุล                           | นางสาวพรพิมล วาสนามงคล   |             |  |
| รหัสประจำตัวนักศึกษา                | 5110120123               |             |  |
| วุฒิการศึกษา                        |                          |             |  |
| วุฒิ                                | ชื่อสถาบัน               | ปีที่สำเร็จ |  |
| การศึกษาวิทยาศาสตร์บัณฑิต<br>(เคมี) | มหาวิทยาลัยสงขลานครินทร์ | 2549        |  |

### ทุนที่ได้รับระหว่างการศึกษ

ทุนผู้ช่วยวิจัย คณะวิศวกรรมศาสตร์ มหาวิทยาลัยสงขลานครินทร์

ทุนผู้ช่วยสอน ภาควิชาวิศวกรรมเคมี คณะวิศวกรรมศาสตร์ มหาวิทยาลัยสงขลานครินทร์

### การตีพิมพ์เผยแพร่ผลงาน

Pornpimon Wassanamongkon<sup>1</sup>, Pakamas Chetpattananondh<sup>1</sup>, Sumate Chairapat and Chaisri Suksaroj. 2011. A Pre-study of Biogas Production from Crude Glycerol, a Byproduct from Biodiesel Manufacturing. Proceeding of the 5<sup>th</sup> PSU-UNS International Conference on Engineering and Technology (ICET-2011), May 2-3, Phuket, Prince of Songkla University, Faculty of Engineering Hat Yai, Songkhla, Thailand 90112